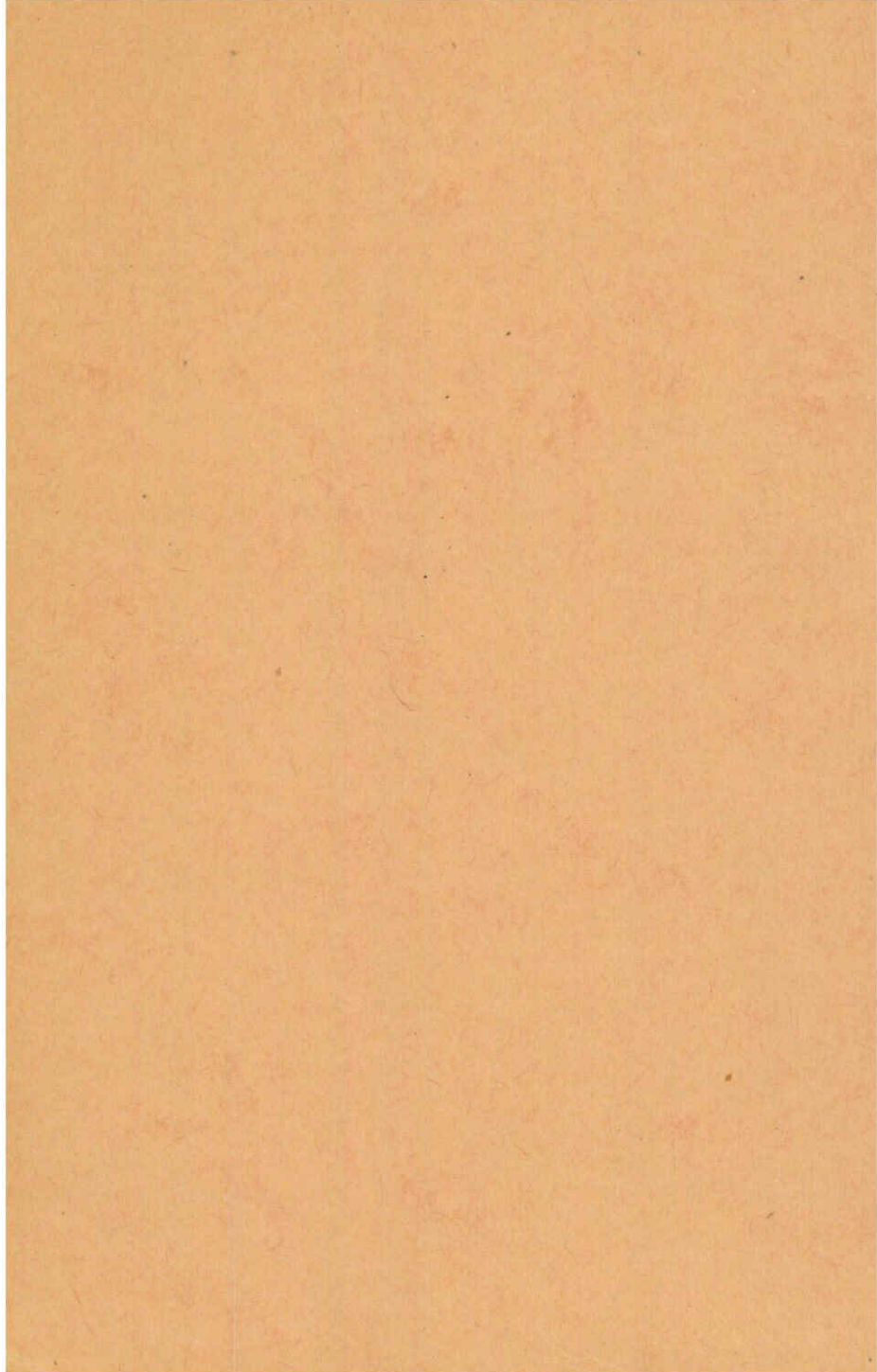


ГЕОЛОГИЧЕСКОЕ СТРОЕНИЕ
АССА-АРАГВИНСКОГО
ПЕРЕСЕЧЕНИЯ БОЛЬШОГО
КАВКАЗА

«МЕЦНИЕРЕБА»



АКАДЕМИЯ НАУК ГРУЗИИ.
ГЕОЛОГИЧЕСКИЙ ИНСТИТУТ им. А. И. ДЖАНЕЛИДЗЕ
Труды, новая серия, вып. 102

**ГЕОЛОГИЧЕСКОЕ СТРОЕНИЕ
АССА-АРАГВИНСКОГО ПЕРЕСЕЧЕНИЯ
БОЛЬШОГО КАВКАЗА**



1991

26.3(21)

551.242(479.22)

Г36

УДК 551.242+ 552.5+551.7(084.21) +624.131.1(479.22)

В работе освещены вопросы структурно-тектонического и литолого-стратиграфического строения мезозойских и кайнозойских осадочных и вулканогенных образований территории по Асса-Арагвинскому пересечению Большого Кавказа и его пограничных районов. На основании анализа новейшего фактического материала дано дробное расчленение осадочных толщ, выявлена последовательность вулканических извержений, выделены и классифицированы типы тектонических структур, исследован трещинная и сейсмотектоника, проведена инженерно-геологическая оценка физического состояния и прочностных свойств мезо-кайнозойских толщ, освещены некоторые вопросы геологической истории региона.

Работа предназначена для широкого круга геологов, изучающих Кавказ и сходные с ним горные регионы.

Редакторы: акад. АН Грузии И.П.Гамкрелидзе
докт. г.-м. наук М.А.Беридзе

Рецензенты: 1. Е.К.Вахания, доктор г.-м. наук
2. В.А.Тодрия, канд.г.-м. наук

ნაშრომში გაშექებულია კავკასიის საუღებების საპროექტო რეინი-
გზის ტრასის რაიონში გარეცილებული მეზოზოერი და კაინოზოერი დანალექი-
და გუდანგენური ჭარმონაქმნების სტრუქტურულ-ტექტონიკური და ღიფოლო-
გიურ-სტრატიგრაფიული აგებულების საკითხები. უახლესი დეტალური ფაქტობ-
რივი მასალის ანალიზის საფუძველი მოცემულია დანალექი წყვებების დანა-
ლექისა, გამოვლენილია ვუდანურ ამონიქოვათა დანმიმღევრობა, გამოყო-
ფილი და კლასიფიცირებულია ტექტონიკური სტრუქტურების ტიპები, გამოკვე-
ულია ნაპრალოვანი და სეისმური ტექტონიკა, ჩატარებულია მეზოკაინოზოერუ-
ლერარების ფიზიკური მდგრადობის და მდგრადობის საინჟინრო-გეოლოგიუ-
რი შეფასება.

ნაშრომი გათვალისწინებულია კავკასიისა და მისი მსგავსი მთიანი
ნაგებობების გეოლოგიური აგებულების შესტაცია დაინტერესებული მკვევა-
რებისათვის.

I 1804000000

20-89

M607 (06)-91

©

Издательство "Мецнериба"

1991

ISBN 5-520-00272-X

ВВЕДЕНИЕ

Почти три четверти века отделяет нас от времени выхода в свет фундаментальной монографии, посвященной геологическому строению трассы проектируемой тогда Перевальной железной дороги через Главный Кавказский хребет. Авторами этого труда являлись крупнейшие русские ученые Ф.Ю.Левинсон-Лессинг, Д.С.Белянкин, В.П.Рентгартен и другие, которые сумели впервые разработать ряд ключевых вопросов геологии Большого Кавказа, по настоящее время находящихся в поле зрения исследователей.

Тем более важными представляются выполненные коллективом учёных Геологического института им. А.И.Джанелидзе Академии наук Грузии исследования, результаты которых в силу чрезвычайной детальности исходного фактического материала, на наш взгляд, могут претендовать как на обстоятельность, так и новизну освещения некоторых вопросов геологического строения восточной части Большого Кавказа.

Исследования велись в период 1981-1987 гг. в связи с проектированием Кавказской Перевальной железной дороги (КПЖД), сперва по заказу "Кавгипротранса", а затем по дополнительной научно-исследовательской теме АН ГССР, утвержденной ГИИТ ГССР. Район исследований охватил субмеридиональную долину пересечения Большого Кавказа: ст. Ксаны - бассейн рр. Пшавской и Хевсуретской Арагви - Архотский перевал - бассейн р. Ассы - с. Тарское - с. Октябрьское. Как известно, в настоящее время проектирование КПЖД по многим объективным причинам приостановлено. Однако результаты проведенных геологических исследований имеют самостоятельное теоретическое и практическое значение.

Результаты комплексных структурно-тектонических и литолого-стратиграфических исследований юрских, меловых и палеогеновых образований Большого Кавказа опираются на материалы проведенного авторами крупномасштабного картирования. Изученная часть Большого Кавказа охватывает все основные тектонические единицы Восточного Кавказа, представляющего собой сложно построенную структуру резко асимметричного строения (рис. I в приложении). Северное и южное его крылья существенно отличаются друг от друга как по характеру слагающих их осадочных и осадочно-вулканогенных формаций, так и по характеру тектонического строения. Северное крыло восточной части Большого Кавказа характеризуется в общем моноклинальным строением или развитием промежуточной складчатости. На южном же крыле развита типичная голоморфная складчатость с опрокинутыми к югу в основном изоклинальными складками, осложненными множеством надвигов, а на юге - крупными южновергентными тектоническими покровами.

Осенюю часть восточной части Большого Кавказа занимает Восточная зона погружения антиклинария Главного хребта. Широко распространенное до последнего времени наименование этой осевой части Восточного Кавказа "подзона горст-антиклинария Бокового хребта" является неудачным, так как, наряду с отмеченной выше непосредственной структурной связью этой части Восточного Кавказа (с Дарьяльским палеозойским массивом в ядре) с осевой зоной Центрального Кавказа, своеобразное строение ее складчатой структуры не оставляет сомнений в правомерности отнесения ее к осевой зоне Восточного Кавказа и, следовательно, к подзоне Восточного погружения Главного хребта. Кристаллическое основание восточной подзоны погружения Главного хребта, судя по геофизическим данным, аналогично обнажающемуся в ядре Главного хребта. Что же касается "горстантеклиниория Главного хребта", выделяемого в полосе сланцевой серии нижней и средней юры, непосредственно примыкающей с северо-востока к флишевой зоне Южного склона Большого Кавказа, то эта единица с сильно скатой юновергентной складчатой структурой вместе с т.н. "Бежитинским грабен-синклиниорием" должна рассматриваться в составе складчатой системы Южного склона Большого Кавказа в качестве непосредственного восточного продолжения т.н. Казбегско-Лагодехской зоны (И.Гамкрелидзе, 1984).

В структуре работы предусмотрены четыре раздела, три из которых посвящены геологической характеристике главнейших тектонических зон Большого Кавказа, а в четвертом рассмотрены вопросы, имеющие, в основном, прикладное назначение.

Первый раздел работы посвящен геологическому строению Скалистого хребта северного склона Большого Кавказа. В нем рассмотрены вопросы стратиграфии и корреляции верхнемеловых отложений северного склона Большого Кавказа с одновозрастными флишевыми образованиями Южного склона. В разрезе карбонатного верхнего мела Северного склона выделено четыре литологических комплекса. Сеноман-нижнетуронский комплекс соответствует гординской свите. Возраст сеноманской части разреза определен впервые обнаруженным комплексом аммонитов и иноцирамов, на основе чего высказано мнение о возможности присутствия в этой полосе отложений нижнего турона в фации песчанистых мергелей и известняков. Получены новые данные о присутствии среднего и верхнего турона в междуречье Асса-Камбилиевка и датского яруса в ущелье р.Камбилиевка; проведена корреляция верхнемеловых отложений южного края Восточноевропейской платформы с Местия-Тианетской (флишевой) зоне Южного склона Большого Кавказа.

На основе послойных разрезов нижнего мела в бассейне р.Камбилиевка установлено стратиграфическое несогласие между барремскими и аптскими отложениями. В отличие от данных предыдущих исследований определено, что отложения, соответствующие двум верхнебарремским и нижнеаптским зонам на исследованной территории практически отсутствуют.

Новые материалы по стратиграфии и тектонике верхнеюрских отложений междуречья Терека и Ассы, детальные полевые наблюдения и находки руководящей фауны аммонитов позволили сделать вывод, что позднеюрская трансгрессия здесь начинается в раннем, а не в среднем келловее, как предполагалось многими предыдущими исследователями. К торгимской свите следует относить отложения от базального пласта ожелезненного известняка-конгломерата до слоев с раннеоксфордской фауной. Предполагается выделить новую – фортогутскую свиту, в верхней части содержащую раннебайосскую фауну. Отрицается существование т.н. Цейлянского надвига Скалистого хребта. По-новому охарактеризован Бештукортский взброс.

Во втором разделе освещены вопросы стратиграфии, литологии, вулканизма и особенности тектонического строения области развития нижне- и среднеюрских осадочных и вулканогенных образований Большого Кавказа. В результате стратиграфических работ уточнены содержание, объем и возраст отдельных подразделений нижней и средней юры. Новый палеонтологический материал позволил в значительной степени дополнить биостратиграфическое расчленение отложений разных структурно-фаациальных зон. Так, на основании новых находок аммонитовой фауны в ущельях рр. Хевсуретской Арагви и Ассы, было впервые установлено присутствие верхнего плинсбаха, нижнего тоара и самой верхней части ааленского яруса.

Литологические работы с подсчетом количественных соотношений гранулометрических типов пород позволили провести дробное расчленение мощных терригенных толщ нижней и средней юры на отдельные литостратиграфические единицы. Приведена комплексная характеристика (текстура, структура, минеральный состав, физико-механические свойства и т.д.) типов пород, позволившая осветить вопросы условий формирования осадков и их постседиментационных изменений.

Исследование вулканических образований, связанных с нижне- и среднеюрскими терригенными отложениями, дало возможность выделить четыре комплекса пород, принадлежащих к собственно эфузивной и субвулканической фациям. На основании критического рассмотрения данных предыдущих исследователей и новейшего фактического материала уточнен возраст вулканических комплексов: нижний эфузивный комплекс отнесен к верхнему плинсбаху-нижнему тоару, а верхний датирован как аален. Возраст субвулканических комплексов определен на основании локализации под эфузивными фациями и по сходству петрологических характеристик. Лейас-ааленские вулканические комплексы Хевсуретии представляются на общем фоне развития всего раннеальпийского этапа вулканизма Большого Кавказа.

Расшифрован характер складчатости в пределах развития нижне- среднеюрских отложений и установлены ее морфологические особенности в различных тектонических зонах. Выявлены: закономерности распрост-

ранения кливажа в складчатой структуре и выделены его морфологические типы; расположение в пространстве и кинематика разновозрастных и разнообразных по масштабу разрывных нарушений; региональный попеченный флексурообразный изгиб складчатой структуры мегантиклиниория Большого Кавказа, связанный с Асса-Арагвинским линеаментом; показано, что это нарушение представляет собой крупный левосторонний сдвиг в фундаменте, движение по которому происходило на позднеорогенном (последнеплиоценовом) этапе развития региона.

Второй раздел завершается характеристикой развитых в нижне- и среднекорских осадочных и вулканогенных образованиях малых структурных форм (кливаж, вторая сланцеватость, будинах, кинк-банд) и выяснению из возрастной последовательности. На основании взаимоотношений диабазовых даек ассинского типа (нижний субвулканический комплекс), связанных с синемирскими и нижнеплиносахскими отложениями, со второй сланцеватостью вмещающих пород, делается вывод о более молодом, предположительно аален-байосском возрасте этих вулканитов.

Третий раздел работы посвящен стратиграфии палеогеновых отложений и тектонической характеристике флишевой зоны Южного склона Большого Кавказа. В палеогеновых отложениях бассейна р. Арагви (Хинвальско-Гомборская подзона) выше маастрихтского яруса выделяются кветерская, шахветильская, квакерисхевская и ильдоканская свиты, датируемые как палеоцен - верхний эоцен. В результате изучения нового стратиграфического и палеонтологического материала (фораминыфера, нанопланктон) установлены или уточнены возраст и взаимоотношения указанных литостратиграфических подразделений.

Материал об особенностях внутренней структуры одного из участков зоны Южного склона (ущ. р. Пшавской Арагви) между ее Магароскари и Хоми привлекает внимание своей конкретностью. В ней после краткой литолого-стратиграфической характеристики отложений сравнительно небольшого стратиграфического интервала (валанжин-алт) детально описываются элементы весьма сложной внутренней структуры (складки, разрывы, кливаж, трещины). Установлено наличие приразломного кливажа и разных генетических типов трещин. Охарактеризованы также четвертичные образования этого участка.

При описании главнейших покровных пластин пересечения восточной части Южного склона Большого Кавказа детально рассмотрены их структурные признаки. Приведены палеогеографические реконструкции, указывающие на значительное нарушение первичного пространственного расположения отдельных структурно-фацальных зон, соответствующих тектоническим покровам. Высказано мнение о механизме образования покровной структуры исследованного региона.

Четвертый раздел специчен по своему практическому назначению. В нем излагаются результаты исследований по трещинной тектонике

ке, сейсмотектонике и инженерной геологии.

Результаты изучения трещинной тектоники основаны на богатом фактическом материале, полученному почти всеми авторами работы при трещинной съемке отдельных литолого-стратиграфических единиц юрских, меловых и палеогеновых толщ. Показан характер распределения в пространстве осей главных нормальных палеонапряжений, а также современного поля тектонических напряжений. Подтверждено наличие крупного Асса-Арагвинского разлома фундамента (левого сдвига) и выявлен характер изменения во времени сопровождающих его явлений на поверхности.

В материале о сейсмотектонических условиях описываются глубинные разломы и региональные разрывы, обуславливающие сводово-глыбовое строение Большого Кавказа. Выделен ряд морфоструктурных ступеней и блоков. Охарактеризована их тектоническая активность на новейшем этапе. Рассматриваются принципы выделения сейсмогенных зон. Установлен ряд сейсмогенных зон, обусловленных разрывами различных рангов. Проведена оценка степеней их сейсмического потенциала на основании геолого-геоморфологических и сейсмотектонических данных. Выделены территории семи- и восьмибалльной сотрясаемости.

В конце раздела приводится инженерно-геологический анализ и оценка физического состояния и прочностных свойств мезо-кайнозойских толщ. Анализ основан на данных обобщенной статистической характеристики физико-механических свойств скальных и полускальных пород из разных структурно-фацевальных зон исследованного района. Анализу подвергнуты также данные об обобщенных статистических характеристиках трещиноватости по 36 литостратиграфическим комплексам. Разработана классификация комплексов по степени трещиноватости, которая скоррелирована с особенностями литологического состава и структурно-тектонического строения массивов горных пород. Выявлена связь отдельных типов массивов с изменчивостью геодинамических условий, т.е. развитием тех или иных современных геологических экзогенных процессов (обвалы, осьпи, вывалы и т.д.).

I. НЕКОТОРЫЕ ВОПРОСЫ СТРАТИГРАФИИ И ТЕКТОНИКИ ВЕРХНЕЙОРСКО-МЕЛОВЫХ ОТЛОЖЕНИЙ СЕВЕРНОГО СКЛОНА БОЛЬШОГО КАВКАЗА

Р.А. Гамбашидзе

I.I. СТРАТИГРАФИЯ И КОРРЕЛЯЦИЯ ВЕРХНЕМЕЛОВЫХ ОТЛОЖЕНИЙ БАССЕЙНОВ РР. АССА, КАМБИЛЕЕВКА И АРАГВИ

В 1982–86 гг. нами проводились геолого-картировочные работы в южном и северном предгорьях Большого Кавказа, в басс. рр. Арагви (Грузия), Асса и Камбилиевки (смежные районы Чечено-Ингушской и Северо-Осетинской АССР). Собранный материал и результаты полевых наблюдений легли в основу настоящей работы, касающейся состава и корреляции верхнемеловых толщ южного края Восточноевропейской платформы и ее обрамления – складчатой системы Южного склона Большого Кавказа. Верхний мел названных областей, в силу неоднородности состава, слагает несколько фациальных типов отложений (Москвин, 1962; Гамбашидзе, 1979). В районе с. Тарское его можно выделить в самостоятельный Чечено-Североосетинский фациальный тип, который распространен в полосе к востоку от р. Черек до бас. р. Сулак, в восточной части зоны моноклинарии Северного Кавказа. Для этого фациального типа, в основном, характерно карбонатное осадконакопление с некоторым возрастанием глинистого компонента в сантоне и песчаного в маастрихте, размыты на рубеже альба и сеномана, раннего и среднего (верхнего) турона. Опорным для данного фациального типа служит разрез по р. Чанты-Аргун (Лысенков, Ботвинник, 1976), в котором установлены четыре свиты, а в том же бассейне р. Аргун, по р. Шаро-Аргун, установлена пятая, самая древняя из верхнемеловых свит. Суммарный объем всех литостратиграфических подразделений соответствует всему верхнему мелу. Эти подразделения более или менее полно обнажены в бассейнах рр. Асса и Камбилиевка.

I. Гордийская свита ($K_2^{cm+t_1}$), сложенная переслаиванием светло-серых песчанистых известняков и зеленовато-серых мергелей (35–60 м). Алевритистые пелитоморфные известняки содержат обуглившиеся остатки древесины и вкрапленники глауконита. В известняках верхней части свиты примесь песчаного материала заметно уменьшена, породы становятся тонкослоистыми, мергели приобретают темно-серую окраску. Во многих случаях подошва и кровля свиты ограничены перерывами в осадконакоплении, обусловленными складчатыми движениями австрийской

^X Датский ярус в настоящей работе рассматривается в составе меловой системы

фазы. В связи с этим нередко низы свиты (рр. Рошня, Большой Мартан) или же ее нижняя сеноманская часть (р. Хулхулау) выпадают из разреза. Нижнетуронская часть в большинстве разрезов Северо-Восточного Кавказа полностью или частично (рр. Аргун, Асса, Камбилиевка) также выпадает. Отложения гордийской свиты содержат *Inoceramus scalprum* Boehm., *I. crippsi* Mant., *I. tenuis* Mant. Два последних вида нами были встречены в разрезе в урочище Божгорты — на восточном склоне водораздела Асса-Камбилиевка, в южной полосе выходов верхнего мела в междуречье названных рек. Здесь были обнаружены также *Mantelliceras mantelli* (d'Orb.), *Schloenbachia* sp., *Neohibolites ultimus* (d'Orb.). По р. Асса, около с. Верхний Акун, обнаружены отложения северной полосы верхнего мела бассейнов рр. Асса, Сунжа и Камбилиевка. Здесь в отложениях гордийской свиты нами встречены сеноманские виды *Hypoturritites mentelli* (Scnarpe), *Fuzosia ex gr. planulata* (Sow.), *Mantelliceras ex. gr. mantelli* (Sow.).

В разрезе свиты, снизу вверх, наблюдается последовательная смена комплексов ископаемых с руководящими или характерными видами от комплекса с *Mantelliceras mantelli* (Sow.) (ранний сеноман), через *Holaster subglobosus* Lesk., *Rotalipora turonica* Brotz. (средний-верхний сеноман) до комплекса с *Rugoglobigerina holzli* (Hag.). раннего турона. Вышележащая

2. Ичкерийская свита ($K_2 t_2$ -сн) сложена, в основном, биоморфными известняками светло-серой, белой или розово-красной окраски. При этом последний признак более характерен для коньякской части разреза свиты. Местами (р. Асса) в низах свиты представлены песчанистые и обломочные известняки с глауконитом. Для свиты характерно практическое отсутствие прослоев и пакетов мергелей. Ее мощность составляет 60–70 м, хотя в некоторых разрезах Чечено-Ингушской АССР этот показатель достигает трех сотен метров. Авторы свиты (Лысенков, Ботвинник, 1976) подразделяют ее на три подсвиты. Литологический состав (биохемогенные известняки с мергелями) и палеонтологическое содержание (ископаемые раннего сантонова) верхней подсвиты, на наш взгляд, более оправдывают ее отнесение к вышележащей зонахской свите, что и принимается в настоящей работе. При подобном решении вопроса объем ичкерийской свиты сокращается до интервала средний турон — кровля коньяка. Фауна иноцерамов, известная из ичкерийской свиты (*Inoceramus lamarki* Park., *I. apicalis* Woods, *I. falcatus* Heinz, *I. striatus* Mant.), хорошо определяет средне-позднетуронский возраст нижней подсвиты. Вышележащая часть свиты (белые и розовые известняки и мергели) содержит руководящие для нижнего (*Inoceramus wandereri* And. и др.) и верхнего (*Inoceramus involutus* Sow.) коняка виды. Залегающая согласно выше.

3. Зонахская свита ($K_2 st+cp_1$), слагается известняками и мергелями (470 м). Местами количество последних значительно возрастает.

Известники желтовато-белого цвета, нередко глинистые. В средней части свиты местами наблюдаются прослои известняков и мергелей розово-красной окраски. В целом зонахская свита (включая верхнеичкеройскую подсвиту П.П.Лысенкова и П.В.Ботвинника) хорошо подразделяется на две подсвиты. Нижнезонахская подсвита охватывает толщу биокемогенных известняков и мергелей с преобладанием последних. На долю верхнезонахской подсвиты остается толща белых известняков с прослойями мергелей. Нижняя подсвита содержит ископаемые сантонского возраста (*Inoceramus undulatoplicatus* Roem., *Micraster heberti* Lesk и др.), а верхняя подсвита — ископаемые кампана (*Inoceramus azerbaijanensis* aliev, *I. convexus* H. et M., *I. muelleri* Petr., *Micraster schroederi* Stoll. и др.). Выше по разрезу согласно следует:

4. Нехилойская свита (K_2 ср⁺м), сложенная бело-светло-серыми известняками, в которой практически отсутствуют мергели (500 м). Известники часто песчанистые, иногда содержат прослои мелкогалечного конгломерата и брекчии. В районе Передового хребта и на ряде закрытых площадей нижнемаастрихской часть свиты выпадает из разреза (Лысенков, Ботвинник, 1976). Низ свиты содержит характерный для верхов верхнего кампана *Bostrychoceras polyplocus* Roem., выше которого появляется комплекс головоногих, двустворчатых и иглокожих маастрихского возраста (*Hauericeras sulcatum* (Kner), *Belemnella laniceolata* (Schloth.), *Inoceramus tegulatus* Haeg., *Guettaria rocardi* Cott. и др.). Вышеследующая

5. Барзойская свита (K_2 д) сложена переслаиванием известняков, их глинистых разностей, мергелей пестрой окраски (104 м). Местами известники песчанистые, обломочные, с вкрашенниками глауконита. Датский возраст свиты определен комплексом фауны, в котором можно назвать руководящие для яруса *Hercoglossa danica* (Schloth.), а также характерные виды — *Echinocorys edhemi* Boehm., *E. renngarteni* Posl. et Mosk., *E. conoideus* Goldf., *E. sulcatus* Goldf., *E. rugeniacus* Seun., *Homoeaster abichi* (Anth.), *Coraster sphaericus* Seun.

За основу схемы расчленения верхнего мела Чечено-Североосетинского фациального типа Северо-Восточного Кавказа (табл. I) взята схема П.П.Лысенкова и П.В.Ботвинника (1976).

В пределах антиклиниория Большого Кавказа, прилегающего к зоне моноклинали Северного Кавказа и расположенной выше Казбекско-Лагодехской тектонической зоны складчатой системы Южного склона Большого Кавказа, верхний мел отсутствует и появляется только в следующей к югу Местийско-Тианетской зоне, где распространены две группы, флишевых по характеру, фаций. Первая, более северная, развитая на участке Тваливи-Магароскари (бассейн р.Шавская Арагви), связана с Уцерско-Павлеурским покровом Шовско-Пасанаурской подзоны Местийско-Тианетской зоны и слагает самостоятельный Грамульско-Матанский фациальный тип отложений верхнего мела. Вторая группа фаций расположена в IO

Таблица I.

Стратиграфическая схема верхнего мела бассейнов
рр. Асса и Камбилиевка

		Фаунистические зоны		Свиты
		Другие	Порядок	
Маастрихтский	Лагенит	B	<i>Coraster ansaltensis</i>	барзойская
		ср	<i>Hercoglossa danica</i>	
		Н		
Кампаний	Кампаний	B	<i>Inoceramus tegulatus</i>	некилойская
		Н	<i>Hauericeras sulcatum</i>	
		B	<i>Pachydiscus koeneni</i>	
Сантонский	Сантонский	Н	<i>Inoceramus azerbaijanensis</i> - <i>Micraster schroederi</i>	зонахская
		B	<i>Inoceramus crassus</i>	
		Н	<i>Inoceramus dagestanensis</i>	
Коньяко- КМК	Коньяко- КМК	Н	<i>Inoceramus cordiformis</i>	ицкеройская
		Н	<i>I.undulatoplicatus</i> - <i>I.car-</i> <i>dissoides</i>	
		B	<i>Inoceramus involutus</i>	
Туронский	Туронский	Н	<i>Inoceramus wandereri</i>	
		B	<i>Inoceramus lamarcki</i> -	
		ср	<i>Inoceramus falcatus</i>	
Сеноманский	Сеноманский	Н	<i>Rugoglobiblerina holzli</i>	гордийская
		B	<i>Rotalipora turonica</i>	
		ср	<i>Holaster subglobosus</i>	
		Н	<i>Mantelliceras mantelli</i>	

тектонических покровах (с севера на юг: Алисисгорско-Чинчвельский, Садзегурско-Шахветильский, Цивгомборский, Ксанко-Аркальский) Жинвальско-Гомборской подзоны Местийско-Тианетской зоны, формируя т.н. Гомско-Лховельский фациальный тип верхнего мела (Гамбашидзе, 1979). Верхний мел Гомско-Лховельского типа в целом мощнее, чем Громульско-Матанский. В первом случае четко наблюдаются трансгрессии маастрихта, явления размыва перед сеноманом, средним туроном, датом и палеоценом. В отложениях Грамульско-Матанского типа складкообразовательные движения не проявлены вовсе или же фиксируются лишь возрастанием процента песчано-мелкообломочного компонента лишь на некоторых (маастрихт) уровнях разреза. В позднем маастрихте в этой области осадконакопление, скорее всего, прекратилось. Прогибание морского дна и размыв кордильер продолжались в южной, Жинвальско-Гомборской подзоне. Начавшиеся движения субгерцинской (предпозднесенонской) фазы складкообразования нарушили общий ход осадконакопления. Усилился темп воздымания и разрушения кордильеры, расположенной на стыке Жинвальско-Гомборской подзоны и Закавказского срединного массива ("шовная" кордильера) и подобной, но менее рельефной структуры, ограничивающей позднемеловой бассейн подзоны от такового Шовско-Пасанаурской подзоны. Во внешней, южной полосе бассейна (Цивгомборский, Ксанко-Аркальский покровы) происходило интенсивное формирование обломочных толщ "дикого" флиша, который часто несогласно с заметным стратиграфическим несогласием перекрывает древние отложения.

Кордильера, располагавшаяся ближе к борту бассейна Шовско-Пасанаурской подзоны (Алисисгорско-Чинчвельский покров), в процессе своего постепенного развития в период формирования позднесенонских толщ отложений, поставляла в бассейн лишь песчанозернистый материал.

Во внутренней полосе Жинвальско-Гомборского бассейна, совпадающей с Садзегурско-Шахветильским покровом, в относительно спокойных тектонических условиях происходило накопление сравнительно тонкообломочного алевритово-кремнистого материала.

Охарактеризованная палеотектоническая обстановка определяла фациальное разнообразие верхнесенонских частей разрезов рассматриваемых тектонических покровов. Это обстоятельство следует учесть при составлении стратиграфической схемы расчленения верхнемеловых отложений флишевого бассейна Жинвальско-Гомборской подзоны Большого Кавказа. В Шовско-Пасанаурской подзоне при наличии лишь одного тектонического покрова с отложениями верхнего мела дело обстоит проще. Здесь, в Уцерско-Павлеурском покрове, схема однотипна. Она отображает последовательность установленных в опорном по р. Арагви разрезе литостратиграфических подразделений местного характера (снизу вверх):

I. Чартальская свита ($K_2 cm_{1+2a}$) сложена, в основном, песчаниками с прослоями карбонатных сланцев. Песчаники полимиктовые, толстослойистые, нередко переходят в гравелиты и конгломераты. Мощность

свиты составляет 40–45 м. Она содержит остатки микрофораминифер, присутствие среди которых *Thalmanninella appenninica* (Renz), *Fraeglobotruncana stephani* Gand., *Hedbergella planispira* (Tapp) определяет, в основном, раннесеноманский (с элементами среднего сеномана) возраст свиты.

2. Бучананская свита ($K_2^{cm^b} - t_1$) состоит из трех частей, нижняя из которых представлена окремненными песчаниками и известняками с прослойями гравелитов. Средняя часть – силицитовая, наиболее ярко выражена в разрезах. Внешне верхняя часть по составу напоминает нижнюю, хотя местами здесь отмечается туфогенная примесь. Мощность свиты 40–46 м. Она содержит фауну микрофораминифер средне-позднесеноманского (*Thalmanninella appenninica* (Renz) и реже – туронского (*Pithonella ovalis* Kaufm., *Globotruncana inflata* Bolli, *Rugoglobigerina holzli typica* Vass.) возраста.

3. Хамушская свита ($K_2 t_2$ -cn) – белые и розовато-красные известняки и мергели пестрой окраски (15–30 м) содержат микрофораминиферы, среди которых встречаются позднетурон-коньякские виды *Globotruncana angusticarinata* Gand., *Gl. renzi* Gand.). Стратиграфическое положение свиты позволило отнести ее низы к позднему турону.

4. Мугудская свита (K_2^{st}) – известняки литографского типа светло-серой окраски с пакетами мергелей (80–90 м). В верхах свиты известняки местами брекчиевидные. Породы содержат микрофораминиферы, совместное существование которых возможно только в сантоне (*Flabellina suturalis* Cushm., *Neoflabellina rugosa* d'Orb., *Anomalina infra-santonica* Balakh.). Имеется также находка сантонского *Inoceramus lingus* Goldf.

5. Циллинская свита (K_2^{cr}) сложена пелитоморфными известняками оливкового, розового и желтовато-серого цвета с пакетами зеленых и розовых мергелей (70 м). В верхах свиты наблюдаются пропластки и прослой песчаников и гравелитов. Стратиграфическое положение свиты в разрезах говорит в пользу ее кампанского возраста, чему не противоречат встреченные в ней микрофораминиферы позднесенонского возраста (*Globotruncana arca* Cushm., *G. rossetta* Carss., *G. fornicata* (Querr.), *Gaudryina crassa* Mars.).

6. Сапершетская толща (K_2^{ml}) венчает разрез верхнего мела Шовско-Пасанаурской тектонической подзоны. Неширокое распространение по площади (бассейн р. Арагви) стало причиной выделения данного стратиграфического подразделения в ранге толщи. В ее строении принимают участие белые известняки, местами песчанистые с редкими прослойями мергелей (20–25 м), охарактеризованные микрофораминиферами раннего маастрихта (*Guembellina elegans* (Rz.) и др.).

Приведенные сведения о составе верхнего мела Шовско-Пасанаурской тектонической подзоны послужили основой для составления схемы стратиграфического расчленения (табл. 2).

Таблица 2

Стратиграфическая схема верхнего мела Шовско-Пасангаурской тектонической подзоны

Слои с фауной				Свиты и толща
Маастрихтский	Ярусов	Подъярусы		
		В ср Н	Отсутствует	Отсутствует
		В		
		Н	<i>Guembellina elegans</i>	Салершетская толща
Кампенский		В	<i>Grammostomum incrassatum</i>	
Сантонский		Н	<i>Globotruncana arca</i>	Цитлианская свита
Коньякский		В	<i>Flabellina suturalis</i>	
		Н	<i>Gavellinella infrasantonica</i>	Мутудская свита
Туронский		В	<i>Globotruncana angusticarinata</i>	
		Н		Хамушская свита
Сеноманский		В	<i>Gavelinella ammonoides</i>	
		ср		
		Н	<i>Rugoglobigerina nolzli typica</i>	
			<i>Pithonella ovalis</i>	Бучананская свита
		В	<i>Rotalipora cushmani turonica</i>	
		ср	<i>Thalmanninella appenninica</i>	
			<i>Praeglobotruncana stephani</i>	
		Н	<i>Hedbergella planispira</i>	
			<i>Hedbergella globigerinoides</i>	Чартальская свита

Общая для Жинвальско-Гомборской тектонической подзоны схема стратиграфического расчленения верхнего мела разработана на основе разрезов Садзегурского-Шахветильского покрова. В качестве опорного выбран разрез по р. Хевкли (Гамбашидзе, 1979). Установлены семь свит, слагающие верхний мел рассматриваемой тектонической подзоны. Снизу вверх:

1. Укугартская свита ($K_2cm_{1+2}a$) сложена песчаниками, гравелитами и аргиллитами. По направлению к внешним, особенно к южной, примыкающей к срединному массиву, частям геосинклинального прогиба, свита, нередко с размывом, ложится на древние толщи, заметно возрастают (до 200 м) мощность, степень грубообломочности пород. Появляются конгломераты и глыбовые брекции (сатхехевская "свита") и вулканиты (андезито-базальты, туфы). Отложения укугартской свиты по сравнению с другими флишевыми толщами (за исключением, быть может, маастрихтского возраста) лучше охарактеризованы палеонтологически. Находки *Inoceramus crippsi* Mant. в низах, *Neohibolites ultimus* (d'Orb.) в верхней части и *Thalmaninella appenninica* (Renz), *Th. evoluta* (Sig.), *Fraeglobotruncana stephani* (Gand), *Clavihedbergella simplex* (Morr.) под кровлей свиты скорее всего ограничивают ее верхний возрастной предел низами среднего сеномана.

2. Ананурская свита ($K_2cm_2^b-t_1$) в силу ее силицитового состава, одна из ярко выраженных в природе маркирующих свит верхнего мела складчатой системы Южного склона Большого Кавказа. Подразделение свиты (135 м) на три подсвиты основано на присутствии в средней части в целом известнякового окремненного разреза, горизонта черных и серых кремней (4–35 м). В окремненных известняках верхней подсвиты нередко наблюдаются прослои песчаников, гравелитов, мелкообломочных брекций с возрастанием размера галек по направлению к кровле свиты. Скудная, но характерная ископаемая фауна определяет сеноман (*Guembellina senomana* kell. и др.) – раннетуронский (*Inoceramus labiatus* Schloth., *Globotruncana inflata* Boll.) возраст свиты. Соответствующее залегание нижнеананурской подсвиты на укугартской свите ограничивает ее возраст верхами среднего сеномана.

3. Маргадитисклесская свита (K_2t_2-cn) некоторым образом также является маркирующей для разрезов как флишевого, так и субплатформенного верхнего мела из-за присутствия в ней характерных розовато-буро-красных известняков и мергелей, наряду с белыми и желтовато-серыми разновидностями пород. Характерны линзы и стяжения красновато-бурых и серо-бурых кремней, прослои гравелитов, микроконгломератов, туфов (20–40 м). Местами свита с незначительным размывом ложится на подстилающие отложения. Встреченная в свите фауна двустворчатых (*Inoceramus inconstans* Woods, *I. brongniarti* Mant.), в совокупности со стратиграфическим положением в разрезах, определяет среднетурон-коньякский возраст рассматриваемого подразделения.

4. Эшмакисхевская свита ($K_2 st$) сложена известняками литографского типа с пакетами мергелей и карбонатных глин (35–80 м). Окраска известняков меняется от белой до светло-фиолетовой. Мергели в основном серо-зеленые, хотя местами приобретают розовую окраску. Встречаются конкреции и линзы коричневого кремня, прослои гравелитов. Принадлежность свиты к сантонскому ярусу определяется находками ископаемых моллюсков и микрофораминифер (*Hauericeras cf. gardeni* Baily, *Belemnitella praeaurigae* Stoll., *Inoceramus undulatoplicatus* Koem., *I. lobatus* Goldf., *I. gamkrelidsei* Tsag., *I. balticus pygmaea* Tsag.).

5. Джорчская свита ($K_2 sr$) сложена светло-серыми, серо-желтыми, местами пестроцветными песчанистыми, глинистыми, а также зернистыми известняками, карбонатными песчаниками, гравелитами с пакетами пестроокрашенных мергелей и глин (25–60 м). Свита имеет регressiveный характер и датируется кампаном на основе редких находок *Inoceramus ex gr. balticus* Boehm, *Grammatodomus decoratus* (Jons.).

6. Сабусская свита ($K_2 m$) несогласно перекрывает подстилающие толщи вплоть до ананурской свиты. В области типового развития (Садзегурско-Шахветильский покров) свита представлена флишевым чередованием белых, серых известняков, их песчанистых и брекчийных разностей, гравелитов, микроконгломератов, серо-фиолетовых и коричнево-красных мергелей (65–90 м). В сторону Алисисгорско-Чинчельского покрова породы свиты претерпевают фациальное изменение в сторону обогащения терригенным компонентом, до того, что в этой полосе она сложена толстослоистыми (до 2–3 м) известковистыми песчаниками, песчанистыми известняками с прослоями мергелей ("меквидурская" фация). В южном, Цивгомборском покрове, ближе к "шовной" кордильере резко возрастает количество грубообломочных пород (конгломераты, брекчи, гравелиты), с которыми чередуются типичные флишевые элементы – известняки, мергели, часто красно-серо-розовой окраски ("жинвальская" фация). В восточных районах развития покрова размер глыб зоогенных известняков верхней юры, порфиритов байоса, туфовых известняков туфон-коньяка значительно возрастает (2–3 м). Маастрихтский возраст свиты определен находками многочисленных аммонитов, двустворчатых и фораминифер: *Hauericeras sulcatum* (Kner.), *Inoceramus proximus* Meek, *I.cf. balticus* Boehm, *I.cf. georgicus* Tsag., *Orbitoides apiculata* Schlumb., *O. media* d'Arch., *Lepidorbitoides minor* (Schlumb.), *Orbitoides tissoni* Schlumb., *Pseudosiderolites calcitrapoides* (Lam.), *Globotruncana arca* Cushman., *Heterohelix globulosa* (Ehr.) и др.

7. Кветерская свита ($K_2 d$) также претерпевает фациальное изменение ближе к бортам флишевого трога. В Садзегурско-Шахветильском покрове свита представлена карбонатными песчаниками, песчанистыми известняками, микроконгломератами, мергелями, аргиллитами с заметным окремнением (15–130 м). Сокращение мощностей в разрезах связано

с предпалеоценовым размывом. В Алисисгорско-Чинчвельтском и Цивгом-борском покровах развиты фациальные разновидности кветерской свиты. В первом случае это "босельтская" фафия, представленная мощными пластами карбонатных песчаников меквадурского типа, а во втором случае - "аркальская" фафия - пестроцветные, часто песчанистые мергели, глинистые известняки и песчаники. Рассматриваемая свита скучно охарактеризована ископаемой фауной.

с предпалеоценовым размывом. В Алисисгорско-Чинчвельтском и Цивгом-борском покровах развиты фациальные разновидности кветерской свиты. В первом случае это "босельтская" фафия, представленная мощными пластами карбонатных песчаников меквадурского типа, а во втором случае - "аркальская" фафия - пестроцветные, часто песчанистые мергели, глинистые известняки и песчаники. Рассматриваемая свита скучно охарактеризована ископаемой фауной и только в крайне южной части флишевого трога (с. Песраго) в области развития "аркальской" фафии встречаются иглокожие датского возраста. В табл. 3 дана схема стратиграфического расчленения верхнего мела Жинвальско-Гомборской тектонической подзоны Местийско-Тианетской зоны складчатой системы Южного склона Большого Кавказа.

Таким образом, южная окраина Восточноевропейской платформы в меловом периоде включала две островные дуги. Севернее Закавказской дуги (Закавказский срединный массив) располагался т.н. Большекавказский малый океанический бассейн (Адамия, 1984), отделенный от бассейна Восточноевропейской платформы Большекавказской островной дугой. Гетерогенность дна седиментационного бассейна, характерная палеокартическая обстановка обусловили формирование вышеописанных трехфациальных типов верхнемеловых отложений. В рассматриваемой части позднемелового бассейна Кавказа были расположены относительно кратные "суши" (Дзирульская, Натахтари-Мцхетская, Западнокавказская) архипелаги более мелких островов (Ананурский, Заира-Пховетский, Донской и др.). Преобладание в фаунистических комплексах свободнодвижущихся форм и планктонных форанимифер указывает на связь бассейна Южного склона Большого Кавказа с обширным морем, покрывавшим верхний Кавказ и Крым.

На небольшие глубины (150-200 м) бассейна, особенно в начальном позднемеловой эпохи, указывает частое присутствие в осадках минералов группы глауконита, а также обитателей мелководья (*Mantellisceras*, *Mariella*, *Inoceramus* и др.). Впоследствии батиметрические условия в связи с чередованием регрессии и трангрессии часто менялись, глубина бассейна, по всей вероятности, не превышала трехсот метров. Временами, невзирая на общность бассейна в целом, различные участки его дна были достаточно четко разобщены подводными или надводными поднятиями и в подобных "впадинах" формировались различные литофильные типы осадков. В этом различии и заключается существенная, тяжеловесная, трудность увязки стратиграфических схем расчленения.

Наиболее легко опознаваемой и четко коррелируемой частью ре-

Таблица 3

Стратиграфическая схема верхнего мела Жинвальско-Гомборской тектонической подзоны

		Слои с фауной		Свиты		
		Ярус		Порядок		
Датский		B	Aragonia excolata	аркаль- ская фация	босель- тская фация	
Маастрихтский		ср	Ceraster sphaericus			
Кампанский		H				
Сантонский		B	Lepidorbitoides socialis	жинваль- ская фация	меква- дурс- ская фация	
Коньякский		H	Guembellina elegans			
Туронский		B	Grammatostom incrassatum			
Сеноманский		H	Bolivinoides decoratus	джорчская		
		B	Belemnitella praeursor	эшмакисхевская		
		H	Inoceramus undulatoplicatus	маргалитискладеская		
		B		верхнее		
		ср	Inoceramus brongniarti	среднее		
			Inoceramus labiatus	ананурс- ская		
		H	Globotruncana inflata	нижнее		
		B	Glavidherbergella simplex	укугартская		
		ср				
		H	Neohibolites ultimus			
			Gavelinella cenomanica			

и розовых известняков с подчиненным количеством мергелисто-глинисто-сланцевого компонента. Близость вещественного состава отложений указывает на господство в бассейне единой седиментационной обстановки, установившейся после прекращения восходящих движений австрийской фазы и начала погружения морского дна, обусловившего наступление среднетуронской трансгрессии.

Обогащение отложений кремнеземом (в виде линз и конкреций), а также своеобразная красно-бурая окраска известняков и мергелей коньякской части разреза связано с поступлением в бассейн эманации из многочисленных вулканических центров, существовавших в то время на Закавказской островной дуге.

Достоверность корреляции, основанной на однотипности и сходстве литологического состава отложений, хорошо подтверждается и палеонтологическими данными. В разрезах встречаются общие виды искональной фауны микрофораминифер (*Gavelinella ammonoides* (Reuss), *Globotruncana lapparenti* Brotz., *G. fornicata* Plum.), а также иноцерамов из группы *Lamarcki-inconstans* (*Inoceramus falcatus* Heinz, *I. apicalis* Woods, *I. lamarcki* Park., *I. brongniarti* Mant., *I. inconstans* Woods).

Предсреднетуронская часть разреза верхнего мела зоны моноклиниали Северного Кавказа охватывает гордийскую свиту, сложенную карбонатно-терригенными образованиями сеноман-раннетуронского возраста. В складчатой системе Южного склона Большого Кавказа в этом интервале представлены укугартская и залегающая на ней ананурская, а также соответственно чартальская и бучанская свиты, являющиеся также карбонатно-терригенными комплексами. Резкое возрастание в ананурской свите и ее аналогах процента первичных кремнистых пород несолько "отодвигает" ее от верхней (среднесеноман-раннетуронской части) гордийской свиты. В целом, процесс формирования кремнесодержащих пород в сеноман-раннетуронском бассейне Северного Кавказа проявился в гораздо меньшей степени. Только в Меловом Дагестане, в районе Леваши по р. Гамири-озень (с. Нижние Чуглы), под кровлей сеномана и в низах турона имеются следы этого процесса в виде продолговатых линз и прослоев черного кремня в известняках. Картина весьма напоминает "ананурскую" литофациальную обстановку. Складывается впечатление, что фации Левашинского района Дагестана, особенно в верхнесеноман-нижнетуронской части разреза, более близки к фациям одновозрастного интервала переходной от геосинклинали к срединному массиву полосы, каковой является полоса распространения отложений Хамулпесского фацального типа в Абхазской подзоне Гагрско-Джавской тектонической зоны складчатой системы Южного склона Большого Кавказа (Гамбашидзе, 1979). Вопрос локализации кремнезема в большинстве случаев в линейных, протяженностью до 1000 км узких желобах, на наш взгляд, все еще требует объяснения. В этом процессе, наряду с другими причинами, в

определенении путей поступления кремнезема, по-видимому, должны были сыграть роль линейные разломы глубокого заложения, определяющие контуры трогов флишевого осадконакопления Южного склона Большого Кавказа.

По признаку отсутствия явного "перенасыщения" кремнеземом, отложения сеноман-нижнего турона Чечено-Североосетинского фаунистического типа проявляют лиофациальное сходство с фауниами Абхазско-Осетинской шовной зоны - переходной полосы от геосинклинального трога к Зак. срединному массиву. Достоверность корреляции гордийской свиты с укугмартской и залегающей на ней ананурской подтверждается присутствием в отложениях общих видов: *Inoceramus crippsi* Mant., *Thalmanninella appenninica* (Brotz.), *Rotalipora turonica* Brotz., *R. cuschmani turonica* (Brotz.) и основного вида *Rugoglobigerina holzli* (Haeg.), представленного в бучанской свите разновидностью *typica* Vass.

Некоторое затруднение вызывает корреляция верхней границы зонахской и эзмакисхевской (и ее стратиграфического аналога - мугудской) свит. Как в лиофациальном (известняки и мергели), так и в палеонтологическом отношении (наличие общего *Inoceramus undulatoplacatus* Roem.) коррелируемые свиты проявляют достаточное сходство, но более широкий (сантон-нижний кампан) объем зонахской свиты нарушает "строгий" ход корреляции. Согласно имеющемуся в нашем распоряжении материалу, верхняя часть зонахской свиты занимает отрезок непрерывного разреза верхнего мела, примерно соответствующий нижней половине джорчской (=цитлинской) свиты, в силу кампанского возраста последней. Четко выраженный лиофациальный аналог джорчской свиты складчатой системы Южного склона в пределах зоны моноклинарии Северного Кавказа отсутствует. Он как бы "растворяется" в верхах зонахской и низах нехилойской свит. Поэтому сантонская (если не вся верхнемеловая) часть разреза Северного Кавказа проявляет заметное лиофациальное сходство (если исключить позднемеловой локальный вулканизм) с таковой Закавказского срединного массива.

Четко выраженного лиофациального сходства между сабусской и нехилойской свитами, за исключением их общего свойства - известковистости - как будто нет, хотя в нехилойской свите также наблюдается увеличение процента терригенного материала, брекчирование известняков и перерывы в осадконакоплении, особенно в верхах свиты. Корреляция рассматриваемых стратиграфических подразделений основана на наличии в них общих видов ископаемой фауны - *Hauericeras sulcatum* (Kner), *Guembellina varians* (Rz.). Присутствие в нехилойской свите *Pachydiscus koeneni* (Gross.), *Bostrychoceras polyplocum* (Roem.) определяет позднекампаний возраст низов свиты. Остальная, большая часть свиты, приходится на маастрихт, как и в случае сабусской свиты Южного склона Большого Кавказа. Исходя из этих соображений, сабусскую свиту можно коррелировать, по крайней мере, со средней и верх-

ней частями нехилойской свиты.

Вышележащие барзойская и кветерская свиты, хотя и имеют карбонатный характер, но относятся к различным генетическим типам (кветерская свита — типичное флишевое чередование пород) и обе принадлежат к датскому ярусу. В комплексах исконаемой фауны рассматривающихся свит общие виды отсутствуют, но достоверно определенный по морским ежам возраст является надежной основой для их корреляции.

Заканчивая сопоставление верхнемеловых отложений северного и Южного склонов Большого Кавказа в бассейнах рр. Асса, Камбилиевка и Арагви (табл. 4), следует отметить, что отложения Чечено-Североосетинского фациального типа междуречья Ассы-Камбилиевки в литофациальном отношении наиболее близки к верхнемеловым отложениям северного борта Закавказского срединного массива (в части Грузинской глыбы), представленными в полосе развития Абхазско-Рачинского фациального типа. В более внутренних зонах трога флишевой геосинклинали расположены фации Хашупсеского типа. Вероятным аналогом багерепстаской свиты этой зоны можно считать представленные в Меловом Дагестане (Леваши) известняково-силицитовые образования сеноман-раннетуронского возраста. Западнее р. Сулак аналоги флишевого верхнего мела Местийско-Тианетской тектонической зоны отсутствуют, скорее всего по причине воздействия и размытия Большекавказской островной дуги.

Таблица 4

Сопоставление верхнемеловых отложений бассейнов
рр. Асса, Камбилиевка и Арагви

Ярус	Подъ- ярус	Междуречье Асса- Камбилиевка	Шовско-Пасанаурс- кая тектоническая подзона	Жинвальско-Гомбор- ская тектоничес- кая подзона
Датс- кий	В ср Н	барзойская свита	отсутствует	кветерская свита
Мааст- рихтс- кий	В Н	некилойская свита	саперштанская толща	сабусская свита
Кампа- нский	Н		цитлинская свита	джорчская свита
Санто- нский	В Н	зонахская свита	мугудская свита	эшмакисхевская свита
Конья- нский	В Н			
Турон- ский	В ср Н	ицкеройская свита	хамушская свита	маргалитисклес- ская свита
Сено- ман- ский	В ср Н	гординская свита	буцаанская свита	ананурская свита
			чартальская свита	укугмартская свита

1.2. К СТРАТИГРАФИИ НИЖНЕМЕЛОВЫХ (БАРРЕМ, АПТ)
ОТЛОЖЕНИЙ БАССЕЙНА Р. КАМБИЛЕЕВКА

На территории Северного Кавказа в интервале верхний баррем—нижний апт, вопрос о биостратиграфической границе решается неоднозначно (Друщиц, 1963; Котетишвили, 1970; Какабадзе, 1971; Егоян, 1977; Геология СССР, 1968; Нижний мел Юга СССР, 1985 и др.).

Анализ литературных источников, а также проведенные нами в 1984 году полевые исследования на территории Ингушетии показали, что в этом районе четко выявлено стратиграфическое несогласие между барремскими и аптовскими отложениями. В основании представленных здесь аптовских отложений развит т.н. "сгруженный горизонт", который по своему характеру имеет много общего со "сгруженным горизонтом" Центрального Дагестана, хотя, как выясняется, по содержанию ископаемых остатков они отличаются друг от друга.

Богатый палеонтологический материал был обнаружен нами в ущелье р. Камбилиевка и в правом ее притоке, севернее с. Тарское (окр. Бардабос). Здесь баррем-аптовский разрез представлен в терригенной фации — алевролитами, глинами, глинистыми песчаниками.

Многочисленный и разнообразный комплекс ископаемой фауны был обнаружен и определен нами в "сгруженном горизонте" в ущ. р. Камбилиевка: *Matheronites ridzewskyi* Kar., M. sp., "Acroceras" furcatum (d'Orb.), *Heteroceras* sp., *Argyothites densecostatus* Kakab., A. cf. *lashensis* Rouch., *Imerites* sp., *Deshayesites deshayesi* (Leym.), D. *dechyi* Papp, D. *oglanensis* Bogd., D. *consobrinus* (d'Orb.), D. *terminalis* Bogd., D. *luppovi* Bogd., D. ex gr. *weissi* Neum., D. sp., *Barremites subdifficilis* Kar., B. sp., *Cheloniceras seminodosum* Sinz., Ch. sp., *Dufrenoya* sp., *Phyllopachyceras* sp., *Tetragonites duvalianus* (d'Orb.), а также фрагменты гастропод и двустворчатых моллюсков. Анализ состава аммонитов показывает, что данный комплекс содержит разновозрастную фауну; в основном это позднебарремские (зоны *Heteroceras astieri* и *Matheronites ridzewskyi*) и раннеаптовские (зоны *Deshayesites weissi*, *Deshayesites deshayesi* и *Dufrenoya furcata*) формы, заключенные в слое мощностью 0,7–1,0 м. В породе они разбросаны хаотично, без ориентации в пространстве, а часть из них несет следы окатанности.

Другой интересный разрез, аналогичный описанному, нами был изучен в правом притоке р. Камбилиевка — р. Бардабос. По возрастному составу аммонитов он также отличается от дагестанских разрезов. Здесь, помимо видов, перечисленных выше, встречаются *Colchidites* ex gr. *bethlevensis* Kakab., *Paraimerites* cf. *densecostatus* (Reung.),

Kutatissites rachathaensis Kakab., K. sp.ind., *Audouliceras tzotnei* (Rouch.), *Pseudocrioceras* sp., *Deshayesites formosus* Bogd., *Kvant.*, *Scharik.*, *Neohibolites* sp., *Nautilus* sp. Как видим, комплекс содержит как позднебарремские, так и раннеаптские виды.

Сравнивая барремско-аптские разрезы Ингушетии и Центрального Дагестана выясняется, что условия осадконакопления в этих местах в течение позднего баррема и раннего апта довольно резко отличались друг от друга. Исследования (Какабадзе, Кванталиани, Шарикадзе, 1978) показали, что в Центральном Дагестане (разрезы с. Чугли, Леваши, Цудахар и др.) аптские отложения согласно продолжают верхнебарремские породы: выше пачки песчаников и глинистых песчаников, содержащих аммониты верхнебарремской зоны *Matheronites ridzewskyi* (M.ridzewskyi Kar., M. trispinosus (Koen.), M. sp.) согласно залегают глинистые песчаники без фауны (мощность около 1 м), условно отнесенные нами к нижнему апту, выше которого следует слой песчаника с нижнеаптскими аммонитами - *Pseudocrioceras waageni* (Anth.), *Deshayesites weissi* Neum. et Uhl., *Procheloniceras* sp. ind. (мощн. около 0,10-0,15 м). Выше также согласно следует пачка (мощн. 18-20 м) песчаников и глинистых песчаников, которая венчается слоем мощностью около 0,5 м песчанистого известника с довольно обильной аммонитовой фауной зоны *Deshayesites deshayesi*.

Выше по разрезу залегает пачка глинистых песчаников (2,5 м), а еще выше - т.н. "сгруженный горизонт" (по В.П.Ренгартену) (брекчия-конгломератовый слой с множеством аммонитов, большая часть которых переотложена и несет следы окатанности) и, как выясняется, он содержит аммониты зоны *Deshayesites deshayesi*, *Dufrenoya furcata* и нижней части зоны *Colombiceras crassicostatum-Epicheloniceras subnodosocostatum*, в смешанном виде. Непосредственно над "сгруженным слоем" были обнаружены аммониты нижней зоны среднего апта - *Colombiceras cf. caucasica* Lupp., C. ex gr. *crassicostatum* d'Orb., *Epicheloniceras* sp. ind. Следовательно, в Центральном Дагестане устанавливается наличие: а) верхнебарремской зоны *Matheronites ridzewskyi*, б) нижнеаптской зоны *Deshayesites weissi*, в) нижней части зоны *Deshayesites deshayesi*. Верхняя же часть зоны *Deshayesites deshayesi* и следующая за ней зона *Dufrenoya furcata* в упомянутых разрезах отсутствуют из-за размытия, а их биофации находятся во вторичном залегании в брекчия-конгломератовом слое, являвшемся базальным основанием среднего апта (гаргаза), т.е. средний апт со стратиграфическим несогласием залегает на отложениях средней зоны нижнего апта - зоны *Deshayesites deshayesi*. В западном направлении, уже в западной части Дагестана (разрезы с. Данду, Тлярата, г. Ботлиха и др.) в брекчия-конгломератовом слое среднего апта, помимо отмеченных выше типичных нижне- и среднеаптских видов, содержатся в большом количестве и верхнебарремские виды (M. ridzewskyi Kar., M. trispinosus (Koen.)), что указывает на то, что

размыв пород, подстилающих средний апт, в западной части Дагестана заграживал отложения верхнебарремской зоны *Matheronites ridzewskyi*.

Таким образом, сравнивая фаунистический состав и стратиграфическую последовательность верхнебарремских и нижне- и среднеаптских отложений в указанных выше разрезах Центрального Дагестана, Ингушетии, а также более западных разрезов Северного Кавказа, можно отметить основные различия.

В Центральном Дагестане хорошо устанавливается непрерывное, нормальное осадконакопление в интервале поздний баррем-ранний апт и фаунистически установлены зоны *Matheronites ridzewskyi*, *Deshayesites weissi* и нижняя часть зоны *Deshayesites deshayesi*. Выше со стратиграфическим несогласием залегает "сгруженный горизонт", в котором вместе с переотложенными аммонитами средней и верхней зон нижнего апта обильно встречаются и среднеаптские виды. Что касается территории Ингушетии, то здесь "сгруженный горизонт" залегает на песчаники нижнего (?) баррема (точный возраст не установлен) и содержит в смешанном виде руководящие аммониты двух верхнебарремских (зоны *Heteroceras astieri* и *Matheronites ridzewskyi*) и трех нижнеаптских (зоны *Deshayesites weissi*, *Deshayesites deshayesi*, *Dufrenoya furcata*) зон. Западнее от рассматриваемой территории, в центральной части Северного Кавказа (разрезы р. Белая речка и др.) условия осадконакопления в интервале верхний баррем-апт были иные; здесь в переотложенном виде находятся лишь раковины позднебарремских и самых ранних представителей нижнего апта аммонитов (лишь зоны *Deshayesites weissi*) и над этим слоем (мощность около 0,8-1 м) в нормальном залегании следуют отложения зон *Deshayesites weissi* (точнее ее верхняя часть), *Deshayesites deshayesi*, *Dufrenoya furcata*, а еще выше - отложения среднеаптской зоны *Epichaloniceras subnodososchatum*.

Следовательно, условия осадконакопления в позднем барреме-апте на территориях, сравниваемых регионов довольно сильно отличались друг от друга. Изучение стратиграфического несогласия между барремом и аптом в Ингушетии (с. р. Камбилиевка) показало, что отложения, соответствующие двум верхнебарремским зонам (*Heteroceras astieri* и *Matheronites ridzewskyi*) и трем нижнеаптским зонам (*Deshayesites weissi*, *Deshayesites deshayesi* и частично *Dufrenoya furcata*) на данной территории практически отсутствуют.

I.3. СТРАТИГРАФИЯ И ТЕКТОНИКА ВЕРХНЕЙ ЮРЫ МЕЖДУРЕЧЬЯ АССЫ И ТЕРЕКА

В бас.р.Ассы верхнеюрские отложения представлены двумя литологическими комплексами: терригенно-карбонатным (келловей, 40–60 м) и доломитово-известняковым (оксфорд-титон, до 1300 м). Руководящей фацией здесь охарактеризована лишь нижняя часть разреза, расчленение с вышележащих доломитов и известняков производится по литологическим признакам. Довольно однообразные известняки и доломиты по простиранию испытывают значительные фаунистические изменения. Резко меняется и мощность этих отложений. Так, например, в разрезе по ущ.р.Терек мощность карбонатных отложений верхней юры достигает 1700 м, а отделенные здесь свиты трудно сопоставимы со свитами бас.р.Ассы (однородные доломиты верхнего оксфорда западнее замещаются битуминозными известняками, известняками с желвакообразными стяжениями кремни и т.д.). В диапазоне от оксфорда до титона здесь выделено шесть свит, условно датируемых оксфордом, кимериджем и титоном (в последнем выделяются четыре свиты). Единственный аммонит, подтверждающий оксфордский возраст низов доломитово-известняковой части разреза, был найден В.П.Ренгарденом (1931) в делювии сухой балки, восточнее развалин с.Тёри – *Euspidoceras cf. regaleatum* (Sow.).

Это же аммонит у меня же – в бассейне Терека!

Значительно больший интерес в отношении уточнения стратиграфии вызывает небольшая по мощности, местами содержащая богатую руководящую фауну моллюсков, терригенная толща келловея, прерывистые обнаружения которой прослеживаются в основании эскарпа южного склона Скалистого хребта. Мощные делювиальные образования (осыпи вышележащих доломитов и известняков) часто полностью скрывают келловейские отложения и лишь местами виден нижний контакт описываемой свиты с обозначениями средней юры. На левом берегу р.Ассы, недалеко от начальника каньонообразного ущелья, высоко на склоне издали отчетливо виден зальный слой келловея – довольно толстый слой светлого цвета, почти непрерывно протягивающийся с востока на запад: от крутого большого обнажения восточнее развалин с.Тёри до тропы севернее с.Хамхи. Здесь выше кладбища с.Хамхи, обнажается слой (1–1,3 м) серого красноватого известняка с бурыми окаменевшими пятнами, нижняя часть которого (0,1–0,25 м) представляет собой конгломерат, состоящий из блоков неправильной (чаще уплощенной) формы черных аргиллитов нижележащей свиты, скементированных песчано-карбонатным плотным материалом. Подстилающие среднеюрские отложения – чередование черных аргиллитов (0,1–0,3 м) и светло-серых алевролитов (0,05–0,15 м) соде-

ржат редкие *Bositra buchi* (Roem.) и многочисленные растительные остатки. В этом разрезе фиксируется угловое несогласие между последней свитой и базальным слоем келловея, достигающее 10–15° и наблюдаемое вдоль простирания на расстоянии до 20 м (до конца обнажения). Четко видна воднистая поверхность размытия.

В конгломерате и песчанистом известняке нами найдено много плохо сохранившихся остатков ежей, морских лилий, двустворчатых и брахиопод. Вышележащие аргиллиты и алевролиты в данном разрезе обнажены очень плохо.

Именно этот разрез, по всей вероятности, впервые описал А.С. Сахаров (1965) под названием разреза у с. Отзык. В базальном слое (непосредственно выше конгломерата с аргиллитовой галькой) им найдены три раннекелловейских макроцефалита, двустворчатые, ежи, белемниты и брахиоподы. Выше он выделяет конгломерат ржаво-бурового цвета, сложенный гальками мергелей и известняков, содержащий неопределимы окатанные ядра двустворчатых и аммонитов (0,25 м). В следующем выше слое (1,6 м) серого алевролита им найдены *Kepplerites ex gr. gowerianus* (Sow.), *Sigaloceras calloviense* (Sow.), *S. aff. calloviense* (Sow.) и двустворчатые. Еще выше им выделяются пачки черных глин с конкрециями (58,8 м), серых алевролитов (15 м) и бурых массивно-слоистых песчаников (37,5 м). По мнению А.С. Сахарова, вся найденная фауна носит следы длительного переноса в водной среде. Следует отметить, что в данном разрезе, несмотря на нормальную последовательность нахождения руководящих аммонитов (внизу – зона *Macrocephalites macrocephalus*, выше – зона *Sigaloceras calloviense*), А.С. Сахаров считает их переотложенными в средний келловей. Мощность терригенных отложений келловея, судя по залеганию слоев и расстоянию до карниза доломитов, здесь не должна превышать 40 м, что почти втройне меньше мощности, измеряемой А.С. Сахаровым и предыдущими исследователями (Ренгартен, 1931; Крымов, 1961 и др.).

Примерно в 1 км северо-восточнее описанного разреза, северные развалины с. Тёри, высоко над ущельем видно узкое длинное обнажение терригенных отложений. Здесь, среднеюрская свита, представленная аргиллитами с прослойями песчаников, линзами, будинами и слоями, переполненными сидеритовыми конкрециями (шаровидными, почковидными, пильскими), заканчивается пачкой (7,5 м) аргиллитов с очень редкими прослойками песчаников, на которой залегает:

- I. Слой брекчийского песчанистого плотного известняка с ржавыми окисленными участками и гальками неправильной формы черных и темно-серых аргиллитов в нижней части слоя. На выветренной поверхности плотного известняка встречаются естественно отпрепарированные двустворчатые, брахиоподы, морские ежи и лилии: *Lima* sp., *Ostrea* sp.

0,8–1,0 м

2. Аргиллиты темно-серого цвета со слоями-цепочками ржаво-черных неправильной формы конкреций, чередующихся через 0,3-0,5-1,0-1,5 м. В 5-7 м над базальным слоем мной в конкрециях найдены: *Cadoceras* (*Paracadoceras*) *elatmae* (Nik.), *Kepplerites* sp. ind., *Cadomites* sp., *Pinna* sp. В аргиллитах же собрано множество мелких *Cadoceras* sp. (cf. *mundum* Sasonov), фрагменты отпечатков *Macrocephalites* sp., *Hecticoceras* sp. и *Pseudophyllocoeras* sp. Из двустворчатых часто встречаются мелкие *Bositra buchi* (Roem.) 9,5 м
 3. Серые аргиллиты с редкими конкрециями и будинами сидеритов (до 10 см) 28,5 м
 Далее, на расстоянии до 5 м слои покрыты делювием.

Таким образом, мощность келловейской терригенной свиты здесь, как и западнее, не превышает 40 м.

Подобные же разрезы келловейской терригенной свиты прослеживаются по простиранию западнее, на расстоянии до 25 км, до ущелья р. Терек. Наиболее известные из них: разрез у перевала Герчеч, у с. Фортоуг (по р. Адечхи) и на правом берегу р. Терек (напротив с. Чми). Нами детально изучены два последних.

По левому склону уш. ручья Адечхи (у с. Фортоуг) над среднеюрскими темно-серыми (почти черными) аргиллитами и алевролитами с многочисленными остатками двустворчатых *Bositra buchi* (Roem.), *Goniothysa* sp., *Pleuromya* sp., *Pholadomya* sp. после перерыва в обнажении следует:

1. Пачка очень плотных органогенно-обломочных песчанистых известняков с красными ожелезненными пятнами. Слои этих известняков (мощность от 0,3 до 1,0 м) слагают пачку видимой мощностью до 4-5 м
2. Непосредственно на ней залегают довольно мягкие зеленовато-серые глинистые алевролиты с редкими тонкими (до 0,1-0,2 м) прослойями плотных песчанистых известняков и карбонатных песчаников. В этой пачке нередки глинистые сидериты в виде линз, линзообразных слоев и конкреций разных размеров и формы (часто скорлуповатых, изнутри полых, выветрелых). В одной из конкреций в нижней части пачки найден прекрасной сохранности *Macrocephalites canizarroi* (Gemm.), а во вмещающих конкрециях мягких глинистых алевролитах обнаружены многочисленные мелкие (юные) особи *Macrocephalites* sp., фрагменты отпечатков крупных *Cadoceras* sp. и *Macrocephalites* sp., многочисленные деформированные внутренние ядра филлоцерасов, перисфингтил, кадоцерасов, разнообразных двустворчатых. Здесь же в глинах найдены *Cadoceras elatmae* (Nik.) и несколько экземпляров *Cadomites* sp. 10-12 м

3. Выше по разрезу, на расстоянии 25–30 м видны редкие обнажения (небольшие, разрушенные) тех же глинистых алевролитов и темно-серых скорлуповатых, хрупких, с ржавыми налетами на выветрелой поверхности, аргиллитов. Редко встречаются овальные и неправильной формы сидеритовые конкреции. Много остатков мелких двустворчатых *Bositra buchi* (Roem.), *Entolium* sp. В средней части пачки найден *Ptychophyllocceras* sp., а в верхнем, углистом слое, переполненном остатками растений – отпечаток крупного перисфинкта
- до 25 м
4. Чередование серых плотных песчанистых известняков (карбонатных песчаников) и светло-зеленовато-серых мягких песчанистых глин. Мощность слоев 0,1–0,8 м. В первом же слое (и выше) песчанистого известняка много гравелитового материала. Некоторые слои переполнены губками. Видимая мощность 10–12 м
5. Выше в делювии видно небольшое окно темно-серых, почти черных песчанистых аргиллитов, подобных пачке 3
- до 15 м
6. Равномерное чередование плотных тонкослоистых светло-серых известняков и более темных мергелей (мощность слоев 0,3–0,4 м)
- более 70 м

Примерно в 2 км северо-западнее описанного разреза, на правом берегу Терека, напротив северной окраины с. Чми, видно обнажение делювия, ранее описанное Б.Ф. Крымовым (1960, 1961) и Н.В. Безносовым (1960). Среднеурские образования здесь представлены (снизу вверх) тонким чередованием темно-серых слабослюдистых аргиллитов и ржаво-серых алевролитов (от нескольких мм до первых см) с редкими округлыми и мелкими (очень редко крупными – до 0,2 м) или линзообразными очень плотными конкрециями (видимая мощность 35–40 м). Выше (к северу, вниз по течению), через 25–30 м перерыва следуют толстослоистые (0,2–0,8 м) серые (на выветрелой поверхности – ржавые) алевролиты, чередующиеся с серыми и темно-серыми песчанистыми аргиллитами (0,2–1–0,3 м), с многочисленными фрагментами растений (мощность 10–15 м). Затем виден небольшой разрыв (в зоне наблюдаются зеркала скольжения и кварцевые жилы), где с толстослоистыми алевролитами соприкасаются темно-серые аргиллиты с редкими (через 0,2–0,7 м) прослойками ржаво-бурых плотных алевролитов и очень плотных конкреций и линз (видимая мощность – до 15 м). Выше следует:

I. Слой органогенно-обломочного песчанистого известняка с окатанными мелкими гальками (от нескольких мм до первых см) темно-серых и ржаво-красных пород. Верхняя часть слоя, резко обогащенная окислами и оолитами железа, имеет буро-красный цвет. Здесь во множестве встречаются естественно отпрепарированные фрагменты двустворчатых, морских лилий, ежей и белемнитов. Этот слой прослеживается на расстоянии до 40 м, с севера он линзовидно выклинивается, а южная часть скрывается под аллювием

альными отложениями речной террасы. Мощность его изменяется в пределах от 0,1-0,3 до 1,0 м. Этот слой повторяется вверх по разрезу из-за небольшого пологого надвига с амплитудой не более 50-60 м. Разделяющие их темно-серые с ржавой поверхностью аргиллиты (подстилающие базальный слой I среднеюрские отложения - см. выше) в северной части обнажения достигают мощности 10-12 м, а в южном конце они полностью выклиниваются, а части разорванного слоя I соприкасаются. Зона разлома интенсивно окварцована и смята, видны многочисленные зеркала скольжения. Максимальная мощность описанного слоя 1,2-1,4 м

2. Над базальной пачкой песчанистого известняка следуют зелено-вато-серые песчанистые аргиллиты с рострами белемнитов 2,5-3 м

3. Выше залегает пачка, представленная чередованием светло-серых карбонатных аргиллитов (0,1-0,5-1,0 м) и плотных светло-серых карбонатных песчаников и песчанистых известняков. Вверх количество последних увеличивается, прослои аргиллитов уменьшаются по мощности и в кровле пачки резко преобладают песчанистые известняки. Видимая мощность 20 м

В первых же слоях пачки 3 нами обнаружены: *Macrocephalites* sp. (cf. *madagascariensis* Lem.) и еще несколько фрагментов крупных и мелких макроцефалитид, *Holcophylloceras zignodianum* (Orb.), *Ptychophylloceras* sp. и другие филлоцератиды, отпечатки перисфинктид и гектикоцератин. Встречаются также раковины *Bositra buchi* (Roem) и других двустворчатых.

Первое детальное исследование терригенных отложений келловея междууречья Асса-Терек было проведено более полувека назад В.П.Ренгартеном, отметившим в разрезе севернее р.Тёри присутствие нескольких двустворчатых и *Macrocephalites* sp. Спустя четверть века Е.С.Брюн (1955) высказал мнение об отсутствии нижнего келловея в бассейне р.Ассы и вообще на всем Северном Кавказе. Многолетние исследования М.М.Мацкевича, Б.Ф.Крымова, А.С.Сахарова и Т.А.Ломинадзе в значительной степени уточнили стратиграфию описываемых отложений. М.М.Мацкевич, как и предшествующие ему исследователи - Забаринский П.П. и Крисюк И.М. (1950), за основание келловея принял пласт песчанистого известняка, обогащенного железистыми соединениями. По данным Б.Ф.Крымова (1961), этот конгломератовидный слой с окатанными гальками среднеюрских пород залегает в основании ср.келловея и в разрезе по западному борту Ассы, содержит остатки *Macrocephalites* cf. *compressus* (Waag.) и другой фауны(определ.Зесашвили). Из той же пачки разреза с.Фортог (руч.Адечхи) Б.Ф.Крымовым (1961) приводится *Macrocephalites tumidus* (Rein.), разные филлоцерасы и многочисленные двустворчатые (определ. Е.Ф.Фроловой-Багреевой). Б.Ф. Крымов вносит резкую поправку в стратиграфию келловея: в разрезе

правого берега Терека, ниже базального пласта им отмечается богатая фауна аммонитов и двустворчатых, среди которых присутствуют *Macrocephalites*, *Hecticoceras*, найденные в пачке темно-серых глин, ранее относимых к средней юре. Неожиданные корректизы были внесены также в стратиграфию келловея разреза перевала Герчёч, где, судя по описанию этого автора, под пластом ожелезненного песчанистого известняка в глинистой пачке были найдены *Quenstedtoceras praelamber-*
ti Douv., *Q. brasili Douv.* (опр. Е.Ф. Фроловой-Багреевой), на основании чего вмещающие слои датированы средним келловеем. В этой же статье Б.Ф. Крымов отказывается от прежней датировки пласта песчанистого известняка разреза по левому борту р. Ассы ранним келловеем, ссылаясь на наличие явных признаков переотложения у найденной здесь ранее фауны. Таким образом, в разрезе келловея междууречья Асса-Терек, Б.Ф. Крымов опустил границу нижнего келловея ниже пласта ожелезненного песчанистого известняка, который отнес к среднему келловею. Того же мнения в дальнейшем придерживаются М.М. Мацкевич и А.С. Сахаров (1963), А.С. Сахаров (1964, 1965), Т.А. Ломинадзе (1982).

В отличие от названных исследователей Н.В. Безносов (1960) вновь отнес интересующий нас пласт к базальному горизонту келловейской толщи. В нем им обнаружено окатанное ядро *Oxycerites cf. aspiroides* (Opp.), а выше - *Macrocephalites* sp. и *Cadoceras* sp.

Суммируя накопившийся материал, М.М. Мацкевич (1965) выделил в рассматриваемом районе две келловейские свиты, разделенные пластом ожелезненного песчанистого известняка: нижнекелловейскую - таргимскую свиту и среднекелловейско-нижнеоксфордскую - армхинскую свиту. Позднее (см. "Объяснительную зап. к стратиг. схеме юрских отложений Сев. Кавказа", 1973) А.С. Сахаров и др. отнесли таргимскую свиту к верхнему бату (предположительно) - нижнему келловею, а диапазон армхинской свиты уменьшили до нижнего-среднего келловея. В новейшей же работе - "Юра Юга СССР" (1983, коллектив авторов, отв. ред. В.А. Бененсон) первая из свит твердо датирована поздним батом-ранним келловеем, а в отношении армхинской свиты сказано, что ныне ее средне-верхнекелловейский объем доказан палеонтологически.

Из вышеизложенного становится очевидной необходимость детального анализа существующего фактического материала. В первую очередь это касается руководящих форм, в особенности их местонахождения и стратиграфического уровня в конкретных разрезах.

Приводимый в литературе список руководящих форм, датирующих таргимскую свиту ранним келловеем, содержит *Pleurocephalites tumidus* (Rein.), *Macrocephalites canizarroi* (Gemm.), а также ряд непригодных для точного датирования филлоцератид и двустворчатых (см. "Объяснительную зап. к стратиг. схеме юрских отложений Сев. Кавказа", 1973, с. II7-II8). Оба макроцефалита, несомненно, раннекелловейского возраста. Остается уточнить, в каком именно разрезе и на каком уров-

и они найдены. Из работ Б.Ф.Крымова (1961) и А.С.Сахарова (1965_I) выясняется, что эти два образца аммонита были найдены в разрезе перевала Герчёч, под пластом ожелезненного песчанистого известняка - конгломерата, + в глинистой пачке. Первоначально эти фрагменты аммонитов были определены Е.Ф.Фроловой-Багреевой как *Quenstedtoceras graelamberti Douv.* и *Q. brasile Douv.*, впоследствии же Н.Т.Сазонов переопределил их как *Macrocephalites canizarroi (Gemm.)* и *Pleurocephalites tumidus (Rein.)*. Исходя из этого обстоятельства, нетрудно судить хотя бы о сохранности этих образцов. А.С.Сахаров (1965) подтверждает правильность такого определения, ссылаясь на собранный лично им в данной пачке комплекс фауны (см.стр.60). Здесь же выясняется (см.стр.117), что "в черных аргиллитоподобных глинах, недалеко от перевала Герчёч и по ручью Диджуакам ... были собраны и определены только двусторчатые". Из приведенного списка (7 видов) нет ни одной формы, подтверждающей раннекелловейский возраст, ввиду их значительно более широкого стратиграфического диапазона.

Кроме вышенназванных двух аммонитов в пользу раннекелловейского возраста таргимской свиты приводится также один образец *Pleurocephalites tumidus (Rein.)*, определенный Е.Ф.Фроловой-Багреевой (Крымов; 1961) из разреза с.Фортог (в комплексе ряда непригодных, в данном случае, для датирования головоногих и двусторчатых). Указывается и уровень находки в разрезе: над конгломератом, скементированным карбонатным материалом. Таковым в данном разрезе является пласт базального ожелезненного песчанистого известняка - конгломерата. Ниже обнажены лишь небольшие фрагменты темно-серых аргиллитов. И, наконец, А.С.Сахаровым (с.Фортог, руч.Адечхи) определен *Oxycerites cf. tilli (Loczy)*, *Macrocephalites sp. ind.*, *Holcophylloceras sp. ind.* и *Posidonia buchi (Roem.)*. (1965_I, стр.46). Первая из форм - *Oxycerites cf. tilli (Loczy)* - в этой же работе (стр.118) указана и в разрезе руч.Диджуаком (левобережье Терека), в палеонтологической же части данной работы указывается лишь один экземпляр ("одно ядро посредственной сохранности"). Судя по описанию и довольно хорошему изображению, он может быть определен как раннебатский вид *Oxycerites yeovilensis (Roll.)*.

Существует одно обстоятельство, которое могло бы способствовать невольной ошибке при определении уровня взятия фауны: тёмно-серые аргиллиты в большинстве разрезов имеются как под базальным пластом песчанистого известняка, так и над ним (в том числе и в разрезе пер. Герчёч).

Наконец, признанием ранее допущенной ошибки является сравнительно недавно опубликованная статья А.С.Сахарова, С.Ф.Макарьевой и Е.Ф.Лозгачевой (1980), касающаяся корреляции верхней юры Северо-Восточного Кавказа. В ней отмечено, что в сохранившемся только в пределах западной части Горной Ингушетии (в басс.р.Армхи) в нижне-

Всё в отмеченных разрезах, кроме первого, сохранившееся только в западной части Горной Ингушетии (в басс.р.Армхи)... 31

келловейском подъярусе удается выделить лишь обедненный микробиокоррелятив с *Pseudonodosaria*. Что же касается вышеупомянутых двух видов макроцефалитов — *Pleurocephalites tumidus* (Rein.) и *Macrosterehalites canizarroi* (Gem.) — опорных для датирования таргимской свиты, то в данной работе они фигурируют в списке раннекелловейской фауны, найденной выше базального пласта окжелезненного песчанистого известняка — конгломерата ("шамозитово^{го} литокоррелятива", отнесенного к № 2).

Представляется более оправданным отнесение толщи аргиллитов и алевролитов, подстилающих означенный базальный пласт, к нижнему бату и частично, возможно, к верхнему байосу. Что же касается таргимской свиты в понимании М.М.Мацкевича (1965), то нетрудно убедиться, что "эрзинские слои" как по литологическому составу и условиям залегания (пласт кристаллического известняка с галькой подстилающих пород, с размывом залегающий на средней юре и вышележащие глины и алевролиты — 10 м), так и по богатому комплексу раннекелловейских аммонитов, не что иное, как базальная формация нижнего келловея. М.М.Мацкевич, правильно датировав эти слои раним келловеем, допустил ошибку, выделив в основании "армхинской свиты" (средний келловей-нижний оксфорд) "ходские слои" среднего келловея — очевидный стратиграфический аналог "эрзинских слоев", что подтверждается общностью фаунистического и литологического состава и условий залегания.

Мысль о переотложении раннекелловейской фауны в средний келловей возникла под влиянием работы Е.С.Брюн (1955), придерживающейся взгляда об отсутствии нижнекелловейских отложений на Северном Кавказе и широком развитии среднекелловейской трансгрессии. М.М.Мацкевич в 1956—1957 гг. и Б.Ф.Крымов в 1960, 1961 гг. высказали мнение о переотложении раннекелловейской фауны в широко распространенный в данном районе пласт песчанистого известняка — конгломерата. Позднее эту идею развил А.С.Сахаров (1965; Сахаров и др., 1980), использовав для этого как пример разрез пер.Герчёч. Отнеся подстилающие базальный пласт песчанистого известняка — конгломерата глины и алевролиты к нижнему келловею (на основании собранных ранее двух вышеотмеченных аммонитов), вышележащие аргиллиты, алевролиты и глины он датировал средним келловеем, отметив при этом наличие явных признаков переотложения у образцов раннекелловейских аммонитов. Значительно более веским фактом переотложения он считает ненормальную, по его мнению, последовательность нахождения аммонитов в восходящем разрезе: руководящие ископаемые зоны *Sigaloceras callovicense* здесь находятся под слоями с фауной зоны *Cadoceras elatmae*. А именно, в I-метровом слое алевролита над базальным пластом известнякового конгломерата (II,5 м) А.С.Сахаров отмечает *Sigaloceras callovicense* (Sow.) и *Kepplerites gowerianus* (Sow.), совместно с 5 видами раннекелловейских макроцефалитид. Выше же, в 15-метровой пачке темно-серых аргиллитов им определены 2 вида *Kosmoceras* и 6 форм, принадлежащих к роду

Cadoceras. В описании разреза (стр. 53) и в ее стратиграфической колонке уровни находок в 15-метровой пачке, к сожалению, не отмечены. Лишь на стр. 122 говорится о распределении кадоцерасов в данном разрезе: в первых 1,5-2 м встречены груборебристые *Cadoceras sasonovi Sacharov sp. nov. et subsp. nov.* совместно с *C. primaevum Sas* nov. Выше (мощность не указывается) найдены *C. elatmae inguscheticus Sacharov sp. nov.*, *C. frearsi* (Orb.) и *C. cf. multiforme Jmlay*, а еще выше, почти у кровли пачки - *C. cf. multiforme Jmlay*.

А.С. Сахаров здесь же указывает на уровень нахождения космоце-расов: один экземпляр *Kosmoceras pollucinum Teys.* был найден в 7 м от подошвы пачки, а новый вид - *K. crassum Sacharov* - несколько ниже. Из шести вышеназванных видов кадоцерасов три, по заключению автора, являются новыми. К ним можно присоединить и сравнительно новый вид, не описанный в данной работе - *C. primaevum Sas.* (Сазонов, 1957). Известный из литературы стратиграфический диапазон *Cadoceras cf. multiforme Jmlay* объемлет как нижний, так и средний келловей. Среди названных видов отсутствует вид-индекс зоны *Cadoceras elatmae*.

Подводя итоги анализа фактического материала по стратиграфии келловейских отложений междуречья Асса-Терек, можно сказать следую-щее:

1. Келловей в данном районе, как отмечалось ранее Н.В. Безносовым (1960) и Г.А. Логиновой (1964), начинается пластом песчанистого окисленного известняка-конгломерата, с размытом и видимым во многих местах угловым несогласием, залегающим на среднеюрских отложениях.

2. Богатая фауна руководящих аммонитов раннего келловея, со-держащаяся как в базальном пласте, так и в вышелегающих аргиллитах и алевролитах, не переотложена, а находится *in situ*. Это несомненно, так как раннекелловейские аммониты нами обнаружены во множестве в нескольких разрезах не только внутри конкреций, но и во вмеща-щих аргиллитах надконгломератовой толще, *ненесогласованной*, *без залегающей слоя, конкреций.*

3. Предлагается выделить фортоугскую свиту - терригенные отло-жения, подстилающие келловей. Нижняя граница свиты пока остается неопределенной. Верхняя же ее часть, как уже отмечалось, может быть датирована ранним батом. Учитывая характерную для всего Кавказа общность отложений верхнего байоса и нижнего бата, допустимо принять для данной свиты тот же диапазон.

4. Вышележащие отложения - от базального пласта до слоев с раннеоксфордской фауной - следует отнести к таргимской свите. Выде-ление же армхинской свиты нужно признать излишним.

5. Исследованная полоса келловейских отложений, находясь на стыке Бореального и Тетического палеозоогеографических поясов, при еще более детальных стратиграфических и палеонтологических исследо-

3. Геологическое строение ...

ваниях, возможно, станет ключевым районом для решения (хотя бы частичного) сложнейшей проблемы корреляции одновозрастных отложений отмеченных областей, уточнения стратиграфического диапазона ряда руководящих форм, в том числе и представителей рода *Sadoceras*.

Верхнеюрские отложения Скалистого хребта смяты в две крупные складки. Геалердикортская синклиналь – хорошо видна на правобережье р.Ассы. Она расположена в южной части хребта и простирается в субширотном направлении с востока на запад от р.Аккичу до р.Терчек, на протяжении 35 км (Коваленко и др., 1979). В ее строении принимают участие верхнеюрские и нижнемеловые отложения. Южное крыло синклиналии, по ширине достигающее 1–1,5 км, довольно полого падает на север под углом 20–30°. Таким же пологим является и северное, менее широкое, крыло синклиналии – 25–30°. Последнее, в месте сопряжения со следующей с севера Бештингортской антиклиналью, осложнено флексурой в виде двух узких (ширина до 200–250 м) и крутых (углы падения крыльев – 50–80°) складок: антиклиналии и синклиналии. Далее следует довольно широкая сводовая часть Бештингортской антиклиналии, северное крыло которой на расстоянии более 1 км характеризуется большей частью крутым падением, доходящим местами до 80° и более. Далее к северу описанная антиклиналь выполняется и переходит к синклиналью, выполненную меловыми отложениями.

Отмеченный рядом авторов (Мельников, 1962; Коваленко и др., 1979 и др.) Бештингортский взброс проводится вблизи свода антиклиналии того же названия, причем, последняя, по их мнению, надвинута на северное крыло и ядро Геалердикортской синклиналии.

Плоскость смещения взброса, по данным этих авторов, наклонена на север под углом 70–80°, а амплитуда превышает 500 м. По нашим же наблюдениям, плоскость смещения наклонена в обратную сторону – на юг. В каньоне р.Ассы, недалеко от устья правого притока р.Фалькинтычу наблюдается зона разлома с небольшим смещением. Плоскость ее круто, под углом 70–80°, наклонена на юг. Выше, на прекрасно просматриваемой снизу поверхности отвесной стене правого берега реки видна описанная выше флексура с крутым северным крылом антиклиналии и пологим южным крылом следующей к северу флексурной синклинальной складки, что также указывает на взброс с юга на север. Бештингортский взброс в исследованной полосе не создает видимого на поверхности сколько-нибудь значительного разрыва и выражен описанной выше флексурой.

При изучении разрезов келловейской терригенной свиты особое внимание уделялось условиям залегания и тектоническим взаимоотношениям с пограничными свитами. Одним из значительных при этом является вопрос о наличии или отсутствии надвига Скалистого хребта. Еще в 1932 г. В.П.Ренгарденом было высказано мнение об отсутствии средне-юрских отложений в районе Военно-Грузинской дороги, что он объяснял

их выклиниванием под надвинутыми с севера на юг известняками Скалистого хребта. Тектонической же, по надвигу, им считалась граница средней и верхней юры в бассейне р.Ассы. Позднее относительно существования надвига было высказано сомнение (Забаринский, Крисюк, 1951), а затем реальность его и вовсе отрицается: М.М.Мацкевич (1957, 1965) объяснил отсутствие средней юры предкелловейским размывом, Б.Ф.Крымов (1961) же считает, что этот размыв вызван "меридиональной волной подъема" в данном районе. Однако впоследствии, идея надвига Скалистого хребта вновь оживляется Е.И.Коваленко, А.Д.Кокаревым и А.Ф.Забеловым (1979), назвавшими его "Цейламским надвигом". Отмечая резкое угловое и азимутальное, а также стратиграфическое несогласие между верхней юрой и подстилающими отложениями, они склоняются к выводу, что все это вряд ли можно объяснить только трансгрессией келловея. Не отрицая ее значения, они считают, что ... "на характер контакта повлияли все поздние тектонические подвижки...", произошедшие "в начале восточно-кавказской фазы складчатости". В этой же работе они рассматривают данную тектоническую подвижку как поддвиг средней юры с юга на север под верхнюю юру Скалистого хребта, "... которая как бы скользила в противоположном направлении по аргиллитам". Ими даже замерены направление и угол наклона плоскости подвига (север, угол 30°). Относительно амплитуды смещения отмечается, что хотя ее определение затруднено, но она, видимо, значительна. К сожалению, в данной работе конкретные материалы, подтверждающие эти выводы, отсутствуют.

Несложно представить, что в случае перемещения мощной массы твердых известняков и доломитов Скалистого хребта срыв произошел бы в месте соприкосновения с подстилающими мягкими глинисто-песчанистыми отложениями. Таковыми в разрезе являются терригены келловея, в которых на протяжении почти 30 км - от р.Ассы до Терека - не замечено сколько-нибудь значительных смещений. Не нарушена также нормальная последовательность слоев, что подтверждается фаунистически.

Надвиг, а, скорее всего, поддвиг? (с 10 на с) ^{некотор?} Всё-таки, нечто, но не такого грандиозного масштаба, как предлагал Ренгарден ^{Бернхардсвиль-типа}. Это видно в:

1. Разрезе правого берега р.Терек: здесь базальтических известняков кончиками репы километров пять разорваны наложены надвигом (расщеплены) и в разрезе повторяется ^{снизу} залежь. Амплитуда смещений - не более 50-60 м.
2. В разрезе Терека, где можно описать как будто структурное согласие (подстилающие кембрийские известняки под углом до 80°) - Это тоже следствие надвига пестрого синклиниора, заканчивающегося 35 метрами в сбросах.

2. СТРАТИГРАФИЯ, ЛИТОЛОГИЯ, ВУЛКАНИЗМ И ОСОБЕННОСТИ ТЕКТОНИЧЕСКОГО СТРОЕНИЯ НИЖНЕЙ И СРЕДНЕЙ ЮРЫ БОЛЬШОГО КАВКАЗА

М. В. Топчишвили

2.1. СТРАТИГРАФИЯ НИЖНЕ- И СРЕДНЕЮРСКИХ ОТЛОЖЕНИЙ РР. АРАГВИ И АССЫ

Нижне- и средненурские отложения, развитые на исследованной территории, с юга на север четко отличаются строением разреза, условиями залегания и характером проявления магматизма. Это позволяет выделить здесь несколько структурно-фацальных зон, протягивающихся на значительные расстояния по простиранию. Каждая зона характеризуется определенным типом разреза и соответствует довольно крупным палеотектоническим элементам ранне-средненурской геосинклинали.

Согласно существующей схеме структурно-фацального районирования (П. Гамкрелидзе, И. Гамкрелидзе, 1975), рассматриваемая территория относится к восточной зоне погружения антиклиниория Главного хребта, Казбекско-Лагодехской зоне и Внешней зоне Горного Дагестана.

Восточная зона погружения антиклиниория Главного хребта выделяется в пределах горст-антиклиниория Бокового хребта и соответствует осевой части ранне-средненурской геосинклинали. На поверхность зоны в верховьях бас. р. Ассы выступают только отложения циклаурской свиты. Подошва нижненурских отложений, выраженная грубообломочными породами кистинской свиты, здесь не вскрыта. Она обнажается несколько западнее, обрамляя восточное погружение Дарьальского и Гвелетского массивов. Зона характеризуется большой мощностью и сильным метаморфизмом отложений, практически лишенных органических остатков, развитием интенсивной складчатости и кливажа, наличием в разрезе эфузивных пород основного состава и многочисленных секущих даек диабазов.

Наиболее полно отложения циклаурской свиты развиты в ущ. р. Ассы и ее правого притока - р. Цкаростави, где нами, совместно с Т. В. Гиоргиани и др., составлен разрез:

$I_1^{2+3} p-t_1 ts$ I. В 800 м от устья р. Бисны (правый приток р. Ассы), в северном крыле одноименной антиклинали выступают аспидные сланцы с незначительным количеством прослоев песчаников (200 м), а в южном крыле - только аспидные сланцы (360 м).

2. Участок мелких складок, сложенных переслаиванием аспидных сланцев, иногда песчано-алевритистых, с прослойями мелкозернистых песчаников 620 м

3. Аспидные сланцы с крайне редкими прослойками плотных песчаников и 7 дайками диабазов мощностью 3-6 м. Породы толщи слагают крупную Биснинскую антиклиналь
1450 м
4. Далее следует Ковгринская антиклиналь, в строении которой принимают участие в основном аспидные сланцы. Прослои песчаников встречаются очень редко. Количество даек диабазов увеличивается до 12 770 м
5. Сплошной выход аспидных сланцев с 15 дайками диабазов мощностью от 2 до 9 м 640 м
6. Аспидные сланцы с редкими прослойками песчаников и 36 дайками диабазов Толща слагает Амгинскую антиклинальную структуру. 1290 м
7. Исключительно аспидные сланцы с 17 дайками диабазов мощностью от 1,5 до 20 м. В верхней половине толщи проходит несколько разломов с амплитудой более 100 м 1300 м
8. Глинистые сланцы с единичными прослойками песчаников и секущими субвулканическими телами диабазов. В верхних горизонтах толщи появляются два выхода базальтовых пиллоу-лав. Мощность первого выхода 30, второго - 170 м 1500 м
9. Глинистые сланцы, на отдельных участках переслаивающиеся с мелкозернистыми тонкослоистыми песчаниками. В южной окраине выхода проходит крупный разлом. Эта толща слагает Горгускую антиклиналь 700 м

Описанные в разрезе толщи циклаурской свиты смяты в систему узких, сильно скатых складок, рассеченные частыми параллельными поверхностями кливажа. Это, конечно, затемняет действительную картину слоистости и значительно препятствует установлению истинной мощности отложений. Указанные в разрезе величины видимые и в значительной степени завышенные. Очевидно, истинная мощность свиты достигает 3000-3500 м.

Восточнее, в ущ.рр.Аргун и Андаки отложения циклаурской свиты слагают ядро крупной антиклинальной структуры. От места слияния этих рек по ущ.р.Аргун до р.Шатилисцкали обнажаются темные аспидные сланцы, местами полосчатые, с редкими тонкими прослойками мелкозернистых песчаников. Далее до развалин Качу и несколько южнее на расстоянии 700-800 м встречаются главным образом аспидные сланцы и их полосчатые разновидности. Выше, до устья р.Георгиевки, среди аспидных сланцев вновь появляются слои песчаников мощностью от 2-5 до 40 см, которые впоследствии совершенно исчезают, и свита представлена только однообразными глинистыми сланцами. Дайки диабазов, так интенсивно развитые в ущ.р.Ассы, здесь встречаются редко (всего несколько раз).

Из верхних горизонтов свиты Н.И.Авалишвили и др. отмечается находка *Mytiloceramus substriatus* (Muns. in Goldf.), на основании которого содержащие его отложения относятся к верхнему плинсбаху.

2. Глинистые сланцы, переслаивающиеся с песчано-алевритистыми сланцами и песчаниками. В верхних горизонтах толщи, не доходя перевала Колотанисгеле породы отличаются флишевидным чередованием 1700 м

В пригребневой части Главного Кавказского хребта количество песчаников значительно сокращается, и в строении толщи (800 м) главную роль играют глинистые сланцы с раннеааленской фауной. Они выполняют здесь крупную синклинальную складку и, видимо, слагают вышележащую гудшаурскую свиту.

3. Переслаивание глинистых сланцев и песчаников 600 м.
Затем в истоках р. Эсачо (верховья р. Хевсуретской Арагви) опять выступают отложения гудшаурской свиты мощностью 350 м.

4. Монотонное переслаивание глинистых сланцев и песчаников. Породы местами характеризуются полосчатостью. В ущелье р. Эсачо нами найдены *Dumortieria cf. bleicheri* Ben., *Mytiloceramus gryphoides* (Schlothe.), *M. minimus* (Kakh.) и *Pleuromya goldfussi* Roll. 700 м

5. Глинистые сланцы и песчано-алевритистые сланцы с прослойями песчаников и конкрециями сидеритов. В песчано-алевритистых сланцах нам удалось найти *Denckmannia* sp., *Mytiloceramus cinotus* (Goldf.) и *M. quenstedti* (Pčel.) 700 м

Несколько восточнее (с. Атабе) встречен
Grammoceras thouarsense (d'Orb.)

6. Глинистые сланцы, переслаивающиеся с песчаниками. Часто песчаники стущаются и образуют 10-метровые пачки. В ущ. р. Горшаглисцкали нами обнаружены *Haugia* sp., *Mytiloceramus quenstedti* (Pčel.) и *M. gryphoides* (Schlothe.) 500 м

7. Глинистые сланцы, местами полосчатые с прослойями песчаников и конкрециями сидеритов разной формы и величины. Ширина выхода 3500 м

Выход с юга ограничен зоной разлома (70 м), проходящей у слияния рр. Блокгеле и Хевсуретской Арагви.

Pleydellia cf. *subcompta* (Bran.), найденная в верхних горизонтах толщи I, указывает на присутствие во вмещающих ее слоях самой верхней части тоара. Слои, непосредственно подстилающие эти фауносодержащие отложения, своим стратиграфическим положением соответствуют более низким уровням верхнего тоара и, по-видимому, частично нижнему тоару. Это предположение подтверждается наличием *Denckmannia* sp., *Haugia* sp. и *Grammoceras thouarsense* (d'Orb.), обнаруженных в южной части разреза (толщи 5-6). Кровля тоара выступает также на Южном склоне Главного хребта в толще 4, где найдена

Dumortieria cf. *bleicheri* Ben. Повторение в разрезе одновозрастных слоев указывает на то, что отложения казбекской свиты сложены в разнорядковые складки, затрудняющие установление их действительной мощности. По нашему определению она равна 2500 м.

Восточнее отложений казбекской свиты широко развиты в ущ. р. Аргун, где в ее составе часто появляются слои конгломератов мощностью от 0,6 до 5 м. Окатанный материал конгломератов представлен кварцево-пластиоклазовыми песчаниками, глинистыми сланцами и глинисто-карбонатными конкрециями. К отложениям свиты приурочены мелкие сидеритовые конкреции, которые часто увеличиваются в размерах и переходят в линзы. Faунистически обоснованные наиболее древние слои казбекской свиты выступают в окрестностях Тамарисцихе, а наиболее молодые – в истоках р. Аргун. Здесь они содержат, соответственно, раннетоарский *Dactylioceras* sp. и позднетоарские *Dumortieria gundershensis* (Haug), *D. brancoi* Ben., *D. radiosa* (Seeb.) и *D. pseudoradiosa* Bran. В пачке с различным соотношением глинистых сланцев и песчаников, развитых во втором правом притоке р. Гуданисгеле (бас. р. Хевсуретской Арагви) встречена также позднетоарская *Pleydellia subcompta* (Bran.).

Заканчивая характеристику отложений казбекской свиты, следует отметить, что соотношение глинистых сланцев и песчаников в составе свиты не имеет строго закономерного характера. Часто эти два элемента ритма по простиранию замещают друг друга. В результате в одном случае преобладают пачки глинистых сланцев, в другом же – песчаников. Многие ценные находки руководящих форм аммонитов уверенно устанавливают ее возраст тоаром.

Следующая – гудушаурская свита – согласно, но по резкой литологической границе, перекрывает казбекскую свиту. Она представлена однообразными глинистыми сланцами с редкими прослоями песчаников и конкрециями с примесью железистого карбоната.

И.Р. Кахадзе (1947) не считал возможным выделить в отдельности казбекскую и гудушаурсскую свиты. По его мнению, в сланцах гудушаурской свиты также встречаются обогащенные участки песчаниками, не отличимые от казбекской свиты.

Глинистые сланцы гудушаурской свиты местами в действительности замещаются отдельными слоями и маломощными пачками песчаников, но их количество, по сравнению с песчаниками казбекской свиты, незначительно и они совершенно не препятствуют разграничению этих свит. В настоящее время присутствие гудушаурской свиты в местной стратиграфической схеме получило полное подтверждение рядом работ и разделяется по сути почти всеми геологами. Исключением является И.Г. Башакидзе (1982), который на месте распространения данной свиты выделил уканашавскую и мнадонскую свиты, определив их возраст, соответственно, азеном и байосом. Однако ранг этих подразделений за-

вышен, а целесообразность введения их в региональную схему сомнительна, ибо они своим содержанием полностью совпадают с выделенной ранее гудушаурской свитой.

Один из разрезов, отражающий более или менее полную последовательность отложений гудушаурской свиты, можно проследить в ущ.р. Хевсуретской Арагви. Здесь свита подразделяется на три толщи. Нижняя толща сложена глинистыми сланцами, местами полосчатыми, с редкими прослойками тонкослоистых песчаников (до 3 см) и редкими же конкрециями сидерита (250 м). Средняя толща (1100 м) представлена глинистыми сланцами (без слоев песчаников) с конкрециями и линзовидными слоями сидеритов. В составе верхней толщи (300 м) среди глинистых сланцев опять появляются слои песчаников.

На обоих склонах ущ.р. Гуданисгеле в глинистых сланцах с крайне редкими прослойками песчаников нами обнаружены *Mytilocerasmus quenstedti* (Psel.), *M. amygdaloides* (Goldf.), *M. cinetus* (Goldf.), *M. gryphoides* (Schloth.), *M. fuscus* (Quenst.) и *M. liasicus* (Kakh.).

Отложения гудушаурской свиты, как уже отмечалось, обнажаются также в истоках р. Эсачо и в пригребневой части Главного Кавказского хребта (истоки р. Цирцлованисцкали), где они принимают участие в строении двух синклинальных складок. В этих выходах нами найдены *Leioceras* sp. и *L. opalinum* (Rein.).

Западнее, в районе Чахусского массива, к отложениям гудушаурской свиты приурочены толеитовые базальты: спилитовые пиллоу-лавы, брекции пиллоу-лав и гиалокластолиты. Непосредственно под вулканогенно-осадочными породами А.М. Гавашели (1973) были собраны *Litoceeras* sp. ind., *Leioceras cf. opalinum* (Rein.), *Posidonia buchi* Roem., *P. daghestanica* (Uhlig) и митилоцерамусы.

В ущ.р. Аргун (у слияния ее с р. Гуроцкали) в однообразных глинистых сланцах мощностью 150 м нами обнаружен раннеааленский *Costileioceras costosum* (Quenst.). Этот же вид встречается и на перевале Датвис-Джварисгеле, где в составе свиты значительно возрастает количество и мощность слоев песчаников. Общая мощность гудушаурской свиты составляет обычно 1000-1200 м.

Раннеааленский возраст нижней части свиты доказывается находками представителей *Leioceras* и *Costileioceras*. Верхняя часть свиты (исходя из ее стратиграфического положения), очевидно, должна принадлежать уже к верхнему аалену.

Несколько восточнее ущ.р. Хевсуретской Арагви и юго-западнее тер. Датвис-Джварисгеле, в окрестностях с.Хахмати-Бисо отложения гудушаурской свиты фациально замещаются песчаниковой толщей, выделенной Г.А. Чихрадзе под названием хахматской свиты (мощность 350 м). Ее составе господствуют средне- и толстослоистые, мелко- и среднезернистые кварцево-плагиоклазовые песчаники. Некоторые слои песчаников содержат обломки глинистых сланцев и флишоидные фигуры. Они

часто отличаются косослоистой текстурой. Глинистые сланцы встречаются в подчиненном количестве в виде прослоев и отдельных пачек. К ним приурочены конкреции, сложенные уплотненным глинистым материалом. Центральная часть некоторых из них заполнена пиритом и глинистым сидеритом. В одной из конкреций Г.А.Чихрадзе найден аммонит, который, по нашему определению, является *Leioceras opalinum* (Rein.). В отложениях толщиами собраны два плохо сохранившихся аммонита *Galliphylloceras* sp. и позднетарско-ааленский *Eucyrtites* sp.

Вверх по разрезу гудушаурскую свиту согласно сменяет бурсачирская свита. В ущ.р.Хевсуретской Арагви отложения бурсачирской свиты начинаются в I км ниже с.Гелисбаке и заканчиваются в 500–600 м от устья р.Пшавской Арагви (левый приток р.Хевсуретской Арагви). Здесь они по региональному разлому контактируют с отложениями карбонатного флиша. Свита представлена переслаиванием разнослоистых, слабокарбонатных и некарбонатных песчаников с глинистыми сланцами. Большая часть свиты сложена двухкомпонентным терригенным флишем. Часто для песчаников характерны косая слоистость и флишевые фигуры. С отдельными пачками связаны кремнистые и сидероплезитовые конкреции небольших размеров. Мощность свиты достигает 1000–1200 м.

Определение возраста бурсачирской свиты производится весьма условно. Она согласно залегает на ааленской гудушаурской свите и подстилает карбонатный флиш верхней юры. Благодаря столь определенному стратиграфическому положению в разрезе, ее можно отнести к байосу и частично, возможно, к бату.

Внешняя зона Горного Дагестана расположена к северу от Восточной зоны погружения Главного хребта и охватывает значительную часть горст-антиклинария Бокового хребта. Она приурочена к северному борту ранне-среднеюрского геосинклинального прогиба. Зона отличается меньшей степенью метаморфизма отложений, слабой складчатостью и крайне ограниченным распространением магматических пород.

В пределах зоны нижне- и среднеюрские отложения выступают частично от плисса до байоса включительно. По литологическим признакам они подразделяются на четыре свиты: циклаурскую, казбекскую, джерахскую и герчечскую.

Наиболее древняя – циклаурская свита – развита в южной части зоны, занимая довольно обширную площадь в верховых р.Ассы. По соотношению количества глинистых сланцев и песчаников свиту можно подразделить на две подсвиты. Нижняя представляет собой толщу (мощность 2000 м) темно-серых, иногда почти черных глинистых сланцев, преимущественно аспидных с подчиненными пачками полосчатых глинисто-алевритистых сланцев с отдельными прослоями и маломощными пакетами мелкозернистых песчаников. Породы содержат несколько диябазов мощностью от I до 10 м. Верхняя подсвита сложена однородными

глинистыми сланцами (мощность 1300–1500 м), в кровле которой появляются единичные прослои мелкозернистых песчаников. В глинистых сланцах, местами слюдисто-алевритистых, обнажающихся на левом склоне р.Ассы, в 600 м к северу от ее правого притока – р.Нелхи, нами обнаружены *Calliphylloceras cf. bicicola* (Men.) и *Amaltheus* sp. Первый аммонит своим вертикальным распространением ограничен средним лейасом, а второй характерен для верхнего плинсбаха. Следовательно, присутствие в данном разрезе этой формы указывает на принадлежность вмещающих ее слоев к верхнему плинсбаху. Более нижние горизонты, развитые до р.Бисны и южнее, не содержат ископаемых остатков, что, естественно, затрудняет определение их возраста. Однако судя по залеганию непосредственно под отложениями верхнего плинсбаха, их следует рассматривать в составе более низких уровней плинсбахского яруса.

В 100 м выше от слоев с плинсбахской фауной, в глинистых сланцах с редкими прослойями мелкозернистых песчаников встречен аммонит неудовлетворительной сохранности. По нашим определениям он принадлежит к раннетоарскому роду *Nagroceratoides*. Исходя из этого, верхняя подсвита циклаурской свиты частично также должна относиться к нижнему тоару. В составе вышележащей казбекской свиты, наряду с глинистыми разностями, большую роль начинают играть песчаники, число и мощность слоев которых в разрезе и по простиранию чрезвычайно непостоянны. Если в нижней части свиты песчаники встречаются в виде подчиненных прослоев и пачек среди глинистых сланцев и аргиллитов, то в верхней – они группируются в мощную пачку (80–100 м), известную под названием пуйских песчаников. Эти песчаники с размытвом и местами несогласием налегают на подстилающие слои. Они в основном толсто-слоистые, расслоенные аргиллитами, средне- и крупнозернистые. Для них характерны небольшие линзы конгломератов с гальками аргиллитов, песчаников и реже кварца. На разных уровнях свиты нами собраны *Mutillocerasmus quenstedti* (Psel.), *M. gryphoides* (Schloth.) и *M. cinctus* (Goldf.). В 300–400 м не доходя до развалин с.Пуй, в осьпях (на левом склоне р.Ассы), сложенной аргиллитами и песчаниками с конкрециями пелитолита (конкремции встречаются и в более низких уровнях), нами найден хорошо сохранившийся *Pseudogymnoseras fallaciosum* (Bayle). Найденная указанного аммонита приурочена к кровле свиты и позволяет отнести ее к верхнему тоару. Возраст подстилающих слоев, не содержащих руководящих видов, определяется по их расположению в разрезе и по находкам ископаемых остатков в смежных районах. По-видимому, нижняя возрастная граница казбекской свиты опускается значительно ниже, в пределы раннего тоара. Мощность свиты 3500 м.

Согласно на казбекской свите залегает джерахская свита,ложенная темными аргиллитами (часто полосчатыми, алевритистыми или песчанистыми), перемежающимися с тонкими прослойями (1–10 см) алев-

ролитов и песчаников. Последние на отдельных участках группируются в маломощные пачки. Песчаники рыхлые, преимущественно косослоистые, плитчатые, с обугленным растительным детритом на плоскостях наслойния. Аргиллиты плитчатые и скоруповатые. Среди глинисто-алевролитовых разностей заключены многочисленные мелкие конкреции глинистого сидерита и линзовидные стяжения (до 20 см) карбонатных пород. Отложения свиты отличаются буроватым оттенком, особенно заметным в дельвильских осыпях.

На левом склоне ущ. р. Сарту, в 300 м от ее слияния с р. Ассы, обнажаются прерывистые выходы выветрелых песчано-алевритистых аргиллитов с тонкими прослойями мелкозернистых песчаников и конкрециями и линзами глинистого сидерита. Аргиллиты содержат многочисленные остатки двустворчатых моллюсков, среди которых нами определены *Mytiloceramus quenstedti* (Pčel.), *M. amygdalooides* (Goldf.), *M. cinctus* (Goldf.), *M. dubius* (Sow.) и *M. gryphoides* (Schloth.). В аргиллитах, выступающих на левом склоне р. Ассы (в 600 м севернее р. Сарту), нами найден *Holcobelus tschegemensis* (Krim.), распространенный в нижней части ааленского яруса. В отложениях левобережья р. Ассы указывается присутствие раннеааленского вида *Leioceras opalinum* (Rein.) (Мельников, 1967). В аргиллитах с тонкими прослойями алевролитов и мелкозернистых песчаников, развитых на правом склоне р. Ассы, в 850 м южнее развалин с. Торгим, нами обнаружен позднеааленский аммонит *Ludwigia murchisonae* (Sow.) и двустворчатые *Mytiloceramus gryphoides* (Schloth.), *M. quenstedti* (Pčel.).

Наконец, из рассматриваемых отложений долины р. Ассы М. М. Мацкевичем (1964) приведен список фауны, который, по определению В. И. Зесашвили, составляют *Huldestonia cf. aff. (Secb.)*, *Leioceras cf. götzendorfensis* (Dorn.), *Ludwigia murchisonae* (Sow.) и *L. cf. bradfordensis* (Buck). Большинство аммонитов, указанных выше, являются руководящими и определяют возраст джерахской свиты ааленом в пределах от ее нижней зоны *Leioceras opalinum* до верхней зоны *Ludwigia murchisonae* включительно. Судя по данным Н. В. Безносова (1973), подошва свиты охватывает также верхние горизонты тоара, т. к. в соседнем разрезе (в районе Джерахского моста) она включает позднетоарские аммониты *Dumortieria* sp. (ex gr. *radiosa* Seeb.) и *Pleydellia cf. salensis* (Ziet.). Мощность джерахской свиты достигает 2000 м.

Венчающая литостратиграфическая единица нижне- и среднекурских отложений выделяется под названием герчечской свиты. Она представлена ломкими скоруповатыми аргиллитами, иногда переслаивающимися с алевролитами и тонкослоистыми мелкозернистыми песчаниками. Количество песчаников по сравнению с подстилающей свитой заметно уменьшается. Свита содержит огромное количество глинисто-сидеритовых конкреций и глинисто-карбонатных линз, часто распадающихся на конкремионные конгломераты.

Вниз по течению р.Ассы, в 380 м от слияния р.Тетрицкали (левый приток) встречается небольшой выход (70 м) аргиллитов с пелитовыми конкрециями и ископаемыми остатками фауны. По нашим определениям, данную фауну, наряду с позднеааленскими аммонитами *Graphoceras* (*Ludwigella*) *cornu* (Buck.) и (*Ludwigella*) sp. представляют *Phylloceras* sp., *Mytiloceras* *quenstedti* (Pöhl.), *Posidonia buchi* Roem., *P. daghestanica* Uhlig. На правом склоне р.Торгим (правый приток р.Ассы) эти отложения уже содержат раннебайосские аммониты, определенные нами как *Derellia* cf. *docilis* Buck., *Darellella recticostata* Buck., *D. rotabilis* Buck., *Hugia curva* Buck., *Oedonia* cf. *delicata* Buck., *O.* sp. ind., *Lopadoceras* cf. *furcatum* Buck., а также позднеааленско-раннебайосский *Holcobelus blainvillei* (Voltz) и др. Отложения с прочной раннебайосской палеонтологической основой здесь выделяются и М.М.Машкевичем (1964), который характеризует их аммонитами *Sonninia* cf. *corrugata* (Sov.), *Witchellia* cf. *complanata* Buck., *W.* cf. *propinquans* (Bayle) и *W. sayni* (Haug).

Очевидно, с верхними горизонтами описанных отложений связаны несколько представителей позднебайосского рода *Parkinsonia* отмеченных В.А.Мельниковым в 1962 г. по р.Ассе. Как видно, возраст отложений герческой свиты хорошо обосновывается аммонитами, свидетельствующими о принадлежности ее к самой верхней части аалена и байосу. Мощность свиты равна 650 м.

Вверх по разрезу на герческой свите трангрессивно залегают отложения с келловейской фауной. Отсутствие батских отложений связано с предверхнеюрским размывом.

Г.А.Чихрадзе

2.2. ЛИТОЛОГИЯ НИЖНЕ- И СРЕДНЕЮРСКИХ ОТЛОЖЕНИЙ ВЕРХОВЬЕВ РР. АССЫ И ХЕВСУРЕТСКОЙ АРАГВИ

Нижне- и среднеюрские терригенные толщи слагают Главный Кавказский и Боковой хребты, выступая в ядре антиклиниория Большого Кавказа между верхнеюрскими карбонатными формациями южного и северного склонов (рис. I).

Нижне- и среднеюрские отложения представлены песчано-пелитовыми лиофациами, мощные толщи которых интенсивно смяты в складки, сложно дислоцированы в зоне Бокового и особенно Главного Кавказского хребтов. Севернее Бокового хребта - в платформенной зоне, где развиты тоар-среднеюрские отложения, они дислоцированы значительно слабее и пелитовые породы, в отличие от глинистых сланцев Главного хребта и Южного склона, представлены в основном аргиллитами и слабо-сланцеватыми аргиллитами.

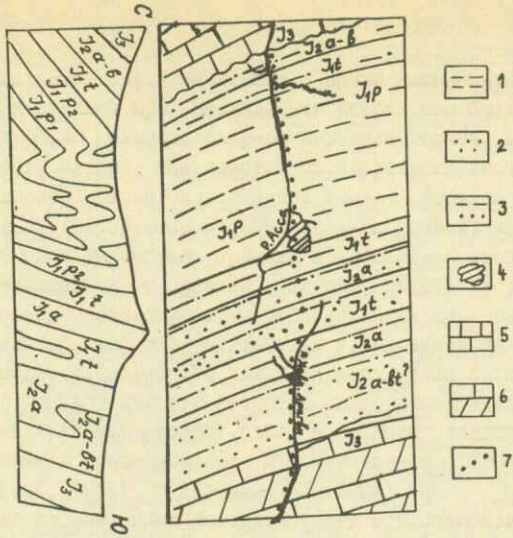


Рис. I. Схема распространения нижне-средненурских терригенных отложений в верховых рр. Ассы и Хевсуретской Арагви.
1 - глинистые сланцы; 2 - песчаники; 3 - чередование песчаников и глинистых сланцев; 4 - участок распространения даек диабазовых пород; 5 - карбонатные отложения северного склона Большого Кавказа; 6 - карбонатный флиш южного склона Б. Кавказа; 7 - линия разреза

Стратиграфическая схема нижне- и средненурских отложений изученной полосы разработана В.П.Ренгартеном (1932), уточнена В.А.Мельниковым (1962), Н.В.Безносовым (1973) и М.В.Топчишвили (1983). Однако литологически однообразные мощные толщи очень бедны ископаемой фауной, что затрудняет их расчленение на дробные литостратиграфические единицы.

Основание юрских отложений не вскрыто эрозией. В верховых р. Хевсуретской Арагви обнажаются верхнетоарские и средненурские отложения. В ущелье же р. Ассы выходят и более древние образования. Здесь нижняя часть разреза представлена аспидносланцевой толщей, аналогичной циклаурской свите среднего лейаса ущ. р. Терек, в низах которой в области Бокового хребта возможно присутствие верхнесинеморских отложений.

Что касается указания В.А.Мельникова (1962) на наличие всего триаса и постепенного перехода в нижний лейас в верховых р. Ассы, то его нельзя считать убедительным. Здесь нет ни массивных аркозовых и

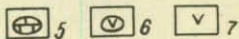
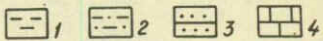
кварцитовых песчаников, характерных для кистинской свиты Дарьяльского ущелья, ни палеонтологических данных, указывающих на наличие триаса или раннего лейаса. Имеющиеся обнажения – часть мощного глинисто-сланцевого разреза – можно, как уже говорилось, параллелизовать с циклаурской свитой (Ренгартен, 1932).

Нижне- и среднеюрские отложения разбиты разломами, перемещены на значительные расстояния, что при однообразном литологическом составе и недостаточной палеонтологической охарактеризованности часто не позволяет находить непосредственное продолжение тех или иных частей разреза. Кроме того, из-за нечеткости текстурных признаков пород не всегда удается установить нормальное их залегание или повторение одной и той же пачки в разрезе, что, естественно, сказывается на точности установления мощностей отложений и затрудняет составление непрерывного разреза.

В нижне- и среднеюрских отложениях выделяются следующие четыре литостратиграфических геокомплекса снизу вверх (рис.2):

СИСТЕМА ЮРСКИЙ	СРЕДН. НИЖНИЙ	ВЕРХОДЕЛ	ЯРУС ПОДЯРУС	СВИТА	Литологическая колонка		Мощн. м
					cl	6	
							950
							1500
							2800
							1000
							2000

Рис.2. Литолого-стратиграфическая колонка нижне- и среднеюрских отложений верховьев р.Асы.
1 – аргиллиты, глинистые и аспидные сланцы; 2 – алевролиты; 3 – песчаники; 4 – карбонаты; 5 – карбонатные конкреции; 6 – сферические лавы; 7 – дайки диабазовых пород



I. Толща аспидных и глинистых сланцев с редкими микро- и весьма тонкослоистыми кварцитовидными алевролитами и мелкозернистыми песчаниками с серицит-кварцевым цементом. Зернистые породы составляют 5, пелитовые – 95%. Аспидные и глинистые сланцы редко бывают чисто пелитовыми, обычно они алевритистые. Отдельные пачки обогашены

ни пылеватым углистым веществом, отчего приобретают черный цвет. Некоторые слои алевролитов мощностью 1-2 см, имея четкие контакты с аспидными сланцами, похожи на контуриты; редко наблюдается отчетливый нижний контакт и постепенный верхний. Большинство пачек аспидных сланцев микрополосчаты. Эта толща распространена в ущ. р. Ассы — на севере от местности Горгу, в районе Бокового хребта и дальше, не доходя до р. Нелхи (правый приток р. Ассы). Верхняя часть толщи (около 800 м) содержит до 10% песчано-алевритовых пород. К северу от р. Нелхи, на расстоянии 2 км развита толща глинистых сланцев с грубой сланцеватостью, содержащая до 20% субаркозовых песчаников и алевролитов с хлорито-пелитовым или известково-сидеритовым цементом. Севернее, в аргиллитах сланцеватость не отмечается.

В южной части распространения этой толщи преобладает падение слоев на СЗ 340° , $\angle 70$ — 80° , а севернее р. Бисни через 2,5 км начинается юго-восточное падение 160 — 170° , $\angle 75$ — 80° и продолжается на север за р. Нелхи на расстояние 3 км. Аспидные сланцы интенсивно кливажированы.

Характерной чертой южной полосы аспидных сланцев является наличие в ней даек диабазовых пород и в верхней части — сферических лав базальтов.

В результате наших работ ^{x)}, зафиксировано наличие 200 даек суммарной мощностью 600 м. Они переполняют разрез сланцевой толщи от местности Горгу к северу на расстоянии 8 км. Все дайки диабаз-порфиритов залегают вкrest тоннельной трассы, падая на СЗ 330° , 60 — 70° . Они имеют контактные роговики в сланцах, образуют скалистый рельеф, устойчивый против эрозии (рис.3). Многие дайки будинированы (рис.4); тонкие дайки часто рассланцованны (рис.5), а мощные — меньше подвержены механическому разрушению (рис.6). Самые мощные (30, 50 м) дайки диабазов обнажаются в ущелье р. Колотанисцкали (Чихрадзе, 1988, 1988).

Эта аспидносланцевая толща с диабазами аналогична циклаурской свите среднего лейаса Военно-Грузинской дороги (ВГД). Однако спилитовые шаровые лавы ВГД залегают в сланцевой толще, не содержащей сидерита ни в конкрециях, ни в цементе фанеромерных пород. В верховьях р. Асон спилитовые шаровые лавы (местность Горгу и особенно Чимгисклде, ущ. р. Цирцловани), связанны с сидеритоносной сланцевой толщей среднеюрского возраста. В полосе развития базальтовых вулканитов туфовые породы нами не наблюдались.

Часть этой толщи с диабазовыми дайками и шаровыми толеитовыми базальтами является продолжением "Казбегского диабазового пояса".

^{x)} В полевых работах активно участвовали молодые геологи О.С. Сулханишвили, Т.Ш. Сикинчалашвили и студенты ПИИ: В.Г. Чихрадзе и М.Г. Николадзе

Рис.3. Скалистый рельеф на левом берегу р.Ассы, сложенный аспидными сланцами, роговиками и дайками диабазов

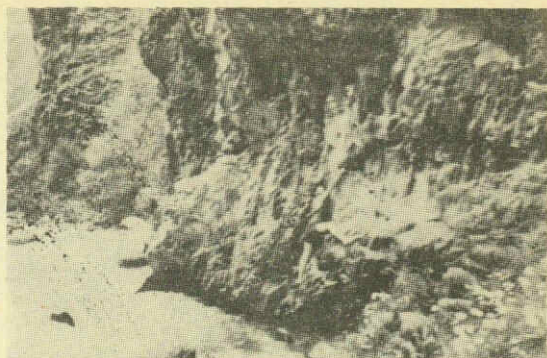


Рис.4. Будинированная крутопадающая дайка диабаза на правом берегу р.Ассы, залегающая в аспидно-сланцевой толще плинсбаха (циклаурская свита). Отдельные будины оторваны друг от друга



Мощность толщи аспидных и глинистых сланцев с диабазовыми породами оценивается в 3600 м. Возраст – плинсбах-ранний тоар.

2. Толща глинистых сланцев с прослойками и редкими пачками (5–40 м) средне- и мелковзернистых слюдисто-плагиоклазово-кварцевых песчаников с цементом железистого карбоната. Глинистые сланцы темно-серого цвета, алевритистые, алевритовые и реже – пелитовые. Отдельные пачки их содержат единичные мелкие конкреции кремния и сидерита. В толще прослойки и слои песчаника серого цвета (на выветрелой поверхности обычно ржавого цвета из-за окисления Fe^{2+} сидерита цемента), встречаются как в виде отдельных слоев в сланцах, так и в виде пакетов уменьшающейся мощности песчаников к верхней части пакета. В

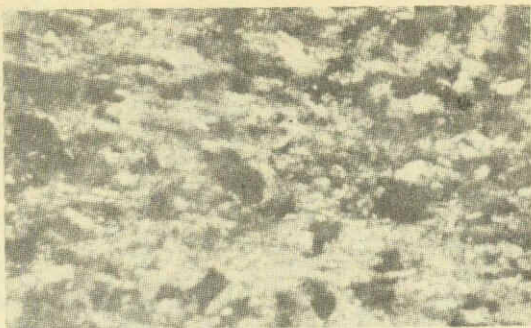


Рис.5. Разрушенный рассланцованный диабаз, превращенный в плотный микроагрегат смеси хлорита, кварца, гидроокислов железа и других минералов. Плагиоклаз пренитизирован.
Обр.40. Ник.П., ув.70. Ущ.р.Ассы

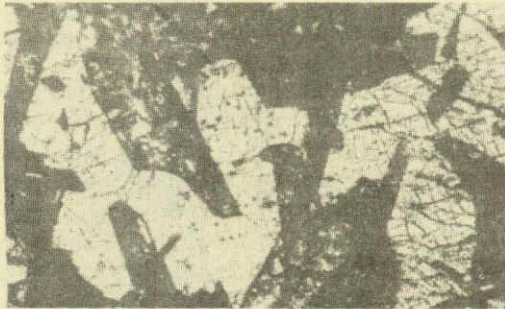


Рис.6. Неразрушенный пироксеновый диабаз
Обр.86. Ник.П., ув.70. Ущ.р.Ассы

сланцах вначале появляется более толстый (5–15 см) слой обычно мелкозернистого песчаника, за ним темно-серый сланец, затем снова песчаник, но меньшей мощности и т.д. Через 5–15 м прослои песчаника исчезают, т.е. строение пакета трангрессивное.

Толща распространена к югу от местности Горгу, в зоне Главного хребта и южного склона, в верховьях р.Хевсуретской Арагви до слияния рек Эсачо и Горшегмисцкали.

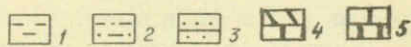
На север от предыдущей толщи, на расстоянии ~ 3500 м толща глинисто-сланцевая; песчаники часто с известковистым или сидеритовым цементом, затем появляются слабосланцеватые аргиллиты, обычно алевритистые и, далее, аргиллиты массивной текстуры. Возраст – поздний тоар-ранний аален, мощность около 2000 м.

3. Толща глинистых сланцев с крупными сферическими и линзовидными конкрециями сидерита с редкими тонкими прослойками алевролита или мелкозернистого песчаника, гуданская свита (рис.7). Редко встречаются пачки песчаников с глинистыми сланцами - чередование слоев песчанистых сланцев и песчаников с трансгрессивной последовательностью. Все фанеромерные породы имеют сидеритовый цемент. Глинистые сланцы содержат конкреции сидерита (0,3-0,5 м), крайне редко наблюдается мелкокристаллический сидерит, рассеянный в сланцах. В ущ.р. Арагви среди терригенных пород залегает пачка (2-15 м) дацитового туфа.

Рис.7. Литолого-стратиграфическая колонка нижне- и среднене юрских отложений верховьев р. Хевсуретской Арагви.

1 - глинистые сланцы; 2 - алевролиты; 3 - песчаники; 4 - известняки и мергели (карбонатный флиш); 5 - конкреции сидерита

СИСТЕМА ЮРСКАЯ	СИСТЕМА НИЖН.	ВЕРХ ОТДЕЛ	cl Борисахосская Гуданская Хахматская	Свита	Литологическая колонка		Мощн м
					Подярус	Мощн м	
							900
							2000
							1000
							750



Ширина выхода этой толщи в ущ.р. Хевсуретской Арагви (южнее слияния рр. Эсачо и Горшегмисцкали) составляет около 8 км. Ее мощность оценивается в 3600 м; возраст позднеаален-байосский. На северном же склоне Главного хребта (в ущ. левых притоков р. Цкаростви) толща глинистых сланцев с крупными сидеритовыми конкрециями занимает сравнительно узкую полосу - около 900 м. Она представлена песчано-алевритовыми и аргиллитовыми породами, содержащими конкреции сферосидеритов. Аргиллиты обычно алевритистые, отдельные слои обогащены углисто-титанитом и мелкими шарообразными конкрециями глинистого сидерита. Песчаники и алевролиты плагиоклазово-кварцевые с кальцит-анкеритовым или сидеритовым цементом.

4. Песчаниково-глинисто-сланцевая толща, барисахосская свита (граувакково-алевролитово-аргиллитовый флиш), состоит из набора темно-серых глинистых сланцев, серых средне- и мелкозернистых песчаников и алевролитов. Зернистые породы хотя и слагают одинарные слои, но чаще составляют интервалы многослойев Тас, Тавс, Тбс. Многослойные обычно неполные как снизу, так и сверху. В ущ.р. Хевсуретской Арагви, севернее с. Корша в отложениях резко выделяется пачка с сильно развитым Тс, Тас интервалами в циклитах.

На подошвах некоторых циклитов наблюдаются знаки вдавливания и течения. Мощность многослойев от 10–15 см до 5–7 м. Мощные циклиты флюксотурбидитного типа состоят из Та – до 3 м средне- и мелкозернистого песчаника, Тв – 5–10 см алевролита, постепенно переходящего в Тг глинистый сланец – 3–5 м. Та иногда содержит единичные обломки до 10 см глинистого сланца.

Большинство тонких слоев песчаников характеризуется однородной очень мелкой косослойчатостью, а мощных слоев – тонкой полосчатостью, вызванной чередованием слойков светло-серой песчано-алевритовой кластики и темно-серого пелитового вещества. Цемент песчаников известково-сидеритовый. Отдельные пачки глинистых сланцев содержат конкреции (до 5×15 см) сфераудита, реже – кремния. Распространена эта толща к югу от третьего комплекса, в ущ.р.Хевсуретской Арагви до карбонатных отложений верхней юры. Верхняя часть флишевого комплекса (~200 м) представлена набором карбонатных песчаников и глинистых сланцев с уменьшающимся количеством песчаников и увеличивающимся – глинистых сланцев. Кверху верхняя пачка чистых глинистых сланцев (30–40 м) с мегаконкрециями (до 1 м) крупнокристаллического кальцита надвинута с севера на толщу карбонатных песчаников и глинистых сланцев верхней юры.

Мощность комплекса 900 м. Возраст – средняя юра, байос-бат?

В бас.р.Ассы ааленские отложения представлены песчано-алевритистыми аргиллитами с пакетами тонкослоистых средне- и мелкозернистых аркозовых песчаников с пелитовым гидрослюдистым, кальцитовым и сидеритовым цементом. В алевритистых аргиллитах встречаются глинисто-сидеритовые и глинисто-кремнистые конкреции (2–7 см) и иногда обуглившийся растительный дегритус. Байосские отложения охарактеризованы аммонитами, найденными севернее местности Торгим, на правом склоне ущ.р.Ассы. Они менее песчанисты, чем ааленские, содержат глинисто-известковистые линзообразные конкреции.

Эти отложения перекрываются карбонатной формацией верхней юры, начинающейся трансгрессивным келловеем. Батские отложения отсутствуют из-за размыва.

Как видим, в литотипическом отношении тоар-среднеюрские части разрезов отличаются друг от друга. В тоар-среднеюрских отложениях бас.р.Хевсуретской Арагви песчаников в 5 раз больше, а барисахская терригенно-флишевая толща с толстослоистыми песчаниками турбидитного типа на северном склоне вовсе отсутствует.

Все слои песчаников нижне-среднеюрского разреза подвержены влиянию планетарной трещиноватости (ПТ). Тонкие слои песчаников чаще, чем толстые, разбиты ПТ, в результате образованы ромбовидные формы меньшего размера и количество их больше, чем в толстых слоях. ПТ редко, но все же наблюдается в некоторых пачках аспидных сланцев. Обычно они, хорошо выраженные в песчаниках, не продолжаются в смежных глинистых сланцах.

Нижне- и среднеюрская осадочная толща изученной полосы подверглась сжатию, интенсивной складчатости, воздыманию на 8–9 км в осевых зонах ГХ и БХ, опрокидыванию на юг в зоне южного склона ГХ и на север в зоне БХ, дальнейшей деформации структур, их поворачиванию в антикавказском направлении в результате левостороннего сдвига, проходящего в верховьях рр. Ассы и Хевсуретской Арагви (Гиоргобиани и др., 1982).

Интересно, что И. Карк (1914) из геологов, ранее проводивших исследования в указанных речных бассейнах, заметил поворот структур "на 90° от первоначального", но объяснения этому явлению не дал. В то время основное внимание уделялось интенсивно развитой сланцеватости, "которая уничтожает слабо развитую слоистость". Поэтому слоистость практически не была использована для выяснения геологических вопросов.

Для составления литолого-структурного разреза нижне- и среднеюрских отложений нами был использован комплекс общегеологических, седиментологических, текстурных, структурных, диагенетических и др. признаков. В результате этого мощная осадочная толща была подразделена на мелкие литостратиграфические единицы.

Ниже приводится характеристика основных типов пород.

Песчаники. В разрезе плинсбах-среднеюрских отложений бас. рр. Ассы и Хевсуретской Арагви стратиграфически снизу вверх увеличивается количество песчаников и алевролитов. В нижней, аспидносланцевой толще (циклаурской свите) количество песчаников и алевролитов составляет не более 5%, в следующей вверх толще – 15%, далее, в гуданской свите – 4%, а в верхней, флишевой – 45%.

Песчаники и алевролиты микро- и тонкослоистые в плинсбахских сланцевых толщах, толсто- и массивнослоистые в тоарских (хахматская свита, пуйские слои) и байос-батских песчанико-сланцевых толщах (барисахская свита). Слоистость горизонтальная в сланцевой толще плинсбаха, горизонтально-волнистая морского мелководья в гуданской свите, конволютная (интервал Тс в терригенном флише). Наблюдается односторонняя слойчатость в гуданской свите.

Во всем нижне- и среднеюрском разрезе преобладают среднемелководные (рис. 8) песчаники, крайне редко встречаются крупнозернистые (рис. 9).

Все песчаники относятся к аркозовому типу, претерпевшему постседиментационные изменения различной степени, до глубинного катагенеза. Более интенсивно изменены песчаники нижних горизонтов разреза.

Полевошпатово-кварцевые песчаники состоят из кварца, полевых шпатов, незначительного количества слюды и изредка зерен сильно измененных пород. В шлифах иногда наблюдаются мелкие кристаллы циркона, зеленого турмалина, титанистых минералов.

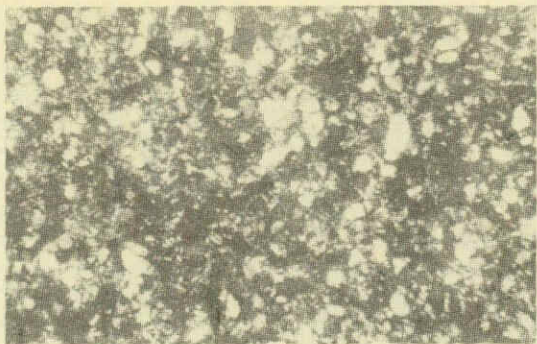


Рис.8. Разнозернистый, средне-мелкозернистый слюдисто-плагиоклазово-кварцевый песчаник с мусковит-кварцевым цементом.
Обр.5. Ник.Х, ув.30. Ущ.р.Ассы

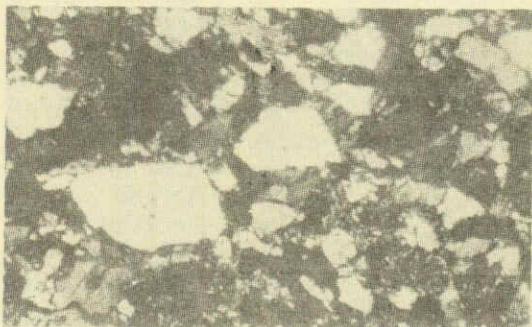


Рис.9. Разнозернистый, крупно- и среднезернистый плагиоклазово-кварцевый песчаник с кварцевым цементом.
Обр.64. Ник.Х, ув.32. Ущ.р.Ассы

Большинство зерен кварца имеет волнистое угасание, только в некоторых образцах тоарских песчаников ущ.р.Ассы наблюдались зерна с ровным угасанием. Часть зерен кварца в песчаниках низов разреза подверглась бластезу, растворению (принцип Рикке) и переотложению с нарастанием, иногда вместе с серпентитом или хлоритом на кварцевых зернах.

Полевой шпат (в основном плагиоклаз альбит-олигоклазового ряда) часто полисинтетически сдвойникован; редко наблюдаются мелкие идиоморфные таблитчатые кристаллы аутигенного альбита. Зерна калишпата встречаются редко. Слюдя обычно представлена мелкими листочками мусковита и крайне редко - гидратизированными пластинками биотита. В тоар-среднеюрских песчаниках часто присутствует псаммитовый

материал глинистых сланцев, а в более древних песчаниках - обломки серicitизированных и окварцованных пород. Цемент песчаников - выполнения пор, меньше - контактный и реже - базальный. Минеральный состав цемента: кварц, серицит-кварц, хлорит-серицит-кварц в плинсбахских, кварц, серицит-кварц, гидрослюдца-кварц-хлорит - гидрослюдца-кварц; гидрослюдца-сидерит, гидрослюдца-кальцит - в тоар-ааленских; гидрослюдца-кальцит-сидерит - в среднеюрских песчаниках. В цементе некоторых песчаников присутствует тонкокристаллический диагенетический пирит в виде мелких скоплений различной формы; реже встречаются отдельные кристаллы пирита, более крупные, чем кластические зерна вмещающего песчаника (рис.10).

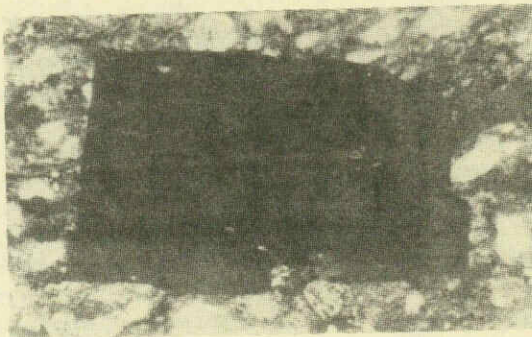


Рис.10. Метакристалл пирита в песчанике.
Обр.8. Ник. II, уб.32. Ущ.р.Ассы

Слюдисто-полевошпатово-кварцевые песчаники в основном аналогичны вышеописанным полевошпатово-кварцевым разновидностям. В отличие от них, содержат в большом количестве слюду, которая представлена мелкими листочками мусковита, гидратизированного, обесцвеченного биотита (иногда заметно деформированного) и мельчайшими чешуйками серицита. В цементе преобладает тонкочешуйчатая глинисто-серицитовая масса, которая часто расположена упорядоченно между зернами и создает ориентированную текстуру породы. В некоторых песчаниках цемент заметно окварцовав. В цементе песчаников иногда в значительном количестве присутствует карбонат в виде пятен пелитоморфного кальциита и крупных скоплений кристаллического сидерита. Такие сидеритизированные песчаники (песчаники с диагенетическим сидеритовым цементом) играют значительную роль в тоар-среднеюрских толщах, развитых в верховьях р.Хевсуретской Арагви и р.Ассы (в районе Архоти и Торгим). Песчаний материал не окатан.

Алевролиты в исследованных толщах по минеральному составу кластического материала и цемента идентичны песчаникам, чередующимися с ними. В отличие от них, содержат больше слюдистых минералов и це-

мента, который здесь иногда бывает базального типа. Состав же цемента алевролитов низов разреза — серидит-кварцевый и кварц-серидитовый, а тоар-среднеюрских алевролитов в основном сидеритовый. В алевролитах тоар-среднеюрского разреза редко присутствует обуглившийся растительный детритус. Базальный пелитоморфный цемент алевролитов субплатформенной зоны ущ.р.Ассы иногда пропитан гидроокислами железа.

Химический состав нижне- и среднеюрских песчаников (табл. I) показывает их однотипность. Однако в тоар-среднеюрских песчаниках несколько увеличено содержание карбонатов (6,7% — среднее из 6 анализов) по сравнению с плинсбахскими. Этот факт находится в соответствии с полевыми наблюдениями и результатами микроскопического изучения пород, подтверждая их. В плинсбахских песчаниках карбоната нет. В цементе тоарских песчаников появляется кальцит и несколько позже — железистый карбонат, незначительное количество которого является постоянным компонентом цемента верхнетоар-среднеюрских песчаников, участвующих в строении хаматской, гуданской, барисахоской свит в бас.р.Хевсуретской Арагви, пуйского и др. горизонтов в бас.р.Ассы. (Отдельно не определено содержание двухвалентного железа в песчаниках, поэтому не выяснено количественное соотношение карбонатов кальция и железа). Во всех анализированных песчаниках $\text{Na}_2\text{O} > \text{K}_2\text{O}$. Это вызвано большим содержанием в них кислого плагиоклаза, чем калишпата и слюд. Отношение $\text{Al}_2\text{O}_3:\text{SiO}_2 = 0,160$ показывает слабое выветривание терригенной кластики песчаников.

Для иллюстрации химического состава алевролитов ниже приводятся результаты анализа образца №74 (тоар ущ.р.Ассы): SiO_2 65,47; Al_2O_3 15,70; Fe_2O_3 5,81; TiO_2 0,76; Mn 0,02; P_2O_5 0,84; SO_3 0,13; CaO 0,55; MgO 1,58; K_2O 2,53; Na_2O 2,07; п.п.п. 4,53; H_2O 0,61. Сумма 100,60. Как видим, содержание SiO_2 значительно меньше, а Al_2O_3 и K_2O больше, чем в песчаниках. Это обусловлено наличием большего количества гидрослюдистого компонента в алевролите.

Аргиллиты, глинистые и аспидные сланцы образовались в результате изменения (диагенез, катагенез, начальный метаморфизм) глинистого (пелитового) вещества, состоящего из минералов глин различного генезиса и состава.

Аргиллиты. Нерассланцованные аргиллиты в нижне- и среднеюрских отложениях в зоне ГХ практически не сохранились. Все глинистые (пелитовые) породы слабо или сильно рассланцованны. В отдельных пачках верхнетоар-ааленских толщ верховьев р.Хевсуретской Арагви редко наблюдаются слаборассланцованные аргиллиты со скорлуповатыми формами выветривания. Вся остальная масса глинистых осадков как тоара — средней юры, так и, особенно, плинсбахского яруса превращена в глинистые и аспидные сланцы. Аргиллиты характерны для тоар-ааленских отложений субплатформенной зоны ущ.р.Ассы.

Глинистые сланцы – метаморфические глинистые породы темного или черного цвета, плотные (пористость 1–3%) состоят из гидрослюд, хлорита, с примесью кварца, полевого шпата и других неглинистых минералов; обычно содержат углистое вещество, иногда новообразования карбонатов и сульфидов железа.

Аспидные сланцы – глинистые метаморфические породы, обычно темно-серого или черного цвета, плотные (пористость < 1%), сланцеватые, состоящие из серицита, гидрослюды, хлоритов, кварца и других неглинистых материалов, содержат обычно значительную примесь органического углистого вещества, часто сульфидов железа. Аспидные сланцы более метаморфизованы, чем глинистые. В них не встречаются реликты минералов глин, а вся пелитовая масса перекристаллизована в серицит, гидрослюду мусковитового типа и хлориты. Наряду с этим в аспидных сланцах наблюдаются новообразования кварца, альбита, турумалина и некоторых других минералов. Они также, как и глинистые сланцы, редко бывают чистыми. В них обычно содержится терригенная примесь кварца, плагиоклаза и серицита алевритовой или мелкопсаммитовой размерности.

Чистые пелолиты (глинистые или аспидные сланцы) имеют тонкую (листоватую) сланцеватость. По мере увеличения в них примеси алевритово-псаммитового материала сланцеватость становится все грубее.

Глинистые сланцы распространены по всему разрезу верхнеплинсбах-среднеурских отложений, а аспидные сланцы – в основном в циклурской свите плинсбахского яруса в уш.р.Ассы, в зоне, где осадочная толща претерпела более интенсивное динамометаморфическое влияние. В той же зоне интрудировано более 200 даек диабазов и диабазовых порфиритов, влияние которых сказалось на пелолитах – в основном в образовании контактных роговиков.

Чистые пелолиты – глинистые и аспидные сланцы – макроскопически отличаются от алевритистых их разновидностей, количество различных гранулометрических фракций устанавливается в основном под микроскопом. Терригенная кластика в глинистых и аспидных сланцах по составу та же, что и в песчаниках и алевролитах. Все эти породы содержат незначительное количество углистого вещества в виде пыли и точечных включений, часто сегрегированных в параллельные линейные скопления, мелких фрагментов – обуглившейся и графитизированной растительности; некоторые пачки аспидных сланцев плинсбахского века содержат выделения пирита и заметно обогащены графитовым веществом (рис. II). Сланцеватость в чистых пелитовых породах обычно четкая, а в алевритово-песчанистых разностях выражена слабее. Пелитовая масса местами превращена в агрегат хлорит-гидрослюда-серцицит-кварц-альбитового состава. Чешуйки гидрослюды – серицита ориентированы параллельно сланцеватости (кливажа).

Таблица I

Химический состав нижнепроточных песчаников верховьев рр. Ассы и Хевсуретской Арагви, вес. %

№ образца	Компоненты							H ₂ O	Na ₂ O	П.П.П.	Влаги	Сумма
	SiO ₂	Al ₂ O ₃	Fe ₂ O ₃	TiO ₂	MnO	P ₂ O ₅	SO ₃					
I	68,05	9,75	5,56	0,42	0,50	0,11	0,15	4,36	1,32	1,12	2,81	5,84
2	67,49	9,28	4,69	0,42	0,26	0,07	0,32	6,05	1,24	1,67	3,36	6,12
4 ^I -8I	70,64	12,22	5,48	0,54	0,13	0,25	0,08	1,77	1,19	1,37	2,95	3,36
5 ^I -8I	69,45	II,8I	6,52	0,44	0,16	0,25	0,12	1,69	1,41	0,82	4,08	3,24
97	70,05	12,08	4,78	0,37	0,21	0,07	0,03	3,04	1,18	1,46	2,23	4,48
III ^I	68,01	9,25	4,62	0,37	0,19	0,05	0,02	7,86	2,43	1,04	1,44	5,70
3	79,II	10,19	3,38	0,40	0,04	0,16	0,01	0,53	0,12	1,28	2,22	1,56
16	71,84	12,59	4,80	0,51	0,06	0,24	0,11	1,74	1,28	1,08	3,63	2,10
39	70,43	12,48	6,95	0,64	0,07	0,22	0,01	0,58	1,83	1,31	2,69	2,76
45	72,7I	12,64	5,II	0,57	0,04	0,22	0,01	0,31	1,53	1,82	2,74	2,27
54	75,05	II,08	5,54	0,49	0,05	0,21	0,01	0,22	1,50	1,38	2,06	2,39
55	74,68	8,97	4,06	0,33	0,14	0,10	0,03	3,27	1,35	0,50	2,88	3,68
64	76,27	12,34	3,14	0,43	0,03	0,15	0,04	0,36	1,28	1,69	2,44	1,83
70 ^I	73,42	14,09	3,86	0,44	0,03	0,22	0,01	0,20	1,42	1,87	2,48	1,94
71 ^I	69,36	II,66	4,88	0,53	0,15	0,10	0,02	3,09	1,54	1,22	2,31	5,II
91	73,35	13,58	4,47	0,60	0,01	0,25	0,01	0,29	1,22	1,51	3,09	1,60
100	72,37	II,39	5,27	0,51	0,06	0,19	0,01	1,27	1,53	0,69	3,98	2,70
108	78,57	9,35	4,32	0,44	0,05	0,18	0,05	1,73	1,25	0,20	2,70	1,14
120 _I	73,19	12,48	4,49	0,55	0,05	0,15	0,03	1,42	1,48	1,59	2,19	2,36
120 _I	74,54	12,86	3,35	0,53	0,03	0,17	0,01	0,88	1,33	1,99	1,93	1,02

Аналитик В.И. МИЛДИН
Песчаники: 1⁵, 2⁴, 3⁵ - средняя вкра, бас. р. Хевсуретской Арагви; 7^I, 18^I - гоар. ющ. р. Ассы; 3, 16, 39, 45, 54,
песчаники: 1⁵, 2⁴, 3⁵ - средний гор. 1⁵, 17^I - птическая бас. р. Ассы.

рафи-
сн

цит-кварц-поле-
з, чем в других
ельного дегрита
рон волокнистым
ноструктурный
нного количества

тоарских глини-
 K_2O 17,21%. Уве-
левритового ма-
ило, больше, чем
преобладающую
нистых сланцах.

хлорит-



Рис. II. Аспидный сланец, обогащенный го-
товым веществом
Обр. 44. Ник. II, ув. I7, ущ. р. Ас-

Аспидные сланцы иногда секутся жилочками сери-
шпатового состава или хлорита (рис. I2), в них ча-
породах, наблюдаются фрагменты обуглившегося растит
(рис. I3) и выделения пирита, обросшие с теневых от-
кварцем, иногда вместе с серицитом (рис. I4). Рентге-
анализ (табл. 2) показывает наличие в сланцах переме-
слюда, хлорита, кварца и полевого шата.

Содержание главных породообразующих окислов в
стых сланцах (табл. 3) изменяется: SiO_2 57-60%,
личение SiO_2 до 63% обычно вызвано присутствием а-
териала в сланце. K_2O составляет 2-5% и, как прав-
в алевролитах. Обычно $K_2O > Na_2O$, что подтверждает
роль калийсодержащих слоистых аллюмосиликатов в гли-

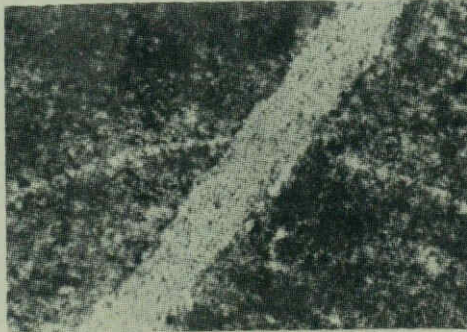


Рис. I2. Аспидный сланец сечется жилочко-
кварц-серицитового состава.
Обр. 44, Ник. II, ув. I7, ущ. р. Ас-

Таблица 2

Рентгенометрические данные природных образцов глинистых сланцев

I	d/n	II7	II9	II8	II9								
26	14,2	30	14,2	15	14,2	20	14,2	18	14,2	32	14,2	33	14,2
40	10,1	50	10,1	18	9,8	30	10,1	28	9,8	37	10,1	46	10,1
65	7,08	75	7,08	50	7,08	50	7,08	48	7,08	80	7,08	75	7,08
15	5,0	18	4,98	8	4,95	10	5,0	12	4,93	15	4,9	15	5,0
20	4,7	22	4,67	17	4,67	17	4,67	17	4,67	24	4,70	22	4,68
20	4,24	20	4,24	23	4,24	20	4,24	20	4,24	26	4,26	25	4,24
14	3,86	12	3,86	13	3,86	10	3,86	12	3,86	15	3,86	15	3,86
36	3,68	35	3,68	32	3,68	33	3,68	33	3,68	36	3,68	35	3,68
48	3,52	52	3,54	37	3,55	35	3,54	42	3,54	50	3,54	53	3,54
100	3,34	100	3,34	100	3,34	100	3,34	100	3,34	100	3,34	100	3,34
25	3,18	25	3,18	23	3,18	20	3,18	20	3,18	27	3,18	25	3,18
10	2,98	8	2,98	5	2,98	8	2,98	8	2,98	8	2,98	8	2,98
12	2,80	12	2,80	8	2,80	12	2,80	12	2,80	12	2,80	12	2,80

	I42	I43	I44	I48	I50	I51	I55	I60							
I	d/n														
25	14,2	22	14,2	23	14,2	18	14,2	8	14,2	27	14,2	13	14,2	15	14,2
35	10,1	24	10,1	42	10,1	32	10,1	18	10,1	40	10,1	23	10,1	30	10,1
70	7,08	57	7,08	28	7,08	32	7,08	14	7,08	65	7,08	53	7,08	58	7,08
I7	4,93	8	4,93	13	4,99	14	4,99	-	-	15	4,95	10	5,0	10	5,0
22	4,67	15	4,68	14	4,68	17	4,68	-	-	22	4,67	17	4,68	17	4,68
23	4,24	18	4,24	27	4,24	38	4,24	32	4,24	20	4,24	18	4,24	15	4,24
I5	3,86	10	3,86	10	3,86	8	3,86	-	-	13	3,86	12	3,86	12	3,86
33	3,68	28	3,68	40	3,68	30	3,68	33	3,68	30	3,68	27	3,68	25	3,68
48	3,54	40	3,54	27	3,54	23	3,54	20	3,54	44	3,54	40	3,54	37	3,54
100	3,34	100	3,34	100	3,34	100	3,34	100	3,34	100	3,34	100	3,34	100	3,34
27	3,18	25	3,18	22	3,18	22	3,18	-	-	27	3,18	26	3,18	27	3,18
8	2,98	15	2,98	5	2,98	10	2,98	-	-	8	2,98	8	2,98	8	2,98
I3	2,80	10	2,80	8	2,80	10	2,80	-	-	12	2,80	12	2,80	8	2,80

Примечание. На всех рентгенограммах, кроме обр. I50, представленного почти чистым кварцем, присутствуют хлорит - слюда - кварц - полевой шпат.

Таблица 3

Химический состав нижне- и средненорских глинистых сланцев и алевролитов верховых рр. Ассы и Хевсуретской Арагви, вес. %

№ образца	Компоненты										H ₂ O ¹	Сумма	
	SiO ₂	Al ₂ O ₃	Fe ₂ O ₃	TiO ₂	MnO	P ₂ O ₅	SO ₃	CaO	MgO	K ₂ O	Na ₂ O	П.п.п.	
10	63,14	17,64	6,II	0,84	0,07	0,26	0,01	1,23	1,94	2,77	2,22	3,76	0,26 100,25
13	63,01	17,38	6,I4	0,81	0,07	0,23	0,01	0,81	1,70	3,14	2,05	3,73	0,21 100,19
19	60,27	18,94	6,I6	0,84	0,08	0,24	0,04	1,28	2,01	2,91	2,20	4,01	0,19 100,17
31	59,47	18,64	6,84	0,81	0,08	0,15	0,05	2,18	1,67	2,90	1,90	5,31	0,45 100,45
44	58,58	21,22	6,65	0,75	0,08	0,14	0,02	0,88	1,85	3,46	1,82	4,54	0,24 100,23
52	62,27	19,16	5,64	0,87	0,06	0,21	0,01	0,59	1,58	3,74	2,03	3,81	0,21 100,18
75 ¹	58,46	20,27	6,73	0,85	0,04	0,12	1,47	0,55	1,96	3,22	1,94	4,66	0,46 100,44
116	63,94	18,48	5,69	0,88	0,06	0,19	0,11	0,55	1,39	3,73	1,39	3,66	0,18 100,10
43	47,38	31,39	5,84	1,19	0,02	0,08	0,03	0,14	1,25	5,17	1,27	6,22	0,42 100,40
55	57,99	22,31	5,46	1,00	0,04	0,24	0,02	0,43	1,39	4,73	1,60	4,76	0,28 100,25
16	62,60	17,96	6,16	0,84	0,24	0,20	0,19	0,67	1,78	3,39	2,28	4,88	0,16 100,35
30	64,90	17,33	5,65	0,88	0,03	0,19	0,03	0,41	1,46	3,39	1,86	3,84	0,52 100,49

№ 10,13 - алевритистые глинистые сланцы; 19,31 - слабоалевритистые аспидные сланцы; 44 - глинистый сланец; 52 - слабоалевритистый глинистый сланец (глинсбаз ущ.р.Ассы); 75¹ - глинистый сланец; 116 - алевритистый глинистый сланец (тоад, ущ.р.Ассы); 43 - гидростолпистый глинистый сланец (зелен, ущ.р.Хевсуретской Арагви); 16 - песчанистый глинистый сланец (зелен, ущ.р.Хевсуретской Арагви).

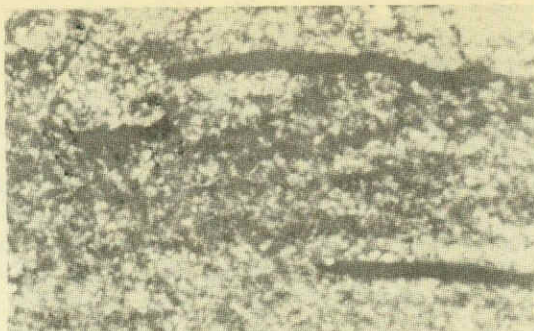


Рис.13. Аспидный сланец с обуглившимися
растительными остатками.
Обр.44², Ник. II, ув.17, ущ.р.Ассы

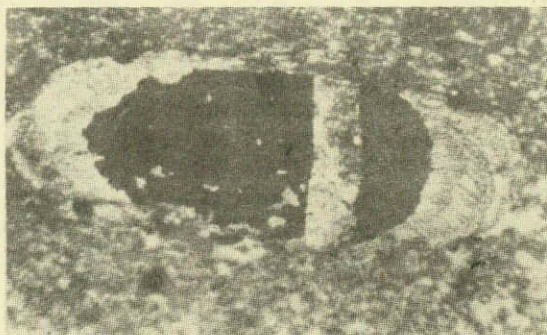


Рис.14. Выделение пирита с волокнистым
кварцем и серицитом в алевритистом аспидном
сланце
Обр.75. НикII, ув.30, ущ.р.Ассы

Ааленские глинистые сланцы несколько отличаются от плинсбахских. Они богаче калием, двуокисью алюминия и др. Но некоторые (напр. обр.4³) резко отличаются низким содержанием SiO_2 (47,38), сравнительно высоким – Al_2O_3 (31,39), K_2O (5,17), п.п.п. (6,22), что, вероятно, следует объяснить первичным составом глинистого осадка.

Следует отметить, что значительная часть сланцев, развитых в нижней части юрского разреза в ущ.р.Ассы, по минеральному составу, степени катагенетического преобразования минералов глин в гидрослюду, серицит, кварц с примесью хлорита можно отнести к аспидным сланцам. Но по общей пористости они не отвечают последним.

Как видно из табл.4, общая пористость пелолитов не опускается ниже 2,1%, и если за критерий определения принять пористость < 1%, то проанализированные породы попадут в группу глинистых сланцев с

общей пористостью 1-3%, а не в группу аспидных сланцев. Но микроскопическое изучение этих пород показывает, что имеется определенная зависимость общей пористости от наличия и количества микротрещин в породах: чем больше микротрещин, тем больше процент пористости. Например, микротрещин много в образцах I39, I37, несколько меньше их в I29, еще меньше в II9; пористость соответственно: 4,20; 4,80; 2,80 и 2,10. Этот факт показывает, что пористость для этих пород носит вторичный характер, поэтому предпочтение отдаем минеральному составу — индикатору степени метаморфического преобразования минералов глин и большую группу пелолитов плиnsбахского возраста, развитых в верховых р. Ассы, относим к аспидным сланцам.

Таблица 4
Физико-механические свойства пелолитов

№ образца	Удельная плотность, г/см ³	Объемная масса, г/см ³	Общая пористость, %	Общая плотность, %	Водопоглощение, %	Прочность, кгс/см ²
I42	2,87	2,81	2,10	97,90	0,69	304
I39	2,82	2,70	4,20	95,20	0,87	375
I37	2,90	2,76	4,80	95,20	0,84	544
I34	3,00	2,90	3,30	96,70	0,87	99
I31	2,78	2,69	3,30	96,70	0,68	548
I29	2,85	2,77	2,80	97,20	0,67	128
I28	2,85	2,77	2,80	97,20	0,67	490
II9	2,81	2,75	2,10	97,20	0,28	283
II7	2,84	2,78	2,10	97,20	0,70	500
I60	2,82	2,71	3,90	96,10	0,95	470
I55	2,82	2,74	2,80	97,20	0,65	633
I51	2,87	2,74	4,50	95,50	0,82	367
I50	2,56	2,48	3,10	96,90	0,88	153
I43	2,74	2,68	2,20	97,80	0,74	193
I48	2,66	2,58	3,00	97,00	0,88	146
I44	2,64	2,56	3,00	97,00	0,88	234

Анализ выполнен в Институте строительной механики и сейсмостойкости им. К.С. Завриева АН ГССР.

Обр. I42-II7 — керн скважины №2 (Архоти) сверху вниз в интервале от 20 до 220 м; I60, I55, I51 — из штолни №2 в ущ. р. Арагви, а I50 — у с. Гудани; I43 — у владения р. Кмости в р. Левсуретская Арагви; I48 — севернее с. Хахмати; I44 — в обнажениях южнее с. Бисо.

На кривых нагревания пелитовых пород (рис. 15) видно, что в проанализированных образцах нет адсорбционной воды, на что указывает отсутствие низкотемпературного (50-200°C) эндотермического эффекта. Этот термоэффект отмечается только в некоторых образцах (I48, I50, I44), взятых из обнажений, претерпевших выветривание. Слабо выра-

женный экзотермический эффект с максимумом на 300°C отражает, скорее всего, процесс выгорания пелитоморфного углистого вещества. На всех кривых четко выражен эндотермический эффект в интервале $500\text{--}600^{\circ}\text{C}$, который отвечает процессу выделения молекулярной воды и перестройки структуры гидрослюды, а экзоэффект в интервале $600\text{--}700^{\circ}\text{C}$ является результатом выгорания углистого вещества. После нагревания до 700°C вещество во всех проанализированных породах становится термоинертным.

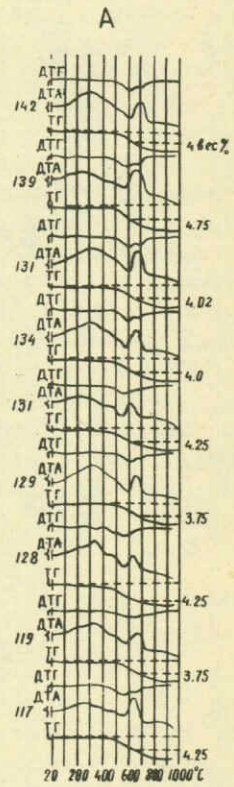
Рис. 15. Дериватограммы пелолитов.

ДТГ - дифференциальная термогравиметрическая кривая, ДТА - дифференциальная кривая нагревания, ТГ - кривая изменения массы. Навеска 400 мг, скорость нагревания 10°C в мин.

Конкремции. Мелкие диагенетические конкреции встречаются в отдельных слоях глинистых сланцев, чередующихся с песчаниками с сидеритовым цементом в верхней части хахматской свиты. Более крупные конкреции связаны с глинисто-сланцевой гуданской свитой средней юры. По составу конкреции глинисто-сидеритовые, глинисто-анкеритовые, глинисто-кальцитовые, глинисто-сидерито-кремнистые. Вмещающие их глинистые сланцы содержат микро- и тонкие слои мелкозернистого песчаника и алевролита с сидеритовым цементом, занимая интервалы T_{α} или T_{δ} мощностью от нескольких миллиметров до 5, реже 20 см, тогда как те - конкреционный интервал имеет мощность от десятка сантиметров до нескольких метров. При диагенезе тонкие слои фанеромерных осадков не "освоили" все количество карбонатов, и последние сконцентрировались не только в дегазаторах, но и в самих глинистых породах.

Форма конкреций сферическая ($d = 10\text{--}50$ см), линзовидная (длина - до 3 м), овальная и др. Многие из них слабо минерализованы; растворимая часть составляет 20-35%. Ниже приводится химический состав одной конкреции сложного состава, обр. 77¹: SiO_2 63,85; Al_2O_3 3,29; Fe_2O_3 9,26; TiO_2 0,23; MnO 2,39; P_2O_5 0,39; SO_3 0,23; CaO 6,75; MgO 2,73; K_2O 0,72; Na_2O 0,75; п.п.п. 10,00; H_2O 0,12; сумма 100,16, в которой конкреции образовали CaCO_3 5,50; MgCO_3 2,30; FeCO_3 10,50 составляют всего около 19%.

В результате изучения тяжелой фракции нижне- и средненеврских



пород устанавливается наличие одной циркон-апатит-турмалиновой терригенно-минералогической провинции. Циркон присутствует почти во всех образцах, апатит и турмалин — лишь в некоторых. Из аутигенных (диагенетических) минералов во всем диапазоне разреза распространены пирит, а с конца домера — сидерит.

Учитывая слюдисто-полевошпатово-кварцевый состав терригенной кластики нижне-среднеюрских осадочных пород, источником сноса следует предполагать сушу, сложенную породами осадочно-метаморфического и гранитоидного комплексов.

Нижняя толща аспидных и глинистых сланцев (циклаурская свита), основание которой не обнажается, образовалась в углубляющемся и расширяющемся плинсбахском морском бассейне. Развитие последнего к концу домерского века ознаменовалось разрывом литосферы, внедрением и излиянием толеитобазальтового расплава, после чего еще довольно долго продолжалось накопление пелитового материала, образовалась надбазальтовая глинисто-сланцевая толща. Затем последовало сжатие с активизацией источников сноса, в бассейн стал поступать большой объем песчаного материала в позднетоарское время (хахматские, пуйские песчаники). В аалене из-за изменения конфигурации бассейна (скорее всего в результате расширения его, так как в это время произошло излияние толеит-базальтовых лав), песчаный материал меньше стал проникать в него в виде осадков периферийных частей подводных конусов выноса. Далее последовало сужение бассейна, усиление процессов событийной седиментации; песчано-глинистый материал стал накапливаться в бассейн регressingирующего среднеюрского моря.

М.А.Беридзе

2.3. РАННЕ- И СРЕДНЕЮРСКИЙ БАЗАЛЬТОВЫЙ ВУЛКАНИЗМ

Наиболее полный разрез нижне- и среднеюрских осадочных и вулканогенных образований осевой зоны Большого Кавказа имеется в Левсурети, по ущ.рр. Арагви и Ассы. Вулканогенные комплексы, представленные субвулканическим и собственно эфузивным фациальными типами пород, развиты почти непрерывно по всему разрезу, но в основном приурочены к определенным стратиграфическим уровням. Нижнеплинсбахский (карикос) уровень занимает дайковый, т.н. Ассинский диабазовый комплекс, условно именуемый нами как нижний; к домер-нижнетоарскому стратиграфическому интервалу приурочен Колотани-Чимгискладский нижний эфузивный комплекс; на верхнетоарско-нижнеааленском стратиграфическом уровне развит верхний субвулканический диабазовый комплекс и, наконец, верхнеааленский стратиграфический интервал слагает верхний эфузивный базальтовый Чашхи-Рошкинский комплекс. Ниже при-

водится характеристика названных комплексов, полученных в процессе исследований по Асса-Арагвианскому пересечению Большого Кавказа.

Проведенные нами работы показали достоверность многих фактов, отмеченных еще Ф.Ю.Левинсон-Лессингом, Д.С.Белянкиным, А.П.Лебедевым. Однако в результате составления детальных разрезов выявлены и новые особенности по внутреннему строению и распространению вулканогенных комплексов, по их взаимоотношению с вмещающими отложениями, на основании чего были уточнены некоторые вопросы условий их формирования. В заключение работы лейас-ааленские вулканогенные комплексы представляются на общем фоне развития раннеальпийского вулканизма Большого Кавказа.

Нижний домер-нижнетоарский эфузивный комплекс

Чимгисклде-колотанский тип диабазовых пород – наиболее древнее и достоверно датированное (домер-ранний тоар) образование этого района. Он образует эфузивный комплекс вулканогенных пород, непрерывно протягивающихся от ущ.р.Цкаростави на запад в ущ.р.Цирцлованисцкали. В этих ущельях нами составлены детальные разрезы. В ущ. притока р.Колотани (р.Цкаростави) с севера на юг наблюдается следующий восходящий разрез (рис.16):

1. Сланцеватые аргиллиты с мелкими редкими прослойками алевролита и конкрециями глинистого сидерита
2. Силл альбитового диабаза. Нижняя его часть мощностью 1,5-2 м интенсивно катаклизирована 12 м
3. Сланцевые аргиллиты с тенденцией выклинивания 2 м
4. Поток рассланцованный лавы спилита. Густорасположенные микролиты альбита местами образуют микрогиалоофитовую канву, местами же наблюдаются пилотакситоподобные флюидальные структуры. Отмечаются редкие небольшого размера хлоритизированные псевдоморфозы по пироксену, а еще реже – микровкраепленники плагиоклаза. Изредка фиксируются хлоритовые миндалины. Порода густо покрыта мелкими выделениями лейкоксенизированного рудного минерала 2,5 м
5. Сланцевые аргиллиты с тенденцией выклинивания 2,5 м
6. Поток слабо фрагментированного (блокового) диабаза с экзоконтактовой зоной в лежачем боку осветленных и уплотненных глинистых пород мощностью 30 см 8,0 м
7. Поток подушечно-сферических лав. Размер подушек от 30x50 см до гигантских – 2,5x5,5 м. Последние характеризуются концентрически расположенными контракционными трещинами, разделяющими подушку на несколько (до 5) концентрических оболочек. Каждая такая оболочка, представленная диабазовой породой, имеет толщину 20-30 см, разбита перпендикулярной системой трещин, заполненных хлоритом и кальцитом 50 м

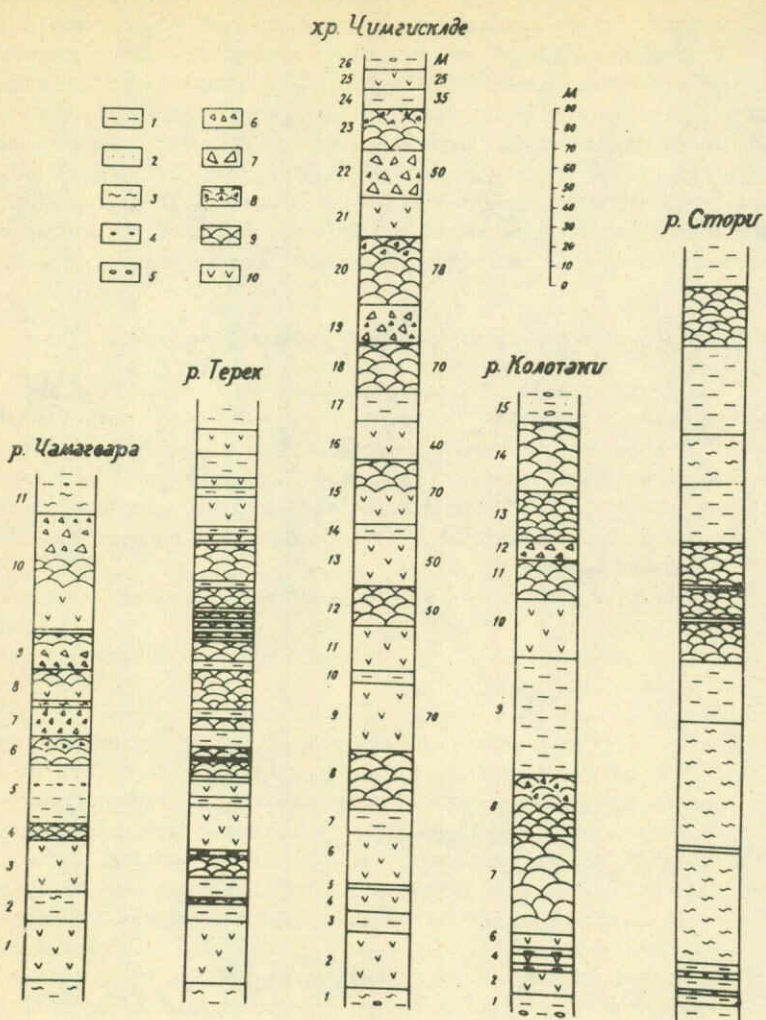


Рис. I6. Литологические колонки домер-нижнетоарской части спилит-диабазовой формации

I - глинистые сланцы; 2 - песчаники; 3 - натровые метасоматиты; 4 - конкреции пирита; 5 - конкреции сидерита; 6 - гиалокластиты; 7 - брекчии шаровых лав; 8 - изолированно-шаровые лавы; 9 - шаровые лавы; 10 - субвулканические диабазы

8. Мелкоподушечные и мелкосферические лавы, переходящие в изолированно-подушечные и брекчевые разности. Размер сфериодов уменьшен до 5×10 см. Они сложены диабазовыми витрофирами и редкими микровкрапленниками кальцитизированных плагиоклазов. Более крупные подушки в центре сложены мелкозернистым карбонатизированным диабазом, межподушечные участки представлены хлоритизированными глинистыми массами 25 м
9. Сланцеватые аргиллиты с мелкими конкрециями глинистого сидерита и редкими прослоями мелкозернистых песчаников 60 м
10. Поток слабо фрагментированной (блоковой) лавы в нижней части представлен авгит-плагиоклазовым среднезернистым диабазом. Выше в более мелкозернистых спилитовых диабазах появляются многочисленные хлоритовые, реже хлорит-кальцитовые миндалины размером до 0,5 мм, придающие породе порфировый облик 30 м
11. Сферическая и изолированно-сферическая лава. Размер сфериодов в нижней части потока достигает 0,5 м. Сфериоды сложены диабазовым витрофибитом. В мелкосферической части потока размер сфериодов – до 7×10 см. Сфериод сложен слабо раскристаллизованным витрофибитом с мелкими псевдоморфозами. Межсфериодальные участки представлены местами гиалокластитом, местами же пятнисто хлоритизированной глинистой породой 20 м
12. Мелкообломочные брекции изолированно-шаровых лав, скементированных в разной степени хлоритизированными уплотненными глинистыми породами. Обломки и фрагменты представлены карбонатизированными вариолитами с окварцованными и частично хлоритизированными редкими вкрапленниками плагиоклаза 10 м
13. Поток подушечно-сферических лав спилитовых диабазовых витрофибитов. В подошве потока наблюдаются адиноловые породы узловатой (очковой) структуры. Узлы белого цвета, сферической овальной формы, размер от 0,5 до 3,5 см, представлены типичными адинолами или пятнистыми адинол-роговиками. Межузловая связующая масса – изохимически измененная (перекристаллизованная) гидрослюдисто-хлоритовая глинистая порода серовато-розового цвета 25 м
14. Поток гигантосферических лав с размерами сферических тел до $1,5 \times 2$ м 35 м
15. Сланцеватые аргиллиты с конкрециями глинистого сидерита. Конкремции расположены по сланцеватости.

Общая мощность вулканогенного комплекса 282 м. Комплекс разделен осадочной пачкой мощностью 60 м на две части: северную (нижнюю) – 102 м и южную (верхнюю) – 120 м. В комплексе превалируют вулканиты собственно эфузивной субфации – потоки слабо фрагментированных (блоковых) и подушечно-сферических лав, изолированно-сферические лавы и их фрагментированные (брекчированные) разновидности.

Количество лавовых потоков, различающихся лишь структурно-текстурными особенностями, — пять в северной части (мощность от 2,5 до 50 м) и четыре в южной части (мощность от 20 до 35 м). Брекчированные вулканиты были отмечены лишь в двух пачках (8 и 12 м). В основании разреза фиксируется одно силловое тело диабаза. Выходы крупнозернистых пойкилоптических диабазов субвулканической фации мощностью 35 м наблюдаются в 110 м севернее эфузивного комплекса и 150 м южнее его, на левом берегу реки.

По левому борту ущ. р. Цирцлованисцкали (район хр. Чимгисклде) с севера на юг наблюдается следующий разрез (см. рис. 16):

1. Сланцеватые аргиллиты с редкими тончайшими прослоями сидерит-содержащих алевролитов и мелкими глинисто-сидеритовыми конкрециями. В непосредственной близости от выходов вулканогенного массива наблюдается некоторая уплотненность аргиллитов, в которых встречаются несколько линзовидных включений карбонатизированных витрофирито-вариолитовых пород мощностью от 3x10 до 15x90 см. Мощность уплотненных аргиллитов с включениями 1,50 м
2. Диабазовый силл общей мощностью 28 м:
 - а) эндоконтактовая зона диабаза — светло-зеленовато-серые диабазовые витрофириты. Контакт витрофирирован с уплотненными аргиллитами неровный, элементы плоскости контакта ЮВ 130°,∠ 60°. В 140 см от контакта взят витрофирит с более крупными микролитами карбонатизированного плагиоклаза 4,5 м
 - б) авгит-альбитовый крупнозернистый диабаз, местами слабо фрагментированный, с кварцевыми прожилками по трещинам 22 м
 - в) адинол-роговики экзоконтактовой зоны. На фоне мелкороговиковой альбитовой массы развиты пятна эпидот-циозита, хлорита и карбоната; отмечаются также реликтовые участки аргиллита 1,5 м
3. Сланцеватые аргиллиты 10 м
4. Авгит-плагиоклазовый диабаз, в северном эндоконтакте мелкозернистый, местами с витрофирированными участками; в центральной части тела представлен среднезернистый диабаз с крупными хлоритовыми выделениями 12 м
5. Сланцеватые аргиллиты 2 м
6. Авгит-плагиоклазовый среднезернистый диабаз с крупными миндалевидными выделениями хлорита с эпидотом. Наблюдается четкая столбчатая отдельность 30 м
7. Сланцеватые аргиллиты слабо алевритистые с карбонатизированными скелетами микрофауны, местами пятнистыми выделениями мелкокристаллического кальцита. В непосредственной близости от вышеупомянутого потока сферических лав наблюдается слабое осветление и уплотнение аргиллитов 12 м

8. Поток диабазовых витрофиритов со сферическо-подушечной текстурой. Размер сфероидов достигает $0,5 \times 0,35$ см, четко выражены корки закалки. Подушки сфероидов представлены в разной степени карбонатизированными диабазовыми витрофиритами с порфировыми, нередко глымеропорфировыми выделениями плагиоклаза. Шестоватые и спноподобные агрегаты микролитов плагиоклаза, также как и фенокристалла, принадлежат к альбит-олигоклазовому ряду. Микроминдалыны заполнены хлоритом. В межподушечных промежутках развит хлорит с мелкоагрегатными выделениями кварца 30 м
9. Крупнозернистый авгит-плагиоклазовый диабаз с выделениями актинолита, пренита, хлорита и карбоната. В южном эндоконтакте диабазовое тело представлено витрофиритом со спноподобными, радиально-лучистыми и метельчатыми агрегатами альбита в основной массе с удлиненно-призматическими фенокристаллами кислого плагиоклаза. Темный силикат отсутствует. Рудный минерал лейкосенизирован 70 м
10. Уплотненные, но не обесцвеченные аргиллиты (3 м) и обесцвеченные роговикоподобные их разности (4 м). Общая мощность 7 м
- II. Авгит-плагиоклазовый среднезернистый диабаз массивной текстуры 30 м
12. Слабо фрагментированный диабаз, сменяющийся выше ясносферической разновидностью. Размер сферических тел до 30×35 см. Они сложены спилитовыми витрофиритами и вариолитами с нацело карбонатизированными микрофенокристаллами 50 м
13. Массивные диабазы 50 м
14. Сланцеватые аргиллиты 6 м
15. Крупнозернистые авгит-альбитовые диабазы массивной текстуры. Выше по разрезу они переходят в ясносферические лавы диабазовых витрофиритов мощностью 10 м. Общая мощность 70 м
16. Поток диабаза интерсертальной структуры с длиннопризматическими кристаллами авгита и альбита и многочисленными микроминдалами хлорита и кварц-хлорита. Текстура потока массивная 40 м
17. Перемятые с многочисленными зеркалами скольжения сланцеватые аргиллиты 15 м
18. Потоки сферических и подушечных лав с чередованием крупно- и мелкосферических интервалов. Мелкие (10×15 см) сфероиды пред 20 м

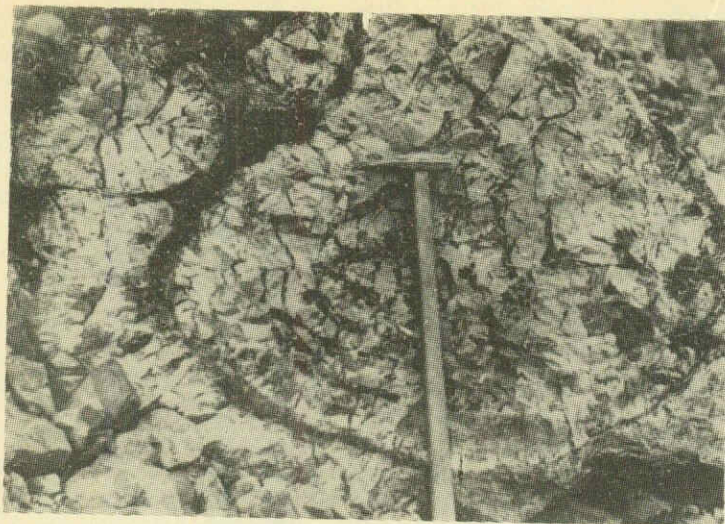


Рис. 17. Контракционные трещины в шаровых лавах, ущ. р. Цирцилованисцкали (хр. Чимгисклде)

- б) сланцеватые аргиллиты с тенденцией выклинивания 2,5 м
- в) фрагментированная до образования сферолитовых тел лава 8 м
- г) сланцеватые аргиллиты, местами перемятые, с тенденцией к выклиниванию 3 м
- д) плотная часть лавы, лишь местами фрагментированная, представленная авгит-альбитовым среднезернистым диабазом 5 м
- е) подушечная лава размером подушек до 1x0,40 м с контракционными трещинами, заполненными глинистым материалом, аналогичным межподушечным массам. Подушечные тела представлены вариполитами с нечетко сформированными агрегатами шестоватых альбитов. Некоторые подушечные тела изогнуты и вытянуты по длиной оси, поверхность их покрыта пленкой гидроокислов железа красноватого цвета 15 м
- ж) изолированно-сферические лавы, представленные обособленными фрагментами причудливо-извилистого очертания, размером до 20–30 см. На многих фрагментах сохранены тонкие (до 1 см) корки закалки. Фрагменты лавы скементированы уплотненным аргиллитовым материалом темно-серого, до черного цвета, на фоне которого выделяются более мелкие обрывки тех же лав (рис. 18). Цвет лавовых фрагментов, как и в предыдущей пачке, красноватый 10 м
- з) подушечно-шаровые лавы зеленовато-серого цвета (отличаются от предыдущих красноватых пород). Размеры подушек варьируют

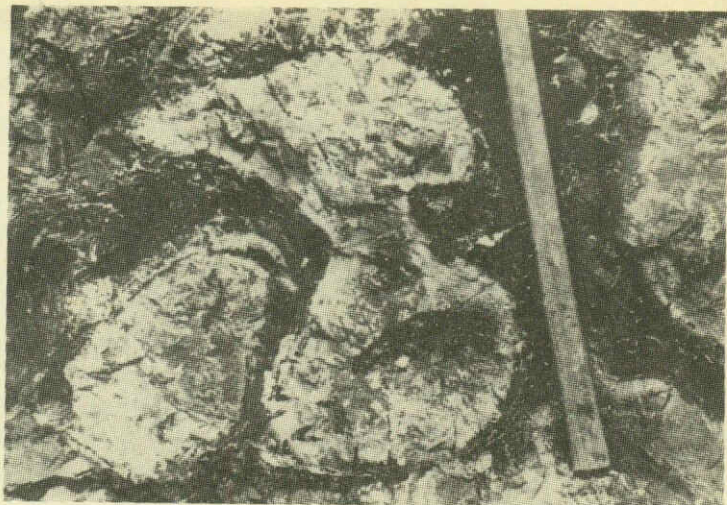


Рис.18. Изолированно-шаровые лавы ущ.р. Цирцлованисциали
(хр. Чимгисклде) на фоне вмещающих глинистых
пород (черное)

от 20×15 см до $1 \times 0,5$ м; четко выражены корки закалки и контракционные трещины как радиальные, так и секущие. Шаровые лавы сложены структурным рядом пород от авгит-альбитовых манделльштейновых интерсеральных базальтоидов до нечетко раскристаллизованных диабазовых витрофиритов и плагионитизированных вулканических стекол

30 м

21. Полнокристаллический крупнозернистый авгит-плагиоклазовый дигабаз 20 м
22. Брекчии изолированно-сферических лав, среднеобломочные (размеры обломков сферических лав от 10×15 до 15×20 см), сцементированные сильно уплотненным глинистым веществом темно-серого до черного цвета. Некоторые обломки пирамидальной формы сохранили корки закалки. Наблюдаются маломощные (до $1-1,5$ см) прослои изолированно-подушечных и причудливо сложенных лавовых образований (рис.19) 50 м
23. Слабо фрагментированные и крупноподушечные лавы. Размеры отдельных подушек, плотно примыкающих друг к другу, достигают $1 \times 0,8$ м. Лишь местами наблюдаются более крупные межподушечные участки с гиалокластикой и вторичными гидротермальными продуктами 20 м
24. Однородные глинистые сланцы с падением плоскости кливажа СЗ $300-310^\circ$, $\angle 80^\circ$, не совпадающим с элементами общей поверхности

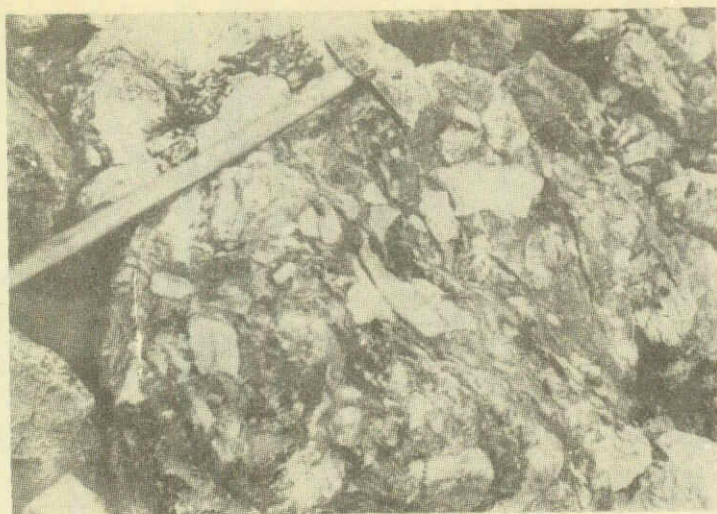


Рис.19. Брекчии шаровых лав с глинистым цементом, хр. Чимгисклде - ущ.р.Цирцлованисцкали

сти лавовых потоков, которая падает на СЗ 260° , $\angle 80^{\circ}$ 25 м
25. Осветленные и уплотненные глинистые породы 10 м
26. Крупнозернистый авгит-альбит-олигоклазовый диабаз 25 м
27. Глинистые сланцы с тонкими (2-3 см) прослойками сидеритсодержащих алевролитов и мелкозернистых песчаников с элементами залегания ЮЗ 280° , $\angle 75^{\circ}$; плоскость кливажа в глинистых сланцах ЮЗ 290° , $\angle 85-87^{\circ}$. Выше, в сланцевых пачках мощность прослоев песчаников увеличивается до 5 см и появляются глинисто-сидеритовые конкреции размером 2x3 см. В 50 м от предыдущего замера элементы песчаниковых прослоев СЗ 320° , $\angle 85^{\circ}$, плоскостей кливажа - СЗ 310° , $\angle 80^{\circ}$. В 80 м к югу от контакта пород вулканогенного комплекса со сланцевой толщей замеряется ЮВ $160-170^{\circ}$, $\angle 60-65^{\circ}$, падение плоскости кливажа ЮЗ 190° , $\angle 75^{\circ}$. По приведенным элементам залегания осадочная толща в контактной зоне явно смешена относительно общей поверхности залегания эфузивного комплекса, которая падает на СЗ 260° , $\angle 80^{\circ}$.
Общая мощность вулканогенно-осадочного комплекса 750 м.
Мощность собственно вулканических пород 638, 5 м, осадочных пород - III,5 м. Полнокристаллические массивные диабазы (потоки и близповерхностные силлы) составляют 259 м, фрагментированные и подушечно-сферические лавовые потоки - 290 м, брекчии подушечно-сферических лав - 70 м. Количество потоков подушечно-сферических лав

6, мощность от 20 до 70 м. Количество силлов и потоков массивных диабазов - 5, мощность от 12 до 50 м; взаимоотношение вулканогенного массива с вмещающей осадочной толщей тектоническое, что подчеркнуто многочисленными зеркалами скольжения, наблюдаются и внутри вулканогенного комплекса между отдельными потоками и отделяющими их пачками аргиллитов. Как в северном, так и в южном контактах вулканогенного массива, залегают диабазовые силлы. В разрезе с севера на юг явно намечается увеличение роли потоков сферических лав, а в самой верхней части появляются гиалокластические брекции сферических лав. Как к северу, так и к югу от Чимгисклдеского вулканогенного массива в 100-150 м залегают несколько субвулканических жил крупно-зернистых диабазов мощностью от 10 до 25 м.

Химический состав пород Колотани-Чимгисклдеского комплекса приведен в табл.5.

Нижний субвулканический комплекс

Ассинский тип диабазовых пород распространен в разрезе севернее выходов Колотанского вулканического комплекса, сперва по ущ.р. Колотаницкали (Цкаростави), а затем по ущ.р.Ассы, до устья р.Бисна. Диабазовые породы распространены неравномерно. На отрезке длиной около 1200 м между северным выходом Колотанского массива и разв. Колотани среди однородных глинистых сланцев позднего плинсбаха (домер) выступают 9 диабазовых жил общей мощностью 28 м. Между разв. Колотани и устьем р.Колотаницкали (Цкаростави) на расстоянии 1400 м аспидносланцево-песчаниковые отложения раннего плинсбаха (карикс) содержат 20 диабазовых жил общей мощностью 96 м. От устья р.Колотаницкали по р.Ассе до устья ее правого притока р.Ковгра, примерно на расстоянии 2450 м в аналогичных аспидно-сланцево-песчаниковых отложениях залегают 60 диабазовых жил общей мощностью 180 м. Севернее устья р.Ковгра количество диабазовых жил резко убывает, и на протяжении примерно 1400 м было зафиксировано около 12 диабазовых жил, общей мощностью до 50 м, а еще севернее, в выходах монотонных глинистых сланцев домера, залегающих в мульде синклиналии, диабазы отсутствуют вовсе. Наиболее распространены жилы мощностью менее 0,5-1-1, 5-2-2, 5-3 м. Диабазы мощностью менее 0,5 м и более 3 м встречаются редко. Лишь вблизи северного выхода Колотанского вулканического массива (в 100-110 м от него) выступает крупная жила, достигающая мощности 35-40 м.

Анализ петрографического состава диабазовых пород показал, что севернее выходов Колотанского вулканического массива, примерно до устья р.Колотаницкали, развиты авгитовые диабазы с кислым плагиоклазом, а ниже по ущ.р.Ассе диабазы, как правило, уралитовые, преимущественно с основным плагиоклазом. Таким образом, в отрезке разреза

Таблица 5

Химический состав вулканитов спилит-диабазовой формации Хевсурети
(Колотани-Цилимсккий комплекс), вес.%

Номер образца	Окислы							MgO	Na ₂ O	K ₂ O	SO ₃	P ₂ O ₅	Влагата	П.Д.П.	Сумма	
	SiO ₂	TiO ₂	Al ₂ O ₃	Fe ₂ O ₃	MnO	FeO	CaO									
7018	44,96	0,66	13,94	0,71	9,90	0,10	9,10	II,43	3,00	нет	нет	0,35	5,51	99,70		
7032	41,92	0,94	15,31	1,90	6,53	0,24	11,70	4,03	5,00	0,90	нет	0,14	0,38	10,69	99,68	
7036	53,02	0,94	16,00	1,05	8,97	0,07	3,07	4,48	7,70	0,30	нет	0,19	0,34	3,89	100,02	
7040	49,01	0,90	14,42	1,75	8,97	0,24	7,30	9,36	4,00	0,30	нет	0,09	0,74	2,88	99,69	
7041	46,92	0,90	14,54	2,88	8,35	0,24	5,60	9,68	4,20	0,30	нет	0,02	0,55	5,49	99,67	
7042	55,64	0,80	16,35	1,50	3,73	0,10	5,08	4,10	7,70	сл.	нет	0,40	4,27	99,67		
7045	50,93	0,80	15,33	2,85	5,95	0,17	6,67	7,61	5,00	нет	нет	0,41	3,96	99,68		
7049	50,98	сл.	17,99	0,17	8,18	0,24	2,21	7,48	6,20	0,20	нет	нет	0,58	6,43	99,66	
3069	48,25	1,08	14,09	3,45	8,47	0,17	7,94	7,38	4,00	нет	нет	0,13	0,44	3,65	99,65	
7979	53,47	0,82	16,87	2,05	4,30	0,07	2,22	7,30	7,20	нет	нет	0,05	0,61	4,68	99,64	
4308	46,64	0,54	16,79	4,14	6,71	0,24	9,24	6,83	3,11	0,07	нет	нет	0,26	5,66	100,27	
4320	49,66	0,73	15,66	3,64	6,86	0,27	10,77	4,17	4,87	нет	нет	0,15	0,06	3,30	100,14	
4322	52,12	0,96	15,13	4,41	5,11	0,31	7,21	6,70	5,07	нет	нет	0,42	0,16	2,64	100,24	
4365	48,46	0,70	17,23	2,59	5,40	0,27	8,10	4,68	4,88	нет	нет	0,13	0,42	7,26	100,08	
4371	56,08	0,72	18,09	2,56	3,94	0,12	3,07	4,78	7,03	нет	нет	0,24	0,16	3,30	100,15	
4372	49,71	0,65	15,13	1,95	7,12	0,25	8,24	6,96	4,10	0,20	нет	0,08	0,22	5,28	99,89	

Место взятия и фациальный тип пород: I, II - ущ. р. Цкароставы; 2-9 - ущ. р. Цирцлованисцкали; I, 4, 9 - зону выделеными и миндалинами; 3, 6, 10 - вариолиты; 8 - спилит; 2, 5, 7 - эфузивные диабазы с кальцит-хлорит-архоситом; I, II, 12 - диабаз из ущ. р. Архосителе (струйноканальная фация); I3 - р. Архосителе; 14, 15 - р. Нарванисцкали - вариолиты собственно эфузивной фации; 16 - диабаз субулканической фации.

Аналитики: Л.И.Беридзе, А.А.Лагария (II-15)

от устья р. Колотанисцкали до устья р. Ковгра, являющегося наиболее насыщенным диабазовыми дайками, выступают исключительно уралитово-лабрадоровые диабазовые жильные породы, связанные с песчаниково-аспидносланцевыми отложениями раннего плинсбаха (карикс).

Химический состав диабазов ассинского типа приведен в табл. 6.

По форме залегания диабазы ассинского типа являются дайковыми жильными телами. Обычно они секут слоистость вмещающих пород под разным углом и ориентированы параллельно плоскости кливажа. Вместе с тем следует подчеркнуть наличие на них явных следов воздействия последующих деформаций, выразившихся в интенсивном будинаже и других изменениях, на которые указывал еще Ф. Ю. Левинсон-Лессинг.

Верхний субвуликанический комплекс

Флишоидные и аргиллитовые толщи тоар-аалена (хахматская и гуданская свиты) бедны вулканогенными продуктами. Южнее выходов Колотани-Чимгисклеского вулканогенного комплекса до Главного водораздельного хребта отмечаются лишь единичные выходы вулканических пород. Так, в обнажениях правого борта ущ. р. Цкаростави нами было зафиксировано несколько диабазовых дайковых пород мощностью от 0,15 до 0,5 м; изредка диабазовые жильные породы достигают здесь мощности 10 м. Породы сильно изменены, главным образом карбонатизированы, но реликтовая офитовая структура хорошо сохранена вследствие разной окраски вторичных продуктов, замещающих плагиоклаз (кальцит) и интерстиции между ними (буроокрашенное бовлингитоподобное вещество), лишь изредка отмечается свежие желтоватые кристаллы кислого плагиоклаза. Некоторые хлорит-серпентиновые с кальцитом псевдоморфозы по форме напоминают оливин.

Диабазовые породы, обнажающиеся южнее Главного водораздельного хребта, детально охарактеризованы в работе Г. С. Дзоценидзе и Крестникова. Ими в пределах Хевсурети было описано 12 участков развития диабазовых пород. Заслуживают внимания биотитовые оливинсодержащие разности, аналоги которых среди диабазов ассинского и колотанского типа не встречаются.

Кроме диабазовых пород, в тоар-ааленских отложениях были встречены маломощные пачки мелко- и среднезернистых туфовых пород с датитовым (эффузивный кварц, биотит) пирокластическим материалом (над с. Гули, у устья р. Гуданисчала), а также несколько выходов интрузивных тел кислого состава (окрестности с. Бло).

Верхний, верхнеааленский эфузивный комплекс

Вулканогенные образования Чаухского массива из-за труднодоступности его коренных выходов все еще остаются недостаточно изученным геологическим объектом. Лишь благодаря работам последних 10-15

Таблица 6
Химический состав диабазов Ассинского комплекса южной части рр. Терека и Ассы, вес. %

№/п	Номер образца	Оксиды										Влаги	П.Д.П.	Сумма		
		SiO ₂	TiO ₂	Al ₂ O ₃	Fe ₂ O ₃	FeO	MnO	CaO	MgO	Na ₂ O	K ₂ O					
I	7II0	53,70	0,90	14,09	1,60	8,97	0,10	8,89	5,32	3,10	1,00	0,54	нет	0,20	1,66	100,07
2	7II3	53,90	0,90	13,77	1,28	8,68	0,10	8,57	5,63	3,30	1,20	0,18	сл.	0,30	1,85	99,66
3	3996	49,40	2,25	13,60	1,14	11,55	0,31	10,30	5,85	2,70	сл.	0,27	нет	0,19	2,10	99,76
4	3999	51,10	1,28	15,30	1,00	8,68	0,24	9,94	6,34	3,00	сл.	0,19	сл.	0,24	2,35	99,66
5	3460	52,32	1,26	16,77	4,16	9,19	0,27	3,18	4,93	1,73	0,55	0,43	нет	0,36	4,68	99,84
6	3463	50,50	1,30	17,65	1,94	10,90	0,17	1,78	6,50	1,20	1,10	0,15	нет	0,60	6,10	99,89
7	79ч	50,88	1,37	15,30	2,83	8,97	0,24	8,31	5,41	3,50	0,70	0,42	нет	0,16	2,49	99,98
8	90ч	48,90	0,90	18,89	3,39	4,95	0,17	8,75	6,53	2,80	0,50	0,23	нет	0,24	3,98	99,63
9	94ч	51,04	1,37	16,32	3,85	6,39	0,28	9,09	4,06	3,50	0,20	0,40	нет	0,23	3,03	99,76
10	93ч	51,42	1,12	14,28	6,67	7,10	0,24	7,20	6,12	3,20	0,20	0,26	нет	0,17	3,63	99,62

Место взятия и тип пород: 1,2 - диабазы, секущие Дарьльский массив; 3,4 - диабазы, связанные с нижней частью Чиклутской свиты северной периферии массива; 5,6 - диабазы, связанные с нижней частью Чиклутской свиты южной периферии Гвелетского массива; 7-10 - диабазы, связанные с циклаурской свитой южн.р. Ассы.

Аналитики: А.А.Лагардия (3,4,5), Г.И.Тархнишвили (6) и Л.И.Беридзе

лет несколько пополнились наши представления об этом весьма интересном продукте юрской вулканической деятельности. Так, на основании работы А.М.Гавашели (1973) было отмечено преимущественное развитие в Чаухском вулканогенном массиве пород собственно эфузивной фации — покровов миндалекаменных и компактных спилитов и подушечных лав. Породы "лавокластической субфации и брекчии с глинистым цементом", встречающиеся редко, как показывают наши наблюдения, следует отнести к продуктам фрагментации лавовых потоков в относительно глубоко-водных условиях и идентифицировать как брекчии шаровых лав и изолированно-шаровые брекчии. Что же касается разнозернистых туфов и туффитов, то их следует отнести к гиалокластитам и гиалокластитовым брекчиям, а не к продуктам эксплозивной деятельности. Такая же неточность допущена, на наш взгляд, в работе М.К.Суханова и А.А.Цветкова (1975), посвященной характеристике магматических пород горного массива Чаухи. Эти исследователи описывают пачку литокластического туфа мощностью 8 м, зажатую между двумя силлами диабазовых порфиритов, состоящую из крупных (10–15 см) обломков якобы вулканических бомб и лапиллей мандельштейновых порфиритов, разбросанных среди обильного осадочного цемента. Охарактеризованы также три пласта литокластических туфов общей мощностью 15 м, состоящие из угловатых обломков (80–85%) и цементирующего осадочного материала. Как показали наши наблюдения, эти породы являются гиалокластитами и гиалокластитовыми брекчиями, а также изолированно-шаровыми брекчиями, возникшими вследствие фрагментации и дробления лавового материала в подводных условиях на фоне глинистой седиментации. Никаких доказательств в пользу наличия бомб и лапиллей, несомненно указывающих на взрывной механизм вулканических извержений, в работе не приводится. Следует отдать должное названным исследователям (А.М.Гавашели, М.К.Суханов, А.А.Цветков) в том, что они впервые представили в общих чертах последовательность вулканических извержений в пределах Чаухского массива, а последние составили и схему с разрезом. По представлениям М.К.Суханова и А.А.Цветкова, разрез Чаухского вулканогенного комплекса выглядит так: 1) серия силлов (а также потоков — М.Б.) общей мощностью 500 м с пластом литокластических туфов (гиалокластитов и гиалокластических брекчий — М.Б.); 2) серия лавовых потоков общей мощностью 500 м; 3) несколько горизонтов (пачек — М.Б.) литокластических туфов (гиалокластитов — М.Б.) мощностью по 2–3 м каждый; 4) отдельные вулканические бомбы в сланцевой толще (изолированно-шаровые брекчии — М.Б.).

Химический состав пород Чаухского вулканогенного массива, по данным различных авторов, приведен в табл.7.

На сегодняшний день уже имеется материал, позволяющий несколько уточнить возраст Чаухи-Рошкинского вулканического комплекса. Еще В.Н.Крестников (1944) отмечал, что осадочные породы Чаухского комп-

Таблица 7

Химический состав пород Чаухи-Рошкунского вулканического массива, вес. %

Номер образца	SiO ₂	TiO ₂	Al ₂ O ₃	Fe ₂ O ₃	MnO	MgO	CaO	Na ₂ O	K ₂ O	P ₂ O ₅	H ₂ O, P.	Влаги	Сумма
													Сумма
Оксиды													
42/61	45,06	2,00	16,68	1,33	7,46	0,18	8,67	10,47	2,30	1,52	4,24	0,27	100,18
599	48,36	0,75	15,81	2,40	6,19	0,10	8,48	7,87	3,88	1,50	0,20	3,30	1,32
336	51,26	1,00	15,33	1,69	8,13	0,18	8,66	3,43	3,10	-	6,65	0,25	100,16
598	48,83	0,56	16,10	2,77	6,69	0,14	10,90	8,68	1,70	1,00	0,15	3,40	1,80
A-520	52,55	1,17	14,59	2,28	9,00	0,32	5,41	7,19	4,10	0,40	0,25	0,70	99,68
212-Д	48,10	1,20	20,10	0,92	6,20	0,17	5,29	9,70	3,69	1,16	0,31	3,25	-
217-А	46,73	1,24	16,21	0,23	6,89	0,13	10,18	8,99	2,59	0,74	0,29	4,75	-
213-Д	50,88	1,54	16,45	0,75	9,16	0,23	4,33	8,92	3,94	0,49	0,58	3,66	0,15 100,32
14-Д	45,06	-	23,37	3,05	3,65	-	3,II	13,33	2,27	0,61	-	5,18	0,96
19-Д	42,99	-	20,04	0,17	5,31	-	7,47	8,95	4,96	0,62	-	7,78	-
112-С	48,07	1,67	16,68	1,39	6,97	0,18	7,94	7,44	3,55	2,03	0,34	3,84	-
88	45,22	1,30	16,31	1,00	8,28	0,18	8,97	6,43	3,76	0,08	0,20	5,79	0,15 100,19
940	47,40	-	-	-	-	-	-	3,17	-	-	-	-	-
53	47,34	1,02	14,16	2,02	6,76	0,15	5,68	11,30	3,16	0,13	0,18	0,18	95,17
53-1	49,70	1,02	14,97	2,12	7,09	0,17	5,97	11,83	3,31	0,14	-	0,20	3,48
													100,00

42/61, 599, 336, 598, II2 - габбролит; A-520, 212-Д, 213-Д - г.Чаухи, по М.К. Суханову (1975); 14-Д - г.Чаухи, крупнозернистый диабаз; 19-Д - Г.Рошка такситовый горнфирит, по Ф.Ю.Левинсон-Лессингту (1888); 88 - диабаз из диабазового потока в ширке р.Белаяри (восточный склон массива Чаухи); 940 - спиллит из массива Чаухи; 53 - лейкокоматозная из западных отрогов массива Чаухи, по А.П.Лебедеву (1950); 53-1 - то же, пересчитанное на 100.

лекса являются непосредственным продолжением гудушаурской свиты позднего тоар-аалена, на основании чего и определяется возраст вулканитов Чаухи. В связи с этим следует отметить, что гудушаурская свита, по данным последних лет (см. статью М.В. Топчишвили в настоящем сборнике), датируется как аален. Наиболее надежным репером для определения возраста Чаухского вулканического комплекса является найденная Т.В. Копадзе и А.М. Гавашели на юго-восточной окраине Чаухского массива у его подножья, в ущелье правого истока Рошкисцкали, фауна с аммонитом лейоценас (Гавашели, 1973), являющегося руководящей фауной нижнего аалена. На этом основании Чаухский вулканический комплекс можно датировать как аален, тем более, что аналогичные вулканические образования на Большом Кавказе повсюду занимают именно ааленский стратиграфический уровень. Предпринятая рядом исследователей параллелизация с порфиритовой серией байоса Южного склона не оправдывает себя, так как последние по петрологическому составу и тектонической позиции резко отличаются от Чаухских и ему подобных толеит-базальтовых эфузивов (Беридзе, 1983).

Таким образом, Асса-Арагвинское пересечение Большого Кавказа дает наиболее полное представление о лейас-ааленском вулканизме осевой зоны этого региона. Вполне достоверно устанавливаются два импульса толеит-базальтового вулканизма: домер-раннетоарский и ааленский, разобщенные небольшой паузой (поздний тоар-ранний аален), в течение которой сформировались флишевые отложения дистального типа. Продукты собственно эфузивной фации обоих импульсов вулканизма подстилаются терригенными отложениями, в которых широко развиты субвулканические дайковые комплексы диабазовых пород. Это т.н. Ассинская диабазовая формация, залегающая среди отложений кистинской и нижнецилаурской свит синемюра-карикса, и мощные диабазовые жилы полосы Джута-Колотани, прорывающие верхнетоарско-нижнеааленские отложения. Судя по петрологической природе, возраст большинства диабазовых даек соответственно должен ограничиваться стратиграфическим уровнем проявления двух импульсов вулканизма. Фациальный состав продуктов вулканизма (наличие пиллоу-лав и их производных, отсутствие пирокластики) и вмещающих отложений (монотонные педитовые осадки) указывают на трещинный тип извержений в относительно глубоководной морской обстановке. Продукты обоих импульсов вулканизма рассмотренной зоны объединяются в однородную толеит-базальтовую (в спилит-диабазовую, по Ю.А. Кузнецовой) формацию, характерную для ранних стадий развития геосинклинальных бассейнов. Геологическая позиция, петрологический состав и закономерности пространственно-временных соотношений этой формации с вмещающими отложениями и другими вулканическими формациями Большого Кавказа детально рассмотрены в работах Беридзе (1983). Здесь же ограничимся лишь некоторыми сопоставлениями.

Нижний (домер-нижнетоарский) и верхний (верхнеааленский) эфу-

зивные комплексы, охарактеризованные в полосе Колотани-Чимгисклде, имеют свои аналоги как в западной, так и восточной частях Большого Кавказа, образуя единый вулканический пояс. Так, в Горном (южном) Дагестане вулканические комплексы, по данным А.Г.Долгих и В.Б.Черницина (1971), занимают позднетоарский и позднеааленский стратиграфические уровни (истоки рр.Курдул, Канзебер, Мачхалор, Бакадухор). Тоарская их часть, соответствующая нижнему Колотани-Чимгисклдескому комплексу; сложена собственно эфузивной и силлово-дайковой фациями. А верхнеааленская часть характеризуется смешанным фашиальным составом. Подчеркивается отсутствие пирокластических пород. В силловой и дайковой фациях различаются также оливиновые диабазы, пикрит-диабазы, пикриты.

К западу от Асса-Арагвинского пересечения нижний (домер-нижнетьоарский) вулканический комплекс непрерывно протягивается из бас. р. Терек в Дигоцию - в бас. рр. Фиагдон и Ардон, образуя мощные выходы пород субвулканической и эфузивной фаций при отсутствии пирокластической. Далее породы этого комплекса зафиксированы в Верхней Сванетии в истоках рр. Гуличала, Пушкуари и Долра, а еще дальше - в Горной Абхазии, в бассейне верхнего течения р. Бзыбь; на Северо-Западном Кавказе в Псехако-Березовской зоне Н.И.Пруцким (1984) отмечен наиболее западный выход пород домер-нижнетьоарского вулканического комплекса. Позднеааленский вулканический комплекс в западной части Большого Кавказа известен под названием чаталталинской свиты (Ломизе, 1969).

Таким образом, однородная толеит-базальтовая вулканическая формация в палеотектоническом отношении маркирует осевой прогиб Большекавказского окраинноморского бассейна и указывает на проявления спрединга в интервале времени домер-аален. Спрединг с толеит-базальтовым вулканализмом начался после прекращения дифференцированного риолит-базальтового вулканализма на Большекавказской и Закавказской островных дугах и прекратился к раннему байосу с началом интенсивного известково-щелочного андезит-базальтового вулканализма на Закавказской островной дуге. Как во времени, так и в пространстве вулканализм осевой зоны четко разграничен с островодужным вулканализмом.

Т.В.Гиоргобиани, Д.П.Закарая

2.4. ТЕКТОНИКА ПОЛОСЫ РАЗВИТИЯ НИЖНЕ-СРЕДНЕЮРСКИХ ОТЛОЖЕНИЙ

Нижне-средненюрские песчано-глинистые отложения наиболее широко распространены в районе Асса-Арагвинского пересечения Большого Кавказа. В его пределах с севера на юг выделяются три тектонические зоны мегантиклиниория Большого Кавказа - Внешняя зона Горного Дагестана, зона восточного погружения антиклиниория Главного хребта (зона

горст-антиклиниория Бокового хребта) и Казбекско-Лагодехская зона складчатой системы Южного склона (И.Гамкелидзе, 1984).

Внешняя зона Горного Дагестана представляет собой северное крыло мегантиклиниория Большого Кавказа. В изученном районе она делятся на две подзоны: Известнякового Дагестана и Агвалинской наклонной складчатой ступени (Геология СССР, т.IX, 1968). Подзона Известнякового Дагестана занимает крайнюю северную часть исследованной территории. Она сложена среднеюрскими (байос) песчано-глинистыми отложениями, на которых с размывом, но без структурного несогласия, залегают верхнеюрские образования — аргиллиты келловея и карбонатные породы оксфорда-кимериджа-титона. В строении Агвалинской ступени принимают участие нижне-среднеюрские (тоар-аален-байос) песчано-глинистые отложения.

Зона восточного погружения антиклиниория Главного хребта, сложенная песчано-глинистыми толщами нижней юры (плинсбах-тоар), занимает осевую часть мегантиклиниория Большого Кавказа и представляет собой непосредственное продолжение антиклиниория Главного хребта Центрального Кавказа. Но в отличие от последнего доальпийский фундамент Большого Кавказа здесь испытывает довольно резкое погружение и на поверхности не выступает. "В связи с этим рассматриваемая зона в последнее время выделяется в качестве зоны восточного погружения антиклиниория Главного хребта Большого Кавказа (П.Гамкелидзе, 1964; И.Гамкелидзе, 1984), а не горст-антиклиниория Бокового хребта (Геология СССР, т.IX, 1968). В его пределах отчетливо выделяются северное, осевая часть и южное крыло антиклиниория.

Расположенная южнее Казбекско-Лагодехская зона представляет собой южное крыло мегантиклиниория Большого Кавказа и сложена в основном среднеюрскими (аален-байос-бат) песчано-глинистыми и глинистыми сланцами, а также песчано-глинистой сланцевой толщей флишоидного типа. Более древние отложения (верхний тоар) обнажаются лишь в ядрах антиклинальных структур.

Границами выделяемых тектонических зон и подзон служат крупные флексурные изгибы юрских толщ и разломы, амплитуды которых достигают нескольких километров. Они отражают в осадочном чехле различные по величине ступени в фундаменте, возникшие в результате дифференцированных движений его блоков, ограниченных межзональными и внутризональными разломами.

Детальные исследования, проведенные нами, показали, что вышеотмеченные тектонические зоны имеют сложное внутреннее строение, что обусловлено образованием их структуры в результате неоднократной разноплановой деформации слагающих их толщ.

Мощная (более 10 км) нижне-среднеюрская песчано-глинистая толща в каждой тектонической зоне и подзоне дислоцирована по-разному. Сравнительно простые складчатые формы, распространенные в пределах

северного крыла мегантиклиниория к югу сменяются сильно скатыми складками разного размера и порядка, развитыми в осевой части антиклиниория Главного хребта и в Казбекско-Лагодехской зоне.

В пределах изученного района широко развит кливаж осевой плоскости. Складчатые структуры различной морфологии и всех порядков расчленены частыми параллельными плоскостями кливажа. Согласно им, в большинстве случаев залегают дайки диабазов, развитые в основном в плинсбах-нижнотаарских отложениях.

Складчатая структура изученного района осложнена многочисленными, разнообразными по направлению, морфологии и возрасту разрывными нарушениями, сопровождаемыми зонами сильного дробления и смятия пород.

Характерной особенностью исследованной территории является "антекавказская" (азимут 240–255°) ориентировка складчатости и большинства разрывных нарушений. Структура мегантиклиниория Большого Кавказа здесь резко меняет обычное общекавказское направление на юго-западное, а затем вновь приобретает северо-западное простижение. В результате она образует в плане четкий поперечный флексурообразный изгиб.

Изменение основного северо-западного (азимут 290–310°) простириания структуры происходит восточнее изученной площади, на меридиане р. Иори, где направление складчатости уже близширотное (азимут 260–265°), а к западу от долин рр. Асса и Хевсуретской Арагви структура приобретает юго-западную (азимут 240–255°) ориентировку. Такое простириание прослеживается далеко на запад, за пределы исследованного района, до меридиана р. Шондон. Здесь структура опять резко меняет свое направление и приобретает свойственное ей северо-западное (азимут 290–310°) простириание. Ширина полосы с "антекавказским" направлением складчатых структур достигает 16 км. В соответствии с изменением простириания складок меняют свое направление кливаж и продольные соскладчатые разрывы.

Изученная территория расположена в пределах полосы вышеотмеченного горизонтального изгиба складчатой системы. Этим и вызвана присущая ей "антекавказская" ориентировка структур.

Изгибание складчатой структуры, по нашим данным, обусловлено наличием в фундаменте мегантиклиниория поперечного Асса-Арагвинского разлома, проходящего по долинам рр. Асса и Хевсуретской Арагви. Это нарушение представляет собой крупный левосторонний сдвиг (Гиоргобiani, Закарай, 1982; Гиоргобiani, Топчишвили, Закарай, 1983).

Далее приводится детальная характеристика складчатой структуры, кливажа и разрывных нарушений изученного района.

Складчатая структура

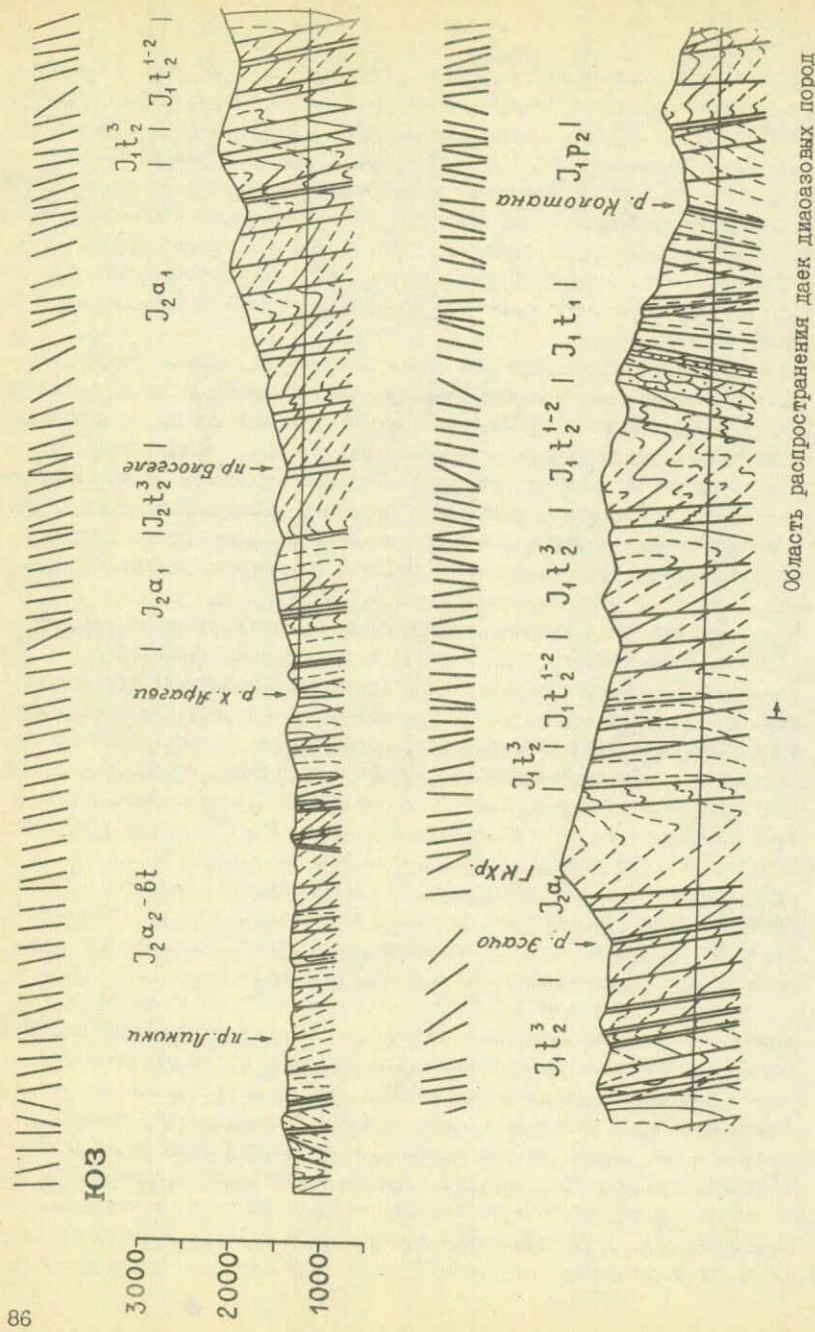
Как уже отмечалось, крайнюю северную часть изученной территории занимает подзона Известнякового Дагестана. Она сложена среднеюрскими (байос) и верхнеюрскими (келловей-титон) глинистыми и карбонатными отложениями. Границей подзоны с Агвалинской наклонной ступенью является крутая флексура, расположенная около развалин с. Торгим, сложенная среднеюрскими (аален-байос) песчано-аргиллитовыми породами. Вблизи границы, по правому притоку р. Ассы, проходит крутопадающий (85°) на юг взброс. Подзона Известнякового Дагестана представляет собой моноклиналь, которая полого, под углом 30° наклонена на север (рис. 20).

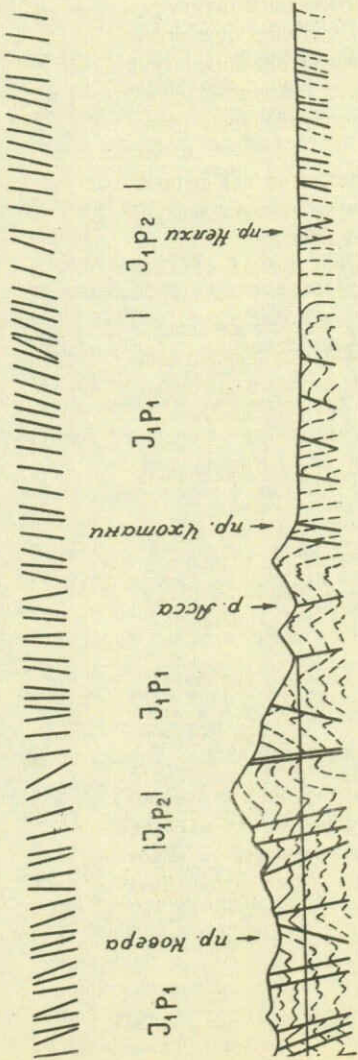
Подзона Агвалинской наклонной складчатой ступени сложена песчано-глинистыми отложениями тоара, аалена и байоса. Она прослеживается от границы подзоны Известнякового Дагестана на юг до края антиклинария Главного хребта, на расстоянии 5,4 км, Агвалинская ступень характеризуется ярко выраженным флексурным строением. Здесь выделяются две крупные флексуры первого порядка — Северная и Южная, которые сопрягаются между собой в 550 м южнее р. Сарту. Эти структуры, в свою очередь, осложнены более мелкими флексурами различных размеров.

В конце Агвалинской ступени на протяжении 1 км от ее границы с подзоной Известнякового Дагестана пласти падают на север под углом $65-85^{\circ}$. В крутопадающих слоях отмечается небольшой флексурный перегиб, амплитуда которого достигает 50 м. Пологое крыло его под углом 20° наклонено на север и прослеживается на расстоянии 150 м. Далее на юг, на протяжении 1,8 км, обнажено нижнее крыло Северной флексуры. Оно падает на север под различными углами. Вначале, на расстоянии 0,8 км слои наклонены под углом $40-50^{\circ}$, затем к югу на протяжении 1 км углы падения пластов уменьшаются до 30° .

Далее на юг на расстоянии 500 м наблюдается смыкающее крыло Северной флексуры, которое залегает вертикально или наклонено на север под углом $80-85^{\circ}$. Затем происходит резкий перегиб структуры, за которым на расстоянии 250 м обнажено нижнее крыло Южной флексуры, которое под углом $5-10^{\circ}$ падает на север. В южной части оно осложнено небольшим флексурным перегибом, амплитуда которого достигает 40 м. Этим пологим крылом сопряжены Южная и Северная флексуры.

Еще южнее, на протяжении 400 м, наблюдается смыкающее крыло Южной флексуры, залегающее вертикально или падающее на север под углом $80-85^{\circ}$. Затем на расстоянии 1,4 км до северного края горст-антеклиниория обнажено верхнее пологое крыло Южной флексуры, имеющее в разрезе волнистое очертание. Ширина волн различна и колеблется в пределах 100-600 м, амплитуды достигают 50 м. Крылья структур падают на юг и на север под углом $10-20^{\circ}$, редко 45° . В северной части





южность распространения даек диаэзовых пород

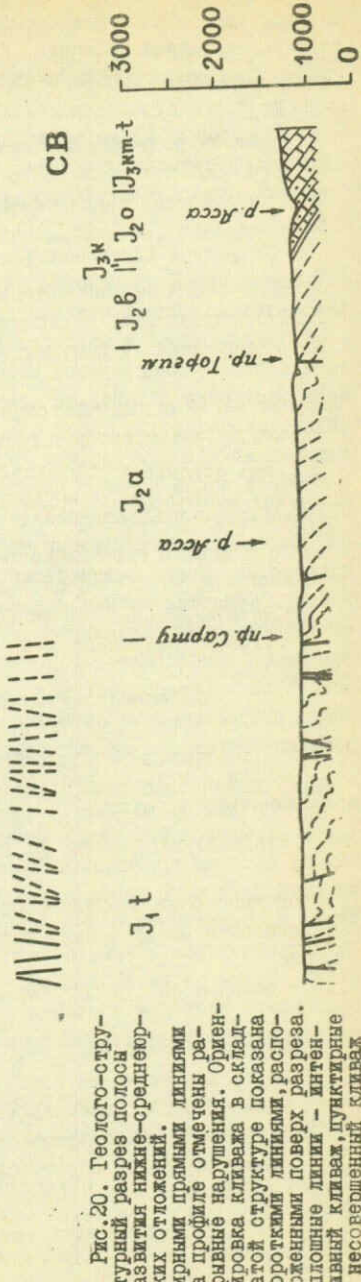


Рис. 20. Геолого-структурный разрез полосы развития нижне-среднегорских отложений. Жирными прямыми линиями на профиле отмечены разрывные нарушения. Ориентировочная кливаж в складчатой структуре показана короткими линиями, расположенные поверх разреза. Сплошной линии — интесивный кливаж, пунктирные — несовершенный кливаж.

пологое крыло Южной флексуры осложнено каскадом мелких сопряженных флексур различной величины. Длина их пологих крыльев составляет 30–200 м. Смыкающие крылья падают на север под углом 70–85°. Амплитуды флексур колеблются в пределах 20–50 м.

Как видно из вышесказанного, в пределах Агвалинской наклонной складчатой ступени отчетливо выделяются две крупные ступени второго порядка. Северная ступень опущена относительно Южной примерно на 700 м.

Структура Агвалинской ступени осложнена многочисленными разнообразно ориентированными разрывными нарушениями. В зонах крупных разломов или вблизи них иногда развиты мелкие приразрывные складки.

Далее на юг в пределах верхнего пологое крыла Южной флексуры наблюдается резкий кругой изгиб слоев, и Агвалинская наклонная ступень переходит в северное крыло антиклиниория Главного хребта. Последнее представляет собой моноклиналь, сложенную песчано-глинистыми сланцевыми толщами верхнего плинебаха и тоара. Граница антиклиниория с внешней зоной Горного Дагестана проходит в 2 км южнее развалин с. Пуй. Северное крыло антиклиниория прослеживается на расстоянии 6,3 км. Вначале, на протяжении 600 м, слои залегают круто (80–85°) и наклонены на север. Затем северные залегания пластов, через вертикальные, сменяются южными падениями слоев, и на расстоянии 2,9 км крыло антиклиниория опрокинуто на север. В пределах этого интервала наблюдается однообразное моноклинальное падение пластов на юг под углом 70–85°. Опрокинутое залегание слоев четко устанавливается с помощью гиероглифов на поверхностях напластования и характером соотношения кливажа со слоистостью.

Далее к югу, на расстоянии 650 м, вновь отмечается участок моноклинального кругого (80–85°) падения пластов на север, за которым наблюдается небольшой флексурный изгиб слоев шириной 30 м. К югу от него на протяжении 700 м отмечается самый крупный флексурный перегиб северного крыла антиклиниория, осложненный небольшой антиклиналью и сопряженной с ней синклиналью. Пологие крылья этих структур падают под углом 20–30, а северное кругое крыло – под углом 80° на север. Затем снова наблюдается флексурный изгиб слоев. Ширина пологое крыла флексуры составляет 160 м, угол падения – 10° на север. Смыкающееся с синклиналью кругое крыло наклонено на север под углом 80°.

Далее на юг, на расстоянии 760 м, опять отмечается кругое падение пластов на север под углом 80–85°. Затем моноклинальное падение слоев снова осложнено небольшим флексурным изгибом шириной 30 м. Пологое крыло флексуры наклонено на юг под углом 20°, а смыкающее крыло круто (80°) падает на север. Еще южнее, на протяжении 760 м, до р. Бисна вновь наблюдается участок моноклинального кругого (80–85°) падения пластов на север, за которым расположена осевая зона

Как видно из вышеотмеченного, северное крыло антиклиниория Главного хребта в изученном районе представляет собой широкую моноклиналь, осложненную в южной части несколькими флексурными перегибами. Моноклинальная структура разорвана многочисленными продольными нарушениями в основном взбросового характера и реже сбросового.

Осевая зона антиклиниория Главного хребта, сложенная песчано-глинистыми сланцеватыми отложениями нижнего плинсбаха в пределах изученного района, дислоцирована наиболее интенсивно. Эта зона сложена сильно сжатыми линейно вытянутыми складками с узкими замками и крутыми крыльями. Одной из характерных черт осевой зоны является многопорядковость ее складчатой структуры. Здесь выделяются линейные складки трех порядков. Ширина пликативных структур первого порядка составляет 0,6–2,1 км. Эти структуры осложнены сходными по морфологии складками второго порядка, размер которых достигает 80–250 м. Они, в свою очередь, состоят из складок третьего порядка, устанавливаемых непосредственно в пределах обнажений. Ширина их колеблется в южных пределах – от первых метров до 30–50 м.

К югу от р. Бисна, на расстоянии 1,8 км, развиты симметричные или чуть наклоненные к северу складки. Осевые плоскости их залегают вертикально или круто падают на юг (85°). Крылья складок наклонены под углом 50 – 75° . Южнее, на протяжении 4,7 км, до южного крыла антиклиниория отмечаются асимметричные наклоненные на юг складки. Осевые плоскости их круто (75 – 80°) падают на север. Крутье крылья складок наклонены под углом 60 – 80° , а пологие – 30 – 50° .

Таким образом, в пределах вышеописанной северной части района развития нижне-среднегюрских песчано-сланцевых отложений выделяются три крупные ступени. Из них антиклиниорий Главного хребта является самой приподнятой, а подзона Известнякового Дагестана – самой опущенной ступенью.

Далее на юг обнажено южное крыло антиклиниория Главного хребта,ложенное песчано-глинистыми сланцевыми толщами верхнего плинсбаха тоара. Оно в пределах описываемого пересечения дислоцировано по-разному. Вначале, на расстоянии 2,9 км в отложениях верхнего плинсбаха и нижнего тоара наблюдается моноклинальное крутое (65 – 85°) падение слоев на юг, а в одном тектоническом блоке – на север под углом 80° . Затем, на протяжении 4,2 км, южное крыло антиклиниория, сложенное песчано-глинистыми сланцевыми толщами верхнего тоара, характеризуется складчатым строением. Вначале этого интервала, на протяжении 1,3 км, в отложениях нижнего и среднего горизонтов верхнего тоара развиты тесно сжатые складки шириной 250–500 м. Они имеют острые замки и крутые крылья. Складки асимметричны, осевые плоскости их круто (70°) наклонены на север. Пологие крылья складок падают на север под углом 40–50°, крутые – 70 – 85° на юг.

Расположенные южнее песчано-сланцевые отложения верхней части

верхнего тоара смяты в сильно сжатые, близкие к изоклинальным, складки, наклоненные или опрокинутые на юг. Осевые плоскости их падают на север под углом 70–75°. Ширина складок составляет 700–1600 м. Крутые крылья их падают под углом 80–85° на север, редко на юг, пологие – 60° на север.

В пределах осевой зоны антиклинария Главного хребта и его южного крыла замки и крылья складок, как правило, осложнены многочисленными продольными разрывными нарушениями. В результате этого общий рисунок структуры здесь представляет ряд линейно вытянутых супараллельных пакетов складок.

Далее к югу, на протяжении 18 км, до Местии-Тианетской зоны развиты структуры Казбегско-Лагодехской зоны складчатой системы Южного склона, сложенные отложениями верхнего тоара-бата. Здесь благодаря наличию системы диагональных разрывов, вызывающих частую смену простирания осей складок, структура в плане имеет линейно-мозаичный характер.

В пределах перевальной части Главного хребта обнажается антиклиналь, сложенная глинистыми сланцами аалена, ось которой проходит в нескольких сотнях метров севернее водораздельной линии. Складка сильно сжата и опрокинута на юг. Осевая плоскость круто (75°) наклонена на север. Оба крыла падают на север, крутое под углом 80–85°, пологое – 45–55°. Ширина складки около 4 км.

Южнее расположена антиклиналь, в ядре которой выходят самые древние отложения, развитые на южном склоне хребта, – нижние и средние горизонты верхнего тоара, а на крыльях обнажена песчано-глинистая сланцевая толща верхов верхнего тоара. Имея ширину не более 2 км, антиклиналь характеризуется сложным строением. Как ядро, так и крылья этой структуры осложнены линейными складками второго порядка, ширина которых достигает 200–400 м. Складки наклонены или опрокинуты на юг, крутые крылья падают под углом 70–85°, пологие – 40–60°. Осевые плоскости складок наклонены на север под углом 70–80°.

Далее на юг расположена самая крупная в изученном районе антиклиналь, сложенная глинистыми сланцами аалена, ширина которой составляет 4,5 км. Это асимметричная, опрокинутая на юг складка, осевая плоскость которой наклонена на север под углом 70°. Оба крыла этой структуры падают на север, пологое – под углом 30–40°, крутое – 85°. Пологое, более длинное крыло этой складки в своей средней части осложнено флексурным перегибом, где падение слоев субвертикальное (85°) на юг. Ширина кругопоставленного крыла достигает 300 м.

Южнее вышеописанной структуры расположена антиклиналь, в ядре которой обнажается песчано-сланцевая толща верхов верхнего тоара. Складка асимметрична и опрокинута на юг. Осевая плоскость круто (80°) наклонена на север. Падение обоих крыльев северное – крутое 80–85°, пологое – 30–40°. Ширина складки достигает 1 км.

Ааленские глинистые сланцы, обнажающиеся южнее, слагают синклиналь и сопряженную с ней антиклиналь. Складки почти одинаковой ширины — около 900 м. Они опрокинуты на юг, крутые крылья наклонены под углом 80–85° на север, а пологие (45–55°) — на юг. Осевые плоскости их падают на север под углом 65–70°.

Далее на юг, на протяжении 7,8 км, до южной границы распространения нижне–среднеюрских образований развиты отложения верхнего аалена–бата, представленные переслаиванием песчаников и глинистых сланцев флишоидного типа. Они смяты в серию сильно сжатых линейно вытянутых складок, наклоненных или опрокинутых на юг. Их осевые плоскости падают на север под углом 65–80°. Крутые крылья под углом 80–85° падают на север или юг, пологие (45–55, редко 70°) — на юг. Ширина складок колеблется в больших пределах — от 300 до 1700 м. Замки и крылья складок, как правило, разорваны многочисленными разрывными нарушениями с приподнятыми в большинстве случаев северными крыльями.

Кливах

В изученном районе кливах распространен регионально и развит в пределах южной части Агвалинской наклонной складчатой ступени антиклиниория Главного хребта и в Казбегско–Лагодехской зоне. В этих тектонических зонах кливах полностью захватывает нижне–среднеюрские глинистые отложения, в результате чего они превращены в аспидные и глинистые сланцы. В связи с различным характером дислоцированности толщ в указанных структурах различна и степень интенсивности кливажа. В северной части Агвалинской ступени и подзоне Известнякового Дагестана секущий кливах не проявлен.

Простижение кливажа в общем совпадает с направлением складчатых структур. Несоответствие обычно не превышает 5–20, редко достигает 30–50°. Падения плоскостей кливажа, как правило, крутые — до 90°. Однако углы наклона кливажа, а также направления его падения не являются постоянными по всей структуре и меняются в пределах 65–85, редко 50–60° на север или юг.

Для кливажа здесь характерно избирательное (селективное) развитие. Кливах наблюдается в аргиллитах, алевролитах и тонкозернистых песчаниках, а в более грубозернистых разновидностях последних он вообще не проявлен. Поверхности кливажа, секущие аргиллиты, подходят к слою песчаника, как бы упираются в него и не проходят через песчаник, а в следующем слое аргиллита вновь проявлены с такой же интенсивностью и в том же направлении. Селективность кливажа не зависит от мощности переслаивающихся пластов. Независимо от мощности песчаника и аргиллита и от соотношения этих мощностей в разрезе, в песчанике кливах никогда не проявлен, а в аргиллитах выражен всегда хорошо.

В толщах, представленных частым переслаиванием аргиллитов, алевролитов и тонкослоистых песчаников малой (3–15 см) мощности, иногда наблюдается преломление (рефракция) кливажных плоскостей между слоями. В пластах различного литологического состава меняется угол между поверхностями кливажа и слоистости. В аргиллитах этот угол меньше и достигает 30° , а в тонкозернистых песчаниках больше, до 65° . Разница между углами падения плоскостей кливажа составляет $10\text{--}50^{\circ}$. В связи с этим след преломленных плоскостей кливажа представляет собой ломаную линию.

Наиболее четко кливаж развит в аргиллитах и алевролитах. В них поверхности кливажа обычно прямолинейны, почти параллельны друг другу и располагаются очень часто (через 1–5 мм). В тонкослоистых песчаниках плоскости кливажа также сравнительно прямолинейны, но расположены реже – через 5–10 мм. Интенсивный кливаж нередко сильно затушевывает слоистость, особенно в однообразных глинистых толщах, что иногда крайне затрудняет выявление складчатых форм.

Характер расположения кливажа в складчатой системе определяется морфологическими особенностями складок. В сильно сжатых складках развит кливаж, параллельный осевой плоскости. Для среднесжатых складок характерно веерообразное расположение кливажа относительно осевых плоскостей. На крутом крыле складки поверхности кливажа залегают более круто, чем на пологом. Разница в их углах падения, как правило, составляет $5\text{--}25^{\circ}$. В результате плоскости кливажа сходятся над антиклиналями и под синклиналями или, наоборот, под антиклиналями и над синклиналями, т.е. образуют, соответственно, прямой или обратный веер. В наиболее распространенных в изученном районе наклонных и опрокинутых складках этого типа веера кливажных поверхностей также асимметричны и наклонены в ту же сторону, что и осевые плоскости складок.

Наиболее интенсивно кливаж проявлен в пределах антиклиниория Главного хребта. В его осевой зоне развит кливаж, параллельный осевым плоскостям складок. Поверхности его залегают вертикально или падают на север или юг под углом $70\text{--}85^{\circ}$. В южном крыле антиклиниория, который представляет собой в общем крутонаклоненную на юг моноклиналь, кливаж в основном тоже падает на юг под углом $70\text{--}85^{\circ}$. Плоскости кливажа рассекают слои под очень острым углом – $5\text{--}15^{\circ}$. В пределах складчатой части южного крыла антиклиниория развит кливаж, параллельный осевым плоскостям складок, редко встречается прямой веерообразный кливаж. Кажнее, в песчано-глинистой толще тоара наблюдается прямой веерообразный кливаж. В глинистых и песчано-глинистых отложениях Казбегско-Лагодехской зоны кливажные поверхности, в основном, образуют веерообразный кливаж и кливаж, параллельный осевым плоскостям складок. Соотношение кливажа со складками в изученном районе особенно четко наблюдается в флишоидных толщах верхнего аалена–бата.

В северном нормальном крыле антиклиниория Главного хребта кливаж под острым углом рассекает моноклинально крутопадающие на север пласти, но наклонены в противоположную сторону — на юг. Углы падения плоскостей кливажа составляют 70–80°. В пределах самого крупного флексурного изгиба северного крыла антиклиниория наблюдается веерообразное расположение поверхностей кливажа относительно осей перегибов. На пологом крыле флексуры плоскости кливажа залегают под углом 65–70°, а на смыкающихся — более круто — 75–80°. В результате поверхности кливажа сходятся над антиклинальными и под синклинальными перегибами, т.е. образуют прямой веер. В небольших флексурных изгибах веерообразное расположение плоскостей кливажа не отмечается.

В опрокинутом северном крыле антиклиниория, представляющем собой крутопадающую на юг моноклиналь, плоскости кливажа тоже наклонены на юг под углом 70–80°. Кливажные поверхности занимают секущее положение по отношению к пластам. Угол между ними очень острый и достигает 5, редко 10°. При этом слои всегда падают круче, чем кливаж, что указывает на опрокинутое залегание пластов. Иногда в вертикальном срезе обнажений наблюдается параллельное расположение поверхностей кливажа и слоистости. В этом случае, как правило, отмечается различие в их простирации.

Толщи, охваченные кливажем в пределах Казбейско-Лагодехской зоны антиклиниория Главного хребта, характеризуются повышенной степенью динамометаморфизма пород. Как отмечалось выше, все глинистые отложения здесь превращены в разнообразные по составу сланцы.

В пределах Южной флексуры Агвалинской ступени падения плоскостей кливажа не меняются. Они также наклонены на юг под углом 70–85°. Но в этой структуре кливаж становится несовершенным, менее четким. Расстояние между поверхностями кливажа в аргиллитах увеличивается до 5–10 мм. Сами поверхности неровные и не отличаются прямолинейностью. Они не строго параллельны и состоят из коротких и криволинейных отрезков, сочленяющихся между собой под очень острым углом. В результате этого вся порода оказывается разбитой на длинные, узкие, остроугольные и клинообразные пластины различной величины. В отличие от зоны горст-антиклиниория, в пределах этой флексуры не встречаются сланцы, возникшие путем динамометаморфических преобразований глинистых отложений. Идентичные осадки здесь представлены слабоизмененными аргиллитами и алевролитами.

Редко в пределах Южной флексуры встречается и совершенный кливаж. Он развит локально в мелких, сильно сжатых складках, расположенных в зонах разломов или близи них.

Еще меньшей степенью метаморфизма отличаются глинистые отложения в пределах северной части Агвалинской ступени и подзоны Известнякового Дагестана, где секущий кливаж не проявлен.

Как отмечалось выше, кливаж при стабильном кругом залегании

в изученном районе не имеет постоянных углов и направлений падения. Рассмотрим характер распределения кливажа в поперечном разрезе ниже-среднеюрских отложений с севера на юг (см. рис. 20).

В пределах Южной флексуры Агвалинской ступени и северного крыла антиклиниория Главного хребта, а также в осевой его зоне на протяжении 500 м плоскости кливажа падают на юг под углом $70-85^\circ$, редко $60-65^\circ$. Далее, на расстоянии 1,8 км, кливаж залегает субвертикально (85°) и наклонен на север или юг. Ниже, на протяжении 4 км, в осевой зоне антиклиниория кливажные поверхности падают на север под углом $70-80^\circ$.

Далее на юг, в пределах южного крыла антиклиниория, на протяжении 4 км наблюдаются крутые (80 , редко $65-75^\circ$) падения кливажа. В Казбекско-Лагодехской зоне кливаж имеет одностороннее, северное падение под углом $70-85^\circ$, редко отмечается крутые ($80-85^\circ$) южные падения.

Таким образом, в пределах исследованной территории выделяются три зоны, отличающиеся разными направлениями падения плоскостей кливажа. На севере района, в южной части Агвалинской ступени и в северном крыле антиклиниория Главного хребта наблюдаются южные падения кливажа. В центральной части изученной территории, в осевой зоне и южном крыле антиклиниория кливажные поверхности залегают субвертикально. Здесь отмечается чередование северных и южных крутых падений кливажа. На юге района, в пределах Казбекско-Лагодехской зоны Южного склона Большого Кавказа преобладают северные падения плоскостей кливажа. Следовательно, в поперечном сечении мегантиклиниория Восточного Кавказа в общем наблюдается симметричное веерообразное расположение поверхностей кливажа.

Разрывные нарушения

Разрывные нарушения в пределах изученного района весьма многочисленные и играют существенную роль в его тектоническом строении. Они довольно разнообразны по ориентировке, морфологии, возрасту и генезису. По расположению относительно складчатых структур разрывы отчетливо разделяются на продольные, диагональные и поперечные (Гиграбиани, Топчишвили, Закарая, 1983).

Продольные разрывы в основном представляют собой соскладчатые нарушения, тесно связанные с формированием складчатых структур. Поэтому их простирания почти полностью совпадают с направлением осей складок. По характеру движений продольные разрывы в основном являются взбросами, реже — сбросами или взбросо-сдвигами, падающими под углом $70-85^\circ$ на север, редко — на юг. Они обычно осложняют крылья складок, но иногда встречаются и в замковых частях структур. Амплитуды смещений по разрывам колеблются в широких

пределах — от первых десятков до нескольких сотен метров. Эти нарушения обычно сопровождаются зонами повышенной дислокированности пород. Мощность зон развития мелких разрывов колеблется в пределах I—I м, а более крупные — 3—5 м. В зонах нарушения породы интенсивно брекчированы, перемяты и перетерты. В них наблюдаются многочисленные зеркала скольжения, прожилки и жилы кварца мощностью 0,5—30 см, редко до 1 м. Иногда эти разрывы сопровождаются единичными мелкими (размером 0,1—1 м) и более крупными (ширина 3—10 м) приразрывными складками. Наиболее напряженные дислокации наблюдаются в участках сближения продольных разрывов. В этих зонах или вблизи них, помимо вышеотмеченных деформаций пород, развивается сжатая приразрывная складчатость. Размер складок составляет 5—30, изредка до 100 м.

Диагональные разрывы являются постскладчатыми нарушениями, деформирующими как складчатые структуры, так и сильно связанные с ними продольные разрывы. В плане эти нарушения обычно прямолинейны и характеризуются различной протяженностью. Мелкие разрывы в пределах изученной территории прослеживаются на расстоянии 0,5—1,5 км, а крупные — до 2—2,5 км. Эти нарушения представляют собой сдвиги и взбросы или сбросо-сдвиги, с крутыми (70 — 85°) зданиями сместителей на север или юг. Горизонтальные амплитуды смещений составляют 20—150, редко 200—500 м. Вертикальные амплитуды колеблются от 30 до 100 м, редко достигая 500 м.

По своей ориентировке выделяются две группы диагональных нарушений — северо-западного (азимут 290 — 325°) и северо-восточного (азимут 20 — 70°) направления. Разрывы северо-западного простирания большей частью представляют собой правые, редко левые сдвиги и взбросы или сбросо-сдвиги. Нарушения северо-восточной ориентировки являются основном левыми, реже правыми сдвигами и взбросо или сбросо-сдвигами.

Зоны разрывов, как правило, представлены сильно перемятыми и раздробленными породами с частыми зеркалами скольжения и жилами кварца мощностью 5—20 см. Ширина зон колеблется в пределах 0,5—5, редко до 5 м. В зонах нарушений иногда развиты мелкие (размером 0,3—6 м) приразрывные складки.

С движениями по диагональным разрывам связано возникновение наблюдавшихся в изученном районе, а особенно часто в Казбекско-Лагодесской зоне, крутошарнирных горизонтальных складок, имеющих в плане угообразную и флексураобразную форму.

В случае сближения диагональных разрывов возникают широкие зоны разломов, мощностью 20—100 м. Зоны разломов состоят из большого количества субпараллельных разрывов, которые сопровождаются сильно жатой приразрывной складчатостью. Ширина складок 5—15 м. Они линейно вытянуты вдоль ограничивающих разломов и косо накладываются на же сформированный план складчатых структур. Одна такая зона, имею-

шая северо-западное простирание, выявлена нами в долине р.Ассы в южной части Агвалинской ступени (рис.21). В пределах изученной территории она начинается в 200 м выше р.Сарту и протягивается на юго-восток вдоль ущелья на расстоянии 2,3 км. Существование разлома на этом отрезке долины р.Ассы устанавливается различием морфологии складчатых структур по бортам ущелья, смещением одних и тех же продольных разрывов относительно друг друга, несовпадением выходов идентичных литологических пачек тоарских отложений по бортам ущелья и наличием по обоим бортам субпараллельных круто (80°) наклоненных на юго-запад разрывов северо-западного простирания, которые, по-видимому, ограничивают довольно широкую (70–100 м) тектоническую зону. Нашиими исследованиями установлено, что левый борт долины, по сравнению с правым, опущен примерно на 120 м. Кроме того, отмечается горизонтальное перемещение к югу правого борта ущелья относительно левого на 30–50 м. Следовательно, вышеописанный разлом представляет собой крутой (80°), наклоненный на юго-запад правый сбросо-сдвиг.

Возрастные взаимоотношения диагональных разрывов не всегда ясны. В рассматриваемом районе разрывы северо-восточного направления смещают северо-западные, однако за пределами изученной площади встречаются противоположные взаимоотношения. По-видимому, эти разрывные нарушения возникли почти одновременно, под действием субмеридионально ориентированных сжимающих усилий.

Следует отметить, что на исследованной территории наблюдается определенная закономерность в расположении продольных и диагональных нарушений. В отложениях плинсбах-тоара, развитых в пределах Агвалинской ступени и антиклиниория Главного хребта, главным образом развиты продольные разрывы, тогда как в толщах аалена-бата Казбегско-Лагодехской зоны резко преобладают диагональные нарушения. Это, видимо, обусловлено различным характером деформаций в процессе регионального сжатия более пластичных глинистых пород плинсбаха-тоара и относительно хрупких песчано-сланцевых и флишоидных толщ аален-батского возраста.

Поперечные разрывы широко распространены как в изученном районе, так и за его пределами (Гиоргбиани, Закарая, 1982). Это – постскладчатые субмеридиональные (азимут $355-15^{\circ}$) крутопадающие нарушения, резко секущие складчатые структуры. Подавляющее большинство этих разрывов находит отражение в расположении гидрографической сети района. Им, очевидно, соответствуют почти прямолинейные субмеридиональные отрезки долин рек Асса и Хевсуретской Арагви и их притоков. В плане эти нарушения почти параллельны друг другу и расположены кулисообразно. Протяженность их колеблется от 0,5 до 2,5 км, редко до 4 км. Расстояние между разломами варьирует в пределах 0,2–3 км, иногда достигает 4,5 км. Ширина зоны развития поперечных разрывов не превышает 8 км. По своей природе эти раз-

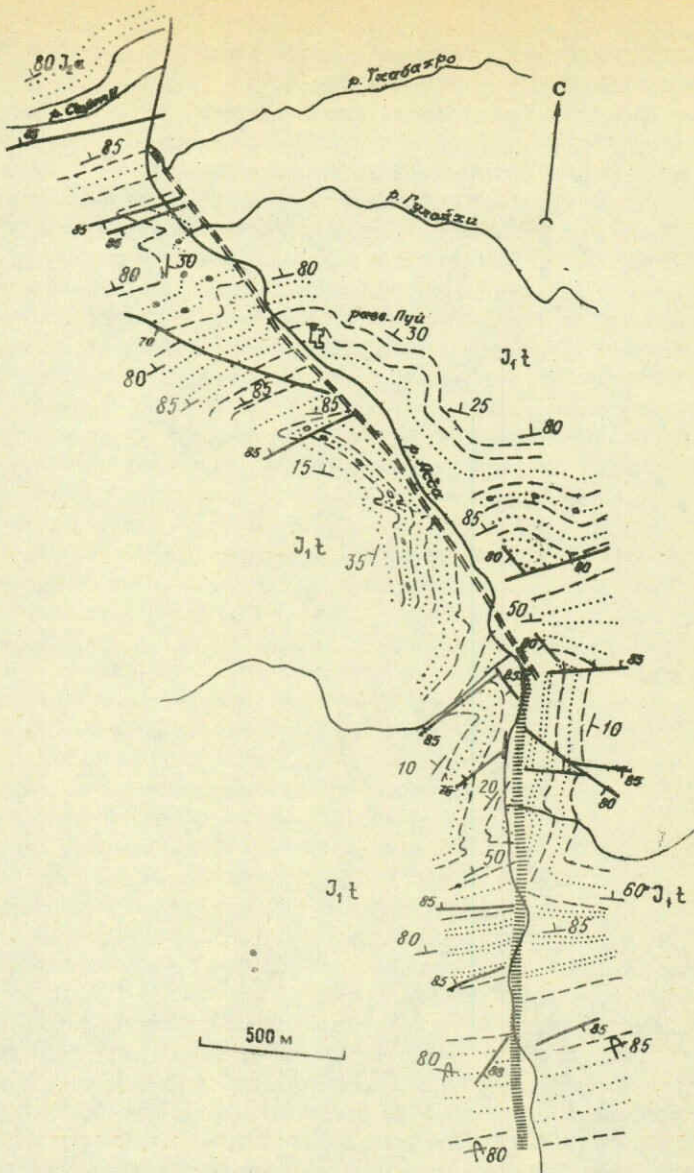


Рис.21. Геологическая карта южной части Агвалинской ступени.

Точкиами и кружочками обозначены пачки разного литологического состава в толарских отложениях. Жирными линиями обозначены мелкие разрывные нарушения. Короткая горизонтальная штриховка - попечерный разлом, двойные пунктирные линии - диагональный разлом

ры, судя по изгибам деформированных ими складчатых структур, являются большей частью левыми сдвигами, возможно, взбросо или сбросо-сдвигами с горизонтальными амплитудами смещений в 150–700 м. Сдвиговые перемещения по поперечным нарушениям устанавливаются на разных отрезках рр. Ассы и Хевсуретской Арагви. Они фиксируются по смещениям русел мелких притоков и временных водотоков, совпадающим с продольными или диагональными разрывами, относительно друг друга. Аналогичные движения устанавливаются также по смещениям диабазовых даек, развитых в плинсбахских отложениях, или же несовпадением частей складчатых структур по разным бортам рек, наблюдаемых на некоторых участках. Перемещения по разрывам имеют большей частью левосторонний, редко правосторонний характер. Амплитуды смещения, где удалось их установить, составляют 20–70 м.

Наши исследованиями вдоль долин рр. Ассы и Хевсуретской Арагви установлены четыре поперечных разрыва. Три из них расположены в северной части изученного района в пределах подзоны Известниково-го Дагестана, а также в Северной и Южной флексурах Агвалинской ступени (рис. 22). Им соответствуют почти прямолинейные субмеридиональные отрезки ущелья р. Ассы. В плане эти нарушения почти параллельны друг другу и расположены кулисообразно. Протяженность их колеблется от 1,3 до 2 км. Расстояние между разломами 400–600 м. Ширина зоны развития поперечных разрывов достигает 1 км. Наличие поперечного разлома в подзоне Известнякового Дагестана четко устанавливается несовпадением границ фаунистически охарактеризованных ааленских и батских отложений на левом и правом бортах долины р. Ассы. На правом борту ущелья, по сравнению с левым, границы смешены на юг на 500 м. Кроме того, выяснено, что правый борт долины опущен относительно левого примерно на 300 м. Аналогичные движения, по-видимому, отмечаются по расположенному южнее разлому. Как показывают графические построения, наблюдаемое горизонтальное смещение границ толщ ааленских и батских ярусов обусловлено опусканием правого борта ущелья по поперечным разломам. Следовательно, эти разрывные нарушения представляют собой сбросы или взбросы.

Существование разлома в пределах Южной флексуры Агвалинской ступени подтверждается смещением оси синклинальной структуры на правом борту долины р. Ассы на юг, на расстоянии 80–100 м, горизонтальным перемещением одних и тех же продольных разрывов относительно друг друга по разным бортам ущелья с амплитудой до 120 м и наличием на левом борту ущелья разрыва меридионального (360°) простирания слоев. Разлом залегает вертикально и сопровождается зоной смятия и дробления пород шириной 3 м. В зоне нарушения расположена кварцевая жила толщиной 1 м. На поверхности сместителя наблюдаются борозды скольжения, падающие полого (20 – 25°) на юг. Установлено также, что левый борт ущелья опущен относительно правого на 60–120 м. Следова-

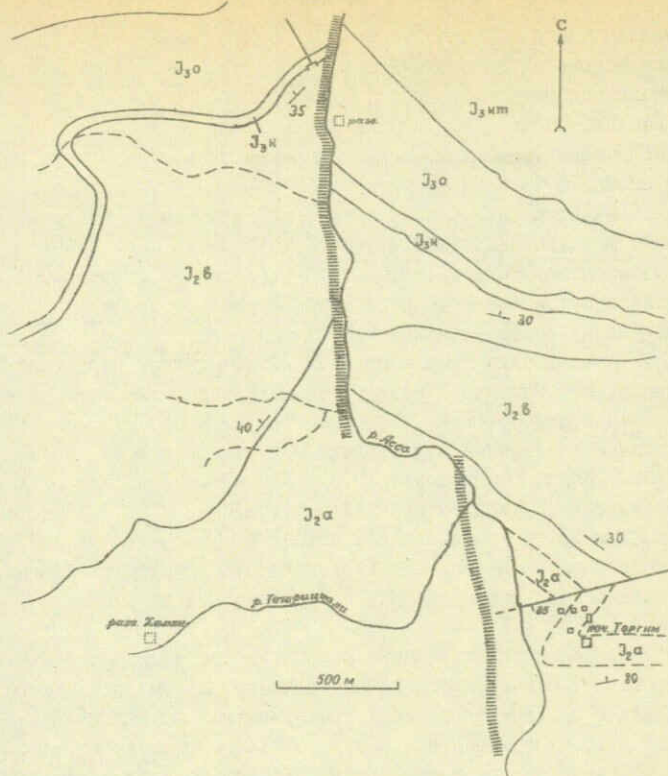


Рис.22. Схема геологического строения подзоны
Известнякового Дагестана.
Короткая горизонтальная штриховка – поперечные
разломы

тельно, вышеописанный поперечный разлом представляет собой правый сбросо- или взбросо-сдвиг с горизонтальным перемещением 60–80 м. Продолжение этого разлома к югу нами не установлено.

Еще один поперечный разлом установлен нами в пределах Казбекско-Лагодехской зоны вдоль ущелья р.Хевсуретской Аратви. Здесь, южнее правого притока р.Кмости, на расстоянии 1,2 км по обоим бортам долины обнажены нижнеааленские глинистые сланцы. На правом борту ущелья на глинистых отложениях согласно залегает флишоидная толща верхнего аалена-бата. Этот контакт расположен на абсолютной высоте 2000 м. На противоположном борту долины, имеющем абсолютную отметку более 2500 м, развиты только глинистые сланцы нижнего аалена. Следовательно, можно допустить, что левый борт ущелья приподнят

относительно правого более чем на 500 м. Эти данные, по нашему мнению, дают основание предположить на этом отрезке р.Хевсуретской Арагви наличие поперечного разлома, представляющего собой крутопадающий взброс или сброс с амплитудой перемещения более 500 м.

Характерные морфологические особенности поперечных разрывов и большая ширина полосы их развития дают основание представить эти нарушения в качестве единой зоны нарушений, являющейся поверхностным отражением в осадочном чехле крупного глубинного меридионального разлома фундамента. Эта зона, по-видимому, должна соответствовать Асса-Арагвинскому линеаменту, пересекающему вкрест простирация складчатую структуру Восточного Кавказа.

Асса-Арагвинский линеамент, как дислокационное нарушение неясной природы, был выявлен в результате дешифрирования космических снимков Кавказского региона. Впервые его установил В.Д.Скарятин, затем наличие линеамента подтвердили М.Л.Копп и Л.М.Расцветаев (Скарятин, 1973; Копп, Расцветаев, 1976). Позже В.Г.Трифонов по долине р.Арагви выделил Барисахойский разлом (Трифонов, 1978). Недавно Р.И.Торозов и другие установили Тбилисский субмеридиональный линеамент, проходящий по р.Ассе и в верховьях р.Хевсуретской Арагви, а также Жинвальский, расположенный в среднем течении р.Арагви (Торозов и др., 1981).

Существование вдоль долины р.Ассы, в пределах развития нижне-среднеюрских отложений, крупного поперечного разлома фундамента предполагалось и при предшествующих геологических исследованиях (Птенничный и др., 1973; Коваленко и др., 1977). Было выявлено, что Асси-йский поперечный разлом фиксируется по некоторому относительному изменению мощностей нижнеюрских отложений в его западных и восточных блоках. На основании геофизических и структурных данных был установлен левосдвиговый характер смещений вдоль разлома и его сравнительно молодой (не древнее среднеальпийского) возраст. П.Д.Гамкрадзе и И.П.Гамкрадзе (1977) отметили наличие длительно развивающегося разлома вдоль р.Арагви, который ограничивал распространение к западу от этого ущелья фаций Алисисгорско-Чинчвельтского покрова. Геофизические исследования позволили М.С.Иоселиани и другим выделить разлом по долине р.Арагви в пределах Картлийской депрессии (Иоселиани и др., 1978). Н.В.Церцвадзе, в результате анализа распространения основных типов минеральных вод Большого Кавказа и линейного расположения источников вдоль ущелья р.Арагви, пришел к выводу о существовании по этой долине крупного разлома. По его мнению, это нарушение является своеобразным экраном, ограничивающим с востока область распространения углекислых и хлоридно-гидрокарбонатных вод (Церцвадзе, 1980).

Таким образом, существование Асса-Арагвинского разлома подтверждает результаты дешифрирования космических снимков, а также

геофизические, гидрологические и геологические данные. Однако, тектоническая природа линеамента в целом и в особенности его внутреннего строения до сих пор оставались невыясненными.

Детальные исследования, проведенные нами в рассматриваемом районе, а также изучение существующих геологических материалов, позволили установить характерные черты внутреннего строения зоны линеамента и выявить его тектоническую природу. В частности было установлено, что Асса-Арагвинский линеамент представляет собой крупный трансональный сдвиг в фундаменте мегантиклиниория Большого Кавказа. В осадочном чехле разлом выражен в виде зоны прямолинейных тестносближенных, субпараллельных, крутопадающих и кулисообразно расположенных разрывов различного масштаба, шириной около 8 км. Морфологически эти нарушения являются сдвигами, взбросо или сбросо-сдвигами, а также взбросами и сбросами. Асса-Арагвинский сдвиг разделяет фундамент мегантиклиниория на сегменты, из которых восточный относительно западного смещен к северу. На левосторонний характер перемещений по разлому указывает морфология регионального поперечного флексураобразного изгиба складчатой структуры мегантиклиниория в плане, особенно четко выраженного в пределах развития нижне-среднеюрских отложений. Амплитуда смещения, судя по ступени изгиба, достигает 5 км.

Аналогичные по характеру деформации складчатые структуры наблюдаются севернее, в низовьях р. Ассы, в районе сочленения Большого Кавказа с Терско-Каспийским краевым прогибом. Здесь отложения мела, палеогена и неогена (миоцен-понтический ярус нижнего плиоцена) образуют резкий коленообразный поперечный изгиб, в результате которого восточная часть структуры смещена относительно западной к северу более чем на 5 км.

На юге дугообразное изгижение складчатой структуры и продольных разрывов в плане четко выражено в неогеновых (миоцен-понтический ярус нижнего плиоцена) отложениях, развитых в нижнем течении р. Арагви, в пределах Куринского межгорного прогиба. Судя по изгибу, амплитуда перемещения по Асса-Арагвинскому разлому здесь превышает 4 км.

Таким образом, суммарная амплитуда Асса-Арагвинского сдвига составляет около 5 км, протяженность в пределах мегантиклиниория Восточного Кавказа достигает 100 км. Формирование этого нарушения, по-видимому, связано с альпийским позднеорогенным этапом развития области, что не исключает возможности его унаследованного развития от более древнего (раннекиммерийского) разлома. Как сдвиг с левосторонним смещением он стал развиваться, очевидно, лишь в период роданско-й или валахской фаз складчатости.

2.5. СТРУКТУРНЫЕ ОСОБЕННОСТИ НИЖНЕ- И СРЕДНЕЮРСКИХ ОТЛОЖЕНИЙ УЧЕЛЬЫ Р.АССЫ И ПРОБЛЕМА ВОЗРАСТА ДИАБАЗОВЫХ ДАЕК

Бассейн верхнего течения р.Ассы (выше Скалистого хребта) один из наиболее сложно построенных и своеобразных регионов Большого Кавказа. "Аномальность" его структуры во многом определяется Асса-Арагинским меридиональным разломом фундамента, проходящим вдоль ущельй одноименных рек и вызывающим резкий флексурообразный изгиб в плане и перестройку на "антикавказский" лад всех складчатых и разрывных нарушений чехла. Характерные черты строения зоны глубинного разлома были выявлены и описаны сравнительно недавно (Гиоргобиани, Закария, 1982; Гиоргобиани и др., 1983).

Детальные структурные исследования нижне- и средненюрских отложений данной области позволили установить ряд особенностей морфологии, поведения, условий проявления и пространственных взаимоотношений различных структурных форм. Ниже излагаются результаты этих исследований.

Складчатость и разрывы

Складчатость меридионального отрезка ущелья р.Ассы между Скалистым и Главным хребтами носит в целом веерообразный вергентный характер с осью веера, проходящей по широте в 2-х км южнее устья р.Бисны. Однако строение как северного, так и, особенно, южного крыльев веера далеко от строго симметричного. Северное крыло между скалистым хребтом и осью веера в общем обнаруживает северную вергентность с южным падением осевых плоскостей асимметричных или опрокинутых на север складок. При этом северная часть крыла веера до развалин с.Пуй сложена относительно открытыми асимметричными складками с более короткими и крутыми северными крыльями антиклиналей. К югу от выхода "пуйских песчаников" тоарского возраста вплоть до осевой части веера структура становится все более скатой, с крутыми южными и опрокинутыми северными крыльями антиклиналей. В южном крыле веера вергентность складок в общем меняется на южную, но она не постоянна, так как фиксируются и более или менее обширные северовергентные участки. Опрокинутые складки здесь не отмечаются, за исключением неширокой полосы выхода ааленских глинистых сланцев с конкрециями сидерита (гуданская свита) чуть выше урочища Цкалшуа. В общем же здесь преобладают слабо асимметричные или же прямые крутокрылые складки с острыми сводами и мульдами, хорошо устанавливаемые детальным исследованием мезо- и микроскладчатых форм и распространением полученных данных на крупные складчатые структуры согласно принципу подобия (Шван, 1963). Крупные складки и в первую очередь их мульды

и сводовые части обычно осложнены мелкой складчатостью. Помимо сильно сжатых складок нередко наблюдаются и весьма пологие, с углами падения крыльев не более 50° . Такие структуры особенно широко развиты в перевальной части Главного хребта (рис. 23), где замечаются к тому же частые отклонения общего ЮЗ-СВ простирания складок почти до меридионального.

Таким образом, судя по общей картине структуры истоков р. Ассы, в данном регионе ось интенсивности складчатости совпадает не с водоразделом Главного Кавказского хребта, а подобно оси вергентности проходит значительно (на 20 км) севернее, в южных предгорьях хребта Ардзелом (чуть южнее урочища Бисна).

Одной из самых выделяющихся на значительных отрезках черт складчатых структур, независимо от их размеров и морфологии, является погружение их шарниров на ССВ под весьма большим углом ($40-60^{\circ}$) на меридиональном отрезке от хребта Ардзелом до урочища Цкалшуа. Севернее данного отрезка оси складок почти субгоризонтальны, а к югу вплоть до водораздела Главного хребта и дальше на южном его склоне (в бас. р. Хевсуретская Арагви) оси подавляющего большинства складчатых структур погружаются на ЗЮЗ при четко выраженной юВ вергентности осевых плоскостей.

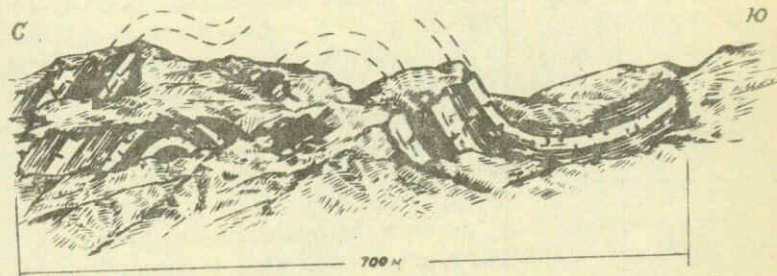


Рис. 23. Характер складчатости ааленских песчано-глинистых отложений в окрестностях Колотанского перевала

Что касается разрывных нарушений, то в их распределении в исследованной полосе также замечается определенная закономерность. По всей полосе верхнего течения р. Ассы развиты преимущественно со складчатые крутопадающие ($70-80^{\circ}$) на СЗ взбросы и взбросо-сдвиги, соппадающие по простиранию с направлением складчатых структур. Помимо них севернее северных предгорий хр. Ардзелом и по всей равнинной части Ассинской долины до Скалистого хребта, а также к югу от кочевки Цкалшуа до водораздела Главного хребта и южнее (в пределах южного склона) широко развиты и постскладчатые диагональные субвертикальные разрывы, очевидно, сколового характера СВ и СЗ направлений, представляющие соответственно право- и левосторонние сдвиги. Кроме

того, по всей полосе верхнего течения р. Ассы широко развиты вертикальные или крутопадающие разрывы субмеридионального простирания, резко секущие складчатые и связанные с ними структуры. В плане эти нарушения располагаются в виде малопротяженных кулис и по своей природе отвечают левым сдвигам с горизонтальной амплитудой не более первых сотен метров (Гиоргобiani, Закарая, 1982).

Выявление морфологических особенностей, а также характера и знака перемещения субширотных согласных складчатым структурам разрывов в однородных аспидино- и глинисто-оланцевых породах удается главным образом путем исследования небольших нарушений и характера перемещений по ним отдельных песчаниковых слоев.

Чуть выше слияния рр. Цкаростави (Колотана) и Ассы, на левом берегу последней, в аспидных сланцах верхнего плинообаха с прослойками и маломощными пачками песчаников фиксируется ряд субпараллельных малоамплитудных разрывов с элементами падения сместителей $340/70^\circ$. Характер и знак нарушений легко читается по перемещениям песчаниковых слоев. Разрывы представляют собой нормальные взбросы, во всех случаях взбросены СЗ крылья с амплитудой, не превышающей 10 см (рис. 24).

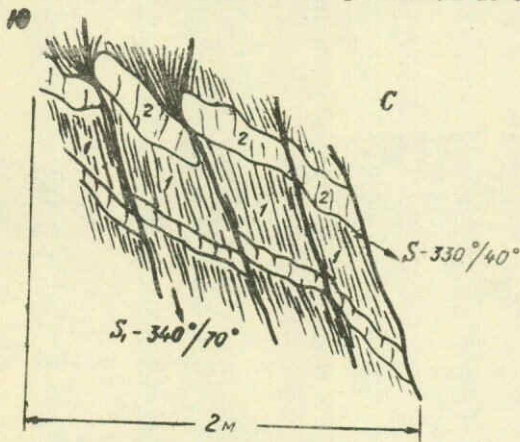


Рис. 24. Серия параллельных взбросов в аспидных сланцах (1) с прослойями песчаников (2) у слияния рр. Цкаростави и Ассы

Сходные соотношения наблюдаются почти во всех разломах СВ направления, даже когда в силу гораздо большего вертикального перемещения в одном из крыльев не улавливаются слои, выходящие в другом, бороздки на зеркалах скольжения, как правило, показывают тот же знак движения – взброс ССЗ крыльев. Нередко следы скольжения ориентированы ко-со, под разными углами к простиранию структур, что свидетельствует о более или менее значительной роли горизонтальной составляющей при перемещении и определяет взбросо-сдвиговый характер нарушения.

Вышеупомянутая иллюстрация интересна и тем, что позволяет делать некоторые выводы относительно одного из возможных механизмов азрывообразования. В аспидных сланцах, имеющих прослои песчаников, кливаж развит совершенно. Местами более или менее мощные пучки убогородильных поверхностей кливажа сходятся в определенных точках ровли песчаника и вызывают его разрыв, который затем захватывает все соседние слои, направляясь согласно поверхностям кливажа (см. ил. 24). Впечатление такое, что энергия каждой поверхности кливажа осредотачивалась в одной точке и накапливалась до величины, необходимой для разрыва и перемещения гораздо более вязкого песчаникового лоя.

Разрывные нарушения надвигового характера в ущ.р. Ассы наблюдаются крайне редко. Была зафиксирована лишь одна дислокация подобного типа в аспидных сланцах плинсбахского (карико) возраста в 400 м ниже слияния рр. Цкаростви и Ассы на правом скальном склоне последней (рис. 25). Горизонтальное перемещение надвинутого СЗ крыла не более 40 см. В том же обнажении наблюдается и более поздний неболь-

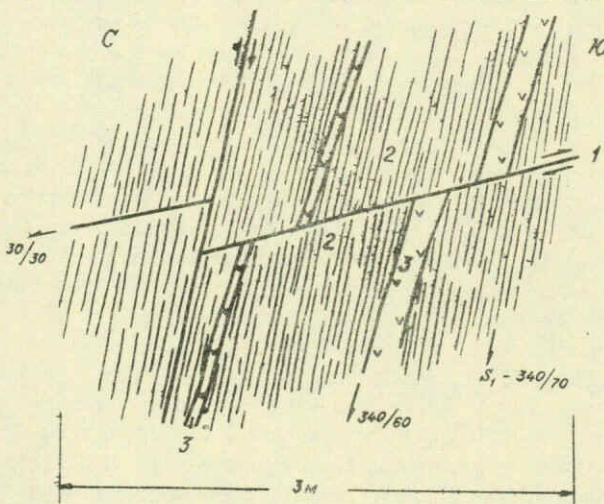


Рис. 25. Небольшой надвиг (I) в аспидных сланцах нижнего плинсбаха (2), смещающий диабазовые дайки (3). Правый берег р. Ассы, чуть ниже устья р. Цкаростави

й субширотный разрыв с выброшенным СЗ крылом. Принимая во внимание направление перемещения масс неоднотипных и разновозрастных нарушений в данном случае и учитывая аналогичные знаки перемещения позволяющего большинства дизъюнктивов субширотного простирания ущ.р. Ассы, для образования последних сам собой напрашивается механизм

пододвигания Закавказского срединного массива под Большой Кавказ (П.Гамкелидзе, И.Гамкелидзе, 1975, 1977) и представление всех южновергентных складчатых и разрывных нарушений в виде субдуктивных структур.

Малые структурные формы

Кливах в пределах рассматриваемой территории является самым ярко выраженным структурным типом и носит универсальный характер, затрагивая в разной степени почти все породы нижне-среднеюрских отложений. Последние выходят к югу от северных предгорий Скалистого хребта до Южного склона Большого Кавказа включительно. При устойчивом ЭЮЗ-ВСВ простирании падение поверхностей кливажа весьма изменчиво на отдельных меридиональных отрезках ущ.р.Ассы.

В изменчивости направления и пространственной ориентации кливажа с севера на юг в указанных пределах замечаются следующие особенности. На севере территории в южных предгорьях Скалистого хребта и в равнинной части ущелья р.Ассы, на площади развития среднеюрских аргиллитов с прослойями и пачками песчаников кливаж не развит. Аргиллиты подвержены лишь тонкой раковистой, реже сфераобразной отдельности или рассланцованию согласно напластованию. К югу, по мере возрастания интенсивности складчатости, отдельность глинистых пород становится все более упорядоченной, аргиллиты постепенно приобретают глинисто-оланцевый облик и чуть выше развалин Цуй в глинистых прослоях т.н. "пуйских песчаников" появляются северовергентные (с падением на ЮВ 50-170/60-80°) шероховатые поверхности грубого кливажа. Такие пространственные соотношения кливажа сохраняет и южнее, вплоть до южных предгорий хр.Ардженом (рис.26). На этом отрезке (около 9 км) по мере возрастания в нисходящем разрезе роли тоарских глинистых и особенно плинсбахских аспидных сланцев (начиная с устья правого притока Нелх) кливаж становится совершенным, с частыми гладкими поверхностями. В 2-х км южнее правого притока Бисна кливаж показывает уже южную вергентность, падая на СЗ 320-350°/60-80° и не меняясь до развалин на правом берегу р.Ассы (~5 км). Далее к югу от ущ.р.Цкаростави до урочища Цкалшуа поверхности кливажа опять опрокидываются на север, приобретая падение ЮЮВ 150-180°/60-85°. Вышкочевки Цкалшуа до водораздела Главного хребта падение кливажа весьма непостоянно, меняется от северного до южного через вертикальное местами приобретает даже меридиональное простирание, круто падая в ЮЮВ 100-120° (см.рис.26).

Генетически тесно связанный со складчатостью кливаж нагляднее и полнее отражает общее направление структур (большую тектонику) сласти, нежели отдельные частные складки, нередко обнаруживающие более или менее значительные отклонения от общего плана. Сланцеватые текстуры и в первую очередь кливаж осевой плоскости (структурный

тип S_1), обусловленные течением пород при продольном сжатии слоев, всегда очно воспроизводят главные, в общем перпендикулярные к сжатию, тектонические направления, независимо от формы, характера и направления частных складчатых форм, с которыми они пространственно связаны (например, при- или наразломных складок,peri- и центриклинальных замыканий флексурных перегибов и т.д.). Благодаря такой "приверженности" кливажа общему структурному плану всякое более или менее ощущимое отклонение его пространственной ориентации сразу же ставит вопрос об изменении условий деформаций и тем самым — о причинах последнего.

В нашем случае изменение южной вергентности падения кливажа на северную в урочище Бисна следует объяснить общей тенденцией складчатого сооружения Большого Кавказа к веерообразному строению с осью симметрии, проходящей не по Главному хребту, а гораздо (в 20 км) севернее. А неоднократное изменение падения кливажа на противоположное, наблюдаемое в южном крыле веера, нужно представить как нарушение единой первоначальной ориентации в отдельных крупных блоках при их неравнозначных движениях по субширотным разломам. Что касается меридионального и близких к нему простираций кливажа в истоках р. Ассы, то их также следует считать вторичным явлением, выразившимся в левостороннем повороте исходно ССВ направления поверхностей кливажа под воздействием значительных на данном участке субмеридиональных левосдвиговых движений.

Важность кливажа как показателя плана и стиля деформации пород, а также эффективного средства расшифровки

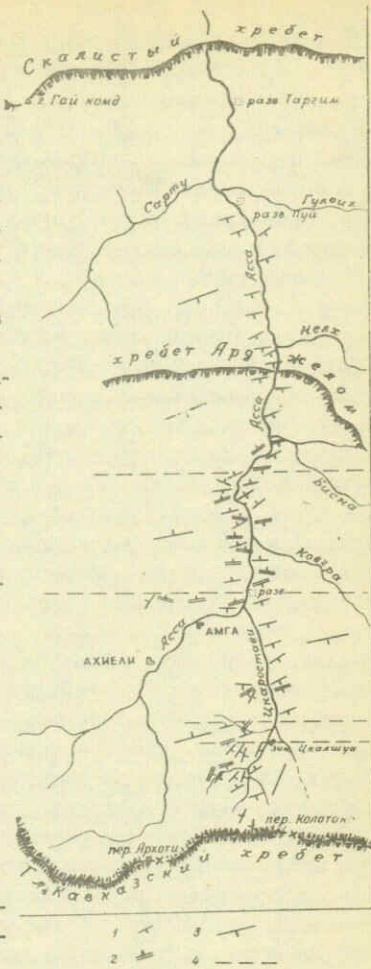


Рис. 26. Ориентировка кливажа и второй сланцеватости в нижне- и средненеогеновых отложениях ущ. р. Ассы между Главным и Скалистым хребтами Большого Кавказа.
1 — азимуты падения кливажа осевой плоскости; 2 — азимуты падения второй сланцеватости; 3 — господствующие азимуты падения кливажа осевой плоскости в отдельных широтных участках; 4 — границы участков с различной вергентностью кливажа осевой плоскости

характера и условий развития всех других структурных форм трудно переоценить. Будучи наименее проникаемым в среду структурным типом, он тесно пространственно взаимосвязан со всеми литостратиграфическими (глинистые и аспидные сланцы, алевролиты и песчаники), магматическими (диабазовые дайки и лавы типа "пиллоу") и структурными (складчатые и разрывные нарушения, будинах и мультион структуры, плойчатость, "кинк-банды" и т.д.) единицами. С последними кливаж связан и тесным генетическим родством, и это — самая замечательная и важная его особенность.

В глинистых породах наиболее ярко проявлен кливаж осевой плоскости, рассекая на тончайшие (0,5–1,0 мм) пластины и превращая их в глинистые и аспидные сланцы. Песчаники также подвержены делимости вдоль более отдаленных (первые см) друг от друга поверхностей в зависимости, главным образом, от гранулометрического состава породы, а не от мощности слоя. При переходе в слой песчаника поверхности кливажа испытывают рефракцию и располагаются в нем в виде прямого веера. В толстых слоях песчаника, чередующихся с тонкими слоями сланцев, наблюдается и S-образное изгибание поверхностей раздела.

Особого упоминания заслуживает весьма частое явление непривычной фрагментации заключенных в сланцы песчаников на угловатые закономерные куски пород (рис. 27). Поверхности кливажа, не изменяя элементов залегания, продолжаются внутри песчаника на 2–3 см от кровли и подошвы, почти стирая их. Вместо них появляется несколько четких ломанных поверхностей внутри слоя. Одна система изломов повторяет поверхности кливажа, другая — близка напластованию. Поэтому наблюдаемую картину следует рассматривать как следствие совместного проявления напряжений и движений, действующих вдоль поверхностей кливажа и слоистости на крыльях складок в процессе сжатия. Во всяком случае, участие кливажа в фрагментации песчаниковых слоев бесспорно. Возможно, описание явление среди образования параллельных валиков и желобков на поверхностях напластования, возникающих в результате пересечения последних поверхностями кливажа и являющихся четко выраженным линейными текстурами (Казаков, 1976), указывающими на направление и величину погружения шарниров складок. Правомерность такого механизма фрагментации и излома или волнистости поверхностей песчаниковых слоев хорошо подтверждается отсутствием подобных явлений на крыльях изоклинальных складок, где поверхности кливажа осевой плоскости параллельны слоям и не могут их пересекать.

Детальные исследования рассматриваемых слоев показали, что в процессе складкообразования при общем сжатии происходило послойное растяжение материала — по направлению перпендикулярное, по величине прямо пропорциональное общему сжатию. Это хорошо подтверждается фактами утонения слоев в крыльях подобных складок. Причем пластичные (глинистые) слои подвергаются кливажу, а более вязкие (песчаники,

кварциты), удлиняясь в том же направлении, испытывают диаклиз. С нарастанием деформации и степени сжатия складок отдельные фрагменты разорванных вязких слоев отделяются друг от друга и образовавшиеся просветы заполняются новообразованными минералами (кварц, кальцит) или материалом соседних пластических слоев. Так что будинах следует рассматривать как результат растяжения, вызванного общим сжатием. В верхнем течении р. Асы будинах в разной степени подвержены все породы, включенные в аспидные сланцы — песчаники, кварциты, диабазовые дайки. Можно привести множество примеров, иллюстрирующих разлиновование и будинирование жестких слоев (рис. 28) и растаскивание или смещение их отдельных фрагментов друг относительно друга. Особенно впечатляет будинах мощных диабазовых даек. Наблюдаются и факты совместного захвата этим явлением ряда

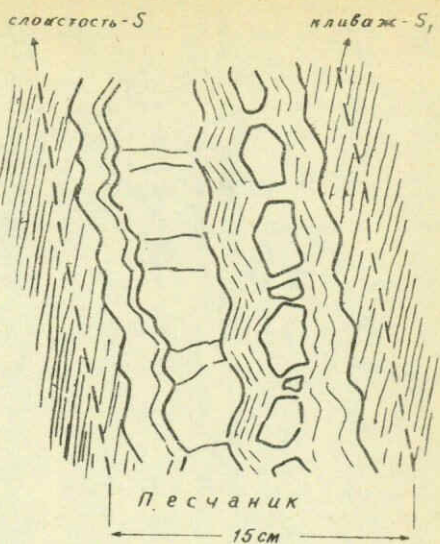


Рис. 27. Волнистость и фрагментация слоя песчаника в аспидных сланцах нижнего плинобаха. Окрестности ущ. р. Ковгра

будинах тонких прослоев песчаников в глинистых сланцах аалена. Левый исток р. Царостави

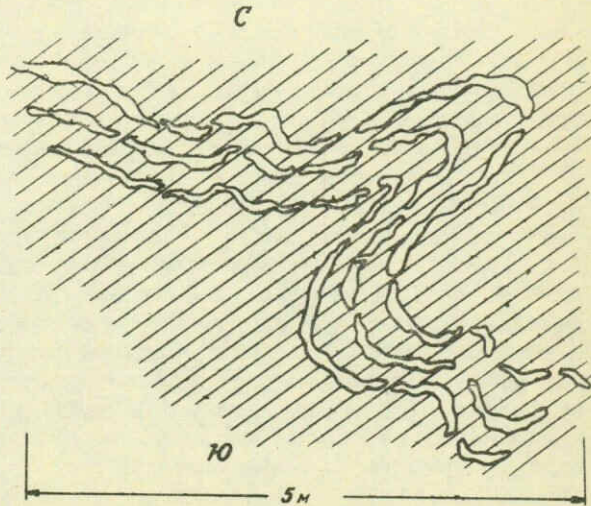


Рис. 28. Будинах тонких прослоев песчаников в глинистых сланцах аалена. Левый исток р. Царостави

параллельных даек общой мощностью около 10 м до полного отрыва и отделения разрозненных блоков (рис. 29).

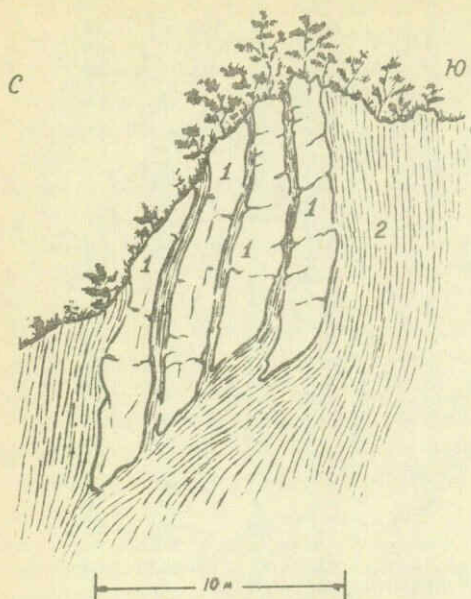


Рис. 29. Будинах серии диабазовых даек (1), заключенных в аспидных сланцах нижнего плиссаха (2). Правый берег р. Ассы ниже устья р. Царостави

зоны"). Такое поведение минералов составляет основной механизм внутренней деформации пород (по Дарки) и, обеспечивая ее постоянное развитие, создает предпосылки для проявления процесса метаморфизма. Однако вопросы совместного протекания и взаимозависимости процессов деформации и метаморфизма выходят за рамки настоящей работы.

Небезынтересен и вопрос о поведении уже рассланцованных пород оказавшихся затем в сфере воздействия kontaktового метаморфизма. Уже давно замечено, что сланцеватость или кливаж в контактах интрузивных тел стирается и тем легче, чем больше способность первичных пород к рассланцеванию. Иначе говоря, для стирания кливажа песчанистой или кварцитовой породы необходим гораздо более интенсивный kontaktовый метаморфизм, нежели для "снятия" сланцевой текстуры с глинистого сланца. Последние даже в контактах маломощных интрузий легко теряют сланцеватую текстуру, превращаясь в массивные роговики. При этом тождественные по составу и степени рассланцевания породы, развитые по соседству, различно реагируют на kontaktный метаморфизм в зависимости

Совместное проявление процессов сжатия и растяжения происходили и в области шарнира складок — растяжение в гребневой и сжатие в ядерной части одного и того же смятого в складку слоя, что хорошо подтверждается развитием соответствующих микроструктур — трещин растяжения на гребне складки жесткого слоя подчеркивающих избыток пространства в этой зоне, в то время, как в ядре того же слоя недостаток пространства вызывает образование микроскладок и втекание в них материала прилегающего более пластичного слоя. На зоны локального напряжения минералы реагируют распадом в зонах сжатия и перекристаллизацией в зонах растяжения или пониженного давления ("тектонически защищенные

ти от состава воздействующей интрузии. В частности, совершенно сходные по всем показателям аспидные сланцы плинсбахского возраста ущ. Ассы, окружающие дайками диабазов и альбитофиров, в первом случае обнаруживают гораздо большую степень контактового преобразования, вполне до полного исчезновения кливажа в роговиках. Наблюдения в других регионах Кавказа (Верхняя Сванетия, Дзирульский массив) также свидетельствуют о том, что степень исчезновения кливажа в глинистых и аспидных сланцах зависит от основности контактирующей интрузии. Из этого следует, что, во-первых, чем больше склонна порода к кливажу, тем легче лишается она приобретенной уже сланцеватости при контактном метаморфизме и, во-вторых, в этом обратном процессе "ретро-кливажирования" главная роль, несомненно, принадлежит термальному фактору контактового метаморфизма, а не минерализующему; минерализующее воздействие метаморфизма вряд ли отрицательно влияет на текстуру породы, напротив, очевидно, даже подчеркивает ее планпараллельным расположением новообразования минералов.

Детальные исследования мезоскопических складок и связанных с ними малых структурных форм показали, что в аспидных сланцах нижней зоны, помимо главного (осевой плоскости) кливажа S_1 , почти повсеместно развит и другой, родственный ему структурный тип, представленный системой также тесно сближенных и четко выраженных поверхностей, известных в литературе под различными названиями (плойчатая сланцеватость, ненастоящий кливаж, гофрирование, вторая сланцеватость, наложенный кливаж, кливаж плойчатости). Рассматриваемый нами структурный тип с наиболее подходящим названием "вторая сланцеватость" (учитывая более позднее его происхождение и менее универсальное, по сравнению с главным кливажем, развитие) возникает лишь в уже рассланцованных породах, т.е. породах, обладающих ярко выраженной механической анизотропией. Для второй сланцеватости S_2 характерно большое разнообразие форм проявления. В простейшей своей форме макроскопически она чаще всего выражена различной интенсивности гофрировкой или плойчатостью поверхностей сланцеватости (кливажа) S_1 . Наиболее совершенно развитая форма данного структурного типа представлена уже весьма сближенными субпараллельными поверхностями раздела S_2 . Поверхности S_1 и S_2 пересекаются. Азимутальное расхождение между ними колеблется в пределах $20-60^\circ$, чаще всего оно равно $30-35^\circ$, а падают они то в противоположных румбах, то в одном направлении, обычно под крутым углом. Каких-либо перемещений одной системы поверхностей по отношению к другой не замечается, но нередко в местах пересечения поверхности одной из систем флексурообразно изогнуты, что дает определенное представление о последовательности их возникновения. Деформированы, как правило, поверхности главного (осевой плоскости) кливажа S_1 — факт, хорошо укладывающийся в рамки представления об их более

раннем зарождении, очевидно связанным с первой же чувствительной фазой складкообразования.

Структурный тип S_2 или вторая сланцеватость в общем не имеет регионального развития. Как правило, он ограничен узкими зонами разломов, и переход от слабого его проявления к интенсивному обычно прослеживается на относительно небольших участках. Но в ущелье р.Асса, в силу чрезвычайного развития разрывных нарушений, вторая сланцеватость S_2 с большей или меньшей четкостью представлена повсеместно. Под воздействием S_2 поверхностей главный кливаж S_1 часто испытывает плойчатость или образует структуры типа кинк-банд (полос излома), теряя при этом свою индивидуальность, т.е. первоначальную ориентацию. Но в ущелье р.Асса в подавляющем большинстве случаев обе системы поверхностей разлиты четко.

Полосы излома (смятия) или кинк-банды представляют собой своеобразные зоны поверхностей кливажа, расчлененные субпараллельными поверхностями (скользование?) S_2 , образующими в целом зоны параллельных сопряженных складок или флексур. В аспидных и глинистых сланцах ущ. р.Асса данный структурный тип проявлен весьма часто и в разных масштабах. В пределах одного образца (рис.30) структура представлена двояко: в одном случае в виде комбинации изломанных поверхностей S_1 , и секущих их более поздних поверхностей S_2 , а в другом — поверхности S_1 без разрыва просто сильно изогнуты по воображаемым поверхностям той же S_2 ориентации (вязкие разрывы). В другом случае зона излома охватывает уже все обнажение, и здесь разные отрезки поверхностей кливажа S_1 показывают разные углы вращения относительно неравномерно развитой системы второй сланцеватости S_2 . По своей морфологии подобные структуры вполне заслуживают называться складками, а по своей механической природе явно оправдывают название сколовых. Нередко кинк-банды и рассматриваются в качестве особых проявлений сдвиговых (сколовых) деформаций, связанных с одноименными разрывами.

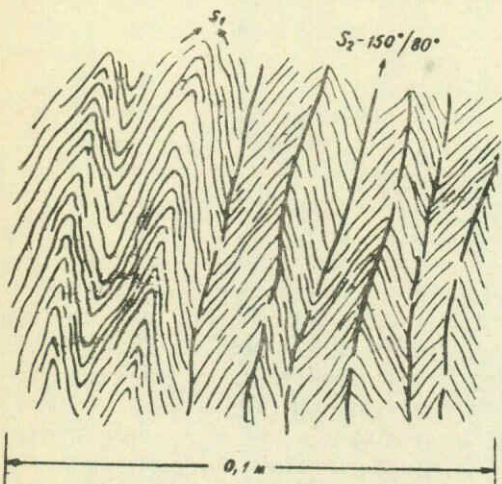


Рис.30. Стадии развития второй сланцеватости в полосах излома (кинк-бандах) дюмерско-нижнетоарских глинистых сланцев. Окрестности Горгу, левый склон р.Цкарос-тави

Вопрос пространственных и возрастных взаимоотношений диабазовых даек с развитыми во вмещающих аспидных сланцах текстурами заслуживает особого рассмотрения, поскольку проблема возраста диабазов Большого Кавказа сама по себе все еще является спорной.

Уже давно было показано: 1) диабазы, судя по формам залегания и постоянной ассоциации с порфиритами и пирокластолитами, кристаллически-зернистые, их следует считать особым видом эфузивных пород (Левинсон-Лессинг, 1949); 2) в районе Архотского перевала выделяются две диабазовые формации - Колотанская и Ассинская. Для первой характерно тесное пространственное и генетическое родство интрузивных (субвулканических - О.Д.) и эфузивных диабазов и порфиритов, содержащих кислый плагиоклаз и свежий пироксен, вторая же - представлена исключительно дайками, и в них породу образуют основной плагиоклаз (лабрадор) и уралитизированный пироксен; 3) колотанский тип диабазов представляет собой аналог спилитовой фации, начинающей на Кавказе единый нижне- и среднеюрский магматический цикл и сменяющейся вверх вулканитами нормальных лабрадоровых порфиритов (Дзоценидзе, 1942).

Колотанские (т.е. спилитовые) диабазы на основании несомненной пространственной и генетической связи с подушечными лавами того же состава и стратиграфического положения последних среди глинисто-сланцевых пород донерско-нижнетоарского возраста достаточно убедительно датируются тем же отрезком времени.

Что же касается возраста диабазовых даек ассинского типа (т.е. лабрадоровых), то по этому вопросу нет единого мнения. Эти дайки не сопровождаются эфузивными аналогами или пирокластолитами, но пространственно сосредоточены исключительно в нижней части толщи аспидных сланцев раннеплинсбахского (карикос) возраста. Однако, учитывая явно секущую природу даек ассинского типа, послекариеский их возраст не может вызывать сомнений. Более того, исходя из общего хода развития ранне- и среднеюрского вулканизма на Кавказе, в котором "лабрадоровая" фация проявляется, как правило, позже "спилитовой" (т.е. позже донер-раннетоарского интервала), внедрение ассинских диабазов следует отнести к еще более позднему времени. Вышеуказанное "несоответствие" геологической обстановки с общими петрологическими соображениями (приуроченность относительно молодых даек к более древним аспидным сланцам) и стало причиной того, что диабазы ассинского типа описывались то как батские, то часть из них относились к лейасу, а другая к бату, то "омолаживались" до послекелловейских или же опускались в доюрское время.

В связи с упомянутыми трудностями в решении вопроса о возрасте диабазовых даек ассинского типа немаловажную роль приобретают

условия их залегания во вмещающих сланцах. Уже первыми исследователями "диабазового" вулканизма Большого Кавказа было замечено, что ассинские диабазы представляют собой "пластовые по сланцеватости жилья", которые внедрились во вмещающие сланцы "по криво падающей сланцеватости".

Недавно аналогичные соображения о постскладчатом возрасте диабазовых даек урадитово-лабрадорового состава, секущих породы кистинской и циклаурской свит Дарьлянского ущелья (Чихрадзе, 1980) и даек ассинского типа, "сидящих" в поверхностях кливажа осевой плоскости вмещающих сланцев (Беридзе, 1983; Гиоргобиани и др., 1983), были высказаны более определенно.

В ряде работ, посвященных геолого-петрографическому изучению рассматриваемого региона, высказано мнение о залегании диабазовых даек согласно поверхностям кливажа. При этом подразумевается, несомненно, кливаж осевой плоскости, т.к. наличия другой системы поверхностей сланцеватости никто пока не отмечал. Между тем детальные наблюдения, проводившиеся автором в 1983-84 гг., показали, что мнение, господствовавшее на протяжении столь долгого времени, не соответствует (или, по крайней мере, не всегда) действительности и требует уточнения. В этом не трудно убедиться, изучив пространственные взаимоотношения поверхностей напластования, сланцеватости и диабазовых даек чуть ниже слияния рек Царостави (Колотани) и Ассы, где последние явно секут и слои песчаников и поверхности кливажа вмещающих сланцев (рис.31), причем, некоторые диабазы и сами рассланцованны по общему плану. Из данных взаимоотношений следует, что диабазовые дайки несомненно моложе фазы складчатости и кливажеобразования. При этом факт рассланцовывания даек, якобы свидетельствующий в пользу их более древнего возраста, по сравнению с возникновением кливажа, следует истолковывать как следствие относительной длительности процесса развития кливажа, т.е. продолжения движения материала вдоль поверхностей кливажа осевой плоскости и после внедрения диабазовых даек.

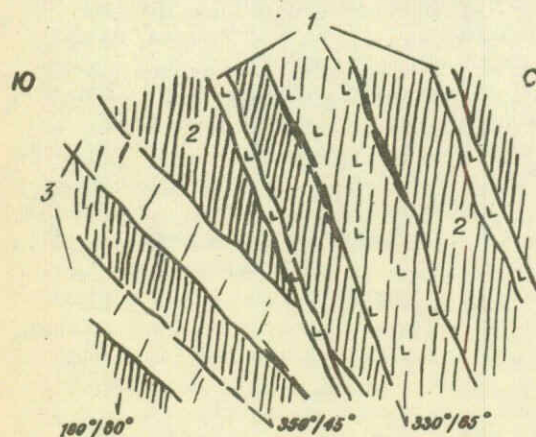


Рис.31. Пространственные взаимоотношения диабазовых даек (1) ассинского типа (уралитово-лабрадоровых) с поверхностями напластования и кливажа в нижнеплисбахских аспинных сланцах (2) с прослоями песчаников (3). Правый берег р.Ассы ниже устья р.Царостави

В пойме одного из небольших левых притоков р.Ассы, берущего начало на восточном склоне г.Зетука, в тонкополосчатых аспидных сланцах нижнего плинсбаха замеряются две совершенно развитые системы поверхностей - главного (осевой плоскости) кливажа S_1 и второй (напряженной) сланцеватости S_2 , с элементами падения соответственно $340/80^\circ$ и $10/70^\circ$ (рис.32а). Сланцы секутся двумя диабазовыми жилами (мощностью 10 и 1,5 см), "сидящими" в S_2 поверхностях. Более того, одна из жил раздвоена и обе ветви следуют опять-таки по S_2 поверхностям. Чуть выше, более тонкая жила диабаза, следующая по S_2 поверхности, испытывает излом, за небольшом отрезке заливает одну из S_1 поверхностей, а затем продолжается опять в прежнем S_2 направлении (см.рис.32б). Многочисленные повсеместные наблюдения показали, что вышеописанные взаимоотношения не случайность или исключение, а скорее всего закономерность.

Следует отметить, что для наблюдений над пространственными взаимоотношениями диабазовых даек с поверхностями кливажа - сланцеватости - наиболее благоприятны субгоризонтальные среды обнажений, например, как в нашем случае, в поймах небольших речек и балок (см.рис.32а,б), где на отполированном дне лучше всего фиксируются и сечения даек, и следы обеих крутых S_1 и S_2 поверхностей кливажа.

Из всего вышеизложенного конечно не следует, что диабазовым дайкам "запрещено" заливание поверхностей более древнего по происхождению кливажа осевой плоскости S_1 . Такие случаи, хотя и редко, все же наблюдаются (см.рис.32б), но тяготение даек к S_2 поверхностям совершенно очевидно.

Таким образом, на основании приведенных фактов можно сделать некоторые выводы.

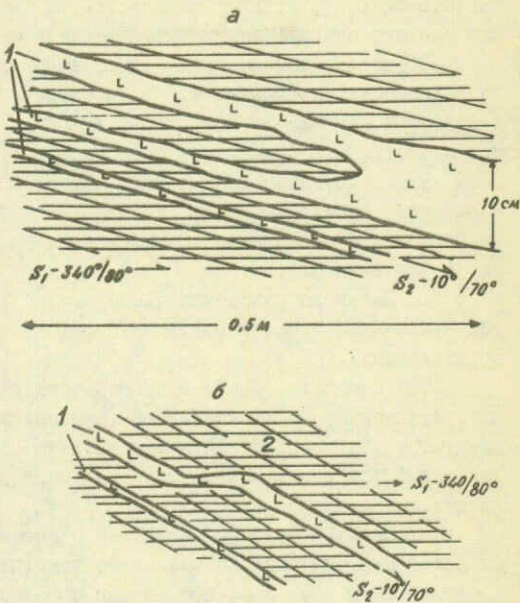


Рис.32. Размещение диабазов ассинско-го типа (1) согласно поверхностям второй сланцеватости- S_2 аспидных сланцев (2). Левый приток р.Ассы чуть ниже устья р. Цкаростави

1) ко времени внедрения даек обе системы поверхности – и кливажа осевой плоскости S_1 , и второй сланцеватости S_2 – уже существовали;

2) зарождение поверхностей кливажа осевой плоскости, генетически непосредственно связанного с первой же чувствительной фазой складчатости f_1 , предшествовало второй сланцеватости S_2 . Последнюю следует считать результатом последующей фазы деформации;

3) ко времени внедрения диабазовых даек степень механической проницаемости или зияния S_2 поверхностей превосходила таковую поверхностей кливажа осевой плоскости S_1 , чем и следует объяснить преимущественное размещение даек в первых.

Вышеизложенные наблюдения, с учетом общих петрологических соображений, дают возможность сделать некоторые выводы о природе и относительном времени внедрения диабазовых даек ассинского типа верхнего течения р.Ассы.

1. Дайки лабрадоровых диабазов ущелья р.Ассы являются продуктом вулканизма трещинного типа (отсутствие эфузивных и эксплозивных составляющих).

2. Исходя из общей закономерности развития ранне- и среднекирского вулканизма Большого Кавказа, ассинские лабрадоровые диабазы следует считать образованием несколько моложе колотанских "спилитовых" диабазов и подушечных лав несомненно домер-раннетоарского возраста.

3. Преимущественно согласные с напластованием (силловые) формы залегания диабазов колотанского (спилитового) типа склоняют к предположению, что фаза деформации f_1 , обусловившая зарождение кливажа осевой плоскости S_1 , проявилась после "спилитовой" фазы вулканизма, т.е. после раннего тоара, возможно, в позднем тоаре (о восходящих движениях этого времени свидетельствует горизонт Пуйских песчаников). Поверхности же второй сланцеватости S_2 , ставшие преимущественными путями проникновения диабазовых даек ассинского типа, зародились позже, в связи с проявлением следующей (байосской?) тектонической активности f_2 , вызвавшей, очевидно, и временное закрытие S_1 поверхностей.

4. Обе системы поверхностей – и кливаж осевой плоскости S_1 и вторая сланцеватость S_2 – и обусловившие их тектонические движения f_1 и f_2 должны были проявиться до байосского века, т.к. батская фаза складчатости на всем Кавказе знаменуется уже мощным гранитоидным магматизмом.

Интересно, что в пользу в общем байосско-батского времени внедрения даек "Казбегского диабазового пояса" высказываются и другие авторы (Гущин, 1986). В то же время, нельзя считать обоснованным представление о внедрении серии даек и силлов, образующих т.н. "ди-

абазовый пояс" и крупных интрузий гранитоидного состава в одном и том же отрезке времени "общей инверсии геотектонического режима", т.е. в конце батского века (Панов, 1976). Вряд ли можно относить к одной и той же фазе вулканическую активность основного (авгит-лабрадорового) состава и проявление гранитоидного магматизма. Коль скоро последний принято связывать по времени с общей инверсией геотектонического режима раннеальпийского цикла (предкелловейская или батская фаза), то внедрение диабазовых даек ассинского типа естественно рассматривать в качестве жильной фации мощно выраженного по соседству (на Южном склоне Большого Кавказа) байосского вулканизма. Кстати, подобное же мнение о возрасте даек ассинского типа высказал М.А.Беридзе (1983), считавший вполне естественным проявление в сланцевых геосинклиналях дайкового комплекса, по своему петрохимическому характеру соответствующего "лабрадоровой фазе" мощного байосского вулканизма.

Таким образом, наиболее вероятным временем внедрения диабазовых даек ассинского типа следует считать байосский век. Эти дайки проникали по S_2 -поверхностям, уже существующим к этому времени. Что касается рассланцевания даек, то его следует объяснить обновлением движений по S_1 -поверхностям при дожатии складчатых структур в результате проявления послебайосских фаз (в первую очередь батской) складчатости.

3. НЕКОТОРЫЕ ВОПРОСЫ СТРАТИГРАФИИ И ТЕКТОНИКИ ФЛИШЕВОЙ ЗОНЫ ЮЖНОГО СКЛОНА БОЛЬШОГО КАВКАЗА

Н.Ш.Салуквадзе

3.1. СТРАТИГРАФИЯ ПАЛЕОГЕНОВЫХ ОТЛОЖЕНИЙ БАС.Р.АРАГВИ

В бас.рр.Арагви и Шавис Арагви и в прилегающих районах (междуречье Лиахви-Алазани) палеогеновые отложения (включая датский ярус) принимают участие в строении тектонических подразделений Хинвальско-Гомборской подзоны, представляющей собой крайне сложно построенную часть Местийско-Тианетской зоны складчатой системы Южного склона Большого Кавказа. Для исследуемого региона, по утверждению ряда исследователей, характерно покровное строение. Развивая эту концепцию, некоторые авторы (П.Гамкрелидзе, И.Гамкрелидзе, 1977; И.Гамкрелидзе, 1984) пришли к выводу, что каждый покров (шаръяж) в свое время представлял самостоятельную структурно-фаунистическую зону.

Ряд вопросов геологии этой части Южного склона Большого Кавказа все еще остается невыясненным или малоизученным. Кроме того геология, в том числе и стратиграфия палеогеновых отложений, нередко

трактуется весьма произвольно. В расшифровке геологического строения Жинвальско-Гомборской подзоны и смежных территорий немалую помощь могут оказать результаты изучения стратиграфии и палеонтологии палеогеновых образований. Надо в первую очередь установить и уточнить возраст, состав, объем, фациальные изменения и взаимоотношения наблюдаемых здесь литостратиграфических единиц. Вопросов, как видно, набирается немало. Полученные в последние годы данные позволяют, на наш взгляд, вплотную подойти к решению некоторых из них.

Палеоген Восточной Грузии вообще и Жинвальско-Гомборской подзоны в частности характеризуется неоднородным строением. В разных местах палеогенового морского водоема этой части Грузии существовали очевидно, неодинаковые условия осадконакопления и обитания организмов. Распределение лиофаций и расселение сообществ фауны, по всей вероятности, контролировались палеотектоническими особенностями (разломы глубокого заложения и др.).

Примерно на территории Жинвальско-Гомборской подзоны располагалась т.н. Лиахвско-Йорская структурно-фациальная зона (рр. Большая Лиахви, Ксани, Арагви, Шавис-Арагви, Иори, Ильто) с четко индивидуальной седиментационной характеристикой и специфическими условиями геологического развития. Здесь в палеоцене и эоцене отлагались в основном флишевые или флишоидные осадки. Южнее находилась Рионско-Куринская фациальная зона. Она охватывала Грузинскую глыбу и прилегающую к ней с севера южную периферийную часть Гагрско-Джавской зоны. В эту фациальную зону, по-видимому, входил и Ксанско-Аркальский парвотхтон (бас.р. Аркала и др.), который считается «отторженцем автохтонного комплекса восточного продолжения Гагрско-Джавской зоны» (П. Гамкрелидзе, И. Гамкрелидзе, 1977). В данном морском бассейне в палеоцене и эоцене формировались преимущественно карбонатно-терригенные породы.

Палеогеновые отложения на рассматриваемой территории характеризуются сравнительно бедным в видовом отношении составом фауны и флоры. Скудность палеонтологического материала в определенной мере затрудняет выделение здесь зональных подразделений. При расчленении указанных отложений приходится руководствоваться литологическими особенностями пород. По этим признакам палеогеновые флишевые образования Жинвальско-Гомборской подзоны были подразделены на отдельные литостратиграфические единицы (свиты, слои) еще в конце 20-х и начале 30-х годов Н.Б. Вассоевичем и В.П. Рентгартеном.

В изученной части Жинвальско-Гомборской подзоны над маастрихтскими образованиями (сабуасская свита) местами с разрывом залегают осадки кветерской свиты. Последняя была выделена Н.Б. Вассоевичем в окрестностях г. Кветера, в ущелье р. Хевгрдзели (правый приток р. Ильто). Породы свиты здесь обнаруживаются севернее устья р. Церебисхеви (левый приток р. Хевгрдзели). Разрез расположен в крайне южной части,

выделенной Н.Б.Вассоевичем Чиаурской тектонической зоной. В настоящее время разрез относят к Садзегурско-Шахветильскому покрову (П.Гамкрелидзе, И.Гамкрелидзе, 1977; И.Гамкрелидзе, 1984). Свита представлена чередованием преимущественно тонкослоистых серых, темно-серых и зеленовато-серых известковистых аргиллитов, кварцевых песчаников, песчанистых и глинистых известняков и мергелей. Карбонатность пород кверху уменьшается. На нижней поверхности песчанистых слоев нередко наблюдаются флишевые фигуры – иероглифы. В нижней части свиты обычно присутствуют темно-серые, почти черные окремненные породы. Общий литологический состав свиты в пределах Садзегури-Шахветильского покрова (шарьяжа) меняется незначительно. Местами (р.Саканапесхеви и др.) наряду с маломощными слоями встречаются и более толстые слои (до 0,8 м). Отложения данной свиты и образование вышележащей шахветильской свиты почти повсюду связаны постепенным переходом. Что же касается нижней границы, то она по литологическим признакам отбивается довольно четко. Мощность рассматриваемой свиты в изученных разрезах достигает 40–45 м.

В южной части Садзегурско-Шахветильского покрова образования кветерской свиты принимают участие в строении т.н. фронтальной чешуи (р.Саканапесхеви). Они пользуются большим поверхностным распространением в обоих крыльях Хевкирильской (Саканапесхевской) синклиналии, развитой в пределах Долошской чешуи указанного покрова (шарьяжа). В северном крыле этой синклиналии, в ущелье левого притока р.Арагви (юго-западный склон г.Бодави) выше мергелей и известняков сабуесской свиты прослеживается слой конгломерат-брекчий (2–3 м), а затем породы кветерской свиты (30–35 м). Обнажения последней имеются также в ущ.р.Пшавис Арагви. Здесь у моста близ старой ГЭС мощность свиты 35–40 м.

В Алисисгорско-Чинчвельском покрове, расположенному восточнее р.Арагви, аналогом вышеописанных отложений, очевидно, является босельская свита. Образования этой свиты обнаруживают большое литологическое сходство с породами кветерской свиты и занимают тот же стратиграфический интервал. Свита была выделена и прослежена Н.Б.Вассоевичем (1931, 1933) в разрезах т.н. Чинчвельского покрова. По мнению Р.А.Гамбашидзе (1979), этот стратон является, по-видимому, более мелководной фацией кветерской свиты.

Вопрос о возрасте и той и другой свиты нельзя считать окончательно решенным. Одни авторы относят их к датскому ярусу, а другие – к маастрихтскому и датскому ярусам. Основанием для второго вывода послужила фауна орбитоид, которая была найдена в нижней части обеих свит еще Н.Б.Вассоевичем более полувека тому назад и которая обычно характерна для маастрихта. Однако, как выясняется из последующих работ и из наших наблюдений, орбитоиды приурочены преимущественно к основанию названных свит – к конгломерат-брекчиями. Часто встречаются

обломки орбитоид. Примерно в средней и верхней частях босельской свиты Р.А.Гамбашидзе (1979) указывает на наличие мелких фораминифер, которые свойственны датскому ярусу. Такое положение дел, по мнению ряда исследователей, "ставит под сомнение первичность залегания отмеченной в свите (имеется в виду кветерская свита.- Н.С.) фауны фораминифер маастрихта" (Гамбашидзе, 1979).

Важно отметить, что в известковистых аргиллитах из средней части кветерской свиты (р.Хевгрдзели) были найдены мелкие фораминиферы зоны *Globorotalia pseudobulloides* (здесь и далее мелкие фораминиферы опр. М.Качарава). О принадлежности этой зоны к датскому ярусу сомневаться не приходится. В верхних слоях той же свиты (р.Саканапесхеви) был обнаружен комплекс нанопланктона зоны *Chiastolithus danicus*, которую относят к верхней части дания (здесь и далее нанопланктон определен Т.Гавтадзе).

Судя по всему, кветерская свита Садзегурско-Шахветильского покрова и ее стратиграфический аналог - босельская свита Алисисгорско-Чинчвельского покрова скорее всего относятся к датскому ярусу.

Отложения описанных свит в разрезах Садзегури-Шахветильского и Алисисгорско-Чинчвельского покровов (шарьяжей) выше сменяются образованиями, выделенными Н.Б.Васкоевичем и в том и в другом покрове (Чиаурская зона и Чинчвельский покров, по автору) под наименованием шахветильской свиты. Типичный разрез свиты находится в окрестностях с.Шахветили (бас.р.Ильто, правый приток р.Алазани). Свита слагается чередованием темно-серых, местами почти черных, иногда зелено-вато-серых (преимущественно в верхней части свиты) неизвестковистых или почти неизвестковистых аргиллитов и слабоизвестковистых мелкозернистых кварц-граувакковых серых песчаников (мощность прослоев песчаников - 0,03-0,2 м). Слабая известковистость пород наблюдается в основном в верхней части свиты. Мощность свиты в разрезах бас.р.Арагви достигает 120 м.

Шахветильская свита является одним из наиболее широко распространенных стратиграфических подразделений палеогена Жинвальско-Гомборской подзоны вообще и исследованной территории в частности. В Садзегури-Шахветильском покрове породами свиты и залегающими выше более мощными стратонами зоена сложены в основном мульды синклинальных складок. Так, по р.Саканапесхеви (ближе к устью) они принимают участие в строении сильно сжатой синклиналии фронтальной чешуи Садзегури-Шахветильского покрова. Осадки рассматриваемой свиты слагают крылья Хевкрильской (Саканапесхевской) и Бодавской синклиналей. Обнажаются они и на правом берегу р.Пшавис Арагви по новой дороге Магароскари-Лауша.

В нижней части свиты присутствуют мелкие фораминиферы зоны *Globorotalia angulata* (палеоцен). Другие ископаемые органические остатки, сколько-нибудь пригодные для стратиграфии, в осадках шахве-

гильской свиты не обнаружены. Возраст определяется по наличию указанного зонального комплекса и стратиграфическому положению. Свита, по-видимому, относится к палеоцену.

В бас.р. Арагви и прилегающих районах на отложениях шахветильской свиты без следов перерыва в осадконакоплении налегают образования квакерисхевской свиты (свита Квакеври). Последняя выделена Н.Б. Зассоевичем в ущ.р. Квакерисхеви (бассейн р. Иори). Она слагается зеленовато-серыми и зеленоватыми сланцевыми мергелями, известковистыми аргиллитами и кварц-аркозовыми песчаниками. В свите местами содержатся также прослои туфов. Мощность - до 40 м. Руководствуясь палеонтологическими особенностями пород при проведении нижней границы свиты часто затруднительно. В нижней половине описываемой свиты (ближе к средней части), развитой в ущ.р. Пшавис Арагви, были обнаружены представители нанопланктона зоны *Discoaster sublodoensis*. Последнюю считают самой нижней зоной среднего эоценена. В средней части найдены органические остатки зоны *Nannotetrina fulgens*. В верхних слоях присутствует комплекс зоны *Discoaster bifax*. В нижней части интервала зоны *Nannotetrina fulgens* определены мелкие фораминиферы зоны *Acarinina bulbrooki*. Наличие указанных представителей фауны и флоры указывает на среднеэоценовый возраст вмещающих их пород. Но не исключено, что нижние слои рассматриваемой свиты являются нижеэоценовыми. Наиболее полный разрез квакерисхевской свиты в бас.р. Пшавис Арагви обнажается по новой дороге Жинвали-Барисахо, примерно в 1,2 км от р. Саканапсхеви, где они принимают участие в строении фронтальной чешуи Садзегурско-Шахветильского покрова. Ими сложены также осевые части Долошской и Хевкрильской (Саканапсхевской) синклиналей.

Непосредственно выше залегают отложения ильдоканской свиты - темно-серые и коричневато-серые известковистые (иногда неизвестковистые) сланцеватые глины с прослойями аркозово-кварцевых песчаников. Глины местами битуминозные. В породах встречаются чешуи рыб. В изученных разрезах мощность свиты - до 25 м. Свита была выделена Н.Б. Зассоевичем в урочище Ильдокан. Отложения свиты на исследованной территории развиты в южной части Садзегури-Шахветильского покрова (фронтальная чешуя) вдоль Садзегури-Шахветильского надвига. Свита представляет собой стратиграфический аналог коричневато-серых мергелей эгрисской свиты грузинской части Закавказского межгорного прогиба и кофейных мергелей кумской свиты Северного Кавказа (слои с *Lugopereis caucasica*). В осадках свиты найдены (дорога Жинвали-Барисахо) мелкие фораминиферы зоны *Globigerina turcmenica* и представители нанопланктона зоны *Discoaster saipanensis*. В определении возраста этих зон важную роль играют нуммулиты (*Nummulites chavannesii*, *N. cf. orbignyi*, *N. fabiamii* и др.), найденные во многих разрезах Грузии (Салуквадзе, 1985). Нуммулитовая фауна с достаточной уверен-

ностью позволяет отнести указанные зоны по мелким фораминиферам и нанопланктону, а вместе с ними и вмещающие породы ильдокансской свиты к верхнему эоцену.

Г.П. Лобжанидзе

3.2. ОСОБЕННОСТИ ВНУТРЕННЕЙ СТРУКТУРЫ УЧАСТКА СС. МАГАРОСКАРИ-ХОМИ

На рассматриваемом отрезке развиты пелитово-песчанисто-известковистые флишевые отложения нижнего мела. Начинаются они мелтской свитой нижнего валанжина, представленной темными до черного довольно толстослоистыми (от 0,4-0,7 до 1,3-2 м) рассланцованными мергелями, с которыми обычно чередуются серые и темно-серые среднеслоистые (0,3-1,2 м) глинистые, песчанистые, мергелистые известняки и известковистые песчаники. Эти отложения, мощностью 250 м хорошо представлены у юго-западной границы с.Хоми по левобережью р.Пшавская Арагви.

Выше совершенно согласно залегает эдисская свита верхнего валанжина, сложенная темными и серыми (на выветрелой поверхности светлыми) более или менее хрупкими алевритисто-мергелистыми известняками (0,4-1,2 м), тонко- и среднеслоистыми (большей частью 0,15-0,6 м) песчанистыми известняками и известковистыми песчаниками с пакетами (от 1-3 до 15-90 см) рассланцовых глинистых мергелей и мергелистых алевролитов. В свите по характеру слоистости и литологическому составу удается различить несколько горизонтов и пачек мощностью от 15 до 50 м. Мощность всей свиты 270 м.

К породам данной свиты приурочены выходы минеральных вод гидрокарбонатного магниево-кальциевого (источники Кацалхеви, Даилааткари и др.) и хлоридно-гидрокарбонатного натриевого (источник Сунпани) состава (Чихелидзе, 1961).

На участке Кацалхеви-Вахасцикаро развиты отложения нижнего (в основном) готерива, имеющие переходный характер между подстилающими известковистыми и вышележащими терригенными осадками. Они, слагая бахансскую свиту, представлены темными слабоалевритистыми мергелями (0,2-0,7, иногда до 1,5-3 м), мергелистыми глинами, аргиллитами, серыми, относительно хрупкими мергелистыми известняками (0,1-0,5, реже до 1 м) с прослойями (1-20 см) серых, слабо полосчатых алевритистых известняков и карбонатных алевролит-песчаников. Обычно господствуют глинисто-мергелистые породы (70-80%). Местами, на различных стратиграфических уровнях свиты, выделяются относительно тонкослоистые (2-25 см) пачки, имеющие определенное значение при детальных структурно-стратиграфических исследованиях. В верхней части свиты четко выделяется 70-80-метровая пачка (горизонт) почти однообразных полосчатых глинистых и мергелистых сланцев с прослойями песчаников. Мощность свиты 330 м.

С породами данной свиты связаны выходы минеральных вод Важасцаро (состав гидрокарбонатно-хлоридный натриевый).

Вверх по разрезу отложения нижней половины готерива постепенно (увеличением количества песчаников при соответствующем уменьшении глинисто-мергелистых пород) сменяются отложениями пасанаурской свиты верхнего готерива-баррема. Эта условная граница констатируется примерно в 350 м южнее минерального источника Важасцаро. Литологически пасанаурская свита представлена главным образом серыми песчаниками и темно-серыми (до черного) сланцеватыми аргиллитами и мергелистыми глинами, реже известковыми мергелями. По характеру расслоения, мощности слоев и составу и количественному распределению пород свита далеко не однообразна. Например, в нижней части свиты песчаники в основном плагиоклазово-кварцевого состава, а в средней и верхней частях — аркозово-кварцевого. Вместе с тем, они слагают несколько маркирующих, местами довольно толстослоистых (до 4–10 м) горизонтов мощностью от 5–12 до 25–50 м, в которых аргиллиты встречаются либо в виде тонких (в основном 1–5 см) выдавленных прослоев, либо лишь в виде "смазки" между песчанистыми слоями. Наиболее мощным (40–50 м) и хорошо обнаженным является горизонт толстослоистых песчаников "Картанской скалы" (севернее с. Калило). В свите различаются также аргиллитовые и переходные пачки. В последних нередко наблюдается характерная группировка (спаривание и т.д.) песчанистых слоев. Очень часто между слоями песчаников расположены тонкослоистые (0,2–3, реже до 5–7 см) пакеты аргиллитов и глинистых алевролитов. Толщина песчанистых слоев, как правило, варьирует в пределах 0,15–1,3 м, но, как отмечалось, нередко достигает (в особенности в средней и верхней частях свиты) 3–5 и даже 7–10 м. Глинисто-мергелистые и алевритистые породы обычно тонко- и среднеслоистые (0,2–15 см, реже до 25–40 см). В аргиллитовых пачках мощность слоев аргиллитов иногда достигает 3–5 м, однако в них в подавляющем большинстве случаев замечаются тонкие глинисто-алевритистые прослойки и полоски.

Мощность пасанаурской свиты по изученному разрезу не меньше 400 м.

Выше согласно следует дгнальская свита алта, представленная в основном темно-серыми и серыми средне-толстослоистыми сланцеватыми аргиллитами, серыми тонко-среднеслоистыми большей частью мелкозернистыми слабокарбонатными слюдисто-кварц-плагиоклазовыми песчаниками и относительно реже — глинистыми мергелями. Нижняя и, возможно, средняя части свиты, мощностью 350 м, развиты от северной окраины с. Калило до р. Копчура, слагая несколько четко выраженных складок.

Отложения павлеурской свиты альба (разноцветные сланцеватые аргиллиты, мергелистые глины, мелкозернистые карбонатные песчаники), вопреки существовавшим ранее данным, непосредственно по низовым склонам ущелья Пшавской Арагви, на участке Магароскари и севернее отсутствуют.

Интересно отметить, что И.М.Карк (1914, сс.39-43), на основе своих исследований маршрутного характера, связанных с проектом Перевальной железной дороги, все отложения к северу от границы распространения верхнего мела считал юрскими, выделяя в них 4 главных литологических типа. Из описания становится ясно, что за первый тип "юрских" пород (прочные и мощные кварцитоподобные песчаники с подчиненными им темными глинистыми сланцами) И.М.Карком принимаются описанные выше альт-баррем-готеривские отложения, развитые в отрезке Магароскари-Важасциали, а под второй группой (преобладание разбитых кливажем глинистых сланцев) - осадки нижнего неокома-кимериджа, обнаженные между рр.Чарглула и Ванхеви.

На рассматриваемом участке значительно распространены верхне-четвертичные и современные образования, представленные аллювиальными, пролювиальными, аллювиально-пролювиальными, делювиальными, коллювиальными, делювиально-пролювиальными и элювиально-делювиальными накоплениями.

Из аллювиальных образований наиболее древними являются галечники первой террасы мощностью до 3 м, которые, находясь на высоте 8-10 м выше современного русла р.Пшавская Арагви, на протяжении 200м хорошо наблюдаются на ее левом берегу, в 1 км севернее мигриаулского моста шоссейной дороги. Размеры галек от единичных до 30-40 см, но в основном в пределах 5-15 см.

Галечники надпойменной террасы расположены на относительной высоте 2,5-4 м. Их останцы мощностью до 2 м замечены как на правом берегу р.Пшавской Арагви (напротив устья р.Копчура и у южного края с.Кацахеви), так и на левом - против устья р.Гомецдарициали и в с.Калило.

Широко распространены осадки пойменной террасы, в которых современное, часто меняющееся русло реки (во время наводнений) углублено на 0,35-1,4 м. Размер галечников в среднем 5-20 см, но нередко достигает и 40-70 см. По составу они главным образом песчанистые и известковистые, заполнителем служит песок и гравий.

Интенсивнее всегб накапливаются продукты, снесенные временными водотоками и склоновым смывом. Они обычно образуют конусы выноса, субаэральные (сухие) дельты и предгорные шлейфы, сложенные суглинками со щебнем и валунами, а также с подчиненным количеством супесчаного заполнителя. Обильное накопление пролювия и пролювия-аллювия мощностью до 5-12 м наблюдается в устьевых (дельтообразных) частях рр.Калилуре, Арбацхнула, Копчура, Мигриаулта, Кацахеви и др.

Делювиальные отложения развиты почти повсеместно, в основном в нижних частях склонов, а делювиально-пролювиальные накопления наблюдаются большей частью в "устьевых" участках крутых оврагов. В подножиях обрывистого рельефа (севернее с.Кацахеви и др.) встречаются образования обрушения (коллювия) и делювия-коллювия, в то время

как на относительно пологих участках склонов довольно значительно распространены элювиально-делювиальные скопления. Все эти типы склоновых накоплений мощностью от I-3 до 7-12 м представлены обломочным и валунно-обломочным материалом коренных пород с суглинистым заполнителем.

Описываемый участок по схеме тектонического районирования (И. Гамкрелидзе, 1984) входит в Шовско-Пасанаурскую подзону Местийско-Тианетской зоны Южного склона Большого Кавказа и характеризуется весьма сложной внутренней структурой, имеющей изоклинально-чешуйчатый характер с общей южной вергентностью. Осложнения разрывными дислокациями в большинстве случаев наблюдаются в опрокинутых южных крыльях антиклиналей. На морфологию и поперечные размеры складок явно влияет характер слоистости и литологического состава отложений, слагающих эти складки. В частности, пликативы первого порядка, образованные в относительно жестких породах пасанаурской свиты, имеют ширину до I-I,7 км в то время как складки того же порядка, развитые в более пластичных мергелисто-аргиллитовых кливажированных отложениях валанжин-готерива и апта, гораздо более узки и сильно осложнены более мелкими структурами шириной от 30-50 см до нескольких метров.

Далее приводится краткая характеристика структур участка в направлении с юга на север.

В окрестностях с. Магароскари и Калило выделяется достаточно крупная и сильно сжатая Магароскарская антиклиналь, свод которой четко выражен на южной окраине с. Калило, у подножья левого склона ущелья р. Пшавской Арагви. Основная часть складки сложена песчаниковыми, аргиллитовыми и переходными пачками пасанаурской свиты и лишь в северном крыле структуры частично участвуют и отложения дгнальской свиты апта. Антиклиналь асимметрична - ее южное крыло опрокинуто и падает на ССЗ-ССВ ($350-05^{\circ}$) под углом $45-85^{\circ}$. Опрокидывание постепенно усиливается в южную сторону и примерно в 500 м от гребня складки крыло разорвано крупным Магароскарским продольным нарушением взбросо-надвигового типа. По разрыву, проходящему через центр с. Магароскари (в 70 м к северу от устья левого безымянного притока) опрокинутые на юг слои песчано-алевролитов и сильно рассланцованных, почти листоватых аргиллитов баррема взброшены на перемятые и также опрокинутые на юг (аз. пад. $0-5^{\circ}$, $\angle 60-65^{\circ}$) среднеслоистые голубовато-серые слабопесчанистые мергели, зеленовато-серые мергелистые известняки и темно-серые кливажированные мергелистые глины верхней части эшмакисхевской свиты конъяк-сантона. Учитывая суммарную мощность перекрытых здесь отложений верхов баррема (около 80-100 м), апта, альба и сеноман-конъяка, стратиграфическая амплитуда смещения по данному взбросо-надвигу должна быть не менее 750 м. Несколько большим, видимо, является смещение по падению (до 1 км).

Северное крыло антиклинали, сложенное отложениями пасанаурской

и дгнальской свит общей мощностью 750 м, характеризуется нормальным залеганием и падает на север ($350-05^{\circ}$) под углом $55-80^{\circ}$.

Повсеместно наблюдаются кливаж течения в аргиллитах и мергелистых глинах и сильная трещиноватость в более жестких песчаниках. Толщина тонких сколов (микролитонов, пластинок) между плоскостями кливажа, как правило, меняется в пределах 1-2,5 мм. В обоих крыльях антиклинали кливаж падает на север и его веер реально наблюдается лишь в своде складки. Разница между простирациями кливажа и слоистости составляет 5-15, а между их углами падения - $10-30^{\circ}$.

Среди трещин чаще всего наблюдаются субмеридиональные (поперечные), близширотные (продольные) и диагональные системы, имеющие в основном крутой угол падения. Весьма характерны и пологопадающие, местами субгоризонтальные трещины северо-восточного простирания с полосками смятия и нередко признаками незначительных левосторонних сдвиговых перемещений. Довольно часто на поверхностях менее податливых (песчаниковых) слоев прекрасно сохранены следы скольжения, указывающие на относительное проскальзывание пластов в процессе складкообразования. В прослоях песчаниковых пород, заключенных между более вязкими слоями аргиллитов, иногда замечаются также пережимы, разлинование и будинаж.

На левом берегу р.Шавская Арагви, у северной окраины с.Калило (напротив устья р.Арбацхнула) в среднеслоистой пачке мергелистых известняков и расклivажированных темных мергелистых глин, по-видимому, верхов дгнальской свиты алта прекрасно вырисовывается достаточно широкая и симметричная мульда Арбацхнульской синклинали первого порядка. В 35 м южнее оси синклинали - у большого скалистого берега реки слои падают на север (05°) под углом 30° . Под таким же углом падают слои на юг в 45 м севернее оси складки, увеличиваясь далее в 35-метровом отрезке до $45-50^{\circ}$. Затем в 9-метровой пачке, обнаженной на расстоянии 25 м, наблюдаются волнообразные изгибы пластов с явлениями скручивания. Еще севернее, на расстоянии 50 м угол падения слоев постепенно уменьшается от 35 до 5° , после чего отчетливо выражен относительно широкий и округлой формы свод антиклинали. Примечательно, что если в 10 м к югу от оси антиклинали наклон поверхности напластования не более 15° , то уже в 1,5 м к северу от оси он составляет 25° , а в 10 м - 30° . Следовательно, здесь осевая поверхность складки несколько наклонена не на север, а на юг. В южном крыле антиклинали плоскости кливажа падают в противоположную слоистости сторону - на ССВ под углом $40-45^{\circ}$.

В 80 м к северу от гребня отмеченной антиклинали четко фиксируется синклинальный изгиб слоев с кливажем, падающим на север под углом 70° . В северном крыле этой синклинали на расстоянии 50 м непрерывно обнажается среднеслоистая (30-80 см) 12-метровая пачка мергелистых известняков и глинистых мергелей, полого падающая на юг

юд углом до 10° . К северу вновь устанавливается наличие антиклинальной складки, более широкое (до 350 м) северное крыло которой падает на север под углом 50 – 60° . Кливах падает в ту же сторону, но под более крутыми углами – от 65 до 80° . Это северное крыло антиклинали, наклоненное опять на север, вдоль правобережья р.Копчурा (левый приток р.Пшавской Арагви), разорвано продольным взбросо-надвигом, по которому с мергелистыми породами верхнего апта контактируют, видимо, верхи взброшенной с севера пасанаурской свиты.

Следует подчеркнуть, что как в мудье вышеописанной Арбациульской синклинали, так и в прилегающей к северу умеренно складчатой (до 45 – 60°) полосе верхнеаптских отложений, шириной 600 м, кливах характеризуется моноклинальным падением на север под углом 40 – 80° . Этот факт определенно свидетельствует о том, что на данном участке кливах не связан со складчатостью и, наверное, имеет приразрывную природу. Поскольку кливах такой категории обычно ориентирован параллельно поверхности сместителя, можно предполагать, что угол падения отмеченного Копчурского взбросо-надвига, во всяком случае в приповерхностной части, достигает 60 – 70° . Амплитуда смещения, учитывая приблизительную мощность перекрытых по линии разрыва отложений, должна быть порядка 500 м.

Выше от устья р.Копчурा, по левобережью р.Пшавской Арагви, имеющей на этом отрезке ВСВ направление, на расстоянии 400 м обнажается (почти по простирации) среднестоистая пачка аргиллитов и песчаников мощностью 40–50 м, падающая на ЮВ 145 – 165° , $\angle 30$ – 65° . Такое направление падения слоев в общем противоположно направлению наклона рельефа данной местности (Копчискари), в связи с чем здесь возможно имеет место определенное гравитационное оседание пород.

На участке устья Копчискарисгеле в пачке кирпично-красных аргиллитовых пород наблюдается антиклинальная складка, в южном крыле которой слои падают на ЮВ 160° под углом 40° , а кливах в противоположную сторону – на ССЗ 350° , $\angle 45$ – 50° . Аналогичными элементами залегания (355° , $\angle 55$ – 60°) характеризуется кливах и в северном крыле складки. Так что и здесь, видимо, развит приразрывный кливах. Свод этой антиклинали хорошо наблюдается и на правом берегу р.Арагви, в 150 м к северу от впадения в нее притока Копчурा. Однако южное крыло складки здесь опрокинуто на юг.

Чуть севернее наблюдается синклинальный перегиб, после которого по обоим склонам ущелья хорошо представлено опрокинутое на юг широкое южное крыло крупной антиклинали (Арбачханской), целиком сложенное отложениями пасанаурской свиты. Здесь в этих отложениях, видимой мощностью 370–400 м, отчетливо выделяются семь песчанистых горизонтов, имеющих мощность в нисходящем стратиграфическом разрезе соответственно I₇, I₂, 8, 20–25, 40, 8 и II метров. Самым мощным (40 м) является горизонт песчаников "Картанской скалы". Данное, опрокинутое

на юг крыло падает на север ($350-05^{\circ}$) под углом $60-85^{\circ}$. Клива падает в том же направлении, но под несколько меньшими углами – $45-65^{\circ}$. И в этом интервале разреза довольно интенсивно развиты субмеридиональная (с углами падения $75-90^{\circ}$), близширотная (обычно перпендикулярная к слоистости) и диагональная системы трещин, из-за которых породы, в том числе и толстослоистые (до 8–10 м) песчаники, разделяются на отдельные, легко оползающие блоки. По плоскостям трещин часто наблюдаются признаки скольжений и незначительных перемещений. Зеркала скольжения с царапинами замечаются и на поверхностях напластования песчаников, что достоверно свидетельствует о том, что при складкообразовании и, быть может, последующих гравитационных процессах смежные слои испытывали относительное перемещение. Подобному послойному скольжению, бесспорно, способствовало наличие прослоек пластичных пород – аргиллитов, игравших роль своеобразной смазки. Здесь же по следам слоистости на плоскостях кливажа можно заключить, что складка погружается к востоку под углом около 20° .

Песчаники "Картанской скалы", обнаженные в виде карниза высотой 7–15 м, непосредственно на берегах р.Пшавской Арагви опрокинуты на юг, в то время как восточнее, в 80 метрах – вверх по крутым левому склону реки, они имеют уже нормальное залегание – ЮВ 165° , $\angle 70^{\circ}$. Подобные явления скручивания слоев замечаются и в других местах описываемого участка.

Осьевая часть Арбачханской антиклинали проходит в 100 м к северу от "Картанской скалы" песчаников. В северном крыле антиклинали аналогии картанских песчаников зафиксированы в 150 м от ее оси. Чуть далее крыло осложнено интенсивно сжатыми синклинальной и антиклинальной складками второго порядка, а также разрывами, один из которых с приподнятым северным крылом, по-видимому, имеет значительную амплитуду.

Еще севернее, в 70 м южнее мигриаултинского шоссейного моста (через р.Арагви) фиксируется мульда синклинали, северное крыло которой вначале, имея дугообразную форму, круто падает на юг, а затем довольно быстро принимает опрокинутое на юг положение и у западного края отмеченного моста падает на север под углами $80-55^{\circ}$. Далее, после незначительного перерыва в обнажении, по обоим берегам р.Пшавской Арагви почти непрерывно обнажено тоже опрокинутое к югу крыло складки, сложенное отложениями средней и нижней частей пасанаурской свиты мощностью 410 м, в которых установлено наличие II песчаниковых горизонтов толщиной от 7 до 25 м.

На некоторых геологических картах предыдущих авторов на участке молельни Копала – вдоль ущелья р.Мигриаулта показана гребневая часть антиклинали, сложенная якобы нижнеготеривскими породами. На самом же деле, именно у русла названного правого притока р.Пшавской Арагви начинается и к северу, по правому берегу последней, на расстоянии 500 м, непрерывно обнажается нисходящий разрез опрокинутых на

юг отложений средней и нижней частей пасанаурской свиты мощностью 350 м. Продолжение в восходящем направлении этого разреза, как уже указывалось, наблюдается и к югу от р. Мигриаулта, вплоть до автодорожного моста через р. Пшавской Арагви. Так что в данном отрезке представлено лишь одно опрокинутое на юг крыло складки, ширина которого более 700 м. В этом южном крыле антиклинали горизонт, аналогичный песчаникам "Картанской скалы", обнажен в 200 м к северу от устья р. Мигриаулта. Любопытно, что на расстоянии 50 м от этого выхода песчаников наблюдается почти вертикально падающий сброс широтного простирания с опущенным северным крылом (амплитуда более 4-5 м), что явно не гармонирует с господствующим движением масс с севера на юг. Подобная "аномалия" в этом же, опрокинутом к югу крыле складки, но стратиграфически несколько выше, замечается и на левой стороне р. Пшавской Арагви. Здесь, в 450 м к северу от названного выше мигриаульского моста, вдоль шоссейной дороги низы 30-метровой пачки толстослоистых темных аргиллитов тектонически соприкасаются с верхними слоями 20-метрового горизонта среднеслоистых (5-40 см) карбонатных песчаников. Плоскость разрыва падает на север под углом 85°. Северное крыло сброса с амплитудой около 5 м опущено.

Севернее этой крупной Мигриаульской антиклинали, сложенной в сводовой части отложениями баханской свиты нижнего-среднего готериза, выделяется синклиналь, которая прекрасно выражена на правом берегу р. Пшавской Арагви (к югу от участка Важасцкаро). Здесь в непрерывном обнажении длиной 200 м крылья складки сложены одними и теми же литолого-стратиграфическими пачками. Опрокинутое на юг северное крыло падает на север под углом 60-80° (опрокидывание увеличивается вниз по разрезу) и лишь в мульде имеет нормальное залегание с аз. падения ЮЮВ 165-170°, \angle 65°. Южное крыло наклонено на ССЗ 350-360° под углом 50-60°, но вблизи оси складки угол падения слоев уменьшается до 40-30°.

На участке Важасцкаро-Кацалхеви сланцевато-мергелистые (переходные) отложения баханской свиты, видимо, слагают довольно крупные и интенсивно сжатые Важасцкарскую антиклиналь и Кацалхевскую синклиналь, осложненные интенсивной мелкой складчатостью. Например, в хорошен обнажении, начинающемся вскоре после моста через р. Чарглула, вдоль шоссе на расстоянии 125 м насчитывается 18 складок второго и третьего порядка шириной от 1 до 25 м. Аналогичная картина наблюдается также по правобережью р. Пшавской Арагви от южной окраины участка Важасцкаро до р. Кацалхеви. По наклону осевых поверхностей и крыльев эти мелкие складки меняются от прямых до сильно опрокинутых и даже лежачих. Иногда наблюдаются и внутрипластовые складочки, быстро затухающие вверх и вниз по разрезу.

из-за такого интенсивного развития мелкой складчатости установление сводовых частей главных складок весьма затруднительно. Тем не

менее, не приходится сомневаться в том, что северное крыло Важасцка-
ройской антиклинали в общем наклонено нормально (угол 40–70°), а
южное, как правило, имеет опрокинутое залегание, падая на ССЗ–ССВ
под углом 60–80°. К югу опрокинуто и северное крыло Кацаххевской си-
нклинали. Кливах все время наклонен на север под углом 65–85°.

Вдоль левобережья р. Кацаххеви, согласно имеющимся данным, про-
ходит взбросо-надвиг, по которому на опрокинутые к югу слои верхней
части переходной (баханской) свиты с севера взброшены известковые
породы эдисской свиты верхнего валанжина, также опрокинутые на юг.
В последних и частично (у северного края изученного нами отрезка)
мергелистых породах млетской свиты нижнего валанжина, слагающих вмес-
те полосу шириной 2600 м, наглядно фиксируются пять антиклинальных
и столько же синклинальных складок первого порядка. И на этом отре-
зке северные крылья антиклиналей имеют нормальное залегание с углами
наклона 25–60°, а южные – опрокинутые, падая на ССЗ–ССВ 350–30° под
углами 40–85°. Крайняя северная складка – Хомская синклиналь в севе-
рном крыле разорвана продольным взбросом с приподнятым северным кры-
лом. Кливах течения моноклинального характера – аз. падения ССЗ 350°
– ССВ 10°, угол наклона 25–80°. В более твердых породах – в песчано-
мергелистых известняках и известковистых мергелях наблюдается более
резкий и грубый кливах, падающий на СВ 20–30° под углом 65–90°. Тол-
щина пластинок меняется от 1–3 до 10–20 см. Одновременно с переходом
от более мягкой (мергелистой) к более твердой породе четко наблюда-
ется преломление кливаха.

В относительно "компетентных" слоях чрезвычайно широко распро-
странены поперечные и продольные трещины, относящиеся к разряду об-
щих или планетарных. Угол падения продольных трещин, рассекающих по-
роды в основном перпендикулярно к их напластованию, естественно, за-
висит от наклона самих слоев, в то время как поперечные (субмеридио-
нальные) трещины большей частью близвертикальны. Эти две генеральные
системы трещин и являются главным образом причиной расчленения из-
вестняково-песчанистых пород на отдельные блоки, скользящие по скло-
ну под воздействием силы тяжести.

В южной части участка (в пределах Магароскарской антиклинали)
в основном встречаются трещины типа планетарных, в то время как в
его северном отрезке – в окрестностях Важасцкаро и севернее – преоб-
ладают локально-тектонические трещины. В промежутке между ними наз-
ванные разновидности трещин распространены почти равномерно.

Анализ структурной диаграммы, отражающей тектоническую трещи-
новатость в слое слабо алевритового мергеля в нормально залегающем
южном крыле Хомской синклинали, показал, что в нем развита одна сис-
тема трещин взбросового типа и другая система, по-видимому, взбросо-
надвигового типа. Ось максимального сжатия совпадает с осью α, про-
стираясь на ССВ и имея слабый наклон на ЮЗ. Здесь же в подстилающи

слоях наблюдаются крутые диагональные трещины СВ-ЮЗ простирации сдвигового типа. Вместе с этим на поверхностях слоистости замечаются следы скольжения, указывающие на относительное сдвиговое проскальзывание слоев по их простирианию. В обнажении встречаются также слабо развитые послеэрозионные близвертикальные раскрытие трещины сбросового типа (аз. падения 105–110°), возникшие, очевидно, под влиянием силы тяжести.

Преобладанием сдвиговой и взбросо-надвиговой составляющими характеризуется также тектоническая трещиноватость на участке Важаскаро-Кацалхеви. И здесь ось максимальных палеонапряжений совпадает с осью а, имея простижение на ССВ и незначительный наклон на ЮОЗ. В этих пунктах встречаются также планетарные трещины и относительно реже поздние разгрузочные трещины.

Наличие локальных полей растягивающих напряжений устанавливается в южном опрокинутом крыле Мигриаульской антиклинали, где ось максимального сжатия простирается на ССЗ и имеет умеренный наклон на ССЗ. Впрочем, такой "аномальный" план деформации подтверждается и отмеченными выше для данного пункта малоамплитудными крутыми сбросовыми нарушениями широтного простириания с опущенными северными крыльями.

В южной призамковой части Арбацхульской синклинали, наряду с планетарными системами трещин, выявляются чаще всего локально-тектонические системы трещин сдвигового типа. Ось максимального сжатия здесь простирается в ССВ-ЮОЗ направлении и слабо наклоняется к ЮОЗ, совпадая с координатной осью а. Встречаются также системы сбросового и взбросово-надвигового типов.

Наконец, следует отметить, что местами трещиноватость, видимо обусловлена наличием отмеченных выше крупных взбросо-надвигов, являясь, следовательно, оперяющей.

Таким образом, на исследованном участке представлена полоса пелитово-известковой, пелитово-песчанистой и переходной между ними фаций нижнемёлового флиша, интенсивно смятая в серию южновергентных складок близширотного простириания. Исключение составляет приразрывная часть промежутка Арбацхула-Копчискари, где складки (во всяком случае в приповерхностной части) умеренно сжаты и слегка наклонены не на юг, а на север. На основе характера слоистости пород и их литологического состава произведено дробное расчленение отложений. Например, в пасанаурской свите выделено до 30 песчаниковых, аргиллитовых и переходных горизонтов и пачек. Внутренняя структура полосы и в особенности опрокинутые на юг крылья складок местами сильно осложнены мелкой дополнительной складчатостью и разномасштабными разрывными смещениями.

Устанавливается, что морфология и размеры складок значительно зависят от характера слоистости и литологического состава слагающих

их отложений. В частности, пликативы первого порядка, образованные в относительно пластичных породах млетской и эдисской свит валанжина, значительно уже (промежуток Кацалхеви-Хоми), чем таковые, развитые в более жестких и толстослоистых песчаниковых отложениях пасанаурской свиты (отрезок Магароскари-Мигриаулта). Зеркало складчатости в общем наклонено к югу, что проявляется и в наличии восходящего разреза нижнемелового флиша в том же южном направлении. Выясняется, что кливаж течения развит в аргиллитах и глинистых мергелях и везде, за исключением некоторых гребневых частей складок первого порядка, наклонен к северу. В крыльях Копчурского взбросо-надвига устанавливается приразрывный характер кливажа. Трещины особенно широко распространены в твердых песчанико-известняковых слоях, обуславливая расчленение последних на отдельные блоки. Преобладают системы трещин взбросо-надвигового и сдвигового разновидностей.

На новейшем этапе тектонического развития значительную роль сыграли, видимо, и конэрозионно-гравитационные явления. Что касается предполагаемого в предыдущем очерке Асса-Арагвинского "линеамента", он на участке Магароскари-Хоми ущелья р.Пшавской Арагви ничем себя не проявляет. Впрочем, по моим наблюдениям, он ничем не выражается на поверхности и на участке Таргим ущелья р.Асса.

И.П.Гамкрелидзе, Ф.Д.Маисадзе

3.3. ПОКРОВНАЯ ТЕКТОНИКА ФЛИШЕВОЙ ЗОНЫ ЮЖНОГО СКЛОНА БОЛЬШОГО КАВКАЗА

Южная часть сложно построенной Местийско-Тианетской (флишевой) зоны складчатой системы Южного склона Большого Кавказа состоит из нескольких покровных пластин (шарьяжей), представлявших ранее самостоятельные структурно-фацевальные зоны (П.Гамкрелидзе, И.Гамкрелидзе, 1977).

Вдоль ущелий Пшавской Арагви и Арагви, на территории, закартированной авторами в масштабе 1:5 000, с севера на юг выходят Навлеурский покров, Лалаурская покровная пластина Алисисгорско-Чинчвельского покрова, Садзегурско-Шахветильский покров и северная часть Жинвальско-Пховельского покрова (см.рис.33 в приложении).

Уцерско-Навлеурский покров, принадлежащий Шовско-Пасанаурской подзоне, характеризуется непрерывным разрезом глубоководных карбонатно-терригенных флишевых отложений верхней юры и мела. Здесь полностью отсутствуют датские, палеоценовые и эоценовые образования.

Алисисгорско-Чинчвельский, Садзегурско-Шахветильской и Жинвальско-Пховельский покровные пластины принадлежат Жинвальско-Гомборс-

кой подзоне, которая с аптского времени была заложена на восточном продолжении Гагрско-Джавской зоны Южного склона Большого Кавказа, вовлеченной в своей северной части в погружение флишевого прогиба и продолжавшей прогибаться почти до конца палеогена.

Алисисгорско-Чинчвельтский покров представлен почти непрерывным разрезом в основном меловых отложений от апта до кампана-дания и частично палеоценена.

Садзегурско-Шахветильский покров характеризуется своеобразными фациами и мощностями меловых отложений и присутствием флишоидных палеогеновых отложений (шахветильская, квакеррисхевская и ильдоканская свиты). Для этого покрова характерно также существование частых перерывов в осадконакоплении (перед аптом?, сеноманом, маастрихтом, палеоценом и верхним эоценом) и связанного с ними размыва кордильер, сложенных породами, типичными для Гагрско-Джавской зоны.

В структурно-фациальной зоне, соответствующей Жинвальско-Пховельскому покрову, также развивались своеобразные фации меловых и палеогеновых отложений. Характер базальных образований олистостромового типа тетрахевской (апт), укугартской (нижний сеноман), орбитоидной (маастрихт) свит и особенно верхнеэоценового дикого флиша указывает на процессы интенсивного разрушения Гагрско-Джавской кордильеры.

Отмеченные выше покровы и соответствующие им структурно-фациальные зоны в настоящее время четко разграничены надвиговыми поверхностями. Вместе с тем, наряду с чисто структурными признаками тектонического перекрытия (существование субгоризонтально залегающих покровных пластин, а также множества тектонических окон и полуокон) палеогеографическая реконструкция указывает на значительное нарушение первичного пространственного расположения отмеченных фациальных зон, которые в свою очередь в южной части полностью перекрывают крупную Гагрско-Джавскую кордильеру, питавшую обломочным материалом олистостромовые толщи флишевой зоны Южного склона (П.Гамкрелидзе, И.Гамкрелидзе, 1977).

Литостратиграфические единицы отдельных покровных пластин на исследованном участке сложены в несколько крупных и множество мелких складок и осложнены разрывными нарушениями в основном надвигового и взбросового типов.

Характеристика этих структур ниже приводится по отдельным покровам, имеющим свой стиль тектоники, за исключением молодых (постшарьяжных) разрывных нарушений, секущих различные покровные пластины.

Наиболее северный - Уцерско-Павледский покров, входящий в состав Шовско-Пасанаурской подзоны Местийско-Тиагетской зоны, характеризуется чешуйчатым строением (см.рис.33 в приложении). Сложеные нижне- и верхнемеловыми флишевыми породами крупные складки этого покрова осложнены множеством мелких складок и до-

вольно протяженными региональными надвигами и взбросами общекавказского направления. Антиклинальные складки первого порядка с размахом крыльев в несколько сотен метров сложены в ядрах большей частью нижнемеловыми, а на крыльях верхнемеловыми отложениями. Последние наиболее полно сохранены в синклинальных складках первого порядка. Все без исключения антиклинали первого порядка по южным крыльям разорваны взбросовыми и надвиговыми нарушениями, плоскости сместителей которых падают на северо-северо-восток под углом от 30 до 80°. Местами вдоль этих нарушений северные крылья синклинальных складок первого порядка полностью перекрыты и надвинутые аптские и альбовые отложения сводовых частей антиклиналей непосредственно соприкасаются с верхнемеловыми отложениями южного крыла синклинальных складок. Наряду с этим наблюдаются межформационные срывы и надвигание с севера на юг более молодых отложений на более древние.

Уцерско-Павлеурский покров с юга ограничен Уцерско-Павлеурским надвигом (I-I)¹, являющимся одним из крупных нарушений флишевой зоны Южного склона. Он обладает весьма значительной горизонтальной амплитудой, т.к., безусловно, полностью перекрывает корневые зоны расположенных южнее Алисисгорско-Чинчвельтского и Садзегурско-Шахветильского покровов. Это нарушение отчетливо фиксируется главным образом за пределами закартированной нами территории. В изученном районе оно выражено менее четко, т.к. на обоих склонах р.Пшавис-Арагви проходит внутри однообразных песчано-глинистых отложений дгнальской (апт) и павлеурской (альб) свит.

Следующая крупная структурная единица Лалаурская покровная пластина, представленная в пределах исследованного участка лишь западной своей частью, ранее считалась наиболее северной чешуйей Садзегурско-Шахветильского покрова (П.Гамкрелидзе, И.Гамкрелидзе, 1977). Однако полученные новые данные о фаунистических особенностях и мощностях слагающих ее образований и в первую очередь эшмакисхевской (сантон), джорчской (кампан) и сабуеской (маастрихт) свит, а также о структурном ее положении, позволяет отнести ее к Алисисгорско-Чинчвельтскому покрову.

Лалаурская покровная пластина сложена фактически одной складкой – Лалаурской синклиналью, представляющей собой в общем пологую чашеобразную структуру, сложенную флишевыми отложениями от альба до палеоценена включительно,² и осложненную в северной части молодыми

¹ Представляется целесообразным тектоническую поверхность в подошве шарьяжной пластины выделять по наименованиям самой пластины. Это позволяет избежать недоразумения, связанного с наименованием подошвы шарьяжа, выходящей на поверхность в тектонических окнах и по-лучоках в совершенно различных географических пунктах (П.Гамкрелидзе, И.Гамкрелидзе, 1977)

² Палеоцен обнажен в мульде этой синклинальной складки за пределами закартированной территории

постшарьяжными взбросами, а также антиклинальной и синклинальной складками северо-западного простирания, хорошо выраженными в альбских и верхнемеловых отложениях на левом склоне р.Шавис Арагви. Наряду с этим, внутри отложений южной части Лалаурской пластины в верхнемеловых средне- и тонкослоистых известняках и мергелях наблюдается множество мелких дополнительных складок и мелкоамплитудных разрывных нарушений.

Лалаурская покровная пластина снизу ограничена Лалаурским надвигом (2-2) - подошвой шарьяжа, имеющей в плане дугообразную форму и изменчивый азимут и угол падения. По западному краю Лалаурской пластины плоскость надвига падает на восток-северо-восток под углом от 10 до 30°. На этом же краю в Лалаурском покрове развито несколько дополнительных поверхностей срыва (см. карту). Элементы залегания плоскости Лалаурского надвига, а также указанных выше дополнительных поверхностей надвигания, можно непосредственно замерить вдоль новой шоссейной дороги Жинвали-Барисахо по левому склону р.Шавис Арагви. Видимая горизонтальная амплитуда перемещения по описанному шарьяжу достигает 5 км.

Следующая к югу Садзегурско-Шахветильская покровная пластина сложена, как отмечалось, флишевыми образованиями от сеномана до верхнего эоценена включительно. В пределах Садзегурско-Шахветильского покрова устанавливается несколько складок, осложненных складками второго и более высоких порядков, а также множеством чешуйчатых надвигов. Во фронтальной части Садзегурско-Шахветильского покрова развита тонкая фронтальная чешуя, почти полностью сложенная интенсивно дислоцированными палеогеновыми отложениями, представленными в типичных для этого покрова фациях. Поэтому эта чешуя считается нами частью Садзегурско-Шахветильского покрова. Фронтальная чешуя снизу ограничена Садзегурско-Шахветильским надвигом (3-3) (подошвой шарьяжа), по которому палеогеновые отложения фронтальной чешуи тектонически контактируют с различными горизонтами нависхевской свиты (альба), опрокинутой к западу и юго-западу и относящейся уже к другому, расположенному ниже Жинвальско-Шховельскому покрову (см. рис. 33). Палеогеновые отложения фронтальной чешуи образуют в общем сильно сжатую, опрокинутую пластину, по западному краю которой сохранилась линза ильдоканской свиты верхнего эоценена, в свою очередь тектонически перекрывающая очень узкую изоклинальную лежачую антиклиналь, сложенную квакеврисхевской свитой среднего эоценена. Последняя образует самостоятельную тонкую тектоническую пластину. Все эти соотношения хорошо наблюдаются вдоль шоссейной дороги Жинвали-Барисахо по левому склону р.Арагви, напротив с.Жинвали, а также в ущ.р.Балахиантгеле (Тамарисхеви). В крайне южной части изученного участка, на обоих склонах р.Саканаписхеви (левый приток р.Арагви) фронтальная чешуя Садзегурско-Шахветильского покрова представлена изоклинальной,

опрокинутой на юго-запад синклиналью, сложенной в ядре шахветильской свитой палеоценена, а на крыльях верхнемеловыми (маастрихтскими и датскими) отложениями.

Фронтальная чешуя Садзегурского-Шахветильского покрова по Балахианскому надвигу (4-4) перекрывается навтишевской свитой и более молодыми - верхнемеловыми свитами южного крыла Хевкильской (Саканаписхевской) синклиналии, относящейся к более верхней Долошской чешуе Садзегурского-Шахветильского покрова.

Балахианский надвиг представляет собой сочетание двух поверхностей срыва. Первая из них прослеживается к северу от р. Балахиантгеле по обоим берегам р. Пшавской Арагви, перекрывается очень интересным нарушением сдвиго-надвигового типа, которое отчетливо прослеживается на всем протяжении от р. Саканаписхеви до р. Лалаура (левого притока р. Пшавской Арагви). На этом отрезке хорошо видно перекрывание навтишевской (альб), укугартской (нижний сеноман) и ананурской (верхний сеноман-нижний турон) свитами сильно перемятых и опрокинутых на юг отложений палеоценена, а в южной части - маастрихта и дания фронтальной чешуи. Здесь же хорошо наблюдаются дополнительные межформационные срыва: с одной стороны между эшмакисхевской и маргалитисидской свитами, в результате чего местами последняя выпадает из разреза и эшмакисхевская свита надвинута на ананурскую, с другой стороны - между ананурской (верхний сеноман-нижний турон) и укугартской (нижний сеноман) свитами, что обуславливает выклинивание последней на правом склоне р. Саканаписхеви. Затем, к северу от р. Балахиантгеле, Балахианский разрыв становится секущим. По этому нарушению, непосредственно наблюдаемому вдоль новой шоссейной дороги, на левом склоне р. Пшавской Арагви и падающему на Ю-ЮВ 90-120°, 20-30°, отчетливо виден разрыв и смещение складок Садзегурского-Шахветильского покрова к юго-западу (см. рис. 33). К северо-востоку описываемый сдвиго-надвиг уходит под Лалаурский надвиг и, следовательно, Лалаурскую покровную пластину.

В пределах Долошской чешуи Садзегурского-Шахветильского покрова устанавливаются две крупные (Хевкильская и Долошская) синклинальные складки и разделяющая их Бодавская синклиналь. Все эти складки изоклинальной формы и опрокинуты к западу-юго-западу. Мульда Хевкильской синклиналии выполнена палеогеновыми отложениями, осложненными мелкой складчатостью (шахветильская и квакеррисхевской свитами). В северном крыле этой синклиналии хорошо наблюдается также сильно сжатая и опрокинутая антиклиналь второго порядка, прослеживаемая от западного склона г. Бодави, вплоть до ущ. р. Бодависхеви (правого притока р. Саканаписхеви), которая находится уже за пределами закартированной нами территории. В глубоких оврагах левого притока р. Арагви и правого притока р. Саканаписхеви в ядре этой складки узкой полосой обнажаются известняки и мергели сабусской свиты маастрихта, несогласно

перекрыты кремнистой пачкой квarterской свиты дания с конгломератами в основании.

Ось Хевкильской синклинали на левом склоне р.Пшавской Арагви разорвана и смешена описанным выше Балахинским сдвигом. Ее смещение северо-западное продолжение наблюдается и на правом склоне р.Пшавис Арагви, где северное крыло Хевкильской синклинали перекрыто молодым (постшарьяжным) Лалаурским взбросо-надвигом (5-5), по которому надвинуто южное крыло следующей к северу Бодавской антиклинали. Восточнее, на левом берегу это же нарушение перекрывает Лалаурскую покровную пластину и прослеживается вдоль ущ.р.Лалаура, а затем через водораздельный гребень рр.Лалаура и Бодависхеви. По этому нарушению хорошо видно смещение меловых и палеогеновых флишевых толщ Лалаурской пластины.

В ядре Бодавской антиклинали на правом берегу р.Пшавской Арагви обнажены аргиллиты и мергели навтисхевской свиты альба. Надвинутое южное ее крыло сложено верхнемеловыми породами от сеномана до сантон-а включительно, а северное крыло по молодому (постшарьяжному) надвигу (6-6) полностью перекрыто датскими и палеоценовыми отложениями Долошской синклинали. Последняя сложена в ядре квакеврисхевской свитой нижнего-среднего эоцена и сильно осложнена дополнительной складчатостью. Многочисленные мелкие складки, развитые в палеогеновых отложениях этой складки, хорошо видны в северо-западной части исследованного участка, вдоль новой шоссейной дороги, следующей по правому склону р.Пшавской Арагви из с.Тваливи в с.Лауша.

Юго-восточное продолжение Долошской синклинали, уже по другую сторону Лалаурской покровной пластины, хорошо наблюдается за пределами рассматриваемого участка в верховьях р.Бодависхеви (И.Гамкрелидзе и др., 1982, 1985).

На правом склоне р.Пшавис Арагви северное крыло Долошской синклинали срезано еще одним молодым надвигом – Недзиjsким (7-7), который отчетливо фиксируется на обоих склонах ущелья Пшавской Арагви. На правом склоне хорошо видно надвигание сабуесской свиты маастрихта на палеогеновые (шахветильская и квакеврисхевская свиты) отложения опрокинутого к югу крыла Долошской синклинали. На левом берегу надвинутым по этому нарушению является сложно построенный комплекс Садзегурско-Шахветильского покрова, сложенный породами от альба до сантон-а. Здесь это нарушение пересекает и Лалаурскую покровную пластину. В результате этого разорванной и смешенной к юго-востоку оказывается подошва Лалаурского покрова.

К северу от Долошской синклинали, на правом склоне р.Пшавской Арагви следуют сильно деформированные верхнемеловые флишевые отложения, образующие в общем две синклинальные и разделяющие их антиклинальные складки, осложненные множеством мелких складок, хорошо наблюдаемых вдоль новой шоссейной дороги к югу от с.Надзихи. Судя по

выходу аналогичных пород по другую сторону Лалаурского покрова, за пределами закартированного участка, их следует отнести к наиболее северной, т.н. Надзихско-Пудзнарской чешуе Садзегурско-Шахветильского покрова, перекрытой в большей своей части Лалаурской покровной пластиной.

Наиболее южный Жинвальско-Пховельский покров, узкой полосой обнажающийся в юго-западной части закартированного участка, представлен опрокинутым южным крылом Ананурской антиклинали. Северное крыло складки полностью перекрыто Садзегурско-Шахветильским надвигом. Южное крыло упомянутой складки представлено здесь терригенной навтишевской свитой, тектонически контактирующей с ананурской свитой сеномана. Это нарушение (8-8), перекрывая укугмартскую свиту, в общем следует по границе двух свит. Однако в южной части, на левом берегу р.Арагви им захвачен клин известняков орбитоидной свиты маастрихта, которая трансгрессивно налегает на ананурскую свиту.

Заканчивая на этом описание исследованных шарьяжных структур, следует отметить, что ведущим механизмом образования описанных шарьяжей является интенсивное боковое сдавливание складчатой системы Большого Кавказа, обусловленное главным образом продвижением к северу и пододвиганием под нее жесткой Грузинской глыбы, что вызвало образование множества пологих наклоненных к северу поверхностей скольжения, по которым и перемещались пластины горных пород различной величины.

На активное пододвигание Грузинской глыбы под образующуюся складчатую систему Южного склона указывает постепенное сокращение амплитуды перемещения отдельных пластин с юга на север, а также явление перекрывания - "запечатывания" более северными шарьяжами уже сорванных и надвинутых южных шарьяжей. В частности, Алисисторско-Чинчвельский шаряж перекрывает уже надвинутые Жинвальско-Пховельскую и Садзегурско-Шахветильскую шарьяжные пластины. Уцерско-Павлеурский шаряж, в свою очередь, перекрывает на западе Алисисторско-Чинчвельский и зону его корней.

4. ТРЕЩИННАЯ ТЕКТОНИКА, СЕЙСМОТЕКТОНИКА И ИНЖЕНЕРНАЯ ГЕОЛОГИЯ МЕЗОЗОЙСКО-КАЙНОЗОЙСКИХ ОТЛОЖЕНИЙ АССА-АРАГВИНСКОГО ПЕРЕСЕЧЕНИЯ БОЛЬШОГО КАВКАЗА

И.П.Гамкрелидзе, Т.В.Гиоргобiani, А.И.Кавелашвили,
З.А.Кокрашвили, Г.П.Лобжанидзе, О.Д.Хуцишвили, Г.А.Чихрадзе

4.1. ТРЕЩИННАЯ ТЕКТОНИКА АССА-АРАГВИНСКОГО ПЕРЕСЕЧЕНИЯ БОЛЬШОГО КАВКАЗА

Коллективом авторов проведена детальная трещинная съемка в основных литостратиграфических и структурных единицах различных тектонических зон Асса-Арагвинского пересечения Большого Кавказа. Полученный в результате этой съемки фактический материал (более 35 000 замеров) позволил определить во многих точках исследованной полосы направление осей главных нормальных напряжений и установить поле тектонических палеонапряженй.

Трещинная съемка, построение и анализ структурных диаграмм проводились методом Р.Адлера и др. (R. Adler et al., 1965), усовершенствованным И.П.Гамкрелидзе (1976).

Краткое описание методики исследования

Основой исследования трещинной тектоники горных пород является статистическая съемка, заключающаяся в массовых замерах пространственного положения различных структурных элементов (плоскостных и линейных) с помощью горного компаса. Однако при изучении структурных элементов помимо пространственной ориентировки во внимание принимаются и другие признаки. В частности, для тектонических поверхностей – морфологические особенности и характер перемещения (в случае наличия следов перемещения на их поверхности элементы залегания штрихов скольжения и т.д.), степень раскрытия, характер заполнения инородным материалом, присутствие воды и т.д. Таким образом, при структурном анализе большей частью имеет место комбинированное использование статистики направлений и признаков.

Статистические наблюдения могут осуществляться только для гомогенных, т.е. структурно однородных участков, которые должны изучаться раздельно.

Простейшим методом последующей обработки и анализа исходных статистических данных является их графическое изображение с помощью структурных диаграмм. В структурном анализе используется азимутальная равноплощадная картографическая проекция, позволяющая пространственное, т.е. трехмерное представление пространственно-статистических закономерностей в расположении структурных элементов. Используется как полярная (нормальная), так и экваториальная (поперечная)

сетка азимутальной проекции (сетка Шмидта). Линия полюсов системы координатных линий экваториальной сетки с линией полюсов нормальной сетки образует угол 90° .

При анализе структурных диаграмм, наряду с различными структурными элементами (с малоамплитудными разрывами, трещинами и т.д.), на них изображаются складки и их элементы (крылья, оси и осевые плоскости), а также плоскости кливажа.

Особое значение при структурных исследованиях имеет установление и изображение на диаграмме осей складок. Ось складки представляет собой линейный структурный элемент и может быть выражена на сетке Шмидта точкой ее пересечения с полусферой. Проекция этой точки изображается символом В.

Для установления оси складки, кроме плоскостей слоистости, может быть использована также комбинация неоднородных структурных элементов, в частности плоскости слоистости и кливажа осевой плоскости, положение линий пересечения которых приближается к положению оси складки.

На структурной диаграмме с помощью полюсов плоскостей слоистости можно найти положение не только оси, но и осевой плоскости складки.

Следует отметить, что в некоторых случаях, особенно когда обнаружено лишь одно крыло складки, приблизительное расположение осевой плоскости складки можно найти с помощью кливажа осевой плоскости.

Для того, чтобы разобраться в закономерностях пространственно-го расположения различных структурных элементов и провести соответствующий анализ структурных диаграмм, следует иметь представление о симметрии, характеризующей структурные формы различного масштаба.

Как известно, большинство пород земной коры характеризуется существованием в них более или менее упорядоченных деформационных структур. В природных условиях в деформационных структурах структурные элементы часто расположены симметрично относительно некоторых трех взаимно перпендикулярных главных направлений. Исходя из этого, для описания закономерностей пространственного расположения строящих структуру элементов, как и в кристаллографии, в структурном анализе можно применить сравнительную координатную систему abc, к которой могут быть привязаны различные плоскостные и линейные структурные элементы. Это наряду с возможностью сравнения областей структур различного порядка, позволяет также дать генетическую характеристику отдельных структурных элементов, например, различных трещин и разрывов в складчатой структуре. Только таким путем возможны структурный анализ структур различного порядка и их суммирование.

При рассмотрении координатной системы abc в микроструктурах принимается, что ось a отвечает направлению "тектонического транспорта" и вместе с осью c расположена в плоскости деформации ac

или в плоскости симметрии.

При рассмотрении макроструктур упрощенно можно принять, что структурные оси взаимно перпендикулярны и их положение соответствует положению осей главных нормальных напряжений σ_1 , σ_2 и σ_3 . Ось σ_1 большей частью совпадает с осью В и, соответственно, σ_2 . Однако замена сравнительных координатных осей а, б, с с осями σ_1 , σ_2 и σ_3 требует тщательного анализа особенностей расположения в пространстве и генезиса структурных элементов.

Плоскости ab, ac и bc в общем представляют собой плоскости главных нормальных напряжений, и их положение потенциально соответствует положению трещин и других плоскостей отрыва и сплющивания. Эти плоскости параллельны двум координатным осям и секут третью ось. Трещины скальвания и другие тектонические поверхности подобного происхождения секут две координатные оси и параллельны одной из них.

Плоскости общего положения, секущие все координатные оси, как и в кристаллографии, обозначаются hkl . Плоскости скальвания, секущие две оси, обозначаются как плоскости okl , hol и hko . Естественно, что плоскости, секущие одну из координатных осей, представляют плоскости 001 (ab), $h00$ (bc) и $0k0$ (ac).

Для большей объективности из анализа структурных диаграмм с самого же начала следует исключить те структурные элементы, образование которых не связано с рассматриваемым актом деформации горных пород. Таковыми, в первую очередь, являются первичные додеформационные поверхности планетарных трещин, которые, как выяснилось в последнее время, широко развиты не только в платформенных, но и в складчатых областях (И. Гамкрелидзе, 1972). Выделение этих трещин при достаточном опыте исследователя возможно уже в полевых условиях. Однако часто эти трещины все-таки изображаются на структурных диаграммах и поэтому становится необходимым их исключение из статистического анализа. К сожалению, в настоящее время при детальном структурном анализе все еще делаются далеко идущие заключения о генезисе различных трещин, о связи их со складчатыми и разрывными нарушениями, об их возрастных взаимоотношениях и об ориентации осей главных нормальных напряжений на структурных диаграммах без всякого учета существования первичных планетарных трещин, не связанных с локальными деформациями горных пород.

Следует принять во внимание, что при восстановлении древнего поля тектонических напряжений мы довольствуемся лишь установлением ориентации главных осей напряжений, так как вследствие неоднородности пород невозможно определить даже относительную величину напряжений, действующих в том или ином направлении.

- В природных условиях линия пересечения двух сопряженных систем скальвания совпадает с осью промежуточных главных нормальных напряжений σ_2 . В большинстве случаев положение оси σ_2 совпадает с по-

ложением оси складок β и, соответственно, координатной оси b . В этом случае основной задачей является определение положений осей β_3 и β_1 .

Установление положения осей β_3 и β_1 , возможно лишь на основании нахождения направления истинного перемещения по поверхностям скальвания, т.е. на основании нахождения квадрантов сжатия и расширения. Нетрудно увидеть, что для нахождения ориентировки осей напряжений в данном случае необходимо установить направление перемещения хотя бы по одной системе плоскостей скальвания.

Таким образом, на основании установления направления перемещения по плоскостям скальвания мы можем показать на диаграмме положение осей β_1 , β_2 и β_3 . В частности, если перемещение по плоскостям скальвания hol взбросового характера, тогда ось β_3 совпадает с координатной осью a , а β_1 — с осью c . Если плоскости hol представляют собой плоскости сброса, тогда ось β_3 будет идентичной оси c , а β_1 — оси a . Определение положений осей β_1 , β_2 , β_3 возможно также с помощью плоскостей скальвания hko . Если они представляют собой плоскости сдвига и в тех квадрантах, созданных этими плоскостями, в которых биссектрисой является координатная ось a относительное перемещение вдоль этих плоскостей направлено внутрь, тогда ось a является одновременно осью β_3 . Ось β_2 в этом случае совпадает с координатной осью c , а ось β_1 с осью b . Однако в случае, если на диаграмме одновременно выражены плоскости hol и hko с перемещением, направленным внутрь, исходя из того, что общее удлинение в этом случае все-таки преобладает в вертикальном направлении, ось наибольшего растяжения β_1 следует считать идентичной оси c , а оси β_2 и β_3 , соответственно, — b и a .

Результаты трещинной съемки и поле тектонических палеонапряженений

Проведенные исследования по трещинной тектонике Асса-Арагвинского пересечения Большого Кавказа полностью подтвердили мнение о том, что подавляющее большинство (более 80%) всех трещин, развитых в юрских, меловых и палеогеновых отложениях Южного склона Большого Кавказа, представляет собой перпендикулярную к напластованию трещиноватость, не приуроченную к локальным тектоническим деформациям и относящуюся к разряду планетарной (И. Гамкрелидзе, 1972, 1976). Как было отмечено, при установлении пространственно-статистических закономерностей распределения структурных элементов различных деформационных структур из анализа следует полностью исключить повсеместно развитые планетарные трещинны.

При изучении трещинной тектоники Большого Кавказа благоприятной для детального структурного анализа оказалась лишь область раз-

вития относительно пластичных толщ нижне-среднеюрских песчано-глинистых и позднеюрско-нижнемеловых глинисто-мергелистых флишевых отложений, в которых, наряду с общей (планетарной) трещиноватостью, широко развиты и локально-тектонические трещины и мелкоамплитудные разрывные нарушения. Ниже в качестве примера приводится описание и анализ двух структурных диаграмм, построенных в плинсбахских песчаниках и сланцах (рис.34).

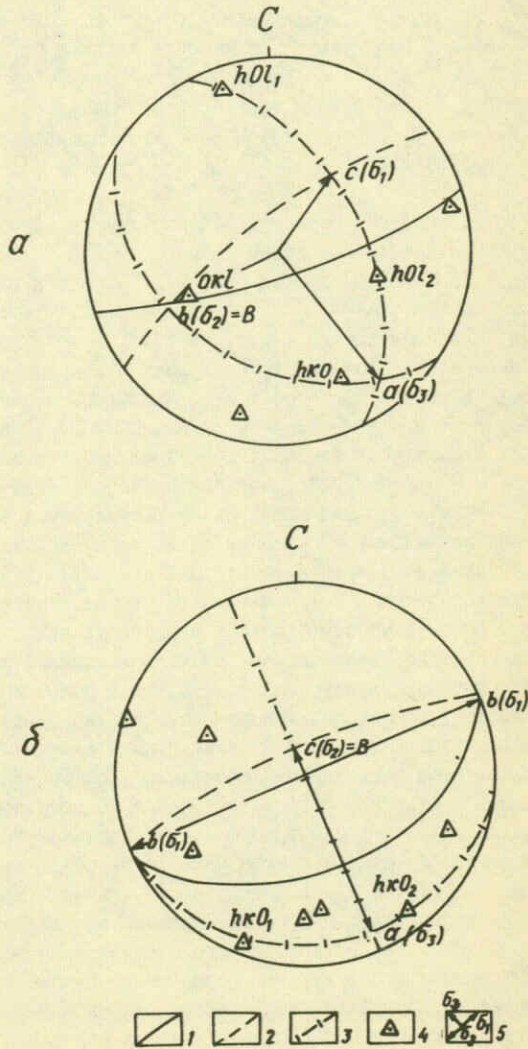


Рис.34. Структурные диаграммы, составленные в результате замеров трещин в плинсбахских отложениях.

Большие круги: 1 - плоскости слоистости, 2 - плоскости кливажа, 3 - плоскости ab , ac и bc (зональных кругов), 4 - максимумы плоскостей трещин, 5 - направление осей главных нормальных напряжений

Диаграмма а (рис.34)

Чередование глинистых сланцев и тонкослоистых (5-9 см) песчаников (верхний плинсбах). Азимут падения пород СЗ 340-350°, \angle 75-80°, плоскости кливажа с азимутом падения ЮВ 140-150°, \angle 75°. Крыло складки. На участке развиты две системы взбросовых трещин (h_{ol_1} , h_{ol_2}): одна система сдвиговых трещин (h_{ko}) и одна система сбросовых трещин (ok_1). Характер деформации взбросовый. Ось максимального сжатия σ_3 совпадает с координатной осью а, ось σ_2 с осью в и ось σ_1 с осью с. Наблюдаются также одна система трещин неизвестного генезиса, не связанных с отмеченным планом деформации, и одна система первичных (планетарных) трещин. Ось минимальных главных нормальных напряжений σ_3 простирается в СЗ-ЮВ направлении и слабо наклонена к северо-западу.

Диаграмма б (рис.34)

Глинистые сланцы с редкими тонкими прослойками алевролитов, сечущихся диабазовой дайкой мощностью 2 м (нижний плинсбах). Азимут падения пород СЗ 340°, \angle 40-50°. Плоскости кливажа с азимутом падения ЮВ 160°, \angle 75-80°. Крыло складки. На участке развиты две системы сдвиговых трещин (h_{ko} , h_{ko_2}). Характер деформации сдвиговый. Ось максимального сжатия σ_3 совпадает с координатной осью а, ось σ_1 с осью в и ось σ_2 с осью с. Наблюдаются также шесть систем трещин неизвестного генезиса, не связанных с отмеченным планом деформации. Ось минимальных главных нормальных напряжений σ_3 ориентирована в СЗ-ЮВ направлении и слабо наклонена к северо-западу.

Рассмотрение общей схемы расположения в пространстве осей главных нормальных напряжений вдоль Асса-Арагвинского пересечения, полученной на основании анализа отдельных структурных диаграмм (с общим количеством 74) показывает, что залегание осей напряжения σ_2 и σ_3 большей частью близко к горизонтальному. Вместе с тем оси σ_2 как правило, имеют простириания, совпадающие с простириением локальных складчатых структур, которые здесь в общем имеют необычное общекавказское, а восточно-северо-восточное направление. Оси минимальных нормальных напряжений (максимального сжатия) σ_3 имеют поперечное к складчатым структурам направление и слабо или умеренно наклонены большей частью к юго-востоку. Однако по ущ.р.Асса, на участке от развалин сел.Пуй до северного портала Архотского тоннеля оси σ_3 почти всюду имеют слабый наклон на северо-запад. Этот участок расположен уже в северном крыле антиклиниория Главного хребта Большого Кавказа и указанный наклон осей σ_3 отражает его веерообразное строение.

Из всего вышесказанного следует, что ведущая роль в формировании основных структурных форм Южного склона Большого Кавказа принадлежит горизонтально направленным сжимающим усилиям. Подобный характер деформации пород подтверждает и изучение характера первичной

(планетарной) трещиноватости, являющейся, как известно, индикатором испытанных породами движений (кинематики деформации) (И. Гамкрелидзе, 1972). В частности, наблюдения показали, что плоскости планетарных трещин механически активны, и движения по ним играют значительную роль в деформации пород. Эти движения особенно ярко проявлены в относительно компетентных известняковых толщах верхнемелового флиша Местийско-Тианетской зоны и верхней юры и нижнего мела Внешней зоны Горного Дагестана. Здесь разгрузка тектонических палеонапряжений почти полностью происходит за счет подвижек по поверхностям планетарной трещиноватости и крупных разрывных нарушений (надвигов и взбросов). Признаки перемещения здесь были обнаружены по планетарным трещинам всех направлений. При этом наиболее отчетливо выражены движения по сравнительно глубоким (секущим несколько слоев или пачек) трещинам, но подвижки наблюдаются и по трещинам, не выходящим за пределы отдельных слоев. Вместе с тем, по трещинам северо-западного и северо-восточного направлений обнаружены лишь сдвиговые перемещения. Эти перемещения, указывающие на дифференциальные горизонтальные движения деформируемых пород также наиболее очевидны для сравнительно глубоких трещин.

Перемещения наблюдаются также по трещинам субширотного простирания, совпадающим в общем с простиранием складок. Почти во всех случаях они указывают на движения взбросового характера. Местами эти трещины с перпендикулярными им плоскостями послойного скольжения на крыльях складок образуют как бы сопряженную систему скальвания.

В процессе деформации на крыльях складок часто изменяется и первичная ориентация планетарных трещин относительно плоскостей слоистости. В частности, наблюдается сгашивание первоначально прямых углов между ними, направленное всегда в сторону восстания слоев. На диаграммах это выражается в некотором смещении наружу максимумов тех планетарных трещин, которые примерно параллельны простиранию пород. Это явление вызвано действием пары сил при относительном проскальзывании слоев во время складчатости и дает некоторые указания о характере последней.

Приведенные выше данные о характере движения по плоскостям планетарных трещин также свидетельствуют о господстве сил горизонтального сжатия при формировании основных структурных форм Южного склона Большого Кавказа.

Что же касается отклонения почти всех складчатых структур от обычного общекавказского направления и в связи с этим разворота против часовой стрелки частных планов деформации почти на всех структурных диаграммах Асса-Арагвинского пересечения, то это, по-видимому, следует связать с функционированием в позднеальпийское время (после раннего плиоцена) субмеридионального разлома, представляющего собой крупный левосторонний сдвиг в фундаменте мегантиклиниория Большо-

го Кавказа, с которым связан региональный поперечный флексураобразный изгиб складчатой структуры мегантиклиниория в плане, особенно четко выраженный в нижне- среднеюрских отложениях. Амплитуда суммарного смещения, судя по ступени изгиба, достигает 5 км (Гиоргобиани, Закарая, 1982).

Особый интерес представляет рассмотрение современного поля напряжений района Асса-Арагвинского пересечения Большого Кавказа.

На основании стандартной методики П.О.Джиджеишвили и Р.Л.Шавишвили (1984) были изучены механизмы очагов землетрясений разного энергетического диапазона с глубиной от 10 до 25 км, расположенных в области Асса-Арагвинского линеамента. В результате была построена геокинематическая модель, этого района. Рассмотрение этой модели показывает, что от с.Кавтисхеви до г.Анхой Мартан протягивается единая Асса-Арагвинская система ныне живущих разрывных нарушений в фундаменте Мегантиклиниория Большого Кавказа, разделяющая его на два блока, западный из которых испытывает смещение к западу и юго-западу.

С.И.Кулошвили

4.2. СЕЙСМОТЕКТОНИЧЕСКИЕ УСЛОВИЯ АССА-АРАГВИНСКОГО ПЕРЕСЕЧЕНИЯ БОЛЬШОГО КАВКАЗА

Активное проявление тектонических процессов в исследованном регионе, особенно на новейшем этапе развития, обусловило и его значительную сейсмическую активность. Землетрясения, являющиеся одним из показателей современной тектонической подвижности земной коры, как правило, не встречаются изолированно, а группируются в линейно-вытянутые зоны и пояса, очерчивающие отдельные блоки и глыбы. Поскольку границами этих блоков и глыб являются глубинные разломы и другие крупные разрывы, сейсмичность оказывается генетически связанный с указанными дизъюнктивными структурами земной коры. Поэтому задачей сейсмотектонического районирования по геологическим данным является выделение и изучение активных разрывов и их систем (сейсмоактивных зон) и их качественная дифференциация по степени их сейсмической опасности. Для их количественной оценки геологические данные дополняются материалами сейсмостатистики и теоретическими сейсмологическими расчетами.

Разрывные нарушения. В пределах рассматриваемой территории развито огромное количество тектонических нарушений разрывного характера. Разрывы эти широко варьируют как по размерам, ориентировке, времени заложения, так и по морфологии, кинематике и механизму их образования.(рис.35).

Из весьма большого числа разрывных нарушений, развитых в пре-

делах рассматриваемой территории, ниже дается описание глубинных разломов, а также региональных и наиболее крупных локальных разрывов с уже установленной сейсмичностью или являющихся потенциально сейсмоопасными, которыми определяется сейсмический режим и распределение сейсмичности этой сложно построенной части Кавказа.

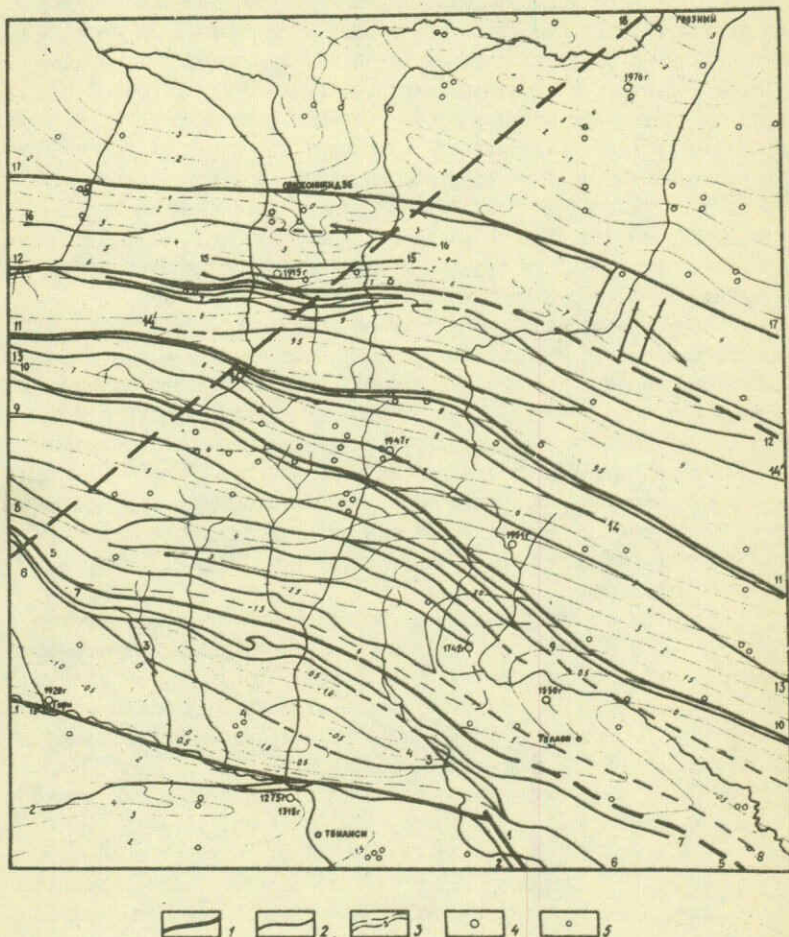


Рис. 35. Сейсмотектоническая схема Акра-Арагвинского пересечения Кавказа.

1 - глубинные разломы; 2 - прочие разрывные нарушения; 3 - амплитуда суммарных вертикальных движений в км за неотектонический этап (верхний сармат-антропоген); 4 - эпицентры землетрясений с магнитудой более 5,5; 5 - с магнитудой от 4 до 5,5

Северный разлом Аджаро-Триалетской складчатой системы (I) представляет собой разлом глубинного заложения на границе Аджаро-Триалетской складчатой системы и Закавказской межгорной впадины. Наличие этого разлома, проходящего примерно вдоль долины р. Куры, устанавливается по комплексу стратиграфических, структурных и геофизических данных. В частности, зона разлома сопровождается полосой повышенных градиентов силы тяжести, что подтверждает глубинный характер разлома. Поверхностным выражением этого разлома является система взбросовых и надвиговых нарушений, падающих как на север, так и на юг. Среди этих разрывов одним из наиболее крупных является Саскорский надвиг (2), осложняющий северное крыло Мцхетской антиклинали. Вдоль плоскости Саскорского надвига, падающей на юг под углом 60–70°, отложения палеогена Триалетского хребта надвинуты на миоценовые образования южного борта Карталинской впадины.

В центральной части Карталинской впадины в направлении с ЮВ на СЗ протягивается крупный Бицмендский надвиг (3). На СЗ этот разрыв сопрягается с ответвлением Душетского надвига, а на ЮВ уходит в пределы Кахетии. Плоскость надвига падает на СВ под углом 55–60°. Бицмендский надвиг осложняет южные крылья цепочки покровных антиклиналей Карталинской депрессии и, по-видимому, образовался на заключительной стадии формирования этих структур. Амплитуда его составляет не менее нескольких сот метров, поскольку по разрыву отложения сарматского яруса приходят в соприкосновение с образованиями миоплиоцена.

На правом берегу р. Арагви от Бицмендского разрыва ответвляется Ахатанский надвиг (4), осложняющий южное крыло Чопортской антиклинали. Разрыв в плане имеет форму крутой дуги с выпуклостью на север. Как показали данные бурения, надвиг имеет весьма значительную амплитуду – около 1400 м. В восточном направлении надвиг быстро затухает в отложениях миоплиоцена.

Границей между Закавказской межгорной впадиной и складчатой системой Южного склона Большого Кавказа является Южный глубинный разлом Флиша (5). Этот разлом устанавливается в первую очередь на основании сопоставления разреза флишевой зоны Большого Кавказа с разрезом мезокайнозоя межгорной впадины. Наличие разлома подтверждается также геофизическими данными, согласно которым разлом пересекает всю земную кору, достигая мантии.

На поверхности шовная зона Южного разлома флиша имеет очень сложное строение. Как показали исследования П.Д. Гамкрелидзе и И.П. Гамкрелидзе (1977), этот разлом на большей части перекрыт шарьяжными пластинами флишевых толщ Южного склона. С юга и севера от главного разрыва выявлены разломы, ограничивающие шовную зону. Этими разрывами являются: с юга – Душетский (6) и Орхевский

28

(7), а с севера - Ильдоканский (Уцеро-Палеурокий) (8), ✓✓
по И.П. Гамкрелидзе.

Душетский и Орхевский разрывы представляют собой крутые надвиги (взбросы), падающие на север. Плоскости этих разрывов имеют наклон $50-60^{\circ}$ у поверхности и, по-видимому, уплощаются с глубиной. Что [?] ^{уменьш.} касается северного Уцеро-Палеурского разрыва, то он представляет собой типичный надвиг, местами очень пологий, по которому флишевые толщи Шовско-Пасанаурской подзоны Местийско-Тианетской зоны надвинуты на наиболее северные покровы фронтальной, Гомборско-Жинвальской подзоны.

Большое количество разрывов отмечено в пределах самой Шовско-Пасанаурской подзоны. В подавляющем большинстве это крутопадающие надвиги ($45-70^{\circ}$), осложняющие южные крылья опрокинутых и изоклинальных складок с движением масс в южном направлении. Большинство разрывов - локального характера и протягиваются на несколько километров, либо на первые десятки километров.

Наиболее крупным из них является Магароскарский надвиг (9), имеющий региональное значение. По этому надвигу, прослеживаемому на расстояние почти 100 км (от бассейна р. Лиахви до верховьев р. Алазани, где разлом скрывается под четвертичными образованиями Алазанской впадины) отложения средней и верхней юры надвинуты на породы нижнего мела. Плоскость разлома падает на север под углом около 70° .

С севера флишевый бассейн Южного склона ограничен Гебиско-Лагодехским разломом (10), имеющим общекавказское значение и ограничивающим флишевый бассейн на всем его протяжении - от Верхней Сванетии до р-на г. Шемахи на Юго-Восточном Кавказе (протяженностью более 500 км). Разлом устанавливается по комплексу стратиграфических и структурных данных, а также хорошо выражен геоморфологически в виде крутого надвига с падением плоскости сместителя на север $70-80^{\circ}$, по которому на отложения карбонатного флиша верхней юры надвинуты с севера сланцы и песчаники Казбегско-Лагодехской зоны. Линия разрыва в бас. рр. Терека и Арагви сопровождается огромным количеством выходов минеральных источников, впервые описанных В.П. Ренгартеном. Этот исследователь указал также на значительные тектонические воздействия в зоне разрыва, выражавшиеся в сильном раздроблении, смятии и изменении пород.

Крупный глубинный разлом проходит по границе Южного склона и осевой зоны Большого Кавказа. Этот глубинный разлом выражен очень четко на поверхности геологически и геоморфологически в виде одной из наиболее крупных разрывных структур Кавказа - Главного надвига Большого Кавказа (II). Заложение разлома относится скорее всего еще к герцинской стадии развития. На заключительных этапах альпийского цикла по плоскости этого разлома, круто падающего на север, происхо-

а почему же "Буронско-Ларского"? Верх до сих пор обозначено как "Гебеко-Ларское" и т.д. А восточе, "Бурон-Ларского" обозначено как "Гебеко-Ларское"?

дит надвигание ядра мегантиклиниория на сланцевые толщи южного склона. Вертикальная амплитуда весьма значительна и составляет несколько километров.

Главный надвиг является южным ограничением антиклиниория Большого Кавказа. С севера он ограничен другим глубинным разломом, известным в литературе под названием Бурон-Ларского (12). На поверхности линия этого разлома выражена в виде пологого надвига, падающего на север.

Глубинный характер его подтверждается стратиграфическими и структурными данными. Кроме того, к линии разлома приурочены месторождения и проявления рудных полезных ископаемых, в связи с чем Г.Д.Ахгирей (1962) считает, что разлом может иметь первостепенное металлогеническое значение.

Среди многочисленных разрывов в пределах зоны ядра Большого Кавказа следует отметить два крупных крутых разрыва (13 и 14), по которым происходит обособление антиклиниориев Водораздельного и Бокового хребтов с расположенным между ними грабенообразным Бежетинским синклиниорием.

Широким развитием разрывных нарушений характеризуется зона северного склона Большого Кавказа, поскольку здесь дислокациям подвергаются главным образом жесткие карбонатные породы. Однако, как правило, разрывы малоамплитудны и небольшой протяженности. Большинство разрывов широтного простирания, плоскости их полого падают на север с отчетливо выраженным движением масс в южном направлении.

Наиболее крупный в области Скалистого хребта Бензиникортский взброс (15) прослеживается в междуречье Терека и Ассы более чем на 40 км. По взбросу северное крыло антиклинали приподнято и надвинуто на южное крыло синклинали. Плоскость взброса падает на север под углом 70° и с глубиной, по-видимому, выполняется (Коваленко и др., 1979).

Амплитуда взброса в междуречье Терек-Асса составляет 600-800 м, постепенно уменьшаясь до 100-200 м к востоку от долины р.Ассы.

Вдоль периферии северного крыла Большого Кавказа протягивается Ардон-Самурский (Владикавказский) глубинный разлом (17). Его поверхностным выражением в междуречье Терека и Ассы является, по-видимому, Ушкортский взброс (16). Разрыв этот в пределах Пастбищного хребта четко фиксируется тектоническим контактом разновозрастных пород юры и мела. Падение плоскости взброса на север под углом $60-65^{\circ}$, который с глубиной выполняется. Амплитуда смещения по р.Аске достигает 1300-1500 м, снижаясь до 800-1000 м в долине р.Камбилиевка. Еще далее на запад Ушкортский взброс скрывается под чехлом четвертичных отложений Тарской впадины.

Все описанные выше разрывы имеют "общекавказское", северо-запад-юго-восточное, либо широтное простирание и являются, таким обра-

зом, продольными по отношению к простиранию основных геотектонических зон и отдельных структур Большого Кавказа. Кроме них, в пределах рассматриваемой территории Кавказа предполагается наличие разломов и других направлений - в первую очередь субмеридионального и северо-восток-юго-западного простирания. Наиболее крупный из них - Казбек-Цхинвальский глубинный разлом (18) - расположенный в зоне Транскавказского поперечного поднятия. В отличие от продольных глубинных разломов, Казбекско-Цхинвальский разлом не сопровождается поверхностными разрывами и его наличие устанавливается по косвенным данным, главным образом по расположению центров молодого вулканизма и характеру проявления сейсмичности. По мнению Е.Е.Милановского, тектоническая активность Казбек-Цхинвальского разлома и особенно его отрезка, пересекающего Большой Кавказ, возрас-тала в течение всего антропогена, о чем свидетельствует постепенное проявление вдоль него все новых вулканических центров и возникновение в зоне разлома в позднем плейстоцене Тарской, Верхнетерской и Кельской наложенных впадин. Вместе с тем, по данным И.В.Ананьина, зона Казбек-Цхинвальского разлома характеризуется значительным поглощением сейсмической энергии.

Наличие разлома субмеридионального направления предполагается вдоль ущелья р.Ассы (Шеничный и др., 1973; Коваленко и др., 1979). Основанием для выделения Ассинского поперечного разлома явилось, в первую очередь, положение и конфигурация локальных аномалий силы тяжести, указывающих на левостороннее сдвиговое смещение блоков фундамента. По мнению некоторых исследователей, Ассинский разлом является звеном крупного Асса-Арагвинского ли-неамента, установленного при дешифровании космических снимков (Копп, Расцветаев, 1976 и др.).

Новые соображения о геологической природе Ассинского поперечного линеамента, полученные на основании детальных структурных иссле-дований (Гиоргобиани, Закарая, 1982), содержатся в настоящем сборнике.

Новейшие движения. На новейшем этапе (верхний сармат-антропоген) рассматриваемая территория, как и весь Кавказ в целом, характеризуется резкой активизацией процессов складкообразования, горообразования и вулканизма. Рубеж миоцена и плиоцена рассматривается бо-льшинством исследователей как начало неотектонического (или поздне-орогенного) этапа на Кавказе.

Согласно воззрениям, основанным на концепции тек-tonики плит, активизация тектонических (включая, по-видимому, и сейсмические) и вулканических процессов на Кавказе хорошо увязывается со взаимодействием Африкано-Аравийской и Евразиатской литосферных плит (Казъмин, 1974). Это взаимодействие на неотектоническом этапе обусловило утолщение земной коры на Кавказе, интенсифи-

? Onas

кацию процессов складко- и надвигообразования, формирование высокогорного рельефа. Эти процессы, имея непрерывно-прерывистый характер, особенно усиливаются в эпохи фаз тектогенеза, причем основными фазами для рассматриваемой территории явились аттическая (предплиоценовая), роданская (среднеплиоценовая) и валахская (предплейстоценовая). В результате этих процессов, в течение неотектонического этапа было сформировано сложно-построенное складчато-сводово-блоковое поднятие Большого Кавказа и ограничивающие его с севера и юга компенсационные впадины. Сводово-блоковое строение, обусловленное широким развитием разломов, выражается рядом структурных ступеней (блоков), последовательно вздымающихся от периферии в сторону осевой зоны. По существу тектонические зоны и подзоны представляют собой отдельные ступени сводово-блокового поднятия, ограниченные друг от друга крутыми разломами земной коры. Каждая ступень (блок) характеризуется сходным геологическим строением и испытывает более или менее однородные по характеру и величине неотектонические деформации (см. рис. 35).

Расположение зон интенсивных деформаций, разломов и флексур обычно унаследовано от более древних структур и свидетельствует о длительном существовании блоковой структуры земной коры и сети долгоживущих глубинных разломов.

Амплитуда новейших движений на Большом Кавказе оценивалась многими исследователями, причем полученные величины разнятся в довольно значительных пределах. Так, Е.Е.Милановский (1968) величину суммарных поднятий для осевой зоны в междуречье Терека и Аргуна с конца миоцена оценивает в 4–4,5 км. В.А.Расторгова (1973), с учетом денудационного среза, получила значительно большие значения новейших поднятий. Согласно полученным ею данным, эти поднятия только за четвертичный период составили: для осевой зоны – 6–7 км, для южного и северного склонов – около 5 км и для предгорий – около 2 км. По мнению В.А.Расторговой эти цифры дают лишь приблизительное представление о размахе новейших поднятий, поскольку денудационный срез не поддается пока точной оценке.

Полученные нами данные (Цагарели, Кулошвили, 1977, 1984), также с учетом размытого слоя, несколько отличаются (в меньшую сторону) от данных В.А.Расторговой, хотя и значительно превосходят значения, полученные Е.Е.Милановским. Согласно нашим данным, осевая зона Большого Кавказа, заключенная между Главным надвигом и Бурон-Ларским разломом, испытала за весь неотектонический этап поднятие в 8,5–9,5 км, а с конца плиоцена – около 4 км.

Более низкими ступенями, ограничивающими осевое поднятие с севера и юга являются соответственно Североюрская депрессия и Казбегско-Чагодехская зона. Первая занимает более низкое положение в современном рельефе Кавказа и характеризуется новейшими поднятиями в 5–7 км (2,5–3 км за антропогеновый период). Что касается Казбегско-Ла-

годесской зоны, то она представляет четко выраженную ступень, испытавшую воздымание в 7–8 км за неотектонический этап и в 3 км – за четвертичный период. А.Л.Цагарели (1980) показал консервационный характер ограничивающих эту ступень глубинных разломов, свидетельствующий о том, что движения по ним проходили на фоне формирования современного тектоно-эрзационного рельефа.

Следующая к югу ступень соответствует Шовско-Пасанаурской подзоне Местийско-Тианетской зоны карбонатно-терригенного флиша верхней оры и мела. Эта широкая ступень пологого наклонения на юг испытала новейшие поднятия от 6 км на севере до 3 км на юге. Соответствующие воздымания с конца позднего плиоценена составляют 3 и 2 км. Более мелкими разломами регионального и локального характера Шовско-Пасанаурская ступень расчленяется на отдельные небольшие блоки.

На северном склоне данной ступени соответствуют моноклинали Скалистого хребта и Черных гор, где размах неотектонических движений начиная с верхнего сармата, по данным С.И.Дотдуева (1975), составляет 2–4 км.

Хинвальско-Гомборская подзона (Кахетинско-Лечхумский шов) отделяет область воздымания Большого Кавказа от межгорной впадины, характеризующейся более сложной историей новейших движений. На первой стадии (верхний сармат – верхний плиоцен) здесь преобладали нисходящие движения, причем ось прогиба была отодвинута к его северному борту, с образованием частного, Ленингори-Базалетского прогиба. Здесь прогибание за указанный промежуток времени составило 1,5–2 км, уменьшаясь до 0,5 км у южного борта межгорной депрессии. На заключительной стадии неотектонического этапа (верхний плиоцен–антропоген) территория межгорного прогиба, оставаясь областью относительного погружения, испытывает слабые и умеренные абсолютные воздымания порядка 1,5–0,8 км.

Аналогичная картина наблюдается и в пределах крайней северной части рассматриваемой территории, относящейся к южному борту Терско-Сумского прогиба. Интенсивное прогибание, начавшееся здесь еще в олиоцене, постепенно замедляется на позднеорогенном этапе (в связи с общим воздыманием Большого Кавказа) и сменяется с конца плиоценена понижениями с амплитудой около 1 км. На фоне общего абсолютного воздымания, приведшего к формированию невысокого хребта Черных гор, в качестве области относительного и абсолютного погружения обособляется (в большая Тарская котловина, выполненная мощной толщей (до 150–180 м) четвертичных образований.

Сейсмогенные зоны и сейсмотектоническое районирование. Прежде чем перейти к характеристике сейсмоопасных зон, коротко остановимся на принципах их выделения, поскольку, несмотря на огромное число работ, посвященных этой важнейшей проблеме сейсмотектоники, до настоящего времени не существует достаточно четких и общепринятых критери-

ев для выделения этих зон и определения их сейсмического потенциала

а) Сейсмогенная зона не обязательно связана с молодым разломом. Напротив, в складчатых областях, подобных Кавказу, образование новых разломов при землетрясениях происходит весьма редко. Как правило, сильные землетрясения возникают в результате подвижек по древним, длительно живущим разломам глубокого заложения, разделяющих участки с различным геологическим строением и историей.

б) Высокая сейсмичность не всегда и неизбежно связана с контрастностью движений, поэтому неизбежна и прямая зависимость между сейсмичностью и градиентами скоростей неотектонических движений.

в) Глубинные разломы, даже характеризующиеся единой историей развития, обладают различной сейсмичностью на различных отрезках. Определяющим здесь, по-видимому, является структурно-неотектоническое положение разломов по отношению к полю региональных напряжений, характерных для каждого конкретного региона.

г) Различные типы разрывов неравнозначны и в отношении сейсмоопасности. Как известно, значение разрыва как генератора землетрясений определяется возможностью накопления в его плечах упругих напряжений. Эта возможность определяется, в свою очередь, сцеплением блоков в плоскости смесятеля. С этой точки зрения наиболее опасными в отношении сейсмичности являются сдвиги, особенно при больших углах между простиранием разлома и направлением действующих сил. Затем, по степени опасности идут взбросы и крутопадающие надвиги. При пологих надвигах нормальные к смесятелю горизонтальные усилия обычно невелики, и упругие напряжения разрешаются частыми срывами в виде многочисленных, небольшой силы толчков. Наименее благоприятные условия для накопления напряжений имеют место в условиях растяжения при образовании сбросов.

д) Важным признаком для отнесения разлома или его фрагмента к сейсмоопасной зоне является охват этого разлома изосейстой максимальной балльности известного землетрясения.

е) В качестве геоморфологического признака сейсмичности разлома нужно отметить наличие тектонических уступов, формирующихся вдоль зоны надвигов, взбросов и сбросов. Величина этих уступов на Кавказе измеряется метрами и первыми десятками метров. Образование этих уступов, по нашему мнению, не связано с резкими движениями при сильных землетрясениях, а свидетельствует лишь о продолжающейся жизни разломов.

В соответствии с изложенными принципами в пределах рассматриваемой территории выделен ряд зон с различной степенью сейсмической опасности. Ниже приводится их краткая характеристика, причем номер сейсмоопасных зон соответствуют номерам разломов, их обусловивших.

I) Сейсмогенные зоны I порядка

(с потенциальной сейсмичностью до 9 баллов).

Сюда в первую очередь относятся сейсмоопасные зоны Главного надвига (II) и Гебско-Лагодехская (IO). По комплексу геолого-геоморфологических данных обе эти зоны являются одними из наиболее сейсмоопасных на Большом Кавказе, что подтверждается также данными сейсмостатистики. К зоне Главного надвига на Западном Кавказе приурочен очаг одного из наиболее сильных землетрясений этого региона - Чхалтинского, 1963 г. Что касается Гебско-Лагодехской зоны, то с ней в пределах рассматриваемой территории связано несколько землетрясений магнитудой более 5,5. Плейстосейстовая область Верхнеалазанского землетрясения 1951 г., по данным М.М.Рубинштейна (1957), вытянута в СЗ направлении и южнее г.Б.Борбalo совпадает с линией разлома. С обеими зонами, кроме того, связано большое количество землетрясений с магнитудами от 4 до 5,5.

К этой же категории нами относятся Бурон-Ларская сейсмоопасная зона (I2). Хотя геолого-геоморфологические признаки здесь изучены еще недостаточно, тем не менее можно констатировать, что по своему структурному положению она аналогична зоне Главного надвига. Кроме того, к этой зоне в междуречье рр.Ассы и Терека приурочено одно землетрясение с $M > 5,5$ и ряд землетрясений с $M \sim 4-5,5$.

К сейсмоактивным зонам I порядка относится и поперечная Казбег-Цхинвальская зона (I8). Поскольку обуславливающий ее разлом на поверхности не выражен, оценка этой зоны проводится в первую очередь по сейсмологическим данным. К этой зоне, приуроченной к полосе Транскавказского поперечного поднятия, приурочены сейсмоактивные Грозненский и Приказбекский районы. В Грозненском районе зафиксирован ряд землетрясений с $M \sim 4-5,5$ и одно с $M > 5,5$. Еще более высокой сейсмичностью характеризуется Приказбекский район. Данные о динамических параметрах в очагах ряда землетрясений этой полосы показали, что простирание разрывов в очагах имеет СВ-ЮЗ направление, а сами подвижки имеют либо чисто сдвиговый характер, либо значительную сдвиговую составляющую (Гоцадзе, 1957). Кроме того, на продолжении Казбег-Цхинвальской зоны к юго-западу, несколько кулисообразно к ней, расположена субмеридиональная сейсмоактивная зона Джавахетского нагорья, характеризующаяся землетрясениями силой до 9 баллов.

2) Сейсмогенные зоны II порядка (с потенциальной сейсмичностью до 8 баллов). К ним относятся Владикавказская сейсмоопасная зона (I7) и зона Южного разлома флиша (7). Владикавказская зона, совпадающая с северной границей альпийского складчатого сооружения, характеризуется значительной подвижностью на современном этапе и к ней приурочено большое количество землетрясений силой в 7 баллов и более ($M \sim 4-5,5$).

Меньше макросейсмических данных имеется в отношении зоны Южно-

го разлома флиша в пределах рассматриваемой территории. Однако структурные и геоморфологические признаки этого разлома, а также многочисленные землетрясения, приуроченные к этой зоне в более восточных районах (Кахети и Азербайджан) дают основание для ее отнесения к сейсмоопасным зонам II порядка.

Несколько неясна потенциальная сейсмичность зоны Северного разлома Аджаро-Триалетской системы (I). Этот разлом, как отмечалось выше, установлен по комплексу геолого-геофизических данных; геоморфологические признаки, свидетельствующие о его современной активности, выражены нечетко. Число землетрясений, связанных с этой зоной также невелико, хотя два из них достигают очень большой силы (M 5,5). Первым из них является историческое Мцхетское землетрясение 1275 года, при котором был разрушен храм. Сила этого землетрясения определяется в 8 баллов, однако к этой оценке надо подходить осторожно, тем более, что отсутствуют свидетельства о проявлении этого землетрясения в близлежащих населенных пунктах (в частности, в Тбилиси).

Более надежным свидетельством является Горийское землетрясение 1920 года, имевшее в эпицентральной области силу не менее 8 баллов. Это землетрясение скорее всего обусловлено своим положением на пересечении Северного разлома Аджаро-Триалетии с меридиональным Абуль-Самсарским разломом. Во всяком случае, Л. К. Конюшевский, обследовавший последствия Горийского землетрясения, отмечает образование меридиональных сбросов амплитудой "несколько сажен". Таким образом, на большей своей части, и в частности, в пределах рассматриваемой полосы, Северный разлом Аджаро-Триалетской системы, по нашему мнению, должен оцениваться как зона 8-балльных землетрясений.

3) Сейсмогенные зоны III порядка (с потенциальной сейсмичностью до 7 баллов). Зоны этой категории связаны с крупными поверхностными региональными и локальными разрывами. Длина этих зон измеряется первыми десятками километров, глубина — несколькими километрами. В связи с небольшой глубиной проникновения этих разломов, очаги связанных с ними землетрясений являются приповерхностными (не глубже 10 км, обычно же 3–5 км). Поэтому сотрясения даже сильных землетрясений, охватывают небольшие площади. К этой категории относятся Бицмендская (3), Магароскарская (9), Бенши-Икортская (15) сейсмоопасные зоны, а также зоны, связанные с разломами, ограничивающими Бежетинский грабен (I3 и I4).

Таким образом, по геологическим данным, дополненным данными сейсмостатистики, рассматриваемая территория расположена в пределах зон 9 и 8-балльной сотрясаемости. Первая зона охватывает в основном осевую часть Главного хребта, имея юго-восток-северо-западное простирание. В районе Казбеги контур этой зоны принимает северо-восточную ориентировку, включая в себя землетрясение 1976 года

тот субмеридиональный изгиб 9-балльной зоны, несомненно, связан с расположением Казберг-Цхинвальского разлома.

Вся остальная территория расположена в пределах 9-балльной зоны, причем эта сотрясаемость определяется как местными землетрясениями, так и транзитными сотрясениями, обусловленными наиболее сильными землетрясениями из соседних зон (в первую очередь из области Главного хребта и Джавахетского нагорья).

О.В.Куцнашвили

4.3. ИНЖЕНЕРНО-ГЕОЛОГИЧЕСКИЙ АНАЛИЗ И ОЦЕНКА ФИЗИЧЕСКОГО СОСТОЯНИЯ И ПРОЧНОСТНЫХ СВОЙСТВ МЕЗОЗОЙСКО-КАЙНОЗОЙСКИХ ОБРАЗОВАНИЙ АССА- АРАГВИНСКОГО ПЕРЕСЕЧЕНИЯ БОЛЬШОГО КАВКАЗА

В ущельях рр.Ассы и Арагви развиты разнообразные по возрасту, остатку, свойствам и мощности горные породы. По физико-механическим свойствам и строительным качествам их можно разделить на пять групп: кальные, полускальные, несвязные, связные и породы особого состава, состояния и свойств. Из них наиболее широко развиты скальные и полукальные породы. К ним относятся глинистые и аспидные сланцы, песчаники, диабазы, известняки, доломиты, мергели, алевролиты, аргиллиты, гриллитоподобные глины и др. юрского, мелового и третичного возраста. Эти породы распространены в основном в высокогорной части района, в зонах Антиклиниория Главного хребта Большого Кавказа и его северном и южном склонах.

Как видно из табл.I2, наиболее прочными являются песчаники нижнеюрского возраста, развитые в ущелье р.Ассы, прочность которых в воздушно-сухом и водонасыщенном состоянии, соответственно, составляет 211 и 163 МПа при коэффициенте вариации 0,1 и 0,18. Такими же высокими значениями показателей отличаются нижнемеловые (барремские) палеоценовые песчаники, для которых предел прочности в воздушно-сухом и водонасыщенном состоянии, соответственно, составляют 161, 58 и 142, 160 МПа при коэффициенте вариации 0,002-0,36 и 0,14-0,1. Реди песчаников наиболее низкими значениями прочностных свойств отличаются эоценовые песчаники с прочностью образцов 52-65 МПа. Песчаники среднеюрского возраста по прочностным свойствам занимают промежуточные положения. Для этих пород предел прочности воздушно-сухих образцов колеблется в пределах от 147 до 100 МПа при коэффициенте вариации 0,51-0,59.

Довольно высокими значениями прочностных свойств обладают также широко распространенные в исследованном районе такие породы, как

Таблица 12

Обобщенные статистические характеристики физико-механических свойств скальных и полускальных пород Большого Кавказа в ущельях рр. Ассы и Арагви

Наименование пород и их индекс	Плотность г/см ³	Плотность минеральных частиц г/см ³	Пористость %	Водопогло- щение %	Прелел про- чности при сжатии МПа	Коэффици- ент раз- магнитения
I	2	3	4	5	6	7
<u>I. Северный склон Большого Кавказа</u>						
Глины аргиллитоло- дообные, песчанистые К ₁ а + ал	2,38 <u>0,03</u> 77	2,63 <u>0,02</u> 69	9,7 <u>0,43</u> 69	-	15,4 <u>0,43</u> 34	-
Алевролиты К ₁ а + ал	2,43 <u>0,03</u> II	2,65 <u>0,01</u> II	8,1 <u>0,37</u> II	4,65	123 <u>0,20</u> 6 46 <u>0</u> I	-
Известники К ₁ V	2,59 <u>0,04</u> 9	2,66 <u>0,01</u> 8	2,4 <u>1,59</u> 8	1,38 <u>1,66</u> 7	77,1 <u>0,3</u> 9 64,8 <u>0,52</u> 8	-
Песчаники извест- ковые К ₁ Br	2,56 <u>0,05</u> 5	2,66 <u>0,02</u> 5	3,4 <u>0,02</u> 5	1,16 <u>1,03</u> 4	79,9 <u>0,15</u> 1 63,7 <u>0,10</u> 4	-

Песчаник I_1^t	(3)	2,64 $\frac{0,00}{2}$	2,69 $\frac{0,00}{2}$	1,8 $\frac{0,00}{2}$	0,30 $\frac{0,52}{2}$	2II $\frac{0,1}{2}$	-
Песчаник I_1^t	(I)	2,62 $\frac{0,003}{7}$	2,69 $\frac{0,003}{7}$	2,4 $\frac{0,19}{7}$	0,26 $\frac{0,35}{7}$	187 $\frac{0,17}{7}$	0,92 $\frac{0,1}{7}$
Известники I_3^0		2,58 $\frac{0,04}{40}$	2,78 $\frac{0,02}{40}$	6,8 $\frac{0,51}{40}$	1,03 $\frac{0,40}{40}$	98 $\frac{0,22}{40}$	0,89 $\frac{0,30}{40}$
2. Антиклинальный главный хребет Большого Кавказа							
Диабазы (штольни №1, скв. №2 и №3) $I_1^p - p_1^2$		2,76 $\frac{0,02}{10}$	2,88 $\frac{0,02}{10}$	4,8 $\frac{0,35}{10}$	0,12 $\frac{0,41}{10}$	143 $\frac{0,14}{10}$	0,83 $\frac{0,04}{10}$
Песчаники (скв. 5) $I_2^a_2 - b_2$		2,62 $\frac{0,02}{7}$	2,73 $\frac{0,07}{7}$	3,2 $\frac{0,29}{7}$	0,21 $\frac{0,70}{7}$	162 $\frac{0,22}{7}$	0,91 $\frac{0,87}{7}$
Песчаники (скв. 13, 14 и 15) $I_2^a_2 - b_2$		2,63 $\frac{0,03}{9}$	2,73 $\frac{0,04}{9}$	3,0 $\frac{0,24}{9}$	0,15 $\frac{0,15}{9}$	139 $\frac{0,04}{9}$	0,96 $\frac{0,03}{9}$

I	2	3	4	5	6	7
Десчаники (штольня №2) I _{2a2} - bt	2,67 0,01 25	2,73 0,01 25	1,8 0,49 25	0,23 0,24 25	133 0,14 25	0,89 0,08 25
Алевролиты (штольня №2) I _{2a2} -	2,66 0,01 12	2,70 0,15 12	3,0 0,61 12	0,17 0,18 12	110 0,19 12	0,80 0,14 12
Аспидные сланцы (штольня №1) I _{1P2}	2,67 0,03 10	2,82 0,02 10	5,2 0,34 10	0,27 0,48 10	84 0,25 10	0,85 0,14 10
Аспидные сланцы I _{1P1} - P ₁ ²	2,67 0,03 23	2,79 0,02 23	4,6 0,40 23	0,09 0,66 23	60 0,28XXX 23	0,80 0,14 10
Глинистые сланцы I _{2a2} - bt	2,62 0,03 5	2,78 0,02 5	5,4 0,52 5	0,21 0,24 5	112 0,10X 5	0,86 0,96 5
Глинистые сланцы (штольня №2) I _{2a2}	2,70 0,03 22	2,8 0,02 22	3,8 0,44 22	0,49 0,66 22	61 0,24 22	0,74 0,20 22

Глинистые сланцы (скв. №4)	2,71 <u>0,01</u> I2	2,83 <u>0,02</u> I2	4,1 <u>0,21</u> I2	0,23 <u>0,34</u> I2	42 <u>0,14</u> I2	0,76 <u>0,22</u> I2
Глинистые сланцы (скв. №1). $I_2^{a_2}$ (а - с)	2,73 <u>0,01</u> I6	2,81 <u>0,01</u> I6	2,9 <u>0,04</u> I6	0,87 <u>0,26</u> I6	35 <u>0,26</u> xxx I9	0,59 <u>0,19</u> I9
Глинистые сланцы (скв. №3, I4, I5) $I_2^{a_2}$ - bt	2,65 <u>0,02</u> I7	2,76 <u>0,06</u> I7	3,7 <u>0,30</u> I7	0,25 <u>0,14</u> I7	14 <u>0,23</u> xxx I7	0,85 <u>0,10</u> I7
3. Складчатая система Южного склона Большого Кавказа.						
Алевролиты $I_2^{a_2}$ (I)	2,59 <u>0,02</u> I6	2,78 <u>0,01</u> I6	5,8 <u>0,46</u> I6	0,19	<u>246</u> I53	-
Песчаники $I_2^{a_2}$	2,63 <u>0,02</u> I6	2,74 <u>0,01</u> I6	3,7 <u>0,52</u> I6	0,35 <u>0,75</u> I6	147 <u>0,51</u> I6 I17 <u>0,37</u> I6	1,04 <u>0,46</u> I3
Песчаники $I_2^{a_2}$ (2) $I_2^{a_2}$ (3)	2,63 <u>0,02</u> I7	2,74 <u>0,02</u> I7	4,0 <u>0,41</u> I7	0,15 <u>0,24</u> I7	100 <u>0,59</u> I7 95 <u>0,32</u> I6	1,06 <u>0,36</u> I6

I	2	3	.4	5	6	7
Песчаники $I_2^{\text{a}_2}$	2,61 <u>0,01</u> 3	2,73 <u>0</u> 3	4,4 <u>0,15</u> 3	0,69 <u>0,43</u> 3	60 <u>0,43</u> 3	I,46 <u>0,31</u> 3
Гравелины $I_3^0 - t$	2,64 <u>0,01</u> 5	2,73 <u>0,01</u> 5	4,1 <u>0,25</u> 5	0,19 <u>1,18</u> 4	64 <u>0,30</u> 4	I,43 <u>0,28</u> 4
Мергели I_3^0	2,59 <u>0,02</u> 13	2,74 <u>0,01</u> 6	5,5 <u>0,34</u> 6	1,18 <u>0,85</u> 9	129 <u>0,21</u> 6	I,04 <u>0,15</u> 5
Мергели I_3^0	2,61 <u>0,01</u> 4	2,75 <u>0,01</u> 4	5 <u>0,27</u> 4	0,56 <u>0,80</u> 3	91 <u>0,42</u> 4	I,13 <u>0,39</u> 3
Мергели K_1^b	2,62 <u>0,02</u> 19	2,76 <u>0,01</u> 19	5,1 <u>0,42</u> 19	0,29 <u>0,90</u> 17	82 <u>0,32</u> 19	0,98 <u>0,13</u> 17
Известняки K_1^b	2,64 <u>0,01</u> 9	2,73 <u>0,01</u> 9	3,4 <u>0,34</u> 9	0,19 <u>0,61</u> 8	120 <u>0,30</u> 9	I,02 <u>0,16</u> 7

Известняки I_3^0 ₂ - t	2,60 $\frac{0,01}{8}$	2,75 $\frac{0,01}{8}$	5,2 $\frac{0,26}{8}$	0,28 $\frac{0,73}{7}$	116 $\frac{0,07}{4}$	1,05 $\frac{0,18}{3}$
Известняки I_3^0 ₁	2,63 $\frac{0,01}{4}$	2,72 $\frac{0,01}{4}$	3,1 $\frac{0,35}{4}$	0,23 $\frac{0,81}{4}$	106 $\frac{0,48}{4}$	1,31 $\frac{0,41}{4}$
Глинистые сланцы I_2^a ₂ (1)	2,58 $\frac{0,05}{18}$	2,75 $\frac{0,01}{18}$	6,2 $\frac{0,40}{18}$	0,92 $\frac{0,55}{4}$	121 $\frac{0,02}{2}$	0,82 $\frac{0,31}{2}$
Песчаники $K_1 b$ ²⁻³	2,69 $\frac{0,02}{7}$	2,72 $\frac{0,01}{7}$	4,5 $\frac{0,42}{7}$	0,13 $\frac{0,58}{6}$	158 $\frac{0,36}{7}$	0,91 $\frac{0,18}{6}$
Песчаники $K_1 g$ ₃ + br ¹	2,64 $\frac{0,01}{3}$	2,73 $\frac{0,01}{3}$	3,5 $\frac{0,19}{3}$	0,12 $\frac{0,83}{2}$	136 $\frac{0,22}{3}$	1,04 $\frac{0,04}{2}$
Песчаники $K_1 b$ ₂ ²⁻³	2,61 $\frac{0,01}{9}$	2,64 $\frac{0,07}{9}$	3,3 $\frac{0,41}{9}$	0,16 $\frac{0,50}{9}$	134 $\frac{0,20}{8}$	0,92 $\frac{0,18}{9}$

I	2	3	4	5	6	7
Песчаники $K_1 g_{1-2}$	2,62 $\frac{0,00}{2}$	2,72 $\frac{0,02}{2}$	3,6 $\frac{0,48}{2}$	0,35 $\frac{0,23}{2}$	89 $\frac{0,10}{2}$	-
Песчаники $K_1 b$ (1)	2,62 $\frac{0,01}{6}$	2,74 $\frac{0,02}{6}$	4 $\frac{0,44}{6}$	0,45 $\frac{1,20}{6}$	65 $\frac{0,32}{6}$	0,95 $\frac{0,16}{4}$
Мергели $K_1 b$	2,61 $\frac{0,01}{6}$	2,75 $\frac{0,01}{6}$	5,1 $\frac{0,16}{6}$	0,82 $\frac{0,80}{3}$	48 $\frac{0,55}{3}$	0,91 $\frac{0,48}{3}$
Мергели $K_1 g$	2,62 $\frac{0,01}{7}$	2,76 $\frac{0,01}{7}$	5,6 $\frac{0,38}{7}$	0,63 $\frac{1,38}{3}$	41 $\frac{0,04}{3}$	-
Аргиллиты $K_1 br_{2-3}$	2,63 $\frac{0,01}{5}$	2,76 $\frac{0,01}{5}$	4,7 $\frac{0,30}{5}$	0,40 $\frac{0,31}{5}$	-	-
Аргиллиты $K_1 g_{1-2}$	2,63 $\frac{0,01}{4}$	2,75 $\frac{0,02}{4}$	4,4 $\frac{0,20}{4}$	0,39 $\frac{0,18}{4}$	-	-
Песчаники P_1	2,71 $\frac{0,003}{2}$	2,82 $\frac{0,01}{2}$	4 $\frac{0,18}{2}$	0,24 $\frac{0,09}{2}$	161 $\frac{0,002}{2}$	-
					142 $\frac{0,14}{2}$	

Песчаники $K_2 S_1$	2,58 <u>0,02</u> 8	2,68 <u>0,02</u> 8	4,1 <u>0,30</u> 8	0,40 <u>0,68</u> 8	I2I <u>0,21</u> 5	
Песчаники карбонатные P_{1+2} (IV)	2,72 <u>0,01</u> 4	2,74 <u>0,01</u> 5	0,7 <u>0,67</u> 4	0,16 <u>0,53</u> 4	52 <u>0,38</u> 2	0,98
Песчаники $K_1 al$	2,66 <u>0,00</u> 2	2,72 <u>0,01</u> 2	3,7 <u>0,20</u> 2	0,61 <u>0,20</u> 2	—	—
Известники P_1	2,74 <u>0,01</u> 4	2,85 <u>0,01</u> 4	4 <u>0,10</u> 4	0,56 <u>1,38</u> 4	I48 <u>0,01</u> 4	0,77 <u>0,25</u> 4
Известники $K_1 al$	2,70 <u>0,03</u> 8	2,80 <u>0,03</u> 8	3,1 <u>0,40</u> 8	0,14 <u>0,89</u> 8	I45 <u>0,08</u> 7	0,83 <u>0,17</u> 7
Известники $K_2 st$	2,61 <u>0,00</u> 3	2,68 <u>0,004</u> 3	2,8 <u>0,004</u> 3	0,15 <u>0,58</u> 3	II16 <u>0,13</u> 3	0,58 <u>0,83</u> 3
Известники $K_2 st$	2,86 <u>0,33</u> 18	2,71 <u>0,01</u> 18	2,5 <u>0,01</u> 18	0,18 <u>0,45</u> 9	II4 <u>0,23</u> 3	0,86 <u>0,50</u> 9

	1	2	3	4	5	6	7
Известники K ₂ Km (1) ⁴	2,63 0,02 4	2,70 0,02 4	2,7 0,75 4	0,09	108 0,09 3 97	0,88	
Известники K ₂ t ₂ + K	2,58 0,02 7	2,68 0,02 7	3,6 0,48 7	0,27 1,21 6	101 0,56 6 109 0,49 6	0,89 0,37 6	
Известники K ₂ Km (3) ²	2,66 0,01 2	2,73 0,02 2	2,8 0,40 2	0,19 0,0 2	101 0,28 2 85 0,25 2	0,77 0,12 2	
Известники песчаник- ты K ₂ Km (5b)	2,70 0,03 6	2,74 0,01 6	1,5 1,39 6	0,16 0,34 6	94 0,06 3 80 0,42 2	0,89 0,11 2	
Известники K ₂ Km (3) ¹	2,68 0,01 8	2,73 0,01 8	2,9 0,47 8	0,14 0,20 5	81 0,29 8 98 0,07 5	131 0,31 5	
Известники K ₂ Km (4) ²	2,65 0,01 8	2,71 0,02 8	2,8 0,63 8	0,18 0,65 4	79 0,23 7 91 0,17 4	1,06 0,07 4	

Известники K ₂ Km (2) ¹	2,66 <u>0,01</u> 6	2,72 <u>0,01</u> 6	2,4 <u>0,62</u> 6	0,09 <u>0,07</u> 2	76 <u>0,34</u> 6	0,93 <u>0,45</u> 2
Известники K ₂ S	2,60 <u>0,01</u> 2	2,75 <u>0,01</u> 2	4,8 <u>0,24</u> 3	0,43 <u>0,28</u> 2	61 <u>0,25</u> 19	0,21
Известники K ₂ Km	2,64 <u>0,01</u> 3	2,74 <u>0,01</u> 3	3,7 <u>0,3</u> 3	-	-	-
Мергели K ₁ al	2,56 <u>0,10</u> 6	2,71 <u>0,03</u> 6	2,4 <u>0,25</u> 6	0,32 <u>0,63</u> 4	129 <u>0,37</u> 4	0,92 <u>0,04</u> 4
Мергели известковые K ₂ st	2,61 <u>0,01</u> 5	2,67 <u>0,01</u> 5	3,1 <u>0,19</u> 5	0,21 <u>0,49</u> 3	116 <u>0,22</u> 3	0,84 <u>0,39</u> 3
Мергели P ₁	2,76 <u>0,00</u> 2	2,85 <u>0,01</u> 2	3,4 <u>0,25</u> 2	0,36 <u>0,47</u> 2	70 <u>0,27</u> 2	0,83 <u>0,19</u> 2
Мергели известковые K ₂ st	2,61 <u>0,00</u> 2	2,69 <u>0,00</u> 2	2,3 <u>0,31</u> 2	-	-	-

Аргиллиты пелит- алевролиты $K_{1\text{st}}$ (nt)	2,71 $\frac{0,01}{2}$	2,71 $\frac{0,02}{2}$	5,1 $\frac{0,18}{2}$	0,09 $\frac{0,22}{2}$	105 $\frac{0,04}{2}$	0,86 $\frac{0,27}{2}$
Аргиллиты $K_{2\text{st}}$	2,46 $\frac{0,13}{3}$	2,68 $\frac{0,02}{3}$	14,4 $\frac{0,48}{3}$	0,67	-	-
Аргиллиты $K_{2\text{st}}$	2,62 $\frac{0,02}{3}$	2,67 $\frac{0,02}{3}$	9 $\frac{0,07}{3}$	0,71 $\frac{0,19}{2}$	-	-
Силикаты $K_{2\text{st}}$	2,49 $\frac{0,02}{2}$	2,6 $\frac{0,01}{2}$	4,4 $\frac{0,32}{2}$	0,05	$\frac{86}{95}$	1,10

Примечание: $2,61 \frac{0,01}{5}$

где: 2,61 – среднее арифметическое (нормативное) значение характеристики;

0,01 – коэффициент вариации;

5 – количество определений;

В графе 6 в числителе приведены характеристики воздушно-сухих образцов, в знаменателе – водонасыщенных образцов.

В графе 6 под знаком "х" показывается угол между направлением сжатия и слоистостью пород: х – 65°, xx – 55–60°, xxx – 30°, xxxx – 20–25°, xxxxx – 15–20°.

вестники, глинистые и аспидные сланцы, мергели, алевролиты и др.,
и которых экстремальные величины прочностных свойств колеблются
пределах от 148 до 35 МПа.

Самыми низкими значениями прочностных свойств отличаются аргиллитоподобные глины и аргиллиты, которые по своим характеристикам гигиенического состояния и свойствам отнесены к группе подушковых пород. Если для вышеотмеченных скальных пород коэффициент пористости составляет от 1-3, редко до 5%, то для аргиллитоподобных глин и аргиллитов пористость увеличивается в 5-9 раз и составляет 9-14,4%; соответственно уменьшаются и их прочностные свойства, характеристики которых не превышают 15-20 МПа.

При оценке инженерно-геологических характеристик горных пород исследованного района необходимо обратить внимание на то обстоятельство, что они на значительных по протяжению участках, имея в своем строении флишевый характер, обычно представлены в виде многопородных литологических комплексов. Например, в виде двухпородных комплексов встречаются Эшмакисхевская (K_2st), Маргалитисхедская (t_2+t_2+k), Укугартская (K_2s_1) и другие свиты. Трехпородными комплексами являются павлеурская (K_{1al}), барисахойская (I_2O_2-bt) свиты и др. В виде четырехпородных комплексов представлены кветерская (K_2d), аланурская ($K_2S_2+t_1$) и др. свиты. Все эти комплексы, как правило, сложены различными породами с разной толщиной слоев и степенью трещиноватости, что имеет весьма важное значение при их объективной инженерно-геологической оценке.

С этой целью Кавгипротрансом и Геологическим институтом АН Грузии в 1983-86 гг. инженерно-геологической трещинной съемкой (ИГТС) были охвачены почти все литостратиграфические комплексы, развитые в целях рр. Ассы и Арагви. ИГТС производилось как на естественных обнажениях, так и в подземных разведочных штольнях. Выделение систем трещин и их нумерация производились в поле с учетом генезиса и морфологии трещин. Количество изученных трещин в каждом обнажении составляло от 150 до 500 м. Для каждой трещины замерялись ее элементы залегания (азимут и угол падения), ширина и расстояние между трещинами. Не останавливаясь на подробном анализе этих данных, отметим лишь, что они вполне достаточны и статистически представительны для установления закономерностей изменения элементов залегания трещин и численных на их основе количественных параметров степени трещиноватости (пустотность, блочность и коэффициент трещиноватости). Здесь ограничимся кратким изложением инженерно-геологического анализа оценки приведенных в табл. I3 обобщенных статических характеристик горных пород района.

Важной особенностью исследованных комплексов горных пород является значительная изменчивость характеристик трещиноватости. Из 36 выделенных нами литостратиграфических комплексов наименьшей сте-

Таблица 13

Обобщенные статистические характеристики трещиноватости горных пород Большого Кавказа в ущельях рр. Ассы и Арагви

№ обна- жения	Характеристики трещиноватости					Примечание
	Пустотность %	Блочность, см	Коэффициент трещинова- тости -I, см	Категория трещинова- тости		
I	2	3	4	5	6	
I. Комплекс нижнеюрских аспидных сланцев с прослоями песчаников: I, P						
46	0,23	14,1	0,00016	III		
47	0,16	26,5	0,00006	III		
48	0,22	27	0,00008	III		
49	0,2	20,7	0,0001	III		
50	0,1	15,4	0,00006	III		
51	0,19	12	0,00015	III		
52	0,10	38	0,00002	II		
54	0,10	39,5	0,00002	II		
55	0,13	39	0,00003	II		
56	0,10	29	0,00003	II		
57	0,11	51	0,00002	II		
58	0,06	33	0,00002	II		
59	0,07	22	0,00003	II		
63	0,14	24,5	0,00005	III		
64	0,12	65,5	0,00002	II		
65	0,25	18	0,0001	III		
56 ^I	0,2	63,4	0,00005	III		
57 ^I	0,8	27,8	0,0003	III		
58 ^I	0,6	29,5	0,0002	III		
59 ^I	0,5	31,6	0,0002	III		
60 ^I	0,6	36,4	0,0002	III		
61 ^I	0,9	34,6	0,0003	III		
62 ^I	2,3	31,2	0,0006	IV		
63 ^I	1,5	30,6	0,0005	IV		
64 ^I	0,7	53,2	0,0001	III		
65 ^I	0,9	34,6	0,0003	III		
66 ^I	0,9	29,2	0,0003	III		
67 ^I	0,4	63,9	0,0007	III		
46 ^a	1,2	53,7	0,0002	III		
2 ^a	7,0	57,3	0,001	IV		
3 ^a	1,0	20,1	0,0005	IV		
4 ^a	0,4	46,7	0,00009	III		
5 ^a	2,8	50,5	0,0006	IV		

I	2	3	4	5	6
6 ^a	3,9	37,5	0,001	IV	
7 ^a	1,75	29,6	0,006	У	
8 ^a	0,7	31,3	0,0002	III	
9 ^a	1,4	24,9	0,0006	IV	
10 ^a	1,1	34,4	0,0003	III	
II ^a	0,6	24,7	0,0002	III	
	0,53 0,82	0,43 0,40	35,04 14,1(39)	0,0001 0,0001(39)	III III
53	0,15	4,8	0,003	IV	Разлом
60	0,37	7,0	0,001	IV	
61	0,68	6	0,001	IV	
62	4,6	5	0,009	У	

2. Комплекс глинистых сланцев с прослойками песчаников I₁P;
I₁t; I₂a

42	0,65	10	0,0006	IV	
44 ^I	0,46	8	0,0005	IV	
45	0,32	18,2	0,00017	III	
66	0,3	17,2	0,00017	III	
69	0,26	41,5	0,0006	IV	
71 ^I	0,80	13,5	0,0006	IV	
72 ^I	0,44	21,0	0,0002	III	
73	0,06	47,0	0,00001	П	
74	0,06	38,0	0,00001	П	
75	0,2	13,0	0,00015	III	
76	0,24	17	0,00014	III	
77	0,37	24	0,00015	III	
78	1,0	29	0,0003	III	
79	2,1	27	0,0008	IV	
80	4,6	14,3	0,0002	У	
81	2,5	56	0,0004	IV	
82	1,3	72,3	0,00019	III	
83	5,4	11,6	0,0047	У	
84	2,4	23,5	0,001	IV	
85	3,5	11,5	0,003	IV	
86	1,2	38,9	0,0003	III	
87	0,9	40	0,0002	III	
88	2,4	30,6	0,0008	IV	
90	1,3	40,3	0,0003	III	
91	3,0	20,8	0,0014	IV	
92	10,5	17,9	0,0059	У	
105	4,6	23,3	0,0019	IV	

I	2	3	4	5	6
I06	3,0	34,1	0,0009	IV	
63 ^a	3,9	17,7	0,002	IV	
64 ^a	0,09	19,8	0,0005	IV	
65 ^a	1,3	40,7	0,0003	III	
66 ^a	0,5	35,0	0,00017	III	
67 ^a	0,6	27,9	0,0002	III	
68 ^a	0,8	26,3	0,0003	III	
69 ^a	0,6	29,0	0,0002	III	
70 ^a	0,6	30,5	0,0002	III	
71 ^a	0,5	27,5	0,0002	III	
72 ^a	0,7	32,3	0,0002	III	
36 ^I	0,5	39,2	0,00015	III	
37 ^I	0,6	30,7	0,0002	III	
38 ^I	0,8	28,8	0,0003	III	
39 ^I	0,17	17	0,0001	III	
40 ^I	6,2	14	0,004	У	
41 ^I	2,7	12	0,0022	IV	
42 ^I	3,9	29,9	0,0013	IV	
43 ^I	3,7	19	0,002	IV	
44 ^I	3,6	7	0,005	У	
45 ^I	4,3	15	0,003	IV	
46 ^I	2,1	32	0,0006	IV	
47 ^I	2,6	26	0,001	IV	
48 ^I	9,9	22	0,004	У	
49 ^I	2,1	15,9	0,001	IV	
50 ^I	5,3	26	0,002	IV	
51 ^I	0,7	24,5	0,0003	III	
52 ^I	2,1	16,4	0,001	IV	
	<u>1,8^I5(55)</u> 0,87	<u>25,I^{10,5}(55)</u> 0,42	<u>0,00080,0008</u> I,02		
43	0,46	8	0,0005	IV	
53 ^I	3,7	7,7	0,005	У	Разлом
	<u>2,I^{2,3}(2)</u> I,10	<u>7,9^{0,2}(2)</u> 0,03	<u>0,00270,0031</u> (2) I,16		
	3. Комплекс субаркозовых песчаников с прослойми глинистых сланцев: $t_1 t_2$				
89	5,0	23,6	0,002	IV	
	4. Комплекс переслаивающихся аргиллитов, песчаников и алевролитов:				
38	0,29	16	0,0004	IV	

I	2	3	4	5	6
39 ^I	0,33	10	0,0003	III	
35 ^I	0,7	33	0,0002	III	
36 ^I	0,17	17	0,0001	III	
	$0,37 \frac{0,23}{0,61} (4)$	$19,0 \frac{9,8}{0,52} (4)$	$0,0002 \frac{0,0001}{0,52} (4)$	III	
36	1,26	5,3	0,0023	IV	
40	0,77	6	0,0018	IV	Разлом
	$1,02 \frac{0,34}{0,34} (2)$	$5,6 \frac{0,5}{0,09} (2)$	$0,002 \frac{0,0003}{0,17} (2)$	IV	
5. Комплекс нижнеюрских диабазов: I ₁ t					
68	0,19	46	0,00004	III	
70	0,15	57	0,00002	II	
	$0,17 \frac{0,03}{0,17} (2)$	$51,5 \frac{7,8}{0,13} (2)$	$0,00003 \frac{0,000016}{0,47} (2)$	II	
6. Комплекс среднеюрских переслаивающихся глинистых сланцев и песчаников: I _{2a2}					
I31 ^I	0,8	28,5	0,0003	III	
I38 ^I	0,6	23,7	0,0003	III	
I36 ^I	1,2	19,6	0,0006	IV	
I37 ^I	0,2	26,4	0,0001	III	
	$0,7 \frac{0,42}{0,6} (4)$	$24,6 \frac{3,8}{0,16} (4)$	$0,0003 \frac{0,0002}{0,63} (4)$	III	
7. Комплекс среднеюрских чередующихся песчаников, алевролитов и глинистых сланцев: I _{2a2} (I)					
I30 ^I	0,7	29,5	0,0002	III	
I32 ^I	0,9	21,9	0,0004	IV	
I33 ^I	1,1	29,0	0,0004	IV	
I34 ^I	0,3	35,1	0,0001	III	
I38 ^I	0,8	22,4	0,0004	IV	
I42 ^I	0,4	30,7	0,0001	III	
	$0,7 \frac{0,3}{0,43} (6)$	$28,1 \frac{5,1}{0,18} (6)$	$0,0002 \frac{0,0001}{0,57} (6)$		
8 ^a . Комплекс среднеюрских чередующихся песчаников и глинистых сланцев: I _{2a2} (2,3,4)					
I39 ^I	0,6	20,1	0,0003	III	
I40 ^I	0,3	22,3	0,0001	III	
I41 ^I	0,4	30,7	0,0001	III	
I43 ^I	0,3	37,1	0,000018	III	
	$0,4 \frac{0,14}{0,35} (4)$	$27,6 \frac{7,8}{0,28} (4)$	$0,0001 \frac{0,00005}{0,56} (4)$		

I	2	3	4	5	6
8 ⁶ . Комплекс средненюрских чередующихся песчаников и глинистых сланцев: I ₂ a ₂					
I(2)	3,2	6,0	0,0055	у	
2(2)	0,1	16,9	0,0001	III	
4(2)	0,4	10,7	0,0004	IV	
5(2)	0,5	16,2	0,0003	III	
7(2)	2,3	5,7	0,004	у	
8(2)	0,1	15,9	0,0001	III	Штольня №2
9(2)	0,6	12,0	0,0005	IV	
10(2)	2,0	16,4	0,001	IV	
II(2)	0,5	15,1	0,0004	IV	
I3(2)	0,6	10,1	0,0006	IV	
I4(2)	0,5	10,8	0,0005	IV	
I5(2)	0,6	10,3	0,0006	IV	
I6(2)	0,9	8,8	0,001	IV	
<u>0,90,9(I3) II,93,9(I3) 0,00110,0016(I3) IV</u>					
I2(2)	9,9	6,2	0,016	у	Штольня №2
6(2)	15,0	6,9	0,02	у	Разлом
3(2)	29,0	7,3	0,04	VI	Разлом
<u>189,9(3) 6,80,6(3) 0,0250,013(3) IV</u>					
9. Комплекс средненюрских переслаивающихся субаркозовых песчаников и глинистых сланцев: I ₂ a ₂					
95	2,9	25,4	0,0011	IV	
96	3,0	15,3	0,0019	IV	
97 ^f -62 ^a	3,0	26,1	0,001	IV	
98-I29I	4,6	22,4	0,002	IV	
99	2,6	26,8	0,001	IV	
100	6,9	16,2	0,004	у	
101	4,2	16,0	0,0027	IV	
102	2,7	25,1	0,001	IV	
103	8,0	20,6	0,004	у	
104	3,9	17,7	0,002	IV	
106	4,3	24	0,0018	IV	
107	2,2	31,9	0,0007	IV	
109	0,6	39,3	0,0002	III	
110	1,0	22,5	0,0004	IV	
60 ^a	0,4	37,0	0,0001	III	
61a	1,1	26,5	0,0004	IV	

I	2	3	4	5	6
I22 ^I	0,8	24,2	0,0004	IV	
I23 ^I	0,6	38,9	0,0002	III	
I24 ^I	0,8	38,2	0,0002	III	
I25 ^I	3,1	41,5	0,0008	IV	
I26 ^I	0,6	32,9	0,0002	III	
I28 ^I	0,9	34,5	0,0003	III	
I29 ^I	0,3	23,8	0,0001	III	
	2,6 ^{I,9} (23) 0,74	27,6 ^{7,5} 0,27	0,0012 ^{0,001} (23) 0,87	IV	
10. Комплекс среднеюрских чередующихся аргиллитов, песчаников и алевролитов: I _{2a}					
32	0,78	8,9	0,00086	IV	
33	0,74	9	0,00082	IV	
34	0,42	9,2	0,00045	IV	
35	0,11	II	0,0001	III	
37	3,3	22	0,0015	IV	
	I,1 ^{I,3} (5) I,19	I2,0 ^{5,6} (5) 0,47	0,0007 ^{0,0005} (5) 0,70	IV	
II. Комплекс верхнеюрских окремненных и известковистых доломитов: I ₃₀ ; I _{3t}					
27	0,6	43,6	0,000015	II	
28	0,3	26,8	0,0001	III	
29	0,5	28,3	0,00017	III	
30	0,4	26,0	0,00015	II	
31	0,009	II,6	0,00008	II	
24 ^I	0,8	225	0,000039	III	
25 ^I	2,1	I46	0,0001	III	
26 ^I	2,3	3I	0,0007	IV	
27 ^I	I3,3	59	0,002	IV	
28 ^I	2,6	II6	0,0002	III	
29 ^I	7,7	I66	0,0046	IV	
	2,80 ^{4,10} (II) I,47	79,90 ^{71,65} (II) 0,89	0,0007 ^{0,0014} (II) I,92	IV	
12. Комплекс верхнеюрских пелитоморфных известняков и доломитов: I _{3t2} ¹⁻²					
21	I,1	.83,6	0,0001	III	
22	I,1	54,8	0,0002	III	
23	I,6	24,7	0,0007	IV	
24	0,9	38,9	0,0002	III	

I	2	3	4	5	6
25	0,8	I6,0	0,0005	IУ	
26	0,79	6,9	0,0001	III	
	I,05 ^{0,30} (6) 0,29	37,38 ^{28,17} (6) 0,75	0,0002 ^{0,0002} (6) 0,82		
I3. Комплекс нижнемеловых известняков: K ₁ v; K ₁ br					
3	3,8	I6,4	0,0023	IУ	Участок Тарского хребта
4	4,4	52,4	0,0008	IУ	
I6	I,4	44,4	0,0003	III	
I7	I,3	39,9	0,0003	III	
	2,70 ^{I,6} (4) 0,59	38,35 ^{15,5} (4) 0,40	0,0009 ^{0,0009} (4) 1,02		
I4. Комплекс нижнемеловых известковистых песчаников и песчанистых известняков: K ₁ g					
5	2,5	24,3	0,001	IУ	Участок Тарского хребта
6	I,6	77,4	0,0002	III	
	2,05 ^{0,63} (2) 0,31	50,8 ^{37,5} (2) 0,74	0,0005 ^{0,0005} (2) 0,94		
I5. Комплекс нижнемеловых песчаников: K ₁ br					
7	0,8	68,4	0,0001	III	Участок Тарского хребта
I8	I,3	35,5	0,0004	IУ	
	I,05 ^{0,35} (2) 0,34	51,95 ^{0,34} (2) 0,98	0,0002 ^{0,0002} (2) 0,85		
I6. Комплекс нижнемеловых алевролитов, глин и глинистых песчаников: K ₁ a+al; K ₁ br					
9	I,6	3I,6	0,0005	IУ	Участок Тарского хребта
I0	5,2	II,9	0,0044	У	
II	5,I	I0,5	0,0049	У	
I9	I,6	28,3	0,0006	IУ	
8	9,4	6,6	0,0142	У	
	4,58 ^{3,23} (5) 0,70	I7,78 ^{II,34} (5) 0,64	0,0049 ^{0,0055} (5) I,13		
I7. Комплекс верхнеюрских чередующихся мергелей и известняков: I ₃ o; I ₃ o ₂ - t					
I44 ^I	0,5	25,9	0,0002	III	
I45 ^I	0,4	27,8	0,0001	III	
I46 ^I	I,3	I7,2	0,0008	IУ	
I47 ^I	I,0	37,4	0,0003	III	
I48 ^I	0,3	44,6	0,00008	III	

I	2	3	4	5	6
I50 ^I	0,4	24,8	0,0002	III	
I51 ^I	0,2	24,5	0,0001	III	
I52	1,9	20,5	0,0009	IV	
	0,8 0,6 0,79	27 9,0 0,32	0,0003 0,0003 0,98	III	

Комплекс нижнемеловых глинистых сланцев и песчаников:
K₁a + al

	0,8	31,8	0,00025	IV	Штольня №6
	0,8	32,9	0,0025	IV	
	0,8 0,00	32,3 0,02	0,0025 0,00	IV	

18. Комплекс нижнемеловых аргиллитов с редкими прослойями песчаников: K₁al

I23	4,8	8,7	0,056	VI	
I32	II,6	3,6	0,032	VI	
I34	4,0	23,1	0,0017	IV	
I39	9,8	19,9	0,0049	V	
	5,5 0,37	23,0 0,25	0,0024 0,0013 0,55	IV	

19. Комплекс нижнемеловых песчаников с прослойями аргиллитов и глинистых сланцев: K₁a; K₁al

I25	3,3	24,7	0,0013	IV	
I31	7,3	16,6	0,004	V	
I41	6,0	27,7	0,0022	IV	
	5,5 0,37	23,0 0,25	0,0024 0,0013 0,55		

20. Комплекс нижнемеловых песчаников с редкими прослойами пелитолитов: K₁br²⁻³

II4	I,8	49,2	0,0003	III	
II5	2,4	85,3	0,0003	III	
II6	5,1	72,6	0,0007	IV	
II8	I,1	67,5	0,0002	III	
I55 ^I	0,6	17,8	0,0003	III	
I56 ^I	0,3	24,4	0,0001	III	
	I,9 I,8 0,93	52,8 27,2 0,52	0,0003 0,0002 0,65	III	

21. Комплекс нижнемеловых фишиевых известняков и мергелей: K₁a; K₁g; K₁b

II2	15,8	17,9	0,0089	V	
-----	------	------	--------	---	--

I	2	3	4	5	6
II3	I,6	43,6	0,0003	III	
II7	3,6	15,0	0,0024	IV	
I49	I,0	37,4	0,0003	III	
	5,5 ^{7,0} (4) I,27	25,5 ^{15,7} (4) 0,62	0,0029 ^{0,004} (4) I,37	IV	

22. Комплекс нижнемеловых флишевых известняков и мергелей: K₁al

2(4)	8,0	6,5	0,0122	У	ШТОЛЬНЯ №4
3(4)	I,I	II,8	0,001	IV	
4(4)	I,3	9,8	0,0013	IV	
5(4)	I,7	9,7	0,0017	IV	
6(4)	2,0	6,0	0,0035	У	
	2,8 ^{2,9} (5) I,03	8,8 ^{2,4} (5) 0,28	0,0039 ^{0,0047} (5) I,2	У	

23. Комплекс нижнемеловых известняков: K₁b

3	3,8	I6,4	0,0023	IV	
4	4,4	52,4	0,0008	IV	
I6	I,4	44,4	0,0003	III	
I7	I,3	39,9	0,0003	III	
	2,7 ^{I,6} (4) 0,59	38,3 ^{15,5} (4) 0,40	0,0009 ^{0,0009} (4) I,0	IV	

24. Комплекс верхнемеловых известняков: K₂d; K₂t; K₂s; K₂cn+t

2	2,7	I5,0	0,0018	IV	
I2	I0,I	I8,9	0,0053	У	
I3	5,9	9,6	0,0061	У	
I4	4,4	I5,I	0,0029	IV	
I5	5,0	I7,5	0,0028	IV	
3 ^I	I,2	35,4	0,0003	III	
4 ^I	I,I	43,8	0,0003	III	
5 ^I	0,6	49,3	0,0001	III	
6 ^I	0,5	39,3	0,0001	III	
7 ^I	5,3	I8,9	0,0028	IV	
8 ^I	5,8	32,2	0,0018	IV	
9 ^I	2,0	25,2	0,0008	IV	
I0 ^I	I,7	2I,0	0,0008	IV	
II ^I	0,4	37,7	0,0001	III	
I2 ^I	0,4	3I,9	0,0002	III	
I3 ^I	0,6	22,8	0,0003	III	
I4 ^I	0,6	28,0	0,0003	III	

I	2	3	4	5	6
I5 ^I	0,5	33,9	0,0001	Ш	
I6 ^I	0,3	36,2	0,0001	Ш	
I7 ^I	0,5	33,9	0,0001	Ш	
I8 ^I	0,6	45,3	0,0001	Ш	
I9 ^I	0,3	42,8	0,0001	Ш	
30 ^I	0,3	50,0	0,0001	Ш	
21 ^I	0,5	31,4	0,0002	Ш	
I,9 ^I 0,93	I,8 (24)	31,0 ^I 0,35	10,8 (24)	0,0008 0,0009 (24) III 1,03	

25. Комплекс верхнемеловых флишевых известняков и мергелей: $K_2 t_2 + K$; $K_2 st$; $K_2 Km$; $K_2 t_2$

I20	3,7	10,2	0,0037	У	
I21	2,7	19,6	0,0014	IV	
I26	3,0	16,7	0,0018	IV	
I27	9,4	15,2	0,006	У	
I35	6,0	12,0	0,005	У	
I36	6,7	13,9	0,0048	У	
I45..	2,5	17,8	0,001	IV	
I46	I2,0	12,2	0,01	У	
5,8 ^I 0,61	3,5 (8)	I4,7 ^I 0,23	3,2 (8)	0,0042 0,0029 (8) 0,71	У

26. Комплекс верхнемеловых флишевых известняков и мергелей: $K_2 t_2 + K$

3(3)	2,8	6,4	0,0045	У	Штольня №3
4(3)	I,6	8,3	0,0013	IV	
8(3)	I,7	10,7	0,0016	IV	
9(3)	2,3	6,8	0,0035	У	
2,1 ^I 0,27	0,6 (4)	8,0 ^I 0,24	1,9 (4)	0,0028 0,0013 (4) 0,48	IV

27. Комплекс верхнемеловых известняков: K_2

5(3)	3,5	10,7	0,0033	У	Штольня №3
6(3)	I,4	9,6	0,001	IV	
7(3)	0,8	II,3	0,0001	Ш	
I0(3)	I,8	I2,5	0,0015	IV	
I,9 ^I 0,62	I,6 ^I (4)	II,0 ^I 0,11	1,2 (4)	0,0014 0,0013 0,91	IV

28. Комплекс верхнемеловых известняков: $K_2 Km$; $K_2 t_2 + K$; $K_2 st$

I40	I2,5	6,0	0,021	У	
I43	9,3	7,0	0,013	У	

I	2	3	4	5	6
I44	7,1	16,2	0,004	у	
	$9,6 \frac{2,7}{0,28} (3)$	$9,7 \frac{5,6}{0,58} (3)$	$0,0126 \frac{0,085}{0,67}$	у	
	29. Комплекс верхнемеловых переслаивающихся известняков, аргиллитоподобных глин и алевролитов: K_2t				
II	5,1	10,5	0,0049	у	
	30. Комплекс верхнемеловых аргиллитов: $K_2t_1+s_2$				
I22	8,5	7,5	0,011	у	
I37	II,3	6,7	0,0168	у	
I42	28,2	6,0	0,0467	уI	
	$16,0 \frac{10,7}{0,67} (3)$	$6,7 \frac{0,8}{0,11} (3)$	$0,0248 \frac{0,0191}{0,77} (3)$	у	
	31. Комплекс верхнемеловых чередующихся песчаников, аргиллитов и реже мергелей: K_2s ; K_2d				
I39	9,8	19,9	0,0049	у	
I49	18,0	7,1	0,025	у	
	$13,9 \frac{5,8}{0,42} (2)$	$13,5 \frac{9,1}{0,67} (2)$	$0,0149 \frac{0,0142}{0,95} (2)$	у	
	32. Комплекс верхнемеловых чередующихся песчаников, аргиллитов и реже мергелей: K_2s				
I(3)	3,0	8,5	0,0035	у	Штольня №3
2(3)	3,5	20,9	0,0017	Iу	
	$3,25 \frac{0,35}{0,11} (2)$	$14,7 \frac{8,8}{0,60} (2)$	$0,0026 \frac{0,0012}{0,49} (2)$	Iу	
	33. Комплекс палеоценовых песчаников с прослоями известняков: P_1				
I(4)	3,3	9,4	0,0035	у	Штольня №4
	34. Комплекс палеоценовых переслаивающихся известняков и мергелей: P_1				
I	4,4	9,8	0,0045	у	
	35. Комплекс палеоценовых песчанистых аргиллитов: P_1				
I48	19,3	2,4	0,08	уI	
	36. Комплекс эоценовых алевролитов: P_2				
I50	41,7	3,5	0,1178	уI	

ПРИМЕЧАНИЕ: $13,9 \frac{5,8}{0,42} (2)$ - 13,9 - среднее арифметическое

значение характеристики; 5,8 - среднеквадратическое отклонение; 0,42 - коэффициент вариации; (2) - количество выборки.

пенью трещиноватости характеризуется комплекс нижнеюрских диабазов (5, It), с экстремальными значениями коэффициента трещиноватости 0,00002–0,00004, при величинах пустотности и блочности, соответственно 0,19–0,15% и 46–57 см.

Наибольшей трещиноватостью отличаются комплексы палеоценовых аргиллитов (35, P₁) и эоценовых алевролитов (36, P₂), для которых коэффициент трещиноватости, соответственно, составляет 0,08 и 0,1178, при пустотности и блочности, соответственно 19,3 и 41,7% и 2,4 и 3,5 см. Остальные комплексы юрских, меловых и третичных пород с коэффициентом трещиноватости 0,00005–0,002 при экстремальных величинах пустотности и блочности 0,3–4% и 7–80 см занимает промежуточное положение.

Согласно разработанной в Кавгипротрансе (Купнашвили, 1984, 1986_{1,2}) классификации, обследованные комплексы горных пород на естественных обнажениях являются слаботрещиноватыми, среднетрещиноватыми и сильнотрещиноватыми. Сравнительно редко встречаются весьма сильнотрещиноватые и раздробленные породы. Обнажения весьма слаботрещиноватых массивов горных пород в исследованном районе не были зафиксированы. Характерно также, что весьма сильнотрещиноватые и раздробленные обнажения, как правило, приурочены к приразломным участкам и зонам тектонических нарушений. Кроме того, степень трещиноватости обследованных комплексов горных пород в разведочных штольнях уменьшается на один порядок.

Выявленная изменчивость характеристик трещиноватости, с одной стороны, и отсутствие пород весьма слабой трещиноватости – с другой, вполне закономерны и являются следствием изменения литолого-стратиграфического и структурно-тектонического строения массивов горных пород, геоморфологических и климатических условий района, степени и длительности воздействия природных и техногенных факторов на горные породы.

Типизация изученных массивов горных пород от среднетрещиноватых до весьма сильнотрещиноватых хорошо согласуется с реальной изменчивостью геодинамических условий района. Для весьма сильнотрещиноватых массивов горных пород при благоприятных рельефных и климатических условиях характерно интенсивное развитие обвалов, осипей, вывалов и других геологических процессов и явлений. Последние сравнительно в меньшей степени развиваются в сильнотрещиноватых массивах, а в среднетрещиноватых обычно встречаются небольшие осипи и вывали отдельных камней.

ЛИТЕРАТУРА

- Адамия Ш.А. Доальпийское основание Кавказа - состав, строение становление // Тектоника и металлогенез Кавказа. - Тбилиси, 1984.
- Безносов Н.В. Материалы по биостратиграфии верхнебайосско-бас-тских отложений Северного Кавказа // Тр. ВНИИГаз / Материалы по гео-логии газоносных районов СССР. - 1960. - Вып. 10(18). - С. 226-253.
- Безносов Н.В. Зона Бокового хребта Большого Кавказа // Объяс-нительная записка к стратиграфической схеме юрских отложений Север-ного Кавказа. - М., Наука. - 1973.
- Беридзе М.А. Вулканогенные образования, связанные с нижне- и среднеюрскими терригенными отложениями Южного склона Большого Кавка-за // Тр. Ин-та / ГИН АН ГССР. - 1981. - Нов. сер. - Вып. 72.
- Беридзе М.А. Геосинклинальный вулканогенно-осадочный литоге-нез // Тр. Ин-та / ГИН АН ГССР. - 1983. - Нов. сер. - Вып. 80.
- Беридзе М.А. Геосинклинальный вулканогенно-осадочный литоге-нез. - Тбилиси: Мецниереба. - 1983. - 182 с.
- Брюн Е.С. О границе средней и верхней юры на Северном Кавказе // Вестник ЛГУ. - 1955. - №10. - С. 89-96.
- Варданянц Л.А. Основные изверженные породы западной части Каз-бегского диабазового пояса (Центральный Кавказ) // Изв. АН АрмССР.- Сер. геол. и геогр. наук. - 1959. - Т. XI. - №3. - С. 31-47.
- Вассоевич Н.Б. Геологические исследования в пределах планшета А-У1 // Тр. НИГРИ. - Сер. А. - 1931. - Вып. 2.
- Вассоевич Н.Б. Некоторые результаты геологических исследова-ний Горной Кахети. - Тбилиси: Техника да шрома. - 1933.
- Вашакидзе И.Г. К стратиграфии верхней части юрской сланцевой серии верховьев рр. Ардона, Терека и Арагви // Изв. Геол. об-ва Грузии - 1970. - 7. - №1-2. - С. 36-44.
- Вашакидзе И.Г. Стратиграфия нижне- и среднеюрских отложений Большого Кавказа // Сов. геология. - 1981. - №6.
- Гавашели А.М.Петрология Чахухского массива / Автореф. канд. г.-м. наук. Изд-во ТГУ. - 1973. - 24 с.
- Гамбашидзе Р.А. Стратиграфия верхнемеловых отложений Грузии и смежных с ней областей Азербайджана и Армении. - Тбилиси: Мецниереба. - 1979.
- Гамкрелидзе И.П. Планетарная трещиноватость дислоцированных толщ и связанные в нею явления // Геотектоника. - 1972. - №6. - С. 45-54.
- Гамкрелидзе И.П. Механизм формирования тектонических структур: некоторые общие проблемы тектогенеза. - Тбилиси: Мецниереба. - 1976. - 226 с.
- Гамкрелидзе И.П. Тектоническое строение и альпийская геодина-мика Кавказа // Тектоника и металлогенез Кавказа. - Тбилиси: Мецни-реба, 1984. - С. 105-184.

- Гамкрелидзе П.Д. Тектоника // Геология СССР. - М.: Недра. - 1964. - Т.Х.
- Гамкрелидзе П.Д. Основные черты тектонического строения Кавказа // Геотектоника. - 1966. - №3.
- Гамкрелидзе П.Д., Гамкрелидзе И.П. Описание маршрутов экскурсии Жинвали-Павлеури // Путеводитель экскурсии Советско-Индийского симпозиума. - Тбилиси: Мецниереба. - 1975. - С.22-33.
- Гамкрелидзе П.Д., Гамкрелидзе И.П. Тектонические покровы Южного склона Большого Кавказа (в пределах Грузии) // Тр.Ин-та / ГИН АН ГССР. - Нов.сер. - 1977. - Вып.57. - 81 с.
- Геология СССР. - Т.IX. - Северный Кавказ. - Ч.1. - Геологическое описание. - М.: Недра. - 1968. - С.244-250.
- Геология СССР. - Т.IX. - Северный Кавказ. Н.Т.Романов. Тектоника. Восточный Кавказ. - М.; Недра. - 1968. - С.634-644.
- Гиоргбиани Т.В., Закарая Д.П. О природе Асса-Арагвинского линеамента // Сообщ.АН ГССР. - 1982. - Т.107. - №1. - С.85-88.
- Гиоргбиани Т.В., Топчишвили М.В., Закарая Д.П. Геологическое строение верховьев рр.Ассы и Хевсуретской Арагви // Сообщ.АН ГССР. - 1983. - Т.109. - №1. - С.85-88.
- Гоцадзе О.Д. О динамической характеристике очагов кавказских землетрясений // Изв.АН СССР. - Сер.геофиз. - 1957. - №3.
- Гущин А.И. Закономерности геологического развития Северо-Восточного Кавказа в ранне- и среднеюрское время.: Автoref.дис.канд. г.-м.н. - М.: 1986. - 16 с.
- Джиджеишвили П.О., Шавишвили Р.Л. Геокинематическая модель Асса-Арагвинского линеамента по сейсмическим данным // Сообщ.АН ГССР. - 1984. - №2. - С.349-352.
- Дзоценидзе Г.С., Крестников В.Н. Геолого-петрографический очерк южного склона Главного Кавказского хребта в пределах Хевсурети // Тр.ГГУ. - 1941. - Вып.У. - С.127-172.
- Дзоценидзе Г.С. О некоторых вопросах образования альбитовых диабазов // Сообщ.АН ГССР. - 1942. - №. - №4.
- Дзоценидзе Г.С. К вопросу классификации песчаников // Изв.Геол. об-ва Грузии. - 1963. - Т.Ш. - Вып.1.
- Дзоценидзе Г.С., Ф.Ю.Левинсон-Лессинг и проблема диабазов Кавказа // Проблемы магмы и изверженных горных пород. - М.: Изд-во АН СССР. - 1963.
- Долгих А.Г., Черницын В.Б. Магматизм Горного Дагестана и его рудоносность // Сов.геология. - 1971. - №2. - С.85-105.
- Дотдуев С.И. Неотектоническая стадия развития северного склона Центрального Кавказа: Автoref.дис.канд.г.-м.н. - Тбилиси: Мецниереба. - 1975.
- Друшлиц В.В. О стратиграфическом положении колхидитовых слоев (зоны *Colchidites securiformis* //ДАН СССР. - 1963-Т.152-№6-С.1428-1431.

Егоян В.Л. Ярусная шкала нижнего мела и нижнемеловые отложения западной части Северного Кавказа: Автореф.дис.канд.г.-м.н. - Л.:1977. - С.1-36.

Иоселиани М.С., Папавадзе Б.В., Хведелидзе Н.В. Некоторые результаты комплексной интерпретации магнитных и сейсмических данных Картлийской депрессии // Результаты геофизических исследований земной коры на Кавказе. - Тбилиси: Мецниереба. - 1978. - С.27-35.

Иностраницев А.А. Через Главный Кавказский хребет // Геологическое исследование предполагаемого железнодорожного пути через Архотский перевал между Владикавказом и Тифлисом. - СПб. - 1896.

Казьмин В.Г. О некоторых особенностях рифтогенеза (на примере развития Красноморского, Аденского и Эфиопского рифтов) // Геотектоника. - 1974. - №6.

— Какабадзе М.В. Колхида и их стратиграфическое значение // Тр.ин-та / ГИН АН ГССР. - Нов.сер. - 1971. - Вып.26. - II9 с.

Какабадзе М.В., Кванталиани И.В., Шарикадзе М.З. К стратиграфии нижнего алта и смежных отложений Центрального Дагестана // Сообщ. АН ГССР. - 1978. - 92. - №1. - С.121-124.

Карк И.М. К геологии долин Пшавской и Хевсуретской Арагви // Геологические исследования в области Перевальной железной дороги через Главный Кавказский хребет. - СПб. - 1914. - 54 с.

Кахадзе И.Р. Грузия в юрское время // Тр.ин-та / ГИН АН ГССР. - Сер.геол. - Тбилиси: 1947. - Т.Ш(УШ). - 371 с.

Копп М.Л., Расцветаев Л.М. О линеаментах, выявленных по космическим снимкам в восточной части Альпийского пояса // Изв.вузов. - Геология и разведка. - 1976. - №II.

Котетишвили Э.В. Стратиграфия и фауна колхибитового и смежных горизонтов Грузии // Тр.ин-та / ГИН АН ГССР. - Нов.сер. - 1970. - Вып.25. - II7 с.

Крестников В.Н. К стратиграфии сланцевой юры Восточного Кавказа // Изв.АН СССР. - Сер.геол. - 1944. - №6. - С.61-69.

Крымов Б.Ф. Келловейские отложения Терско-Ассинской площади Чечено-Ингушской АССР // Тр.ин-та ГрознефтьНИИ. - 1960. - Вып.8. - С.20-29.

Крымов Б.Ф. К литолого-стратиграфической характеристике отложений келловейского яруса Чечено-Ингушской АССР // Вопросы геологии и нефтегазоносности Восточного Предкавказья и Терско-Кумской равнины / Тр. ГрознефтьНИИ. - М. - 1961. - Вып.9. - С.3-21.

Кудиашвили О.В. Оценка трещиноватости массивов горных пород // Транспортное строительство. - 1984. - №12. - С.5-6.

Кудиашвили О.В. О классификации массивов горных пород по степени трещиноватости // Сообщ.АН ГССР. -1986. -I21. - №2. - С.535-536.

Кудиашвили О.В. Новая методика изучения трещиноватости горных пород // Гидрогеология и инженерная геология. - Тбилиси: Изд-во ГПИ. - 1986₂. - С.81-85.

Левинсон-Лессинг Ф.Ю. Исследования по теоретической петрографии в связи с изучением изверженных пород Центрального Кавказа. - Избр.тр. - М.: Изд-во АН СССР. - 1949. - Т.1.

Логинова Г.А. Основные черты геологического развития центральной части Северного Кавказа в эпоху верхней юры // Вопросы региональной геологии СССР. - М. - 1964. - С.97-106.

Ломизе М.Г. Вулканализм Северо-Западного Кавказа и его связь с тектоникой. - М.: Изд-во МГУ. - 1969. - 209 с.

Ломинадзе Т.А. Келловейские аммонитиды Кавказа. - Тбилиси: Мецниереба. - 1982. - 272 с.

Лысенков П.П., Ботвинник Н.В. Региональная стратиграфическая схема верхнего мела Северо-Восточного Кавказа // Тр.ин-та СевкавНИИнефть. - 1976. - Вып.XX.

Мацкевич М.М. К итогам изучения келловейских отложений Северо-Восточного Кавказа // Тр.ин-та ГрозНИИнефть. - 1965. - Вып.I8. - С.55-70.

Мацкевич М.М., Сахаров А.С. О взаимоотношении сланцевой и карбонатной юры и строении келловейского яруса горных районов Чечено-Ингушской АССР // Тр.ин-та ГрозНИИнефть. - 1963. - Вып.I4. - С.20-48.

Мельников В.А. Геологическая карта СССР: Объяснительная записка к стратиграфической схеме юрских отложений Северного Кавказа / Под ред. Н.В. Безносова и др., - М.: Недра. - 1973. - 193 с.

Милановский Е.Е. Новейшая тектоника Кавказа. - М.: Недра. - 1968.

Мревлишвили Н.И. Геологическое строение предгорий Большого Кавказа в Душетском районе // Тр.ин-та ГИН АН ГССР. - Сер.геол. - 1957. - Т.XI(XVI).

Нижний мел юга СССР. - М.: Наука. - 1985. - 224 с.

Нущубидзе К.Ш. Нижнеюрская фауна Кавказа // Тр.ин-та ГИН АН ГССР. - Тбилиси: Мецниереба. - 1966. - Вып.8. - 212 с.

Панов Д.И. Стратиграфия, магматизм и тектоника Большого Кавказа на раннеальпийском этапе развития // Геология Большого Кавказа. - М.: Недра. - 1976. - С.154-207.

Прутский Н.И. Стратиграфия, формационный состав и рудоносность Приводораздельной зоны Северо-Западного Кавказа: Автореф.дис.канд. г.-м.н. - Новочеркасск, - 1984. - 24 с.

Ренгартен В.П. Горная Ингушетия // Геологические исследования в долинах рр. Ассы и Камбилиевки на Северном Кавказе / Тр.Глав.геол. упр. - 1931. - Вып.63. - С.1-195.

Ренгартен В.П. Геологический очерк района Военно-Грузинской дороги. / Тр.ВГРО, - 1932. - Вып.148. - 77 с.

Ренгартен В.П. Об интрузиях района Военно-Грузинской дороги // Зап.Всерос.минер.об-ва. - 1940. - II сер. - 4.69. - Вып.2-3.

Ренгартен В.П. Тектоника Большого Кавказа // Геология СССР. - Т.Х. - Закавказье. - М. - 1941.

Рубинштейн М.М. Опыт геологической интерпретации сейсмических данных на территории Грузии // Тр.ин-та / ГИН АН ГССР. - Сер.геол.- 1957. - Т.Х(Х).

Сазонов Н.Т. Юрские отложения центральных областей Русской платформы. Л.: Гостоптехиздат.- 1957. - 155 с.

Салуквадзе Н.Ш. К биостратиграфии палеоцена и эоцена Грузии // Тр.ин-та / ГИН АН ГССР. - Нов.сер. - 1985. - Вып.89.

Сахаров А.С. Некоторые результаты изучения стратиграфии келловейского яруса Северной Осетии // Тр.ин-та / ГрозНИИ. - 1964₁. - Вып.17. - С.91-97.

Сахаров А.С. О строении келловейского яруса в районе перевала Герчеч и Чечено-Ингушской АССР // Тр.ин-та ГрозНИИнефть. - 1964₂: - Вып.17. - С.83-90.

Сахаров А.С. К стратиграфии келловейских и оксфордских отложений Горной Ингушетии // Тр.ин-та ГрозНИИнефть. - 1965. - Вып.18. - С.76-88.

Сахаров А.С., Макарьева С.Ф., Лозгачева Е.Ф. Коррелятивы верхней юры Северо-Восточного Кавказа и их использование при геолого-разведочных работах // Тр.ин-та СевКавНИИнефть. - 1980. - Вып.33. - С.23-33.

Сахелашвили З.В. Стратиграфия миоценовых отложений северной периферии Грузинской глыбы между рр. Арагви и Малой Лиахви // Тр.ин-та / ГИН АН ГССР. - 1968. - Вып.

Скорягин В.Д. Об изучении разрывной тектоники по комплексу разномасштабных космоснимков Земли // Изв.вузов. - Геол. и разв. - 1973. - №7.

Суханов М.К., Цветков А.А. Магматические породы горного массива Чаухи // Изв.АН СССР. - Сер.геол. - 1975. - №1. - С.85-90.

Талицкий В.Г. Связь деформации пород и метаморфизма при формировании структуры Макбальского антиклиниория (Северный Тянь-Шань) // Изв.вузов. - Геол. и разв. - 1983. - №9. - С.14-19.

Торозов Р.И. и др. Опыт интерпретации космофотогеологических объектов Грузии. - ГрузНИИТИ. - 1981.

Геологическое изучение Земли из космоса // Трифонов В.Г., Макаров В.И., Деревянко О.С. и др. - М.: Недра. - 1987. - 228 с.

Цагарели А.Л. О возрасте рельефа Кавказа // Четвертичная геология и морфология // XXVI сес. МКГ. - М.: Наука. - 1980. - С.91-94.

Цагарели А.Л., Кулошвили С.И. Неотектоника Грузии // Тектоника и металлогения Грузии. - Тбилиси: Мецниереба. - 1984.

Церцвадзе Н.В. О геологических факторах распространения основных типов минеральных вод Большого Кавказа (в пределах Грузии) // Проблемы гидрогеологии Кавказа. - Тбилиси: Мецниереба. - 1980. - С.36-43.

Чихелидзе С.С. Природные ресурсы Грузинской ССР. - Т.3. - Минеральные воды. - М.: Изд-во АН СССР. - 1961. - 439 с.

Чихрадзе Г.А. Посторогенные дайки основных пород в Дарьяльском ущелье / I симпоз. 5-го Всесоюзн. вулканологич. совещ.: Тез. докл. - Тбилиси: Мецниереба. - 1980. - 227 с.

Чубинишвили К.Г. Неогеновые континентальные молассы Восточной Грузии. - "СевКавНИИнефть", Тбилиси, 1982.

Шван В. Некоторые тектонические проблемы горных сооружений Европы и их исследования методом изучения малых структурных форм Тр.XXI МГК. - М.: ИЛ. - 1963. - Вып.2. - С.398-422.

Юра юга СССР. - М.: Наука. - 1983. - 208 с.

Adler R., Fenchel W., Pilger A. Statische Methoden in der Tektonik// Clausthaler tektonische Hefte.- I, II.- 1-4.- 1965.

Harker A. Metamorphism. - London (Methuen).- 1952.- 362 p.

Содержание

Введение	3
1. Некоторые вопросы стратиграфии и тектоники верхнеюрско-меловых отложений Северного склона Большого Кавказа	8
1.1. Стратиграфия и корреляция верхнемеловых отложений бассейнов рр. Асса, Камбилиевка и Арагви (Р.А. Гамбашидзе)	8
1.2. К стратиграфии нижнемеловых (баррем, апт) отложений бассейна р. Камбилиевка (М.В. Каабадзе, И.В. Кванталиани)	22
1.3. Стратиграфия и тектоника верхней юры междуречья Ассы и Терека (Т.А. Пайчадзе)	25
2. Стратиграфия, литология, вулканализм и особенности тектонического строения нижней и средней юры Большого Кавказа	36
2.1. Стратиграфия нижне- и среднеюрских отложений рр. Арагви и Ассы (М.В. Топчишвили)	36
2.2. Литология нижне- и среднеюрских отложений верховьев рр. Ассы и Хевсуретской Арагви (Г.А. Чихрадзе)	45
2.3. Ранне- и среднеюрский базальтовый вулканализм (М.А. Беридзе)	66
2.4. Тектоника полосы развития нижне-среднеюрских отложений (Т.В. Гиоргобиани, Д.П. Закарая)	82
2.5. Структурные особенности нижне- и среднеюрских отложений ущелья рр. Ассы и проблема возраста диабазовых даек (О.Д. Хуцишвили)	101
3. Некоторые вопросы стратиграфии и тектоники флишевой зоны южного склона Большого Кавказа	111
3.1. Стратиграфия палеогеновых отложений бассейна р. Арагви (Н.Ш. Салуквадзе)	111
3.2. Особенности внутренней структуры участка с. Магароскари-Хоми (Г.П. Лобжанидзе)	121
3.3. Покровная тектоника флишевой зоны южного склона Большого Кавказа (И.П. Гамкрелидзе, Ф.Д. Маисадзе)	131
4. Трещинная тектоника, сейсмотектоника и инженерная геология мезозойско-кайнозойских отложений Асса-Арагвинского пересечения Большого Кавказа	138
4.1. Трещинная тектоника Асса-Арагвинского пересечения Большого Кавказа (И.П. Гамкрелидзе, Т.В. Гиоргобиани, А.И. Кавелашвили, З.А. Кокашвили, Г.П. Лобжанидзе, О.Д. Хуцишвили, Г.А. Чихрадзе)	138
4.2. Сейсмотектонические условия Асса-Арагвинского пересечения Большого Кавказа (С.И. Кулошвили)	146
4.3. Инженерно-геологический анализ и оценка физического состояния и прочностных свойств мезозойско-кайнозойских образований Асса-Арагвинского пересечения Большого Кавказа (О.В. Кудиашвили)	157

ГЕОЛОГИЧЕСКОЕ СТРОЕНИЕ
АССА-АРАГВИНСКОГО ПЕРЕСЕЧЕНИЯ
БОЛЬШОГО КАВКАЗА

ТБИЛИСИ
«МЕЦНИЕРЕБА»
1991

გავარსომის ასა-არაგვის გადაგვითის
გეოლოგიური აგეგულება

Напечатано по постановлению Научно-издательского
совета Академии наук Грузии

ИБ 4127

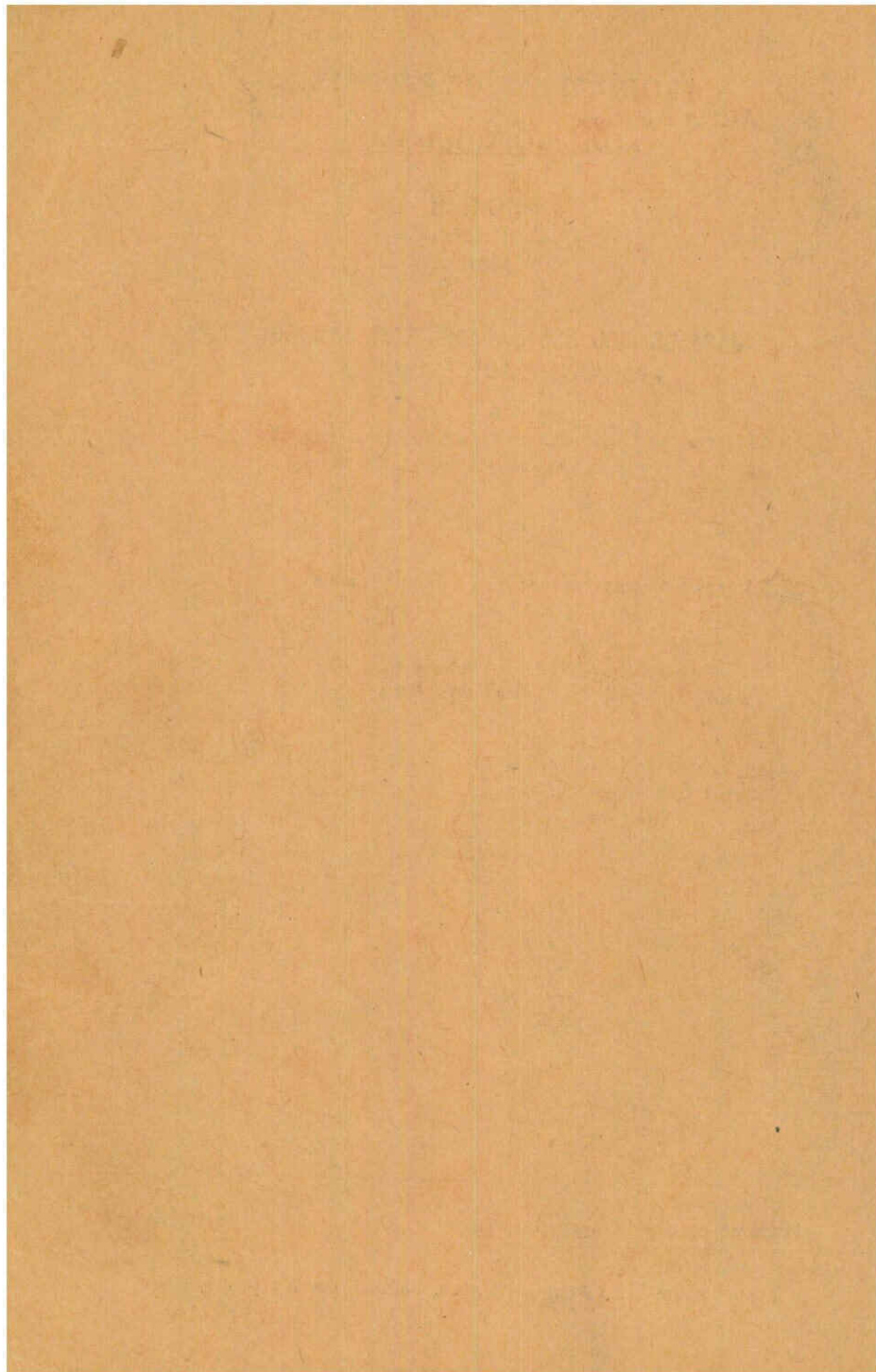
Редактор издательства Г. П. Бокучава
Худож. редактор Г. А. Ломидзе
Техредактор Э. Б. Бокерия
Корректор Ц. Г. Китиашвили
Выпускающий Е. Г. Майсурадзе

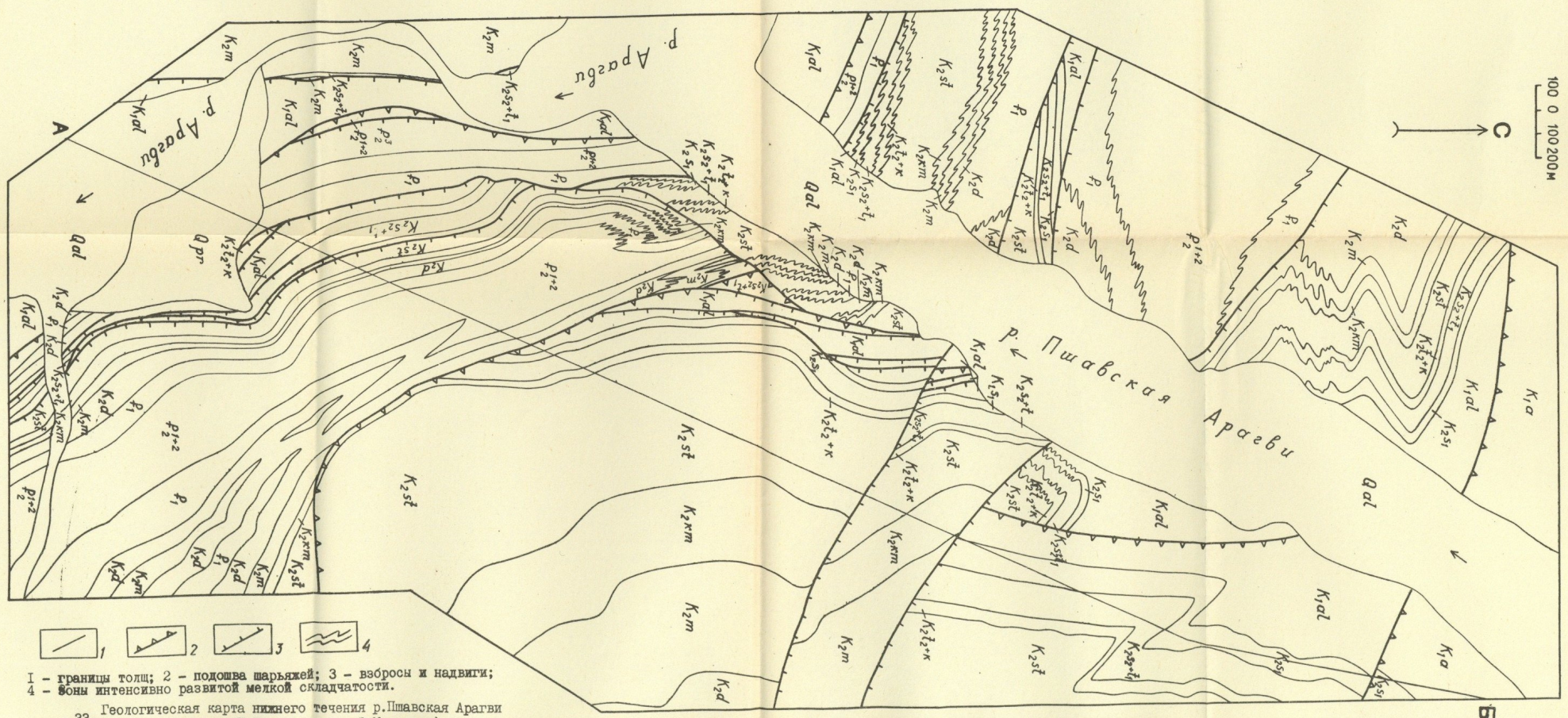
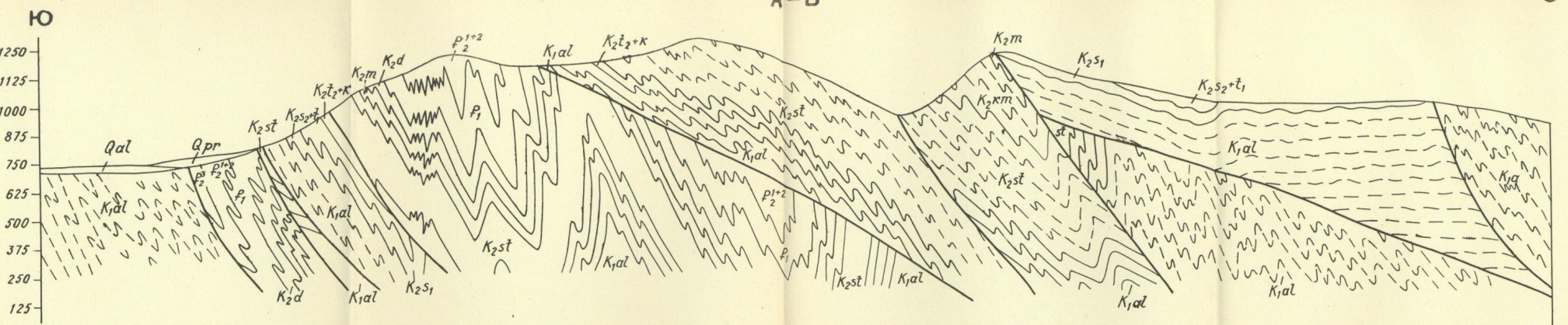
Сдано в произв. 28.VII.1991; Подписано к печати 22.VII.1990;
Формат бумаги 60×84¹/₁₆; Бумага офсет.; Печать офсет.;
Усл. печ. л. 13,0; Уч.-изд. л. 12,93;

УЭ 02461; Заказ 1782; Тираж 200;
Цена 2 руб. 60 коп.

გამომცემლობა „მეცნიერება“, თბილისი, 380060, კუტუზოვის ქ. 19
Издательство «Мецниереба», Тбилиси, 380060, ул. Кутузова, 19

საქართველოს მეცნ. აკადემიის სტამბა, თბილისი, 380060, კუტუზოვის ქ. 19
Типография АН Грузии, Тбилиси, 380060, ул. Кутузова, 19





Геологическая карта нижнего течения р.Пшавская Арагви
(Составители И.Гамкрадзе и Ф.Мисадзе)

33. - современные накопления аллювия. Qpr - современные отложения проливия. P_2^3 - верхний эоцен. Ильдоканская свита. Карбонатные аргиллиты, аркозово-кварцевые песчаники с редкими прослоями мергелей и известняков. P_1^{1+2} - нижний и средний эоцен. Квакеевицхевская свита. Карбонатные сланцевые аргиллиты, карбонатные плагиоклаз-кварцевые песчаники, мергели. F_1 - палеоцен. Шахветильская свита. Чертковые плотные некарбонатные и карбонатные аргиллиты с карбонатными гравийко-кварцевыми песчаниками. K_2d - дат. Кветерская свита. Карбонатные аргиллиты, карбонатные песчаники, окременные породы, песчаные известняки. K_2m - маастрихт. Сабусская свита. Известники, мергели, гравелиты и карбонатные аргиллиты. K_2t_2+k - верхний турон-коньяк. Маргалитискийская свита. Пестроцветные органогенно-детритовые и пелитоморфные известняки, мергели. $K_2s_2+t_1$ - верхний сеноман-нижний турон. Анауурская свита. Верхняя часть - мергели, известняки, карбонатные песчаники, кремни. Средняя часть - окременные аргиллиты. Нижняя часть - карбонатные глауконитовые песчаники, аргиллиты, мергели. K_2s_1 - нижний сеноман. Укугартская свита. Чередование тонкослоистых и гостослоистых карбонатных плагиоклаз-кварцевых песчаников и аргиллитов с прослоями карбонатных гравелитов. K_1al - альб. Навлеурская свита. Чередование слабоскарбонатных аргиллитов, карбонат-

вролитов и карбонатных аргиллитов. K_2t_2+k - верхний турон-коньяк. Маргалитискийская свита. Пестроцветные органогенно-детритовые и пелитоморфные известняки, мергели. $K_2s_2+t_1$ - верхний сеноман-нижний турон. Анауурская свита. Верхняя часть - мергели, известняки, карбонатные песчаники, кремни. Средняя часть - окременные аргиллиты. Нижняя часть - карбонатные глауконитовые песчаники, аргиллиты, мергели. K_2s_1 - нижний сеноман. Укугартская свита. Чередование тонкослоистых и гостослоистых карбонатных плагиоклаз-кварцевых песчаников и аргиллитов с прослоями карбонатных гравелитов. K_1al - альб. Навлеурская свита. Чередование слабоскарбонатных аргиллитов, карбонат-